

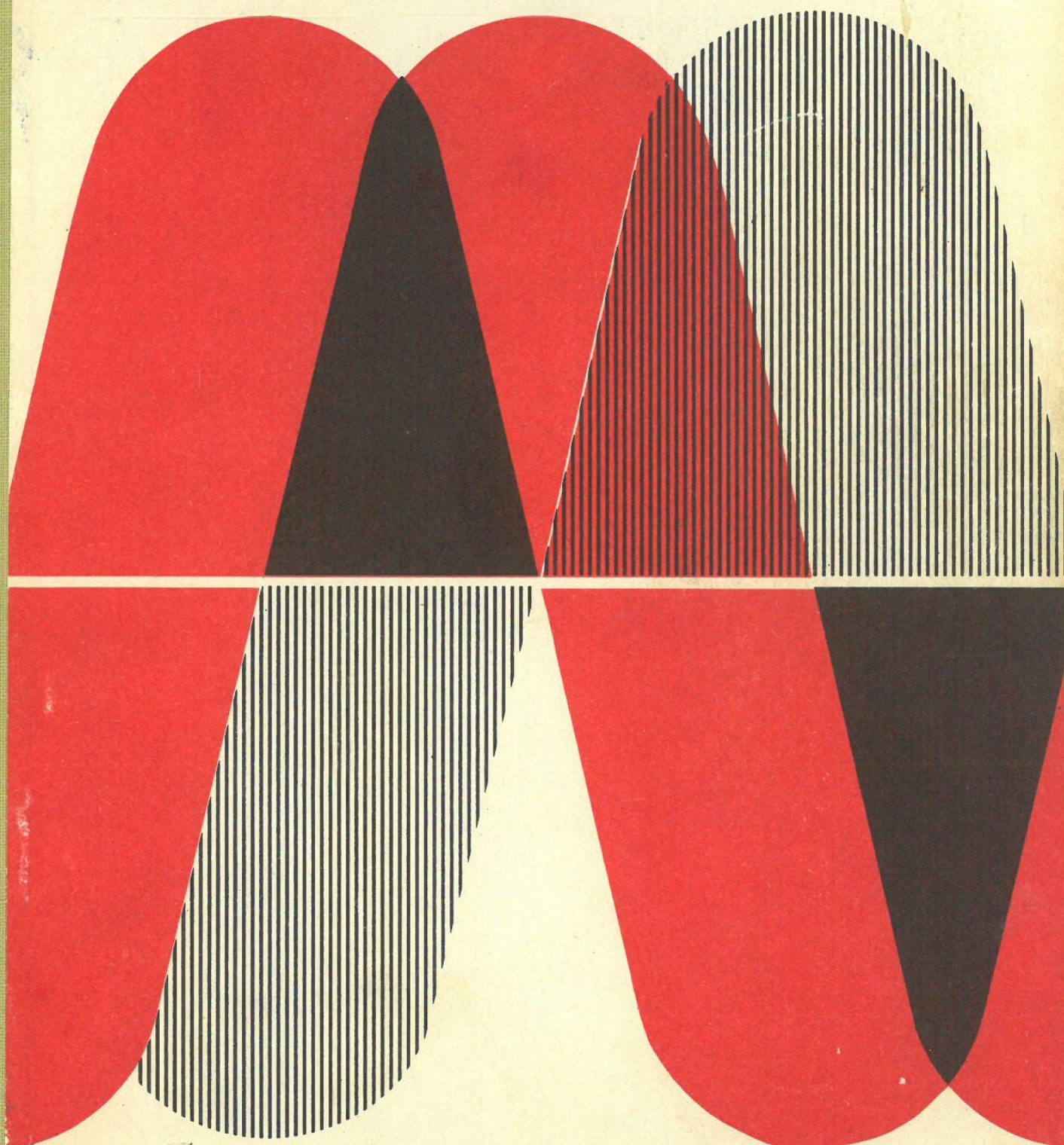
L. PANAIOTU
L. GEORGESCU

M. RUSU
D. BORŞAN

XII

FIZICĂ

Manual pentru clasa a XII-a



Colored mg. I'd like to have

1949

CUPRINSUL

Mamualul a fost elaborat pe baza programei școlare aprobată de Ministerul Educației și Învățământului cu nr. 036/51/14.IV.1978.

1. Sistem termodynamicic	5
1.1. Obiectul termodynamicicii	5
1.2. Noțiunile de bază ale termodynamicicii	6
1.3. Postulatele termodynamicicii	8
1.4. Metode de măsurare a temperaturii. Scări de temperatură	10
1.4.1. Scări de temperatură	11
1.4.2. Dispozitive pentru măsurarea temperaturii (<i>Extindere în tehnologie</i>)	13
Probleme rezolvate	18
1.5. Energia internă	20
1.6. Lucru mecanic	21
1.6.1. Lucru mecanic elementar	22
1.6.2. Calculul lucrului mecanic pentru diverse transformări	23
1.7. Căldura	23
1.7.1. Mărimi calorice	24
1.8. Prințul principiu al termodynamicicii	26
Probleme rezolvate	27
1.9. Prințipiu al doilea al termodynamicicii	31
1.9.1. Mașinile termice	33
1.10. Tipuri de mașini termice (<i>Extindere în tehnologie</i>)	37
1.10.1. Motorul Otto	37
1.10.2. Motorul Diesel	39
Probleme rezolvate	40
1.11. Entropia	43
1.12. Formularea principiului al doilea al termodynamicicii	44
1.13. Semnificația statistică a entropiei. Entropia și informația (<i>Extindere în alte domenii</i>)	47
1.14. Prințipiu al treilea al termodynamicicii	50
2. Sistem de puncte materiale	52
2.1. Referențiale. Starea de mișcare a punctului material	54
2.1.1. Referențiale	55
2.1.2. Starea de mișcare a punctului material	55
Întrebări. Exerciții	58
2.2. Proprietățile fundamentale ale spațiului și timpului. Referențiale inertiale. Relativitatea misării. Prințipiu relativității galileene	60
2.2.1. Proprietățile fundamentale ale spațiului și timpului galileene	61
2.2.2. Referențiale inertiale	61
2.2.3. Relativitatea misării	62
2.2.4. Prințipiu relativității galileene	72
Întrebări. Exerciții	72
2.3. Punctul material. Sisteme de puncte materiale. Teoremele energiei, impulsului și momentului cinetic	64
2.3.1. Punctul material	65
2.3.2. Sistem de puncte materiale	65
Întrebări. Exerciții	72
2.4. Centrul de masă (<i>Extindere în fizică</i>)	90
2.5. Cicluri: clasice (<i>Extindere în fizică</i>)	95

Referenții:

- C. Plăvițu, conf. univ. dr.
- C. Vrejoiu, conf. univ. dr.
- D. Iordache, conf. univ. dr.

2.6. Mișcare planetelor (<i>Exindere în fizică</i>)	104
2.7. Volantul (<i>Exindere în tehnologie</i>)	108
2.8. Giroscopul (<i>Exindere în tehnologie</i>)	109
2.9. Motoare cu jet de gaze (<i>Exindere în tehnologie</i>)	117
2.9.1. Motoare rachetă	118
2.9.2. Motoare cu reacție	120
Probleme rezolvate	125
Probleme	125
3. Cimp electromagnetic	133
3.1. Cimpul electromagnetic	133
3.1.1. Introducere	133
3.1.2. Conceptul de cimp	133
3.1.3. Cimpul electromagnetic	135
3.1.4. Perturbarea electromagnetică. Îndă electromagnetică	135
3.1.5. Viteză de propagare a perturbației electromagneticice	136
3.2. Fenomene de propagare a radiatiilor electromagneticice	137
3.2.1. Propagarea rectilinie	137
3.2.2. Descrierea propagării undelor electomagneticice	139
3.2.3. Difractia. Principiu lui Huygens	143
3.2.4. Interferență	145
Probleme rezolvate	148
3.2.5. Obținerea experimentală a fenomenului de interferență	150
3.2.6. Relația între fenomenele de difracție și cele de interferență	152
3.2.7. Interferență și difracție în natură	156
3.3. Aplicații ale fenomenelor de difracție și interferență	158
3.3.1. Evidențierea caracterului ondulatoriu al unui fenomen	158
3.3.2. Spectrometrul cu rețea (<i>Exindere în tehnologie</i>)	158
3.3.3. Metode de măsură și control (<i>Exindere în tehnologie</i>)	160
3.3.4. Analiza prin difracția radiatorilor X (<i>Exindere în tehnologie</i>)	164
3.3.5. Puterea de separare a instrumentelor optice (<i>Exindere în tehnologie</i>)	165
3.3.6. Holografa și aplicațiile ecselei metode (<i>Exindere în tehnologie</i>)	167
3.4. Cimpul electromagnetic ca sistem fizic	172
3.4.1. Interacțiunea din aproape în aproape	172
3.4.2. Cimpul - ca sistem fizic	174
3.4.3. Viteză luminii în vid - constantă universală	175
3.4.4. Notiuni de teoria relativității	177
3.5. Viteză luminii - viteză maximă	177
3.5.1. Viteză luminii - viteză maximă	177
3.5.2. Relativitatea galileeană și cea einsteiniană	179
3.5.3. Transformările lui Lorentz (<i>Exindere în fizică</i>)	184
3.5.4. Impulsul, masa și energia în teoria relativității (<i>Exindere în fizică</i>)	189
Intrebări. Exerciții. Probleme	193
4. Sistem cuantic	199
4.1. Efectul fotoelectric	199
4.1.1. Fenomenul fotoelectric și explicația lui	199
4.1.2. Fotonul și proprietățile lui	207
4.1.3. Celula fotoelectrică	210
4.2. Proprietățile ondulatorii ale particulelor	211
4.2.1. Ipoteza lui de Broglie	211
4.2.2. Difracția particulelor	212
4.3. Proprietățile microparticulelor	215
4.3.1. Principiul de nedeterminare	215
4.3.2. Interpretarea statistică a comportării microparticulelor	221
4.3.3. Discutarea unor sisteme cuantice simple	222
4.3.4. Efectul tunel (<i>Exindere în fizică</i>)	224
4.3.5. Determinismul în fizica clasică și fizica cuantică (<i>Exindere în alte domenii</i>)	227
4.4. Particule fundamentale (<i>Exindere în fizică</i>)	229
4.4.1. Tipuri de particule fundamentale	229
4.4.2. Interacțiunile la care participă particulele fundamentale	232
Intrebări. Exerciții. Probleme	234

1. SISTEM TERMODINAMIC

1.1. OBIECTUL TERMODINAMICII

Termodinamica (therme = căldură și dynamicos = referitor la forță, din limba greacă) a apărut la începutul secolului al XIX-lea ca urmare directă a dezvoltării forțelor de producție. Apariția mașinilor cu aburi a pus problema determinării condițiilor optimale de funcționare a lor.

În acest mod, o problemă practică, legată direct de producție, a dus la formularea principiului al doilea al termodinamicii. Prima lucrare de termodynamică este aceea a inginerului francez Sadie Carnot din anul 1824 intitulată „Considerații asupra forței motoare a focului și asupra mașinilor capabile să dezvolte această forță”.

Prinul principiu al termodinamicii a fost formulat ceva mai târziu decât principiul al doilea, după circa 18 ani, de către Mayer, Joule și Helmholtz, dar a apărut tot ca o consecință a unei probleme practice, demonstrând imposibilitatea construirii unor mașini care să lucreze periodic și care să nu primească nici un fel de energie din exterior.

Termodinamica este capitolul din fizică ce studiază un anumit tip de mișcare a materiei și anume mișcarea termică. Ea nu se limitează însă numai la studiul fenomenelor termice, deoarece mișcarea termică stă la baza tuturor fenomenelor (electrice, magnetice, nucleare etc) cărora le este proprie mișcarea dezordonată și continuă a particulelor din care este constituit sistemul respectiv.

În forma sa clasică termodinamica studiază numai sistemele aflate în echilibru termic, cît și trecerea sistemelor dintr-o stare de echilibru într-o altă stare de echilibru.

Termodinamica studiază proprietățile generale ale sistemelor aflate în echilibru termic pe baza postulatelor termodinamicii, pe baza a trei principii fundamentale, denumite *principiile termodinamicii*, cît și pe baza cunoașterii unui întreg și de rezultate experimentale care sunt cuprinse în *constantele*

de material (căldurile molare, căldurile specifice latente, coeficienții de dilatare etc.).

Termodynamica nu face apel la structura discretă, moleculară a materiei și din această cauză ea are un caracter *femomenologic* în sensul că explică toate proprietățile de ansamblu ale sistemelor fără a corela aceste proprietăți cu reprezentările moleculare ale substanței. Dar mai mult, concluziile care decurg din ea nu se schimbă dacă particularitățile particulelor care alcătuiesc sistemul se modifică (sistem de particule clasice, cuantice de diverse tipuri etc.).

1.2. NOTIUNILE DE BAZĂ ALE TERMODINAMICII

Un sistem termodynamic sau un sistem *macroscopic* este un sistem format dintr-un număr foarte mare de particule aflate în mișcare termică, delimitat prin frontieră naturală sau mintal. Un gaz, aflat într-un cilindru cu piston, o bară metalică, o cantitate oarecare de lichid dintr-un vas formează sisteme termodynamicice. Dar nu orice sistem este și sistem termodynamic, deoarece acestea sunt limitate atât superior cât și inferior, în sensul că un sistem infinit cum este Universul, sau un sistem format dintr-un număr mic de particule nu poate fi considerat sistem termodynamic.

Tot ceea ce este în afara sistemului termodynamic poartă numele de *mediu exterior* (sau înconjurător).

Numărul de mărimi fizice care în principiu pot fi măsurate și care caracterizează un sistem termodynamic poartă numele de *parametrii termodynamicici sau parametrii macroscopici*. Aceștia pot fi: presiunea, volumul, temperatura, intensitatea cimpului electric sau magnetic etc.

Parametrii termodynamicici pot fi împărțiti în două mari clase: *parametrii externi* care caracterizează poziția corporilor exteriori față de sistem, cel mai tipic parametru extern fiind volumul V și *parametrii interni*, care depind de vitezele și de pozițiile moleculelor din sistem. Ca parametrii interni avem presiunea, energia, temperatura etc.

Valoarea numerică a parametrilor termodynamicici independenți, la un anumit moment, determină *starea sistemului* la acel moment, stare ce caracterizează din punct de vedere cantitativ sistemul termodynamic. Parametrii termodynamicici care caracterizează *starea unui sistem* poartă numele de *parametrii de stare sau funcții de stare*.

Să luăm un exemplu. O bară metalică pe care o încălzim la un capăt. Punem termometre în diverse puncte pe bară. Ce observăm? La început temperaturile sunt diferite în diverse puncte pe bară, la același moment, dar pe măsură ce trece timpul, temperaturile cresc. Deci în parametru termodynamic, temperatura, variază atât în spațiu, de-a lungul barei cât și în timp. La un anumit moment cînd se atinge starea de staționaritate, temperaturile rămân diferențe în diverse puncte pe bară, dar constante de-a lungul barei. Deci la acel moment *starea sistemului* (a gazului) este complet determinată de parametrii de stare.

Dacă parametrii termodynamicici nu variază în timp atunci sistemul se află într-o stare *staționară*. Dacă însă sistemul se află într-o stare staționară în care nu există nici fluxuri staționare produse de o sursă externă (parametrii de stare nu variază nici în spațiu) atunci sistemul se află în *starea de echilibru termodynamic*.

Cînd parametrii unui sistem nu sunt constanti și variază în timp, acesta suferă o *transformare* sau are loc un *proces*. Transformarea unui sistem este determinată dacă cunoaștem în orice moment parametrii de stare ai sistemului. Dacă ne referim din nou la exemplul descris mai înainte cu o masă dată de gaz ideal închisă într-un cilindru cu piston, atunci, pentru o anumită valoare a presiunii și a volumului sistemul se va afla într-o stare 1 , care poate fi reprezentată într-o diagramă (p, V) sau diagramă Clapeyron cum se mai numește, printr-un punct ca în figura 1.1. Dacă sistemul suferă o transformare și ajunge într-o stare 2 , determinată de presiunea p_2 și volumul V_2 , putem desena această transformare pe figura numai dacă cunoaștem, la fiecare moment, valorile intermediare ale presiunii și volumului. Acest lucru se poate realiza trećând printre o serie de stări de echilibru cînd cunoaștem parametrii de stare ai sistemului.

Procesele termodynamicice se împart în *procese de echilibru sau cvasistatici și procese de neechilibru sau nestatici*. Procesele de echilibru sunt acele procese în care sistemul pleacă dintr-o stare de echilibru și ajunge în altă stare de echilibru, în timpul procesului parametrii termodynamicici variind infinit de lent, astfel încît sistemul să se afle în tot timpul transformării în stări de echilibru. Numai procesele de echilibru pot fi reprezentate grafic, aşa cum am văzut în exemplul de mai sus.

Procesele de neechilibru sunt acele procese în care unul sau mai mulți parametri variază în timp sau în spațiu.
Să luăm un exemplu. O bară metalică pe care o încălzim la un capăt. Punem termometre în diverse puncte pe bară. Ce observăm? La început temperaturile sunt diferențe în diverse puncte pe bară, la același moment, dar pe măsură ce trece timpul, temperaturile cresc. Deci în parametru termodynamic, temperatura, variază atât în spațiu, de-a lungul barei cât și în timp. La un anumit moment cînd se atinge starea de staționaritate, temperaturile rămân diferențe în diverse puncte pe bară, dar constante de-a lungul barei. Avem de a face numai cu o variație în spațiu a parametrului termodynamic temperatura.

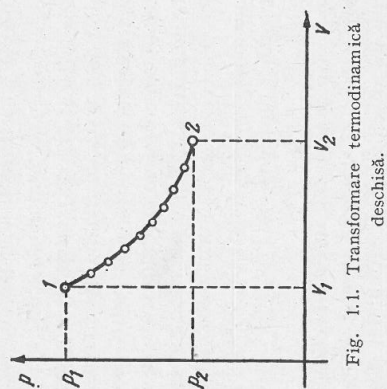


Fig. 1.1. Transformare termodynamică deschisă.

Transformările termodinamice mai pot fi împărțite și în: *transformări deschise*, în care sistemul pleacă dintr-o stare și ajunge în altă stare diferită de starea inițială (fig. 1.1) și *transformări închise* sau *ciclice* în care starea inițială a sistemului coincide cu starea sa finală.

Procesele termodinamice se mai pot clasifica în două mari clase: *procese reversibile și procese irreversibile*. Un proces termodinamic este un proces reversibil dacă sistemul trecând din starea 1 în starea 2, atunci și trecerea inversă, din starea 2 în starea 1 se poate efectua exact pe același drum, fără ca sistemul sau corpurile înconjurătoare cu care vine în contact să-și modifice starea termodinamică. Toate procesele mecanice fără frecare sunt procese reversibile. Acest lucru se explică prin aceea că ecuațiile de mișcare care descriu procesele mecanice, în sprijnul ecuației lui Newton, este o ecuație invariantă la schimbarea timpului din t în $-t$. Procesele cvasistatiche sunt de asemenea procese reversibile.

Un proces este ireversibil atunci când un sistem trecă dintr-o stare 1 într-o stare 2, trecerea inversă fiind posibilă pe același drum, numai dacă are loc o schimbare a sistemului sau a corpurilor înconjurătoare (în sensul că are loc o pierdere de energie a sistemului sau a corpurilor înconjurătoare). Procesele ireversibile sunt descrise de ecuații care nu sunt invariante la schimbarea timpului din t în $-t$. De exemplu, dacă există două surse de căldură, atunci are loc, de la sine, un transport de căldură de la sursa caldă la sursa rece. Procesul invers nu este posibil niciodată de la sine, deoarece pentru a trece o cantitate de căldură de la sursa rece la sursa caldă trebuie să efectuăm un lucru mecanic. Din această cauză transportul de căldură (energie) este un proces ireversibil.

Procesele nestatiche sunt procese irreversibile, ca de exemplu difuzia, conductibilitatea termică, viscozitatea. Dar mai mult, toate procesele care sunt însoțite de frecare sunt procese irreversibile, astfel încât toate procesele naturale sunt procese irreversibile.

În general, un sistem termodinamic interacționează cu mediul exterior. În unele cazuri, de altfel ideale, putem presupune că această interacțiune nu există. În acest caz spunem că sistemul este *izolat* de mediul exterior.

1.3. POSTULATE TERMODINAMICI

Termodinamica se bazează pe două postulate fundamentale. *Prinul postulat al termodinamicii* a fost formulat de Boltzmann și se enunță astfel:

dacă un sistem termodinamic este scos din starea de echilibru și se izolează de mediul exterior, atunci el revine întotdeauna, de la sine, în starea de echilibru și nu poate ieși din această stare fără acțiunea unor forțe exterioare.

Procesul de revenire al sistemului la starea de echilibru poartă numele de *relaxare*, iar timpul corespunzător *temp de relaxare*. Acest timp are valori

foarte diferite, de la ordinul anilor pînă la ordinul a 10^{-20} s, în funcție de natura sistemului și a procesului.

Acest postulat restrîng domeniul de aplicabilitate al termodinamicii, în sensul că nu ia în considerație abaterile spontane ale sistemului de la starea de echilibru, abateri care poartă numele de *fluctuații*. Aceste fluctuații sunt cu atât mai mici cu cât sistemul este format dintr-un număr foarte mare de particule. Termodinamica, după cum am mai arătat, se aplică numai la sisteme formate dintr-un număr enorm de particule și deci și fluctuațiile pot fi neglijate. Sistemele formate dintr-un număr mic de particule, pentru care fluctuațiile joacă un rol esențial, pot fi studiate numai cu ajutorul fizicii statistice. *Postulatul al doilea al termodinamicii* introduce noțiunea de temperatură ca parametru ce caracterizează starea de echilibru termic al unui sistem cît și posibilitatea măsurării temperaturii pe baza variației parametrilor interni.

Experimental s-a demonstrat că dacă se pun în contact termic două sisteme A și B care se află în stări de echilibru termodinamic, atunci, independent de valoarea parametrilor externi, aceste sisteme fie rămîn în continuare în aceeași stare de echilibru, fie echilibrul se strică, iar după un anumit timp sistemele ajung într-o nouă stare de echilibru, după ce în prealabil a avut loc un schimb de energie între cele două sisteme. În noua stare de echilibru sistemele rămîn un timp nelimitat astfel vreme cît nu intervin forțe exterioare. Două sisteme se află în *contact termic* dacă între ele are loc un schimb de căldură (energie) fără însă să aibă loc și un schimb de substanță.

De asemenea experiența arată că dacă un sistem A se află în echilibru termic cu sistemele B și C , atunci și sistemele B și C se află în aceeași stare de echilibru termodinamic. Tragem concluzia că echilibrul termodinamic satisface proprietatea de tranzitivitate.

Aceste experiențe au permis să se tragă concluzia că starea de echilibru termodinamic trebuie să fie caracterizată nu numai de parametrii externi, ci și de un alt parametru, pe care îl notăm cu T și care *caracterizează starea de mișcare a particulelor din care este constituit sistemul respectiv*.

Astfel, dacă două sau mai multe sisteme se află în aceeași stare de echilibru, atunci toate aceste sisteme au aceeași valoare pentru parametrul T , subînțelegând că nu are loc nici un schimb de energie între aceste sisteme. Dacă două sisteme se află însă în stări diferite de echilibru, atunci aceste sisteme vor fi caracterizate de doi parametrii differenți, T_1 și T_2 . Puse în contact termic aceste sisteme vor atinge o nouă stare de echilibru, căreia îi va corespunde o nouă valoare a parametrului T , diferită de valorile initiale T_1 și T_2 .

Prin convenție s-a stabilit că dacă două sisteme au parametrii T_1 și T_2 diferenți, și sunt puse în contact termic, și dacă are loc un schimb de energie astfel încât sistemul 1 să piardă energie iar sistemul 2 să primească energie, atunci parametrul T_1 este mai mare decât parametrul T_2 .

Parametrul T care caracterizează starea de echilibru termodynamic al unui sistem și care are aceeași valoare în tot sistemul, independent de numărul de particule din sistem, se numește temperatură.

Temperatura este o măsură a intensității mișcării termice și are sens numai pentru sistemele aflate în stări de echilibru termodynamic. Existenta temperaturii ca parametru de stare al unui sistem aflat în starea de echilibru termodynamic poartă numele de *principiu de zero al termodynamicii*, deoarece, așa cum vom vedea, ca și primul și al doilea principiu al termodynamicii introduce o funcție de stare, temperatura.

În felul acesta putem trage concluzia că starea de echilibru termodynamic este determinată de totalitatea parametrilor externi și de temperatură. Dar un sistem aflat în starea de echilibru termodynamic are valori bine determinate ale parametrilor interni. Din această cauză postulatul al doilea al termodynamicii se poate formula și astfel: în starea de echilibru termodynamic toți parametrii interni ai unui sistem sunt funcție de parametrii externi și de temperatură.

Deoarece parametrii interni sunt funcție de parametrii externi și de temperatură, dacă menținem parametrii externi constanti, atunci parametrii interni vor depinde numai de temperatură. Astfel o variație de temperatură va duce la o variație a parametrilor interni și invers, cind parametrii interni și temperatura sistemului se modifică. Pe această proprietate se bazează construcția termometrelor.

1.4. METODE DE MĂSURARE A TEMPERATURII. SCĂRI DE TEMPERATURĂ

Temperatura este o mărimă fizică ce nu poate fi măsurată în mod obișnuit. După cum este cunoscut, a măsura o mărimă fizică înseamnă a stabili de căte ori este cuprinsă în mărimea dată o altă mărimă de aceeași natură care în mod convențional, să ales drept unitate de măsură. Pentru măsurarea temperaturii, acest procedeu de măsurare nu poate fi aplicat, adică nu putem stabili de căte ori se cuprindă în temperatură unui corp o temperatură dată pe care o considerăm drept unitate de temperatură.

Din această cauză, este necesar ca pentru măsurarea temperaturii să se aleagă o altă caie. În acest scop s-a plecat de la principiul echilibrului termic, ce se stabilește între două corpuși cu grad de încălzire diferit datorită schimbului de căldură, și de la faptul cunoscut că proprietățile fizice ale corpilor variază la încălzirea sau la răcirea lor.

Astfel, pentru a măsura temperatura unui corp se folosește un alt corp (dispozitiv) numit termometru care este adus în contact termic cu primul. După stabilirea echilibrului termic se poate considera că temperatura de măsurat este egală cu temperatura termometrului. Dacă termometrul se caracterizează printre mărimile fizice ce depind de temperatura termometrului, rezultă că temperatura de măsurat este aceea de a exprima echilibrul. Problema care se pune în continuare este aceea de a exprima

temperatura termometrului cu ajutorul valorii pe care mărimea caracteristică termometrului o are la această temperatură. A stabili o dependență între temperatura termometrului și valoarea mărimii caracteristice termometrului la acea temperatură înseamnă a stabili o scară de măsurat temperatură, denumită pe scurt scară de temperatură.

Pentru stabilirea scarării de temperatură este necesar să se aleagă *corpul termometric* și o mărimă, ce caracterizează o proprietate a corpului termometric ce depinde de temperatură, numită *mărimă termometrică*. De exemplu, în cazul termometrelor cu mercur corpul termometric este coloana de mercur iar mărimea termometrică este lungimea acestei coloane.

După stabilirea corpului termometric și a mărimii termometrice, se alege un interval de temperatură între două stări termice ale unui corp oarecare, perfect reproductibile. Se aduce corpul termometric în stăriile termice corespunzătoare limitelor intervalului de temperatură și se măsoară valoarea mărimii termometrice în aceste stări. Acestor valori ale mărimii termometrice li se asociază valori bine precizate ale temperaturii.

Temperaturile corespunzătoare stărilor termice ce delimitizează intervalul de temperatură poartă denumirea de *puncte de referință* sau de *puncte termometrici*, iar valorile lor se aleg în mod arbitrar. Prin împărțirea intervalului de temperatură, cuprins între cele două puncte termometrice, la un număr întreg, ales și el în mod arbitrar, se obține unitatea de temperatură în scară respectivă care se numește *grad* (cu excepția sistemului internațional SI).

Ca stări termice constante, perfect reproductibile, s-au ales stările de echilibru dintre două sau trei faze ale uneia și acelașiă substanțe, sub presiune dată (de obicei presiunea atmosferică de 760 Torri).

În prezent se folosesc mai multe scarări termometrice dintre care la noi în țară sunt folosite scară Celsius și scară practică internațională.

1.4.1. Scării de temperatură. Scară Celsius sau scară centigradă are ca stări termice de echilibru, ce delimitizează intervalul de temperatură, starea de echilibru dintre gheata care se topetește și apa sub presiune normală, a cărei temperatură este considerată egală cu 0 și starea de fierbere a apei pură sub presiune atmosferică normală a cărei temperatură este considerată ca fiind egală cu 100. Gradul Celsius (având simbolul °C) este egal cu $\frac{1}{100}$ parte din intervalul de temperatură considerat mai sus. Temperaturile inferioare punctului de topire a gheții se consideră negative.

Valoarea unui grad depinde de natura substanței din care este făcut corpul termometric. Să folosim pentru realizarea unei scări convenționale (Celsius, de exemplu) două termometre, unul cu mercur iar altul cu alcool. Notăm la ambele termometre cu 0° indicațiile lor cind sunt în echilibru termic cu gheata care se topetește la presiune atmosferică normală și cu 100° indicațiile cind se află în apă care fierbe la aceeași presiune. Împărtim acest interval în 100 de părți egale. Deoarece cele două corpuși termometrice

sunt formate din substanțe de natură diferită, (mercur și alcool) cu coeficienți liniari de dilatare diferiți, care pot depinde la rindul lor de temperatură în mod diferit, temperaturile măsurate cu cele două termometre vor fi diferite (se exclud reperle 0° și 100°). Aceasta înseamnă că fiecare din cele două termometre îi corespunde o scară de temperatură proprie. La același rezultat se ajunge dacă folosim termometre având alte corpuri termometrice. Generalizând aceste rezultate, se ajunge la concluzia că se poate realiza atâtă scări termometrice cîte corpuri și mărimi termometrice pot fi alese.

Pentru a măsura exact temperatură cît și pentru a compara între ele temperaturile măsurate cu diferite termometre este necesar să se realizeze o scară termometrică care să nu depindă de natura corpului termometric sau de mărimea termometrică.

Scara standard de temperatură. O scară de temperatură universală independentă de natura corpului termometric și utilă pentru un interval larg de temperaturi, a fost propusă în anul 1848 de către Kelvin, care a folosit la stabilirea ei principiile termodinamicii. Scara de temperatură propusă de Kelvin, a fost numită scara termodinamică, iar temperatura exprimată în această scară, temperatură absolută (se notează cu T).

Originea scarii termodinamice, este numită *zero absolut* (ea nu poate fi atinsă practic, v. principiul III al termodinamicii) iar temperatura de topire a gheții sub presiunea proprietilor săi vaporii (punctul triplu al apei) este notată cu $273,16$. Unitatea de temperatură în scara termodinamică este Kelvinul, avind simbolul K. Kelvinul reprezintă a $273,16$ — a parte din intervalul de temperatură cuprins între zero absolut și punctul triplu al apei.

Scara termodinamică de temperatură nu poate fi realizată practic deoarece ea se definește în legătură cu o mașină termică ideală ce funcționează după un ciclu Carnot.

S-a constatat, însă, că se poate realiza o scară termometrică, apropiată ca proprietăți de scara termodinamică, dacă se alege drept corp termometric gazul ideal iar ca mărime termodinamică fie volumul unei mase de gaz ideală presiune constantă, fie presiunea acestuia la volum constant.

Acstea mărimi termometrice depind exclusiv de temperatură prin relațiile cunoscute:

$$V = \text{const.} \times T, \text{ la } \dot{p} = \text{constant}$$

$$\dot{p} = \text{const.} \times T, \text{ la } V = \text{constant}$$

Dependența este lineară și universală, independentă de natura gazului (considerat ideal), deci este cea mai potrivită pentru a fi folosită la stabilirea unei scară de temperatură.

Din această cauză, printre convenție internațională, s-a ales ca *scara standard de temperatură*, scara termometrului cu hidrogen (gaz ce are o comportare foarte apropiată de gazul perfect) la volum constant. Ca puncte de

reper s-au luat temperatura de topire a gheții și temperatura de fierbere a apelor distilate sub presiune normală care au fost notate respectiv cu 0 și 100 , iar ca unitate de temperatură s-a ales gradul centigrad.

În această scară, simbolul temperaturii este t , iar unitatea este gradul Celsius ($^\circ\text{C}$). Originea scării este la 0°C și corespunde la $273,15\text{ K}$.

Legătura între temperatură măsurată în K și temperatura măsurată în $^\circ\text{C}$ este exprimată de relația

$$TK = t^\circ\text{C} + 273,15.$$

Scara de temperatură standard a fost extinsă și în afara domeniului 0 — 100°C , alegându-se și alte puncte de reper corespunzătoare temperaturilor unor stări termice constante și reproductibile.

Scara de temperatură a gazului ideal, extinsă, având punctele de reper indicate în tabelul 1.1, *poartă denumirea de scara internațională practică de temperatură*. Toate punctele de reper din tabel, cu excepția punctului triplu al apei, se consideră la presiunea atmosferică normală $\left(101\ 325\ \frac{\text{N}}{\text{m}^2}\right)$.

Tabelul 1.1.

Puncte fixe termometrice (puncte de reper)	Temperatura în $^\circ\text{C}$
Punctul de fierbere al oxigenului	-182,970
Punctul de topire a gheții	0,000
Punctul triplu al apei	0,010
Punctul de fierbere al apei	100,000
Punctul de solidificare al Zn	419,505
Punctul de solidificare al Ag	960,800
Punctul de solidificare al Au	1 063,000

În felul acesta, termometrul cu gaz la volumul constant este considerat termometru standard și toate termometrele folosite în laboratoare sau industriale trebuie etalonate în raport cu primul. Etalonarea constă în trasarea scarii de măsurare a termometrului de etalonat prin comparare cu indicațiile termometrului cu gaz.



EXTINDERE ÎN TEHNOLOGIE

1.4.2. Dispozitive pentru măsurarea temperaturii. Măsurarea temperaturii sau a variației de temperatură, menținerea unui regim termic constant sau realizarea unui regim termic care să varieze în timp intr-un anumit fel sunt operații care se realizează în mod curent aproape în toate domeniile de activitate practică ale omului. Pentru ca aceste operații să fie rapide și precise au fost realizate termometre relativ simple de construcție și precizie diferite care acoperă un domeniu larg de temperatură (între -200 și $+3\ 000^\circ\text{C}$).

Termometrele pot fi clasificate în funcție de principiul fizic care stă la baza funcționării lor în:

- termometre cu variație de volum (termometrul cu gaz, termometrele de sticlă cu lichid și.a.);
- termometre cu variație de presiune (termometrele manometrice);
- termometre bazate pe variația rezistenței electrice cu temperatură (termometre cu rezistență sau cu termistori);
- termometre bazate pe variația t.e.m. cu temperatură (termometrele cu termocuplu);
- termometre bazate pe variația energiei radiante cu temperatură (pirometrele cu radiație).

Vom descrie pe scurt termometrele folosite curent în cercetarea științifică și în producție.

a) *Termometrele de sticlă cu lichid*, se folosesc pentru măsurarea temperaturilor cuprinse între -190 și $+700^{\circ}\text{C}$. Principiul de funcționare a lor se bazează pe variația cu temperatură a lungimii unei coloane de lichid, închis într-un tub capilar, ca efect al dilatației lichidului.

La termometrele cu lichid se folosesc drept corpuși termometrici de obicei: mercurul, toluenul, alcoolul etilic, eterul de petrol, pentanul s.a. Intervalele de temperatură în care pot fi folosite sint date în tabelul 1.2.

Dintre termometrele de sticlă cu lichid cele mai răspândite sunt termometrele cu mercur. Aceasta datorită unor calități ale mercurului cum sunt: nu udă sticla, se obține ușor sub formă chimică pură, iar la presiunea atmosferică normală rămîne în stare lichidă într-un interval larg de temperatură (de la $-38,86$ la $+356,7^{\circ}\text{C}$). Trebuie subliniat că mercurul are un coeficient de dilatare termică ce variază foarte puțin în funcție de temperatură și din această cauză scara termometrului rămîne aproape liniară pînă la 200°C . Mercurul are o căldură specifică relativ mică, din această cauză și inertia termometrelor cu mercur este mică.

Tubul capilar al termometrelor ce măsoară temperaturi mai mici de $+150^{\circ}\text{C}$ este umplut cu un gaz inert (azot) la presiune normală. La termometrele cu mercur ce măsoară temperaturi mai mari de $+150^{\circ}\text{C}$, tubul capilar este umplut cu azot sub presiune. Valoarea presiunii

poate depăși 20 atm în funcție de temperatura maximă pe care o măsoară termometrul.

Construcția termometrelor cu lichid este foarte variată. În figura 1.2 sunt prezentate cîteva tipuri de termometre de sticlă cu lichid, folosite în laboratoare și în industrie.

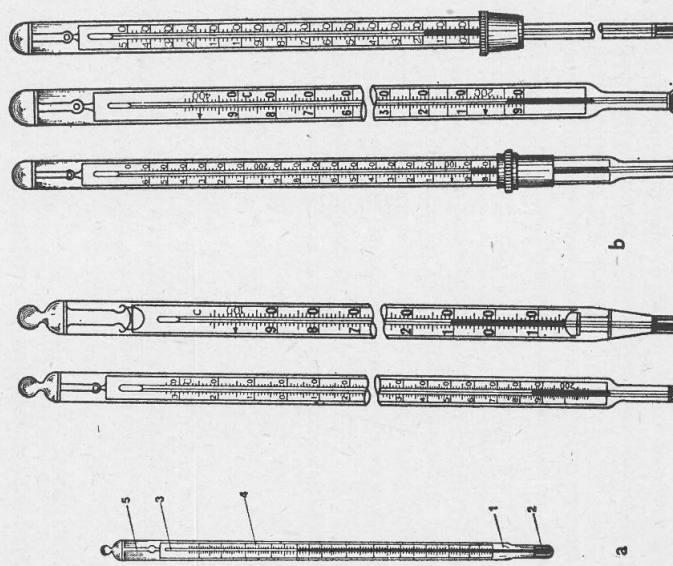


Fig. 1.2. a) Părți componente ale unui termometru;
b) diferite tipuri de termometre.

Se observă din figură că deși termometrelle cu lichid au forme diferite, ele au unele elemente constructive comune. Acestea sunt: rezervorul cu lichid 1 (mercur sau alt lichid termometric) de formă cilindrică sau sferică, care se continuă cu un capilar 2 confectionat din aceeași sticlă ca și rezervorul, o scală gradată 3 confectionată din sticlă mată și fixată în dreptul capilarului și învelișul din sticlă ce protejează capilarul și scala 4. Precizia termometrelor cu lichid (egală cu cea mai mică variație de temperatură pe care o poate măsura termometrul) variază, în funcție de construcție, între 1°C și $0,01^{\circ}\text{C}$.

b) *Termometru cu rezistență*. În cazul termometrului cu rezistență, corpul termometric este o substanță conductoare sau semiconductoare,

Corpul termoelectric	Intervalul posibil de folosire, $^{\circ}\text{C}$	
	de la	pînă la
Mercur	-30	700
Toluen	-90	100
Alcool etilic	-100	75
Eter de petrol	-130	25
Pentan	-190	20

iar mărimea termometrică ce variază cu temperatura este rezistența electrică a acestora.

Rezistența conductorilor electrici crește cu creșterea temperaturii după o lege cunoscută dar care nu este aceeași pentru orice interval de temperatură.

Când variația rezistenței cu temperatura este liniară se poate folosi următoarea relație:

$$R_t = R_0(1 + At), \quad (1.1)$$

unde R este rezistența electrică a termometrului la temperatura $t^\circ\text{C}$, R_0 este rezistența sa la 0°C iar constanta A se numește coeficientul termic al rezistenței electricice și se măsoară în grad^{-1} . Din această relație temperatură poate fi exprimată astfel:

$$t = \frac{R_t - R_0}{R_0 A},$$

iar măsurarea ei se reduce la măsurarea rezistenței electrici a termometrului la cele două temperaturi.

Substanțele care se folosesc la construirea termometrelor cu rezistență trebuie să îndeplinească unele condiții cum sunt:

- coefficientul termic al rezistenței să fie mare, pentru a asigura o sensibilitate mare a termometrului (prin sensibilitatea termometrului cu rezistență, $S = \frac{\Delta R}{\Delta t} = R_0 A$, dedusă din (1.1), înțelegem variația rezistenței ΔR a termometrului cînd temperatura sa variază cu 1°C);

- conductorul să aibă rezistivitate electrică mare pentru a putea utiliza un fir cît mai scurt;

- substanta din care este confecționat conductorul electric nu trebuie să reacționeze chimic cu mediul în care se măsoară temperatura, pentru a nu-și modifica proprietățile în procesul măsurării.

Cele mai întrebuințate metale pentru confecționarea termometrelor cu rezistență, care îndeplinește bine condițiile de mai sus, sunt: platina pură pentru intervalul de temperatură de la 200 pînă la 1100°C , nichelul pur pentru intervalul -100 la $+200^\circ\text{C}$ și cuprul pur în domeniul -20 la $+100^\circ\text{C}$.

Rezistența electrică a termometrului, aflat la diferite temperaturi, se măsoară cu ajutorul unei punți electrice (punte Wheatstone) în care una dintre ramuri este chiar firul termometrului. Datorită preciziei mari cu care se măsoară rezistența cu ajutorul punților electrice, precizia termometrului cu rezistență este de $0,001^\circ\text{C}$.

Termistorii sunt termometre cu rezistență la care corpul termometric este o substanță semiconductoare. În cazul semiconducțorilor, rezistența electrică scade sensibil odată cu creșterea temperaturii, după o legă exponențială, iar coeficientul termic al rezistenței este

negativ și aproximativ de 10 ori mai mare decât la metale. De asemenea rezistivitatea electrică este de sute de ori mai mare decât rezistivitatea conductorilor. Datorită acestor proprietăți sensibilitatea termistorilor este foarte mare iar dimensiunile lor (datorită rezistivității mari) pot fi relativ mici (de ordinul unui mm sau mai mic).

Rezistența lor se măsoară tot cu ajutorul unei punți electrice. Precizia de măsurare a temperaturii cu termistorul, în acest caz, este de $0,001^\circ\text{C}$.

c) *Termocuplul*. Termocuplul este un dispozitiv de măsurare a temperaturilor care se bazează pe fenomenul termoelectric numit efect Seebeck, descoperit de Seebeck în anul 1821. Efectul Seebeck constă în apariția unei tensiuni electromotoare într-un circuit electric închis, format din doi conductori de natură diferită, atunci cînd locurile de sudură a celor două metale au temperaturi diferite. Tensiunea ce apare în circuit poate denumirea de tensiune termoelectrică iar valoarea ei depinde de diferența $t_1 - t_2$ dintre temperaturile la care se află sudurile. În cazul termometrului cu termocuplu (denumit pe scurt termocuplu) corpul termometric îl constituie cele două metale sudate la capete (numite și cupluri) iar mărimea termometrică este tensiunea termoelectromotoare (prescurtat t.t.e.m.)

Pentru a putea folosi la măsurarea temperaturii, termocuplul trebuie să îndeplinească anumite condiții și anume:

- materialele din care sunt confecționați conductorii termocuplului să nu-și modifice structura în timpul măsurării;
- t.t.e.m. să depindă puternic de temperatură pentru a asigura o sensibilitate mare;
- legea de variație a t.t.e.m. cu temperatură să fie simplă (pe căi posibil lineară).

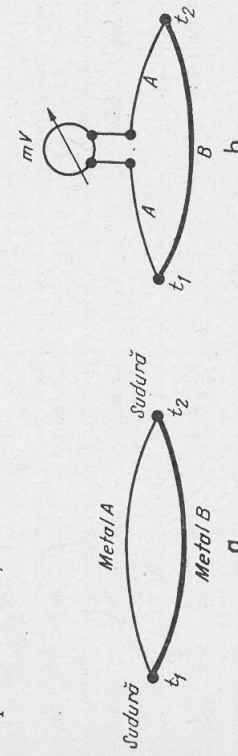


Fig. 1.3. a) Termocuplu; b) montajul de măsură al unui termocuplu.

Pentru a măsura temperatura cu un termocuplu, în circuitul său trebuie introdus un aparat de măsură t.t.e.m. (se folosește de obicei un milivoltmetru). Conectarea aparatului de măsură la un termocuplu (fig. 1.3, a) se face ca în figura 1.3, b. Milvoltmetrul va indica o tensiune proporțională cu diferența $t_2 - t_1$. Sudura termocuplului,

aflată la temperatura t_2 se numește sudură caldă dacă $t_2 > t_1$, iar sudura aflată la temperatura t_1 se numește sudură rece. Dacă sudura rece se menține la temperatura de 0°C , prin introducerea ei într-un vas Dewar (termos) în care se afilă gheată care se topeste, indicația milivoltmetrului este proporțională cu temperatura la care se afilă sudura caldă. Pentru domeniul restrins de temperatură această proporționalitate poate fi descrisă de ecuația:

$$E_t = E_0 + at$$

unde a este o constantă ce depinde de natura termocuplului, E_t și E_0 sunt t.e.m. la temperatura 0°C , respectiv la 0°C .

Sensibilitatea termocuplului se definește ca fiind egală cu $S = \frac{\Delta E}{\Delta t} = \frac{E_2 - E_1}{t_2 - t_1}$ și se exprimă, de obicei în $\mu\text{V}/\text{grad}$. Ea reprezintă tensiunea t.e.m. generată de termocuplu cînd între suduri există o diferență de temperatură de 1°C . Cunoscind sensibilitatea termocuplului și luând $t_1 = 0^\circ\text{C}$, iar $t_2 = t$ (temperatura de măsurat), avem $t = \frac{E}{S}$, unde E este indicația milivoltmetrului la temperatura t .

Cele mai răspindite termocupluri cît și domeniul lor de funcționare sint indicate în tabelul 1.3.

Tabelul 1.3.

Termocuplu	Polaritatea	Limita de utilizare,	
		Minimă	Maximă
Cupru – Constantan ¹⁾	Cu + Constantan –	-200	400
	Fe + Constantan –	-200	600
Cromel + Alumel ²⁾	Cromel + Alumel –	-50	900
	Pt Rh + Pt –	0	1 300

¹⁾ Constantanul – aliaj format din: 45% Ni și 55% Cu.

²⁾ Cromelul – aliaj format din: 89% Ni, 10% Cr și 1% Fe.

³⁾ Alumelul – aliaj format din: 94% Ni, 2,5% Mn, 2% Al, 1% Si și 0,5% Fe.

pe scara celor două termometre. Se cunoște coeficientii de dilatare volumică ai mercurului, alcoolului și al sticlei $\gamma_{HG} = 18,2 \cdot 10^{-5} \text{ K}^{-1}$, $\gamma_{alcool} = 108 \cdot 10^{-5} \text{ K}^{-1}$, $\gamma_{sticla} = 27 \cdot 10^{-6} \text{ K}^{-1}$.

Rezolvare.

Volumul corespunzător unei diviziuni (unui grad) este egal cu creșterea aparentă de volum a lichidului termometric datorită incălzirii cu 1°C . Considerăm că la 0°C lichidul termometric ocupă în întregime volumul $V_r = V_0$ al rezervorului termometric (v. fig. 1.4). Dilatarea aparentă a lichidului cînd temperatura crește cu $\Delta t^\circ\text{C}$, va fi

$$\Delta V_{ap} = \Delta V_{litchid} - \Delta V_{sticla} = V_r \gamma_{litchid} \Delta t - V_0 \gamma_{sticla} \Delta t =$$

$$= V_r (\gamma_{litchid} - \gamma_{sticla}) \Delta t.$$

Făcind pe $\Delta t = 1^\circ\text{C}$, avem creșterea de volum corespunzătoare unei variații de temperatură egală cu 1°C :

$$(\Delta V_{ap})_{1^\circ\text{C}} = V_r (\gamma_{litchid} - \gamma_{sticla}). \quad (1)$$

Dar acestei creșteri de volum îi corespunde o variație Δx a lungimii coardei de lichid în tubul capilar, care este tocmai lungimea de pe scara termometrului corespunzătoare unui grad, dată de relația: $(\Delta V_{ap})_{1^\circ\text{C}} = S \Delta x$. (2)

Din (1) și (2) se obține, pentru lungimea corespunzătoare unui grad pe scara termometrului, expresia

$$\Delta x = \frac{V_r}{S} (\gamma_{litchid} - \gamma_{sticla}).$$

Dacă notăm cu Δx_{HG} și cu Δx_{alcool} lungimile unui grad în cazul celor două termometre, se obține

$$\frac{\Delta x_{alcool}}{\Delta x_{HG}} = \frac{\gamma_{alcool} - \gamma_{sticla}}{\gamma_{HG} - \gamma_{sticla}}.$$

Din datele problemei rezultă

$$\frac{\Delta x_{alcool}}{\Delta x_{HG}} = \frac{108 \cdot 10^{-5} \text{ K}^{-1} - 27 \cdot 10^{-6} \text{ K}^{-1}}{18,2 \cdot 10^{-5} \text{ K}^{-1} - 27 \cdot 10^{-6} \text{ K}^{-1}} = 6,79 \simeq 6,8.$$

2. Într-un laborator există un termocuplu. Nu se cunoaște natura metalelor din care este confectionat. Pentru identificarea lui s-a măsurat t.e.m. la două temperaturi $t_1 = 10^\circ\text{C}$ și $t_2 = 20^\circ\text{C}$. Indicația milivoltmetrului au fost $E_1 = 0,5 \text{ mV}$ și $E_2 = 2,58 \text{ mV}$. Să se determine natura termocuplului.

Rezolvare.

Sensibilitatea termocuplului este

$$S = \frac{\Delta E}{\Delta t} = \frac{E_2 - E_1}{t_2 - t_1} = \frac{2,08 \text{ mV}}{10 \text{ grd}} = 208 \frac{\mu\text{V}}{\text{grd}}$$

Din tabelele de sensibilitate a termocuplelor rezultă că este vorba de un termocuplu Fe-Constantan.

3. Pentru a măsura temperatură unui termostat s-a folosit un termometru cu sîrmă de fier. La temperatură $t_1 = 18^\circ\text{C}$, rezistența termometrului a fost de $R_1 = 15 \Omega$. În termostat rezistența termometrului era de $R_2 = 18,25 \Omega$. Să se determine temperatura t_2 a termostatului, cunoscind coeficientul termic al fierului $A_F = 6 \cdot 10^{-3} \text{ grd}^{-1}$.

Rezolvare.

Rezistențele termometrului la cele două temperaturi sunt date de expresiile:

$$R_1 = R_0(1 + At_1) \quad \text{și} \quad R_2 = R_0(1 + At_2),$$

unde R_0 este rezistența termometrului la 0°C .

Făcând raportul între R_1 și R_2 , avem

$$\frac{R_1}{R_2} = \frac{1 + At_1}{1 + At_2}. \quad (3)$$

Dar produsul At este mic față de 1, astfel că se poate folosi approximația $\frac{1}{1+x} \approx 1 - x$ cind $x \ll 1$. În acest caz (3) devine

$$\frac{R_1}{R_2} (1 - At_1) = 1 - At_2,$$

de unde

$$t_2 = \frac{R_2 - R_1}{A R_2} + t_1 = 54,1^\circ\text{C}.$$

PROBLEME

1. Un termometru cu mercur, greșit etalonat, introdus în gheata care se topeste la presiune atmosferică normală indică -5°C , iar în vaporii apei care fierbe la presiune normală, $+103^\circ\text{C}$. Care este valoarea reală a temperaturii cind el indică $27,5^\circ\text{C}$.

$$\text{R: } t = 62,5^\circ\text{C}.$$

2. Presiunea hidrogenului dintr-un termometru cu gaz la volum constant V_0 creste de la valoarea p_0 la temperatura $t_0 = 0^\circ\text{C}$, la valoarea p_1 la temperatura t_1 . Să se determine această temperatură dacă se cunosc: coeficientul de dilatăre volumică al vasului γ și coefficientul de dilatăre volumică a hidrogenului γ_H .

$$\text{R: } t_1 = \frac{p_1 - p_0}{\gamma_H V_0 - \gamma V}, \quad (1.4)$$

3. Sudura rece a unui termocuplu Cu-constantan este meninută la 0°C . Dacă sudura caldă este meninută la 100°C , t.t.e.m. este $E_1 = 4,277$ mV. Să se afle la ce temperatură t_2 , t.t.e.m. devine $E_2 = 9,288$ mV.

$$\text{R: } t_2 = 222^\circ\text{C}$$

1.5. ENERGIA INTERNĂ

După cum am văzut, un sistem termodynamic este format dintr-un număr foarte mare de particule. Aceste particule se află într-o mișcare continuă și dezordonată, mișcarea termică, între particule manifestându-se forțe de interacțiune.

Energia particulelor care participă la mișcarea termică și care interacționează între ele poartă numele de *energie internă*.

Energia internă a unui sistem se compune din **energia cinetică** a mișcării de translatăie, de rotație și de vibrație a particulelor, cît și din **energia potențială determinată de totalitatea forțelor de interacțiune**.

Această energie nu trebuie confundată cu energia totală a unui sistem, care se compune din energia externă și energia internă. Energia internă este deci numai o parte din energia totală a sistemului. Energia externă se compune din energia cinetică și energia potențială a unui sistem considerat ca un întreg și care se studiază în cadrul mecanicii.

Energia internă U a unui sistem este un parametru intern și deci, conform postulatului al doilea al termodinamicii, va depinde numai de parametrii externi a_i și de temperatura T , adică

$$U = U(a_i, T). \quad (1.2)$$

Ecuția (1.2) poartă numele de *ecuația calorică de stare*. Această ecuație a fost astfel numită, deoarece pe baza ei se pot obține toate mărimile care se măsoară în calorii (sau în joule), ca de exemplu căldările molare, căldurile latente etc.

Dacă considerăm ca sistem termodynamic un gaz, atunci parametrii externi a_i coincid cu volumul gazului V . În acest caz relația (1.2) ia forma

$$U = U(V, T). \quad (1.3)$$

Conform ecuației (1.2) sau (1.3) energia internă U depinde de temperatura T și pentru toate sistemele termodinamice care se întâlnesc în mod obisnuit în natură, odată cu creșterea temperaturii crește și energia internă a sistemului (numai sistemele formate din spinii nucleari ai unor cristale se abat de la această regulă).

Ecuția care leagă parametrii de stare se poate scrie sub forma

$$\hat{p} = \hat{p}(V, T), \quad (1.4)$$

în care \hat{p} este presiunea gazului. Ecuția (1.4) poartă numele de *ecuație termică de stare* deoarece pe baza ei se poate determina temperatura.

Ecuțiile de stare, ecuația calorică și ecuația termică, nu pot fi deduse din principiile termodynamicii. Aceste ecuații se deduc din experiență, pentru fiecare sistem în parte. Astfel, pentru un gaz ideal ecuația termică are forma binomică $\hat{p}V = \gamma V T$, iar ecuația calorică $U = \gamma C_V T$, ecuații care pot fi deduse și din considerații cinetică-moleculară (statistice). Pentru alte sisteme, cum este cazul gazului real, al lichidelor sau solidelor, există alte ecuații de stare, deduse fie experimental fie pe baza fizicii statisticice.

1.6. LUCRU MECANIC

Un sistem termodynamic poate interacționa cu mediul înconjurător în sensul că poate avea loc un schimb de energie între sistem și corpuri înconjurătoare. Dacă sistemul primește sau cedează energie din sau spre exterior, în acest fel incit corpurile înconjurătoare să sufere o deplasare în urma acestui schimb, se spune că sistemul absorbe sau produce lucru mecanic.

Energia schimbată de un sistem termodinamic cu exteriorul, schimb în urma căruia are loc o variație a parametrilor externi, se numește lucru mecanic L .

Lucrul mecanic L îl considerăm, prin convenție, pozitiv cind sistemul cedează energie mediului exterior, deci lucru mecanic efectuat de sistem. Lucrul mecanic L îl considerăm negativ cind sistemul primește energie de la mediul exterior.

Înănd seamă de definiție și de convenția adoptată, rezultă că

$$\Delta U = -L, \quad (1.5)$$

în care $-L$ este lucru mecanic efectuat asupra sistemului.

1.6.1. Lucru mecanic elementar. Să calculăm lucrul mecanic efectuat de un gaz care interacționează cu exteriorul numai sub acțiunea forțelor mecanice. Pentru aceasta vom considera un gaz închis într-un cilindru cu piston, în stare inițială 1 având parametrii p_1, V_1 . Presupunem că acest gaz se destinde pînă în stare finală 2, caracterizată de parametrii p_2, V_2 . Transformarea suferită de gaz este reprezentată în figura 1.5. Pentru o variație finită de volum, în sistemul de coordonate (ϕ, V) , lucru mecanic reprezentă aria delimitată de curba transformării și ordinata punctelor extreme (fig. 1.5).

Lucrul mecanic efectuat împotriva forțelor exterioare F , pe distanță dx , este $dL = Fdx$. Deoarece $F = pS$, în care S este suprafața pistonului, rezultă că $dL = pSdx$, sau

$$dL = p dV, \quad (1.6)$$

lucru mecanic elementar dL este egal cu produsul dintre presiunea p și variația de volum elementar dV . Să considerăm însă că pistonul nu se deplasează pe o

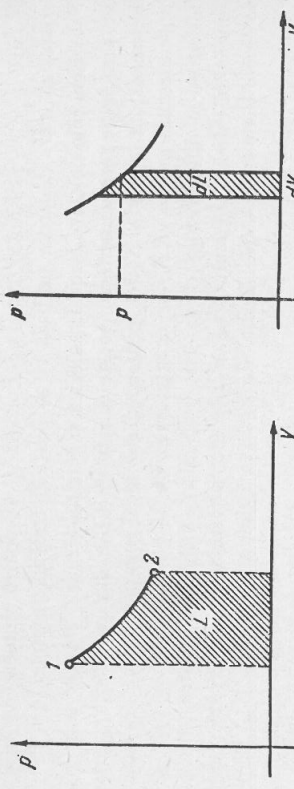


Fig. 1.5. Lucru mecanic în variabile (p, V) . Un sistem termodinamic mai poate schimba energie cu mediul exterior fără ca parametrii externi să se modifice. În acest caz se spune că între sistem și exterior are loc un schimb de energie sub formă de căldură.

Energia schimbată de un sistem termodinamic cu mediul exterior, cind parametrii extenii nu se modifică, se numește căldură.

de reprezentarea din figura 1.6 rezultă într-adevăr că geometrie, lucru mecanic elementar, reprezintă aria dreptunghiului elementar. Pentru o variație finită de volum, din relația (1.6) rezultă că lucru mecanic este dat de relația

$$L = \int_{V_1}^{V_2} p dV, \quad (1.7)$$

și este reprezentat în figura 1.5. Relația (1.7) explică de ce lucru mecanic reprezintă aria delimitată de curba transformării și ordinata punctelor extreme, integrala reprezentă o însumare de procese elementare.

1.6.2. Calculul lucrului mecanic pentru diverse transformări. Să calculăm în continuare lucru mecanic pentru diverse transformări, folosindu-ne de relația (1.7). Dacă transformarea este izobară ($p = ct.$), rezultă că

$$L_{izobara} = \int_{V_1}^{V_2} p dV = p \int_{V_1}^{V_2} dV \text{ sau} \quad (1.8)$$

$$L_{izobara} = p(V_2 - V_1).$$

Pentru o transformare izocoră ($V = ct.$) $dV = 0$ și din relația (1.7), rezultă că

$$L_{izocor} = 0. \quad (1.9)$$

Dacă transformarea este izotermă ($T = ct.$) și gazul este ideal, lucru mecanic este dat de expresia

$$L_{izotermă} = \int_{V_1}^{V_2} p dV = \int_{V_1}^{V_2} \frac{\nu RT}{V} dV = \nu RT \int_{V_1}^{V_2} \frac{dV}{V}, \text{ sau} \quad (1.10)$$

$$L_{izotermă} = \nu RT \ln \frac{V_2}{V_1}.$$

Înănd seamă că în transformarea izotermă $p_1 V_1 = p_2 V_2$, relația (1.10) mai poate fi scrisă sub forma

$$L_{izotermă} = \nu RT \ln \frac{p_1}{p_2}, \quad (1.11)$$

în care ν este numărul de moli de gaz, iar R constanta universală a gazelor ($R = 8310 \text{ J/kmol.K}$).

1.7. CĂLDURĂ

Un sistem termodinamic mai poate schimba energie cu mediul exterior fără ca parametrii externi să se modifice. În acest caz se spune că între sistem și exterior are loc un schimb de energie sub formă de căldură.

Deci:

$$\Delta U = Q, \quad (1.12)$$

unde se consideră, prin convenție, căldura Q pozitivă dacă sistemul primește energie din exterior și negativă dacă sistemul cedează energie corpuriilor exterioare.

Lucru mecanic L și căldura Q constituie două forme distincte în care poate avea loc un schimb de energie între un sistem termodinamic și mediul exterior; prin lucru mecanic, variind parametrii externi, are loc un transfer de mișcare macroscopică ordonată în mișcare microscopică dezordonată, în timp ce prin schimb de căldură are loc un transfer de mișcare dezordonată microscopică în aceeași formă de mișcare.

Pentru mai multă claritate să luăm un exemplu. Considerăm un cilindru cu piston în care se află un gaz într-o stare bine determinată. Dacă vom comprima gazul, prin împingerea pistonului, gazul va suferi o transformare, în stare finală atât presiunea lui cît și temperatura vor crește. Putem spune că se transmis energie gazului prin comprimarea lui, deci prin variația parametrilor externi (prin variația volumului) sub formă de lucru mecanic. Mișcarea macroscopică ordonată a pistonului a dus la intensificarea mișcării dezordonate a moleculelor de gaz, iar în final, la creșterea energiei interne a gazului.

Dacă însă menținem constantă poziția inițială a pistonului, se poate mări energia internă a gazului prin încălzire, punând cilindrul în contact cu o sursă caldă. În acest caz parametrii externi rămân constanti (pistonul rămîne fix), însă prin intermediu ciocnirilor moleculare, de la gaz la sursă caldă și invers, are loc un transfer de căldură, care duce la intensificarea mișcării moleculelor. Gazul se încălzește printr-un transfer de mișcare dezordonată de la sursa de căldură la gaz.

Dacă există un schimb de energie prin efectuare de lucru mecanic sau prin schimb de căldură, în starea finală sistemul va avea o energie mai mare sau mai mică, în comparație cu starea inițială, dar în nici un caz nu putem spune că sistemul conține atât căldură sau atât lucru mecanic în urma acestui schimb. Lucru mecanic și căldura intervin numai în timpul procesului de transmitere a energiei, ele neputind caracteriza starea unui sistem. Din această cauză atât lucru mecanic cît și căldura nu sunt funcții de stare, spre deosebire de energia internă a unui sistem care este o funcție de stare, aşa cum vom vedea mai departe.

1.7.1. Mărimi calorice. Definim în continuare câteva mărimi legate direct de căldură, mărimi ce se folosesc curent în calorimetrie. Căldura se măsoară în unități de energie, deci în SI în joule (J). În tehnică se folosesc curent și unitatea tolerată, *caloria*. Caloria de 20°C, cu simbolul cal_{20} , reprezintă căldura necesară unui gram de apă pură pentru a-și ridica temperatura cu un grad, de la 19,5°C la 20,5°C, la presiunea atmosferică normală. Caloria de 15°C, cu simbolul cal_{15} , reprezintă căldura necesară unui gram de apă

pură pentru a-și ridica temperatura cu un grad, de la 14,5°C la 15,5°C, la presiunea atmosferică normală ($1\ cal_{15} = 4,1855\ J$; $1\ cal_{20} = 0,999\ cal_{15}$). *Căldura specifică mezie* a unui corp reprezintă căldura ΔQ necesară unei mase M din acel corp pentru a-și ridica temperatura cu Δ^oC , într-o transformare dată, adică

$$C = \frac{\Delta Q}{M\Delta^o},$$

Căldura specifică c a unui corp, pentru o temperatură dată t , reprezintă limita către care tinde căldura specifică medie a corpului, cînd intervalul de temperatură tinde la zero, adică

$$c = \lim_{\Delta t \rightarrow 0} \frac{\Delta Q}{M\Delta t}, \text{ sau}$$

$$c = \frac{1}{M} \cdot \frac{dQ}{dt}.$$

Unitatea de măsură pentru căldura specifică se deduce din relația de condiție a expresiei de mai sus, astfel că

$$[c]_{SI} = \frac{J}{kg \cdot K}, \\ [c]_{tolerat} = \frac{kcal}{kg \cdot K}.$$

Deoarece căldura are sens numai pentru o transformare dată, rezultă că și căldurile specifice vor avea sens numai pentru o transformare dată, ceea ce se specifică printre-un indice atașat la acestea. La gaze avem căldura specifică la volum constant c_v și căldura specifică la presiune constantă, c_p , călduri specifice ce au valori diferite pentru gaze și anume $c_p > c_v$. La solide $c_v \approx c_p$ deoarece variațiile de volum sunt foarte mici, practic neglijabile la variația temperaturii cu un grad.

Căldurile specifice ale gazelor, lichidelor și solidelor, la temperaturi situate în jurul temperaturii camerei, nu depind de temperatură. La temperaturi joase însă căldurile specifice depind de temperatură și anume cînd temperatura tind spre zero absolut și căldurile specifice tind la zero.

La temperaturi înalte, pe măsură ce crește temperatura cresc și valorile căldurilor specifice, exceptie făcînd doar mercurul, a cărui căldură specifică scade cu creșterea temperaturii și gazele monoatomice ale căror călduri specifice nu depind de temperatură.

Produsul dintre masa unui corp și căldura sa specifică poartă numele de *căpacitatea calorică*. Dacă luăm masa substanței egală cu masa sa molară μ , atunci

$$C = \mu c,$$

în care C este căldura molară a substanței. Aceasta se măsoară în $[C]_{SI} = \frac{J}{kmol \cdot K}$, $[C]_{tolerat} = \frac{kcal}{kmol \cdot K}$.

La gaze există căldura molară la volum constant C_v și căldura molară la presiune constantă C_p , cu $C_p > C_v$.

1.8. PRIMUL PRINCIPIU AL TERMODINAMICII

Termodynamica se bazează pe trei principii fundamentale, numite *principiile termodynamicii*, care pot fi reprezentate cantitativ sub forma unor ecuații denumite *ecuațiile fundamentale ale termodynamicii*.

Prințipiu al termodynamicii reprezintă forma generală, canticativă, a legii conservării energiei. Acest principiu introduce o funcție de stare, energia internă, care poate să varieze numai sub acțiunea forțelor exterioare.

Prințipiu al termodynamicii se poate enunța astfel:

Cind un sistem termodynamic se află sub acțiunea unor forțe exterioare și trece dintr-o stare inițială într-o stare finală, atunci variația energiei interne a sistemului în această transformare este egală cu căldura primită de sistem (Q) și cu lucru mecanic efectuat asupra acestuia ($-L$).

Matematic, primul principiu al termodynamicii, pentru un proces finit, se scrie sub forma

$$(1.13) \quad U_2 - U_1 = Q - L.$$

Schematic relația (1.13) este reprezentată în figura 1.7. Căldura Q pe care o primește sistemul ducă la schimbarea energiei interne a sistemului și la efectuarea lucrului mecanic L .

Din primul principiu al termodynamicii rezultă cîteva consecințe deosebit de importante și anume:

a) relația (1.13) se mai poate scrie sub forma $L = Q - (U_2 - U_1)$, adică lucru mecanic poate fi efectuat fie prin variația energiei interne a sistemului, fie cedind sistemului căldură;

b) dacă sistemul efectuează o transformare ciclică atunci $U_2 - U_1 = 0$ și din relația (1.13) rezultă că $L = Q$; în transformările ciclice un sistem poate efectua lucru mecanic numai dacă primește căldură din exterior. Această afirmație, care rezultă ca o consecință directă a "primului principiu al termodynamicii explică *impossibilitatea construirii unui perpetuum mobile de tipul I*", adică imposibilitatea

"unei mașini care să furnizeze lucru mecanic fără să primească energie din exterior. Odată cu formularea principiului principiu al termodynamicii s-a crezut că aceste proiecte vor începta să mai apară; în realitate, chiar și astăzi apar fel de "inventatori" care caută să înfirme acest principiu al termodynamicii cu proiecte din ce în ce mai sofisticate, dar toate se lovesc de acesta ca de o barieră de netrecut;

c) primul principiu al termodynamicii conține *legea conservării energiei*: într-adevăr, dacă considerăm un sistem izolat, adică un sistem care nu schimbă nici un fel de energie cu exteriorul, atunci $L = Q = 0$ și din relația (1.13) rezultă că $U_2 - U_1 = 0$, sau $U_2 = U_1$, *energia sistemelor izolate se conservă*. De asemenea, pentru diverse transformări termodinamice, din primul principiu al termodynamicii (1.13) rezultă că:

d) în transformarea izocoră $L = 0$ și deci $U_2 - U_1 = Q$, căldura absorbătă de un sistem ducă numai la creșterea energiei interne a sistemului;

e) în transformarea izobară $L = p(V_2 - V_1)$ astfel că $Q = U_2 - U_1 + p(V_2 - V_1)$, căldura absorbătă de sistem ducă la creșterea energiei interne a sistemului și la efectuarea de lucru mecanic;

f) într-o transformare adiabatică, transformare în care nu se schimbă căldura între sistem și exterior ($Q = 0$), din relația (1.13) rezultă că $U_2 - U_1 = -L$, lucru mecanic efectuat de sistem se face numai pe seama energiei interne a sistemului, care scade. Cu ajutorul principiului al termodynamicii se poate arăta că ecuația de stare pentru o transformare adiabatică are forma

$$(1.14) \quad pV^\gamma = \text{ct.}$$

în care $\gamma = \frac{C_p}{C_V}$ este exponentul *adiabatic*. Pentru două stări distincte, din relația (1.14) rezultă că

$$(1.14') \quad p_1 V_1^\gamma = p_2 V_2^\gamma.$$

Ecuația de stare (1.14) poate fi scrisă și în variabile (V, T) , ținând seama de ecuația de stare a gazului ideal $pV = \nu RT$, astfel:

$$(1.15) \quad TV^{\gamma-1} = \text{ct.}$$

Probleme rezolvate. 1. Într-un cilindru vertical cu piston ce se poate mișca fără fricare se află o masă $m = 2$ kg de oxigen. Pentru o ridică temperatură gazului cu $\Delta T = 5K$ acestuia însă transmis căldura $Q = 9160$ J. Să se afle: a) căldura specifică în procesul de încălzire; b) lucru mecanic efectuat de gaz pînă destindere; c) variația ΔU a energiei interne a gazului. Masa molară a oxigenului se cunoaște $\mu = 32$ kg/kmol.

Rezolvare.

Asupra pistonului acționează trei forțe (fig. 1.8). Forța de greutate \vec{G} a pistonului, forța datorată presiunii atmosferice \vec{F}_0 și forța datorată presiunii gazului \vec{F} închis în cilindru. Prințipală forță rămîn mereu constantă. Deoarece în orice poziție a sa pistonul se află în echilibru, rezultă că în procesul încălzirii presiunea oxigenului rămîne constantă.

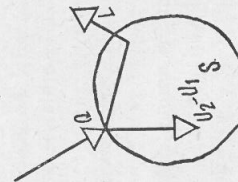


Fig. 1.7. Primul principiu al termodynamicii reprezentat schematic.

Fig. 1.8. La problema rezolvată 1.

Rezolvare.

a) Căldura specifică în procesul încălzirii este căldura specifică izobară:

$$c_p = \frac{Q}{m\Delta T} = \frac{9 \cdot 160 \text{ J}}{2 \text{ kg} \cdot 5 \text{ K}} = 916 \frac{\text{J}}{\text{kg} \cdot \text{K}}$$

b) Lucrul mecanic efectuat de gaz într-o destindere izobară este:

$$L_{12} = p(V_2 - V_1),$$

unde V_1 și V_2 sunt volumele ocupate de gaz în stareau inițială, respectiv finală. Aceste volume se află din ecuația de stare, scrisă pentru cel-două stări

$$pV_1 = \frac{m}{\mu} RT_1; \quad pV_2 = \frac{m}{\mu} RT_2. \quad (1)$$

Înlocuind pV_1 și pV_2 din (1) se obține

$$L_{12} = \frac{m}{\mu} R(T_2 - T_1) = \frac{m}{\mu} R\Delta T = \frac{2 \text{ kg}}{32 \text{ kg/kmol}} \cdot 8,31 \cdot 10^3 \frac{\text{J}}{\text{kmol K}} \cdot 5 \text{ K} = 2,596 \text{ J.}$$

c) Căldura absorbită de gaz duce la creșterea energiei interne a gazului și la efectuarea de lucru mecanic. Din primul principiu al termodinamicii, avem

$$Q = \Delta U + L,$$

de unde: $\Delta U = Q - L = 9 \cdot 160 \text{ J} - 2,596 \text{ J} = 6,564 \text{ J.}$

2. Aerul aflat într-un vas de volum $V = 0,2 \text{ m}^3$ la presiunea $p_1 = 2 \cdot 10^5 \frac{\text{N}}{\text{m}^2}$ este răcit izocor, pînă când presiunea este redată la $Q = 50 \text{ kJ}$. Să se afle: a) presiunea finală; b) lucrul mecanic efectuat; c) variația energiei interne. Căldura molară izocoră a aerului $C_V = \frac{5}{2} R$ (R este constanta universală a gazelor).

Rezolvare.

a) Căldura cedată de aer este

$$Q = vC_V(T_1 - T_2), \quad (3)$$

unde v este numărul de kmoli de aer, iar T_1 și T_2 temperaturile inițială, respectiv finală. Datorită răcării $T_1 > T_2$. Scrind ecuația de stare avem:

$$p_1V = vRT_1, \quad \text{și} \quad p_2V = vRT_2. \quad (4)$$

Folosind (3) și (4) și $C_V = \frac{5}{2} R$ se obține

$$Q = \frac{5}{2} V(p_1 - p_2).$$

De unde:

$$p_2 = p_1 - \frac{2}{5} \frac{Q}{V} = 2 \cdot 10^5 \frac{\text{N}}{\text{m}^2} - \frac{2}{5} \frac{50 \cdot 10^3 \text{ J}}{0,2 \text{ m}^3} = 10^5 \frac{\text{N}}{\text{m}^2}$$

b) Transformarea fiind izocoră, $L = 0$.

c) Din primul principiu al termodinamicii rezultă

$$\Delta U = Q = 50 \cdot 10^3 \text{ J.}$$

3. Temperatura unei mase m de gaz ideal, avînd masa molară μ , crește cu ΔT cînd gazul este încălzit; odată la $p = \text{const.}$, iar a două oară cînd este încălzit la $V = \text{const.}$ Să se afle: a) presiunea finală și volumul final; b) variația energiei interne; c) căldura absorbită și lucrul mecanic efectuat de gaz. Masa molară a aerului $\mu = 29 \text{ kg/kmol}$.

Rezolvare.

a) Transformarea fiind izotermă, avem

$$p_1V_1 = p_2V_2$$

sau, folosind datele problemei

$$p_2 = \frac{p_1 V_1}{V_2} = \frac{p_1 V_1}{V_1 - e} = p_1 e = 2,718 \cdot 10^5 \frac{\text{N}}{\text{m}^2}.$$

Pentru volumul final avem $V_2 = \frac{V_1}{e}$, iar pe V_1 îl aflăm din ecuația de stare, scrisă în stareea I

$$p_1 V_1 = \frac{m}{\mu} R T_1$$

deci

$$V_2 = \frac{V_1}{e} = \frac{m}{\mu} \frac{R T_1}{p_1} \cdot \frac{1}{e} := \frac{58 \cdot 10^{-3} \text{kg}}{29 \text{kg/kmol}} \cdot \frac{1}{10^5 \frac{\text{N}}{\text{m}^2}} \cdot \frac{1}{2,718} =$$

$$= 18,3 \cdot 10^{-3} \text{m}^3 = 18,3 \text{l}.$$

b) Transformarea fiind izotermă rezultă $\Delta U = 0$.

c) Lucrul mecanic întro-transformare izotermă cind gazul trece din starea I în starea 2 este:

$$L_{12} = \int_{V_1}^{V_2} \dot{p} dV = \frac{m}{\mu} R T \ln \frac{V_2}{V_1}.$$

$$\text{În cazul nostru } L_{12} = \frac{m}{\mu} R T \ln \frac{1}{e} = - \frac{m}{\mu} R T = - \frac{58 \cdot 10^{-3} \text{kg}}{29 \text{kg/kmol}} \cdot 8,31 \cdot 10^3 \frac{\text{J}}{\text{kmol} \cdot \text{K}} \cdot 300 \text{ K} = - 49,86 \cdot 10^2 \text{ J} = - 5 \text{ kJ}.$$

Lucrul mecanic fiind negativ înseamnă că nu aerul efectuează lucru mecanic asupra mediului exterior, ci asupra aerului se efectuează lucru mecanic.

Deoarece $\Delta U = 0$, rezultă $Q = L < 0$. Aducă asupra gazului se efectuează lucru mecanic din exterior iar gazul cedează mediului o cantitate de căldură egală cu lucru efectuat asupra sistemului.

5. Un gaz ideal, având căldura molară izocoră $C_V = \frac{5}{2} R$ (R constantă universală a gazelor) se destinde după legea descrisă de relația $\dot{p} = aV$, unde $a = 10^8 \frac{\text{N}}{\text{m}^3}$ de la un volum $V_1 = 11 \text{ l}$ un volum $V_2 = 21 \text{ l}$. Să se calculeze: a) lucrul mecanic efectuat de gaz; b) variația energiei interne a gazului; c) căldura absorbită de gaz; d) căldura molară C în această transformare.

Rezolvare.

a) Lucrul mecanic efectuat de gaz este dat de expresia

$$L_{12} = \int_{V_1}^{V_2} \dot{p} dV \quad (9)$$

folosind pentru toate transformările în care presiunea nu rămîne constantă. Înlocuind în (9) $\dot{p} = aV$ și integrind, avem

$$L = \int_{V_1}^{V_2} aV dV = a \int_{V_1}^{V_2} V dV = \frac{1}{2} a (V_2^2 - V_1^2) = \frac{1}{2} \cdot 10^8 \frac{\text{N}}{\text{m}^5} \cdot (2^2 - 1^2) \cdot 10^{-6} \text{m}^6 = 150 \text{ J}.$$

b) Gazul fiind ideal, rezultă că ΔU este proporțional cu ΔT . Să stabilim această dependență. Din primul principiu avem

$$Q = \Delta U + L.$$

Considerăm că gazul absorbe căldură la volum constant, în acest caz $Q_V = \Delta U$ ($L = 0$, deoarece $\Delta V = 0$). Dar din definiția lui $C_V = \frac{Q_V}{\sqrt{\Delta T}}$ (unde v este numărul de kilomoli de gaz) rezultă

$$C_V = \frac{\Delta U}{\sqrt{\Delta T}}$$

care ne dă relația căutată $\Delta U = v C_V \Delta T = v C_V (T_2 - T_1)$, adverată pentru toate gazele ideale. Folosind această relație avem,

$$\Delta U = v C_V (T_2 - T_1) = C_V \frac{1}{R} (p_2 V_2 - p_1 V_1) \quad (10)$$

unde am exprimat pe T_2 și T_1 din ecuația de stare.

Dar $C_V = \frac{5}{2} R$, deci (10) devine

$$\Delta U = \frac{5}{2} (p_2 V_2 - p_1 V_1). \quad (11)$$

Inlocuim p_1 și p_2 cu valorile din $p_1 = aV_1$ și $p_2 = aV_2$, avem

$$\Delta U = \frac{5}{2} a (V_2^2 - V_1^2) = 5 L = 750 \text{ J}.$$

c) Căldura absorbită se obține din principiul I al termodinamicii, având pe L și ΔU :

$$Q = \Delta U + L = (750 + 150) \text{ J} = 900 \text{ J}.$$

d) Procesul de încălzire a gazului fiind oarecare, putem scrie

$$Q = v C \Delta T,$$

de unde

$$C = \frac{Q}{\sqrt{\Delta T}} = \frac{\Delta U + L}{\sqrt{\Delta T}}.$$

Deoarece nu cunoaștem pe v, îl înlocuim din $\Delta U = v C \Delta T$,

$$C = \frac{\Delta U + L}{\Delta U} = C_V \frac{\Delta U + L}{\Delta U} = \frac{5}{2} R \frac{\Delta U + L}{\Delta U} = \frac{5}{2} \cdot 8,31 \cdot 10^3 \frac{\text{J}}{\text{kmol} \cdot \text{K}} \cdot \frac{750 \text{ J} + 150 \text{ J}}{750 \text{ J}} = \\ = 24,9 \frac{\text{kJ}}{\text{kmol} \cdot \text{K}}$$

PROBLEME

- Într-un cilindru cu piston, izolat termic de exterior, se află o masă $m = 0,2 \text{ kg}$ de azot la temperatură $t_i = 20^\circ\text{C}$. Azotul se destinde, efectuind lucru mecanic $L = 4,470 \text{ J}$. Să se afle: a) variația energiei interne a azotului; b) temperatură t_2 după destindere. Căldura specifică zocoră a azotului este $c_V = 745 \text{ J/kg} \cdot \text{K}$.

$$\text{R: a)} \Delta U = L = 4,470 \text{ J}; \text{ b)} t_2 = t_1 - \frac{\Delta U}{mc_V} = -10^\circ\text{C}.$$

2. Pentru a ridica temperatura unei mase de gaz $m = 20 \text{ kg}$, avînd masa molară $\mu = 28 \text{ kg/kmol}$, cu $\Delta T = 50 \text{ K}$ la presiune constantă, este nevoie de căldura $Q_p = 0,5 \text{ MJ}$. Să se afle căldura pe care trebuie să o cedeze gazul cînd se răceste la volum constant cu $\Delta T = 50 \text{ K}$.

$$\text{R: } Q_V = Q_p - vR\Delta T = 0,2 \text{ MJ}.$$

3. Temperatura unei mase $m = 1 \text{ kg}$ de apă crește cu $\Delta T = 1 \text{ K}$. Să se calculeze variația energiei într-o revine unei molecule de apă. Căldura specifică a apel se consideră egală cu $c = 4,200 \text{ J/kg} \cdot \text{K}$, masa molară a apel $\mu = 18 \text{ kg/kmol}$, coeficientul de dilatare în volum al apel $\gamma = 2 \cdot 10^{-4} \text{ K}^{-1}$.

$$\text{R: } \Delta U_0 = \frac{\Delta U}{n} = 1,26 \cdot 10^{-22} \text{ J.}$$

4. Un kilomol de oxigen ($\mu = 32 \text{ kg/kmol}$) este încălzit la volum constant de la temperatură initială $t_i = 0^\circ\text{C}$. Ce căldură trebuie transmisă oxigenului pentru ca presiunea lui să crească de 3 ori? Căldura specifică la volum constant pentru oxigen este $c_V = 657 \frac{\text{J}}{\text{kg} \cdot \text{K}}$.

$$\text{R: } Q_V = 2\mu c_p T_1 = 1,15 \cdot 10^7 \text{ J.}$$

5. Să se afle căldura Q_p necesară pentru ca o masă de aer $m = 5 \text{ g}$, aflată la temperatură $T_1 = 290 \text{ K}$ și volumul V_1 să și mărescă volumul de 2 ori. Căldura specifică a aerului la presiune constantă $c_p = 1,018 \text{ J/kgK}$.

$$\text{R: } Q_p = mc_p T_1 = 1,48 \text{ kJ.}$$

6. O masă de aer ce ocupă volumul $V_1 = 2 \text{ l}$ la presiune atmosferică normală se încălzește izobar, absorbind căldura $Q_p = 709,3 \text{ J}$. Să se afle: a) de cîte ori creste volumul aerului la încălzire; b) lucrul mecanic efectuat de gaz; c) variația energiei interne. Se dă $C_p = \frac{5}{2} R$.

$$\text{R: a)} \frac{V_2}{V_1} = 2; \quad b) L = \dot{p}(V_2 - V_1) \simeq 200 \text{ J}; \quad c) \Delta U = \frac{5}{2} Q_p = 506,6 \text{ J.}$$

7. Un gaz aflat într-un cilindru cu piston participă succesiv la următoarele transformări simple:

- a) presiunea gazului crește la volum V_1 constant (transformarea 1 \rightarrow 2); b) volumul crește la presiunea p_2 constantă (transformarea 2 \rightarrow 3); c) volumul crește la temperatură T_3 constantă (transformarea 3 \rightarrow 4); d) gazul revine în starea inițială la presiune constantă p_1 (transformarea 4 \rightarrow 1).

Să se reprezinte în coordonate $p, V; p, T$ și V, T graficele acestor transformări. Să se indice transformările în care gazul primește căldura din exterior și cele în care el cedează căldură. Cum variază temperatură gazului de la o stare la alta și ce lucru mecanic intervine în fiecare transformare?

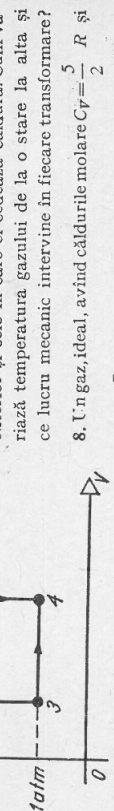


Fig. 1.9. La problema 8.
de parametrii: $p_1 = 2 \text{ atm}$, $V_1 = 2 \text{ l}$, $T_1 = 400 \text{ K}$. În stare finală gazul are parametrii $p_4 = 1 \text{ atm}$, $V_4 = 3 \text{ l}$, $T_4 = 300 \text{ K}$. Din starea inițială în starea finală se poate ajunge pe două căi distincte: a) pe drumul 1 \rightarrow 3 \rightarrow 4 (fig. 1.9) și b) pe drumul 1 \rightarrow 2 \rightarrow 4 în care transformarea 1 \rightarrow 2 este izoterma. Să se calculeze pentru cele două cazuri lucrul mecanic și

căldura schimbată de gaz cu mediul înconjurător și să se arate că indiferent de drumul ales, variația energetică interne este aceeași.

$$\text{R: a)} L = 100 \text{ J}, Q = -150 \text{ J}, \Delta U = -250 \text{ J}; \quad b) L = 162,18 \text{ J}, Q = -87,82 \text{ J}, \Delta U = -250 \text{ J}.$$

1.9. PRINCIPIUL AL DOILEA AL TERMODINAMICII

Principiul al doilea al termodinamicii este *principiul entropiei*, un principiu general care indică sensul de evoluție al tuturor sistemelor din natură. Toate formulările legate de mașinile termice sau de alte fenomene concrete sănătății cazuri particulare, mai mult sau mai puțin generale ale principiului al doilea al termodinamicii.

1.9.1. Mașini termice. Principiul al doilea al termodinamicii este principiul entropiei, dar avînd un grad de generalitate deosebit, el a putut fi formulat numai după ce s-au acumulat numeroase observații experimentale, care treptat, din aproape în aproape, au putut conduce la formularea sa finală. Vom prezenta cîteva din observațiile experimentale care constituie baza fizică a principiului al doilea al termodinamicii.

O mașină termică este o mașină care produce lucru mecanic consumând căldură. Prin definiție randamentul unei mașini termice este

$$\eta = \frac{L}{Q_1}, \quad (1.16)$$

în care L este lucru mecanic efectuat de mașină într-un ciclu iar Q_1 căldura primită de mașină în același ciclu. În mașinile termice are loc transformarea căldură \rightarrow lucru mecanic. Dar pentru procesele ciclice, din primul principiu al termodinamicii rezultă că lucru mecanic se poate transforma în căldură și invers, căldura se poate transforma în lucru mecanic, deoarece $L = Q$. Dar această egalitate ne dă numai o imagine calitativă, în sensul că ea ne spune ce în ce se transformă dar nu precizează cît dintr-o anumită căldură se poate transforma în lucru mecanic și invers. Această problemă o putem rezolva numai studiind mașinile termice.

Cea mai simplă mașină termică funcționează după un ciclu Carnot reversibil, adică un ciclu format din două izoterme și două adiabate. Sadi Carnot (1796–1832) studiind o astfel de mașină termică căuta să obțină un randament cît mai mare. În final Carnot ajunge la următoarea concluzie, cunoscută sub denumirea de *teorema lui Carnot*:

Randamentul mașinilor termice care lucrează după un ciclu Carnot reversibil nu depinde de substanța de lucru sau de construcția mașinii ci numai de temperatură sursei calde și temperatură sursei reci.

De asemenea *randamentul oricărei mașini termice care funcționează într-un anumit interval de temperatură este mai mic decît randamentul unei*

mașini termice care lucrează după un ciclu Carnot în același interval de temperatură.

Din studiul mașinilor termice au mai fost făcute următoarele observații: care s-au concretizat în cîteva postulate, astfel, *postulatul lui Clausius: căldura nu poate trece de la sine de la un corp rece la un corp cald*. În nici-o experiență nu s-a observat o trecere spontană, de la sine, a căldurii de la un corp rece la un corp cald, cu toate că acest proces este posibil dacă se intervine din afară, consumându-se lucru mecanic (mașinile frigorifice).

Postulatul lui Thomson susține că nici o mașină termică nu poate să funcționeze (adică nu poate să producă lucru mecanic) dacă dispune numai de un singur izvor de căldură, postulat echivalent cu imposibilitatea construirii unui perpetuum mobile de tipul II, adică imposibilitatea construirii unei mașini care să producă lucru mecanic folosind o singură sursă de căldură.

O altă concluzie care se degajă din studiul mașinilor termice: căldura nu poate fi transformată integral în lucru mecanic (asupra acestei afirmații vom mai reveni).

Să demonstrăm în continuare teorema lui Carnot pentru o mașină termică reversibilă care folosește drept corp de lucru un gaz perfect, după care vom trage concluziile care rezultă, cu toate că demonstrația se face pe un caz particular, simplificat.

Ciclul Carnot îl reprezentăm în figura 1.10, în care 1—2 și 3—4 sunt transformările izotermice la temperaturile T_1 și T_2 , iar 2—3 și 4—1 sunt transformările adiabatice. Dacă ciclul se desfășoară în sensul acelor de ceasornic atunci este un *ciclu direct*, adică primește căldură din exterior și efectuează căldură în sens invers acelor de ceasornic, *ciclu invers*, avem de-a face cu o mașină *frigorifică*, mașină care transportă căldură de la sursa rece la sursa caldă consumând lucru mecanic.

Vom considera mașina termică un motor termic, dar pentru simplificarea calculului ne imaginăm aceasta astfel încit după răcirea gazului el nu se evacuează ci se încălzește direct în cilindru. De asemenea considerăm gazul de lucru un gaz ideal.

Gazul ideal din cilindru se află initial în starea 1, la presiunea p_1 și volumul V_1 (fig. 1.10). Gazul din cilindru se pune în contact termic cu o sură caldă, astfel la temperatura T_1 și primește căldura Q_1 (s-a presupus că în stareă inițială 1 gazul din cilindru se află la o temperatură foarte apropiată de T_1 , dar mai mică, pentru a putea avea loc schimbările de căldură de la sursa termică la gazul de lucru; de asemenea s-a presupus că sursa

termică își menține constantă temperatura, cu toate că cedează o anumită căldură, deoarece ea este un izvor termic foarte mare în comparație cu gazul din cilindru).

Prințind căldura Q_1 , gazul ideal din cilindru se dilată izotermă și ajunge în starea 2. După aceasta se întârzie contactul cu sursa termică. Lucrul mecanic produs pe izoterma 1—2, vezi relația (1.10), este dat de relația:

$$L_1 = \nu R T_1 \ln \frac{V_2}{V_1}, \quad (1.17)$$

iar $L_1 = Q_1$ deoarece într-o transformare izotermă variația energiei interne este nulă, căci energia internă a unui gaz ideal nu depinde decât de temperatură.

Din starea 2 gazul se dilată adiabatic pînă ajunge în starea 3, de la temperatura T_1 la temperatura T_2 . Scriind relația (1.15) pentru stările 2 și 3 rezultă că:

$$T_1 V_2^{Y-1} = T_2 V_3^{Y-1}. \quad (1.18)$$

În starea 3 gazul din cilindru este pus din nou în contact cu o sură termică aflată la temperatura T_2 căreia îi cedează căldura Q_2 și ajunge izotermic în starea 4. În transformarea izotermică 3—4 avem:

$$-Q_2 = L_2 = \nu R T_2 \ln \frac{V_4}{V_3}. \quad (1.19)$$

După ce gazul a atins starea 4, se întărită sursa termică și gazul se comprimă adiabatic pînă ajunge din nou în stareă inițială 1 și se încălzește pînă la temperatura T_1 . Transformarea 4—1 fiind o transformare adiabatică, din relația (1.15) rezultă că

$$T_2 V_4^{Y-1} = T_1 V_1^{Y-1}. \quad (1.20)$$

Din primul principiu al termodinamicii rezultă că lucrul mecanic efectuat de mașină într-un ciclu este:

$$L = Q_1 - Q_2 \quad (1.21)$$

deoarece $U_2 - U_1 = 0$. Randamentul ciclului, din relația (1.16), capătă forma:

$$\eta = \frac{L}{Q_1} = \frac{Q_1 - Q_2}{Q_1}, \quad \text{sau} \quad \eta = 1 - \frac{Q_2}{Q_1}. \quad (1.22)$$

Raportul căldurilor Q_2/Q_1 poate fi calculat cu ajutorul relațiilor (1.17) și (1.19), adică:

$$\frac{Q_2}{Q_1} = \frac{-\nu R T_2 \ln \frac{V_4}{V_3}}{\nu R T_1 \ln \frac{V_2}{V_1}}, \quad \text{sau} \quad \frac{Q_2}{Q_1} = \frac{T_2 \ln \frac{V_4}{V_3}}{T_1 \ln \frac{V_2}{V_1}}.$$

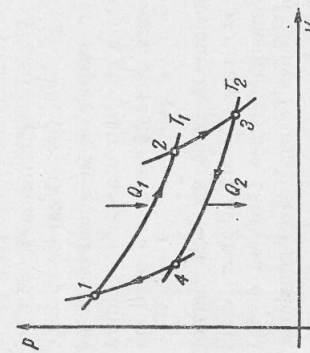


Fig. 1.10. Ciclul Carnot.

lumul V_1 (fig. 1.10). Gazul din cilindru se pune în contact termic cu o sură caldă, astfel la temperatura T_1 și primește căldura Q_1 (s-a presupus că în stareă inițială 1 gazul din cilindru se află la o temperatură foarte apropiată de T_1 , dar mai mică, pentru a putea avea loc schimbările de căldură de la sursa termică la gazul de lucru; de asemenea s-a presupus că sursa

Dar din relațiile (1.18) și (1.20) rezultă că $\frac{V_4}{V_3} = \frac{V_1}{V_2}$, astfel că în final obținem expresia:

$$\frac{Q_2}{Q_1} = \frac{T_2}{T_1}. \quad (1.23)$$

Introducind relația (1.23) în relația (1.22) obținem forma finală a rădămentului ciclelui Carnot:

$$\eta = 1 - \frac{T_2}{T_1}. \quad (1.24)$$

După cum se vede din relația (1.24) rădămentul unei mașini care lucrează după un ciclu Carnot depinde numai de temperatura sursei calde T_1 și de temperatura sursei reci T_2 și nu depinde de substanța de lucru, ceea ce vroiam să demonstreăm.

Modul de transformare a căldurii în lucru mecanic, într-un motor termic, se poate reprezenta și schematic (fig. 1.11). De la sursa căldă care se află la temperatură T_1 se transmite căldura Q_1 substantiei de lucru. Aceasta se transformă, pe de o parte, în lucru mecanic L pe care îl efectuează pistonul și îl transmite sistemului bielă-manivelă, iar pe de altă parte, în căldura Q_2 care se pierde întotdeauna în timpul transformării căldură-lucru mecanic și care se transmite sursei reci aflată la temperatura T_2 .

Din relațiile (1.16) și (1.24) se poate determina lucru mecanic efectuat de o mașină care lucrează ca motor termic, și anume:

$$L = Q_1 \left(1 - \frac{T_2}{T_1} \right). \quad (1.25)$$

Din relația (1.25) rezultă următoarele concluzii:

a) deoarece întotdeauna $T_1 > T_2$ rezultă că $L < Q_1$, un motor termic produce un lucru mecanic L mai mic decât căldura primită Q_1 .

Intr-o transformare ciclică căldura nu poate fi transformată integral în lucru mecanic.

Această concluzie vine să completeze primul principiu al termodinamicii, conform căruia, în procese ciclice $L = Q$, care prezintă doar formă calitativă a transformării căldură-lucru mecanic. Conform acestei concluzii transformarea lucru mecanic se poate transforma integral în căldură, deoarece lucru mecanic se poate transforma integral în căldură, în timp ce căldura nu poate fi transformată integral în lucru mecanic, o parte pierzându-se întotdeauna.

Deci:

$$L = Q, \quad Q > L, \quad \rightarrow$$

sensul săgeții că jos indicând sensul transformării;

- b) lucru mecanic obținut de o mașină într-un ciclu este cu atât mai mare cu cât diferența de temperatură dintre sursa căldă și sursa rece este mai mare.

Acestea sunt concluziile cele mai importante care decurg din studiul mașinilor termice. Teorema lui Carnot, postulatul lui Thomson sau postulatul lui Clausius au constituit multă vreme formulări ale principiului al termodinamicii, pînă la formularea generală a acestui principiu legat de entropie.



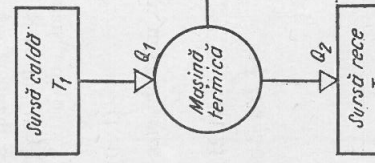
1.10. TIPURI DE MAȘINI TERMICE

1.10.1. Motorul Otto. Mașinile termice, din punct de vedere constructiv, se împart în două mari clase: mașini cu ardere externă și mașini cu ardere internă. Diferența dintre ele constă în modul diferit în care are loc arderea combustibilului. Cel mai reprezentativ tip de mașină cu ardere externă este mașina cu aburi, combustibilul arde într-o incintă, încălzeste fluidul motor și produce aburi sub presiune, care sunt trimiși în cilindrul cu piston unde are loc transformarea energiei termice în energie mecanică.

În cazul mașinilor cu ardere internă combustibilul arde chiar în cilindrul cu piston unde are loc transformarea: energie chimică → energie termică → lucru mecanic. Motoarele cu ardere internă se împart și ele în două clase: a) motoare cu explozie, denumite și motoare cu ardere sub volum constant și b) motoare cu ardere lentă sau motoare cu ardere sub presiune constantă denumite și motoare Diesel.

Din clasa motoarelor cu explozie vom studia motorul Otto, format din două izocore și două adiabate (fig. 1.12). Motorul cu explozie folosește drept combustibil vapori de benzina amestecată cu aer. Prin aprinderea combustibilului cu ajutorul unei scânteji, are loc o explozie în urma căreia se produc gaze de ardere la presiuni ridicate, care împing un piston și astfel se produce un lucru mecanic.

Fig. 1.11. Schema de principiu a unei mașini termice.



Etape de funcționare ale motorului cu explozie în patru timpi, prezentate în diagrama (p, V) din figura 1.12, sunt următoarele:

- aspirație**, timpul I al motorului cind are loc trecerea amestecului exploziv care s-a format în carburator, în cilindrul cu piston, la presiunea constantă p_1 , portiunea $A \rightarrow 7$. Aspirația se realizează prin mișcarea pistonului de la un capăt al cilindrului la celălalt;

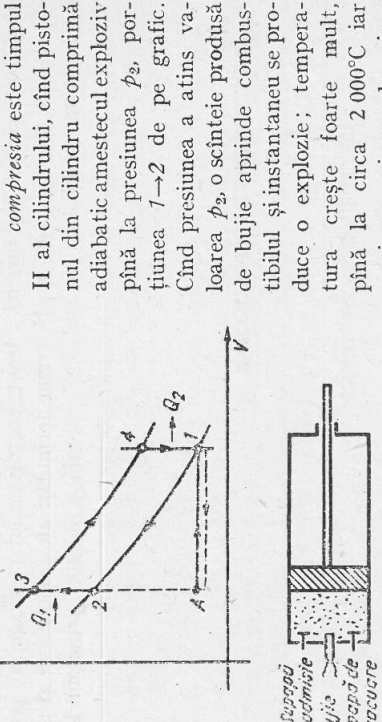


Fig. 1.12. Mașina Otto.

detenția constituie timpul III al motorului cind, datorită presiunii mari, pistonul este împins, revine în poziția inițială și produce lucru mecanic, portiunea $3 \rightarrow 4$. Acest timp III asigură energia necesară mișcării pistonului pînă la ciclul următor;

evacuarea gazeelor este timpul IV și ultim al ciclului cind gazele de ardere sunt evacuate izobar prin supapa de evacuare, portiunea $4 \rightarrow 1$. Pistonul revine din nou în poziția inițială, realizându-se astfel un ciclu. Aceasta se repetă identic, în mod continuu, mașina producînd lucru mecanic.

Să vedem care este randamentul mașinii Otto, dacă presupunem că este cunoscut raportul de compresie $\varepsilon = \frac{V_1}{V_2}$. Căldura primită este $Q_1 = vC_v(T_3 - T_2)$ iar căldura cedată de mașină este $Q_2 = vC_r(T_4 - T_1)$ introducînd aceste mărimi în expresia randamentului (1.22) obținem:

$$\eta = 1 - \frac{T_4 - T_1}{T_3 - T_2}.$$

Dar pe adiabatele $1 - 2$ și $3 - 4$ sunt satisfăcute egalitățile:

$$\frac{T_2}{T_1} = \left(\frac{V_1}{V_2} \right)^{\gamma-1} \quad \text{și} \quad \frac{T_3}{T_4} = \left(\frac{V_1}{V_2} \right)^{\gamma-1} = \left(\frac{V_1}{V_2} \right)^{\gamma-1},$$

sau

$$T_2 = T_1 \varepsilon^{\gamma-1}; \quad T_3 = T_4 \varepsilon^{\gamma-1}.$$

Introducînd aceste relații în expresia randamentului de mai sus, obținem în final randamentul mașinii Otto:

$$\eta = 1 - \frac{1}{\varepsilon^{\gamma-1}}. \quad (1.27)$$

Randamentul acestui ciclu în funcție de temperatură este $\eta = 1 - \frac{T_4}{T_3}$,

iar randamentul ciclului Carnot $\eta_C = 1 - \frac{T_1}{T_3}$. Cum $T_1 < T_4$ rezultă că $\eta < \eta_C$, concluzie la care trebuie să ne așteptăm, randamentul unei mașini care lucrează după un ciclu Carnot este maxim față de oricare altă mașină care lucrează între aceleași limite extreme de temperatură.

1.10.2. Motorul Diesel sau motorul cu ardere lentoare este asemănător construcțiv cu motorul cu explozie, însă folosește combustibili mai ieftini, cum este motorina, și are un randament mai mare. El lucrează după un ciclu format dintr-o izobară, o izocoră și două adiabate (fig. 1.13). Etapele de funcționare ale motorului Diesel sunt următoarele:

- timpul I, *aspirația*, pistonul aspiră izobar aer în cilindru, portiunea $A \rightarrow 7$ din figura 1.13;
- timpul II, *compresia*, pistonul revine în poziția inițială și comprimă adiabatic aerul pînă la $30-35$ atm. la temperatură de circa 800°C , portiunea $7-2$ de pe ciclu;
- timpul III, *ardere a detenției* începe cu introducerea combustibilului în cilindru. Deoarece în cilindru temperatura este mai mare decît temperatura de aprindere a combustibilului, acesta se aprinde și arde, temperatura începe să crească, pistonul se dilată lent de detență se produce lucru mecanic;

— timpul IV, *evacuarea gazelor*, începe prin deschiderea supapei de evacuare, presiunea scade brusc în cilindru, pînă la presiunea atmosferică, portiunea $4-7$. Pistonul revine din nou în poziția inițială și evacuează gazele de ardere care au mai rămas în cilindru, portiunea $7-A$.

Fig. 1.13. Mașina Diesel.

— timpul IV, *evacuarea gazelor*, începe prin deschiderea supapei de evacuare, presiunea scade brusc în cilindru, pînă la presiunea atmosferică, portiunea $4-7$. Pistonul revine din nou în poziția inițială și evacuează gazele de ardere care au mai rămas în cilindru, portiunea $7-A$.

Motoarele cu ardere internă, datorită randamentului lor crescut, cît și la faptelei că sunt simple, se manevrează ușor, au o greutate redusă, au făcut ca ele să fie utilizate pe scară largă în industrie, în centralele electrice, în transport, fiind preferate mașinilor cu ardere externă.

Probleme rezolvate 1. Să se calculeze randamentul unei mașini termice ce funcționează după ciclul: a) două izotermă, având ecuația $T_1 = \text{const.}$ și $T_2 > \text{const.}$, $T_1 > T_2$ și două izocore, de ecuații $V_1 = \text{const.}$ și $V_2 > V_1$; b) două izotermă, având aceleași ecuații ca la punctul a) și două izocore de ecuații $p_1 = \text{const.}$ și $p_2 = \text{const.}$, $p_2 > p_1$. Substanța de lucru este un gaz perfect pentru care se cunosc C_V și C_p .

Rezolvare.

Randamentul unei mașini termice este $\eta = \frac{L}{Q_1}$, unde L este lucru mecanic efectuat de mașină și Q_1 căldura primită de la sursa căldură. El poate fi exprimat și cu ajutorul căldurilor Q_1 și Q_2 , Q_2 fiind căldura cedată sursei reci

$$\eta = \frac{Q_1 - Q_2}{Q_1}.$$

a) Ciclul este reprezentat în figura 1.14, a. Vom folosi ultima expresie pentru randament.

Vom calcula pe Q_1 și Q_2 . Din figură se observă:

$$Q_1 = Q_{12} + Q_{41} \text{ iar } Q_2 = Q_{23} + Q_{34}.$$

Dar transformarea 1-2 este izotermă, deci $Q_{12} = L_{12} = vRT_1 \ln \frac{V_2}{V_1}$. Transformarea 4-1 este izocoră, deci $Q_{41} = vC_V(T_1 - T_2)$ și

$$Q_1 = vRT_1 \ln \frac{p_1}{p_2} + vC_V(T_1 - T_2).$$

Transformarea 2-3 este izotermă, deci $Q_{23} = vC_p(T_1 - T_2)$ iar transformarea 3-4 este izotermă, deci $Q_{34} = vRT_2 \ln \frac{p_1}{p_2}$ și

$$Q_2 = vC_p(T_1 - T_2) + vRT_2 \ln \frac{p_1}{p_2}.$$

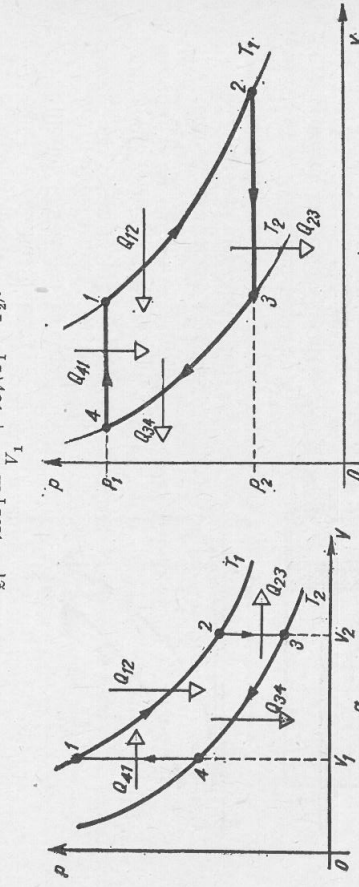


Fig. 1.14. La problema rezolvată 1.

Transformarea 2-3 este izocoră, deci $Q_{23} = vC_V(T_1 - T_2)$ iar transformarea 3-4 izotermă, deci $Q_{34} = vRT_2 \ln \frac{V_2}{V_1}$ și

$$Q_2 = vC_V(T_1 - T_2) + vRT_2 \ln \frac{V_2}{V_1}.$$

b) Să se exprime randamentul ciclului în funcție de raportările de compresie $\varepsilon = \frac{V_2}{V_1}$ și $\delta = \frac{p_2}{p_1}$.

Înlocuim în expresia randamentului

$$\eta = \frac{vR \ln \frac{V_2}{V_1} (T_1 - T_2)}{vRT_1 \ln \frac{V_2}{V_1} + vC_V(T_1 - T_2)}.$$

Împărțind și numitorul și numărătorul cu $vR \ln \frac{V_2}{V_1}$ se obține

$$\eta = \frac{T_1 - T_2}{T_1 + \frac{C_V(T_1 - T_2)}{vR(T_1 - T_2)}}.$$

b) Ciclul este reprezentat în figura 1.14, b. Din figură se observă:

$$Q_1 = Q_{12} + Q_{41} \text{ și } Q_2 = Q_{23} + Q_{34}.$$

Dar transformarea 1-2 este izotermă, deci $Q_{12} = vRT_1 \ln \frac{p_1}{p_2}$. Transformarea 4-1 este izobără, deci $Q_{41} = vC_p(T_1 - T_2)$ și

$$Q_1 = vRT_1 \ln \frac{p_1}{p_2} + vC_p(T_1 - T_2).$$

Transformarea 2-3 este izobără, deci $Q_{23} = vC_p(T_1 - T_2)$ iar transformarea 3-4 este izotermă, deci $Q_{34} = vRT_2 \ln \frac{p_1}{p_2}$ și

$$Q_2 = vC_p(T_1 - T_2) + vRT_2 \ln \frac{p_1}{p_2}.$$

Înlocuim în expresia randamentului

$$\eta = \frac{Q_1 - Q_2}{Q_1} = \frac{vR \ln \frac{p_1}{p_2} (T_1 - T_2)}{vC_p(T_1 - T_2) + vRT_2 \ln \frac{p_1}{p_2}}.$$

După împărțire prin $vR \ln \frac{p_1}{p_2}$, se obține

$$\eta = \frac{T_1 - T_2}{T_1 + \frac{C_p(T_1 - T_2)}{vR \ln \frac{p_1}{p_2}}}.$$

2. Un kmol de gaz ideal participă la o transformare ciclică formată din două izobare și două izocore (fig. 1.15). Se cunosc temperaturile în stările 1, 2 și 3 care sunt: $t_1 = 27^\circ\text{C}$, $t_2 = 127^\circ\text{C}$, $t_3 = 427^\circ\text{C}$.

a) Să se calculeze lucrul mecanic efectuat de gaz cind parurge un ciclu.

b) Să se exprime randamentul ciclului în funcție de rapoarte de compresie $\varepsilon = \frac{V_4}{V_1}$ și $\delta = \frac{p_2}{p_1}$.

Apliție numerică: $\varepsilon = 2$, $\delta = 3$ iar $C_V = \frac{5}{2} R$ și $C_p = \frac{7}{2} R$, unde R este constanta universală a gazelor.

Rezolvare

a) Lucrul mecanic de-a lungul ciclului poate fi scris:

$$L = L_{12} + L_{23} + L_{34} + L_{41}.$$

Dar $L_{12} = L_{34} = 0$, deoarece transformările sunt izocore.

Deoarece în transformarea 4-1 gazul este comprimat, lucru mecanic $L_{41} < 0$ și lucru total va fi:

$$L = L_{12} - L_{41} = \dot{\rho}_2(V_3 - V_2) - \dot{\rho}_1(V_4 - V_1),$$

transformările 2-3 și 4-1 fiind izobare.

Dar $\dot{\rho}_2 = \dot{\rho}_3 = \text{const.}$ și $\dot{\rho}_1 = \dot{\rho}_4 = \text{const.}$ și folosind ecuația de stare, înlocuim produsele $\dot{\rho}V$ în cele patru stări prin temperatură stărilor, astfel că L devine:

$$L = \nu R(T_3 - T_2) - \nu R(T_4 - T_1) = \nu R(T_3 - T_2 - T_4 + T_1) \quad (1)$$

Temperatura T_4 o putem exprima funcție de T_1 , T_2 și T_3 scriind condiția ca stările 2, 3 și 4, 1 să se afle pe izobarele $\dot{\rho}_2 = \text{const.}$, respectiv $\dot{\rho}_1 = \text{const.}$, avem:

$$\begin{aligned} \frac{V_2}{V_3} &= \frac{T_2}{T_3} \quad \text{și} \quad \frac{V_1}{V_4} = \frac{T_1}{T_4}. \end{aligned} \quad (2)$$

Dar stările 1, 2 se găsesc și pe izocora $V_1 = \text{const.}$, iar stările 3, 4 pe izocora $V_2 = \text{const.}$, astfel că $V_1 = V_2$ și $V_3 = V_4$. Aceste egalități duc la egalitatea $\frac{T_2}{T_3} = \frac{T_1}{T_4}$, unde $T_4 = \frac{T_1 T_3}{T_2}$. Înlocuind în expresia lucrului mecanic se obține:

$$\begin{aligned} L &= \nu R \left(T_3 - T_2 - \frac{T_1 T_3}{T_2} + T_1 \right) = \nu R (T_2 - T_1)(T_3 - T_2) \frac{1}{T_2} = \\ &= 1 \text{ kmol } 8,31 \cdot 10^3 \frac{\text{J}}{\text{kmol K}} (127 - 27) \text{K} (427 - 127) \text{K} \frac{1}{400 \text{K}} = 607,25 \text{ kJ}. \end{aligned}$$

b) Randamentul îl scriem

$$\eta = \frac{L}{Q_1},$$

unde $Q_1 = Q_{12} + Q_{23}$ este căldura primită de gaz. Înînd seama de transformări, avem

$$Q_1 = C_V(T_2 - T_1) + \nu C_p(T_3 - T_2).$$

Înlocuind în expresia randamentului pe L și pe Q_1 avem

$$\eta = \frac{R(T_3 - T_2) - (T_4 - T_1)}{C_V(T_2 - T_1) + C_p(T_3 - T_2)} \quad (3)$$

Dar din (2) rezultă pentru coeficientul de compresie: $\varepsilon = \frac{V_4}{V_1} = \frac{T_4}{T_1}$. Pentru δ avem din transformarea izocoră 1-2: $\delta = \frac{\dot{\rho}_2}{\dot{\rho}_1} = \frac{T_2}{T_1}$. Folosind proprietățile proporționalor și expresiile lui ε și δ funcție de temperaturi, avem, înînd seama și de raportul deja stabilit $\frac{T_2}{T_3} = \frac{T_1}{T_4}$:

$$\mathbf{R:} \eta = 1 - \frac{\gamma(\varepsilon - 1)}{(\varepsilon/\delta)\gamma(\varepsilon - 1) + 1 - 1}.$$

$T_4 - T_1 = T_1(\varepsilon - 1)$ și $T_3 - T_2 = \frac{T_2}{T_1}(T_4 - T_1) = \delta T_1(\varepsilon - 1)$. Înlocuind aceste diferențe în (3), avem

$$\begin{aligned} \eta &= \frac{R[\delta T_1(\varepsilon - 1) - T_1(\varepsilon - 1)]}{C_V(T_2 - T_1) + C_p\delta T_1(\varepsilon - 1)} = \frac{R(\varepsilon - 1)(\delta - 1)}{C_V(\delta - 1) + C_p(\varepsilon - 1)\delta} = \\ &= \frac{2(\varepsilon - 1)(\delta - 1)}{5(\delta - 1) + 7(\varepsilon - 1)\delta} = \frac{2 \cdot 1 \cdot 2}{5 \cdot 2 + 7 \cdot 1 \cdot 3} = \frac{4}{31} = 13\%. \end{aligned}$$

PROBLEME

1. Să se calculeze randamentul motorului Diesel dacă se dă raportul de compresie $\varepsilon = \frac{V_1}{V_2}$ și coefficientul de destindere adiabatică $\lambda = \frac{V_3}{V_2}$, substanța de lucru fiind aerul.

$\mathbf{R:} \eta = 1 - \frac{\lambda^Y - 1}{\gamma\varepsilon^{\gamma-1}(\lambda - 1)}$.

2. O mașină ideală care funcționează după un ciclu Carnot, având temperatură sursei calde $t_1 = 227^\circ\text{C}$ și temperatură sursei reci $t_2 = 27^\circ\text{C}$, produce într-un ciclu un lucru mecanic $L = 5 \text{ kJ}$. Să se determine randamentul ciclului și cantitatea de căldură schimbată de mașină într-un ciclu.

$\mathbf{R:} \eta = 1 - \frac{T_2}{T_1} = 0,40; \quad (40\%); \quad Q_1 = \frac{L}{\eta} = 10 \text{ kJ}; \quad Q_2 = Q_1 - L = 6 \text{ kJ}.$

3. Să se determine randamentul unui ciclu Carnot, dacă raportul de compresie este $\varepsilon = \frac{V_4}{V_1} = 6$, corpul de lucru fiind un gaz ideal pentru care $\gamma = \frac{C_p}{C_V} = \frac{7}{5}$.

$\mathbf{R:} \eta = 1 - \frac{1}{\varepsilon^{\gamma-1}} = 0,51, \quad (51\%).$

4. Să se exprime randamentul unei mașini, care increște după un ciclu format din două izobare (p , $2p$) și două izocore (V , $2V$), în funcție de constantele termice C_V și C_p ale substanței de lucru care este gaz ideal.

$\mathbf{R:} \eta = \frac{C_p - C_V}{C_V + 2C_p}.$

5. Să se calculeze randamentul ciclului din figura 1.16. (numit ciclu Rankine) în funcție de rapoartele de compresie $\varepsilon = \frac{V_4}{V_1}$, $\beta = \frac{V_3}{V_1}$, substanța de lucru fiind gaz perfect pentru care $\gamma = \frac{C_p}{C_V}$ este cunoscut.

$\mathbf{R:} \eta = 1 - \frac{\gamma(\varepsilon - 1)}{(\varepsilon/\beta)\gamma(\varepsilon - 1) + 1 - 1}.$

Fig. 1.16. La problema 5.

1.11. ENTRÓPIA

Să vedem în continuare cum poate fi introdusă o nouă funcție de stare, care poartă numele de entropie. Pentru aceasta să revenim la un ciclu Carnot, pentru care este adevarată egalitatea (1.23):

$$\frac{Q_2}{T_1} = \frac{T_2}{T_1}.$$

Această relație mai poate fi scrisă sub forma:

$$\frac{Q_2}{T_2} = \frac{Q_1}{T_1},$$

sau

$$\frac{Q_1}{T_1} + \frac{Q_2}{T_2} = 0, \quad (1.28)$$

dacă considerăm suma algebrică a căldurilor reduse, în care prin definiție căldura redusă este raportul $\frac{Q}{T}$. Deci, în cazul unui ciclu Carnot reversibil, suma tuturor căldurilor care intervin în transformare, împărțite fiecare la temperatură absolută a izvorului termic este nulă.

Să considerăm o transformare ciclică reversibilă, oarecare ABCDA (fig. 1.17). Fie adiabatele vecine AC și EF și izotermele EE' și C'C. Ciclul format EE'CC'E este un ciclu Carnot. Dacă luăm însă cele două adiabate AC și EF foarte apropiate una de alta, la o distanță infinit de mică, atunci și punctele E' și C' se vor apropia infinit de mic. Făcând același raționament pentru toate adiabatelor vecine care sunt trasate pe figura 1.17, atunci întreg ciclul ABCDA va putea fi descompus într-un număr infinit de cicluri Carnot infinit de mici.

Generalizând relația (1.28) pentru ciclul ABCDA format dintr-un număr infinit de cicluri Carnot, rezultă că

$$\sum_i \frac{Q_i}{T_i} = 0. \quad (1.29)$$

Dar într-un ciclu elementar, căldura schimbată va fi egală cu dQ , iar numărul de cicluri fiind infinit de mic, se poate trece de la sumă la integrală, astfel încât relația (1.29) să se mai poată scrie sub forma

$$\int_{\text{rev. } ABCDA} \frac{dQ}{T} = 0, \quad (1.30)$$

în care integrala de mai sus se extinde pe întreg conturul ABCDA al ciclului, iar dQ este căldura infinitesimală schimbată de sistem la temperatura absolută T .

Dacă integrala variației unei funcții pe un drum închis, este egală cu zero, rezultă că acea mărime nu depinde de tipul transformării ci numai de starea initială și finală a sistemului, fiind o funcție de stare. Rezultă deci că mărimea de sub integrală (1.30) trebuie să fie egală cu variația unei funcții de stare. Această nouă funcție de stare poartă numele de *entropie* (funcția a fost denumită entropie de Clausius după grecescul en-tropein care are semnificația de a transforma) și se definește astfel:

$$dS = \frac{dQ}{T}. \quad (1.31)$$

Din relația de definiție (1.31) putem deduce și unitatea de măsură pentru entropie, dacă considerăm o transformare reversibilă și izotermă. În acest caz

$$S = \int \frac{dQ}{T} = \frac{1}{T} \int dQ, \text{ sau } \Delta S = \frac{Q}{T},$$

de unde se poate scrie relația de condiție pentru entropie

$$[S] = \frac{[Q]}{[T]},$$

iar unitatea de măsură $[S]_{\text{SI}} = \frac{J}{K}$. Unitatea SI de entropie reprezintă creșterea entropiei unui sistem care suferă o transformare reversibilă și izotermă cind primește o căldură de 1 J la temperatura de 1 K . În practică se folosesc și unitățile tolerate, cal/K sau kcal/K.

Înălțând seama de definiția entropiei (1.31), relația (1.30) pentru un proces reversibil, se poate scrie sub forma

$$\int_{\text{rev. } ABCDA} dS = 0, \quad (1.32)$$

relație care poartă numele de *egalitatea lui Clausius*.

Să urmărim în continuare transformarea căldurii în lucru mecanic în cazul transformărilor ireversibile. Pentru aceasta considerăm un sistem termodinamic care trece din starea 1 în starea 2, pe cale ireversibilă, absorbind căldura Q_i și efectuând lucru mecanic L_i . Conform cu primul principiu al termodinamicii $Q_i = \Delta U + L_i$. Dacă sistemul trece însă pe cale reversibilă din starea 1 în starea 2, absorbind căldura Q și efectuând lucru mecanic L , atunci $Q = \Delta U + L$. Scăzând cele două relații, obținem

$$Q_i - Q = L_i - L. \quad (1.33)$$

Să vedem ce valoare poate să ia diferența (1.33). Dacă ea ar fi nulă, atunci $Q_i = Q$ și sistemul ar putea reveni pe cale ireversibilă din starea 2

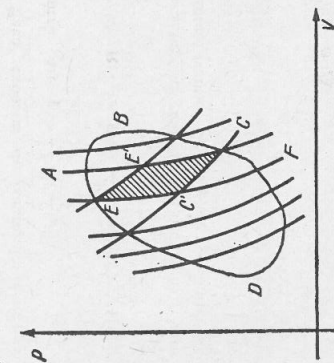


Fig. 1.17. O transformare închisă, descompusă într-un număr infinit de cicluri Carnot infinit de mici.

Care de la sumă la integrală, astfel încât relația (1.29) să se mai poată scrie sub forma

$$\int_{\text{rev. } ABCDA} \frac{dQ}{T} = 0, \quad (1.30)$$

În starea 1, fără ca sistemul sau corpurile înconjurătoare să-și modifice starea, ceea ce este imposibil, în contradicție cu cele relatate în § 1.9. Dacă această diferență este pozitivă, atunci $Q_i > Q_j$ și $L_i > L_j$. Nici acest caz nu este posibil, intrucât atunci cind sistemul trece din starea 1 în starea 2, pe cale ireversibilă, ar putea efectua lucru mecanic folosind un singur izvor de căldură, și după cum am văzut la § 1.9, nici acest caz nu este posibil (postulatul lui Thomson). Singurul caz posibil este ca această diferență să fie negativă, adică

$$Q > Q_i, \quad L > L_i, \quad (1.34)$$

deoarece la trecerea ireversibilă a sistemului din starea 2 în starea 1 se pierde căldura $Q - Q_i > 0$ și se efectuează lucru mecanic $L - L_i$.

Dacă o mașină Carnot ar lucra după un ciclu Carnot ireversibil, atunci, conform concluziei (1.34) $L_i < L$ sau $L_i = Q_1 - Q_2 < Q_1 - \left(1 - \frac{T_2}{T_1}\right)$, de unde rezultă că

$$1 - \frac{Q_2}{Q_1} < 1 - \frac{T_2}{T_1}, \quad \text{sau} \quad \frac{Q_2}{Q_1} > \frac{T_2}{T_1}.$$

Ultima relație mai poate fi scrisă sub forma

$$\frac{Q_1}{T_1} + \frac{Q_2}{T_2} < 0, \quad (1.35)$$

dacă considerăm din nou suma algebrică a căldurilor reduse. Relația (1.35) poate fi scrisă împreună cu relația (1.28) astfel:

$$\frac{Q_1}{T_1} + \frac{Q_2}{T_2} \leq 0, \quad (1.36)$$

în care semnul de egalitate se referă la procesele reversibile iar semnul de inegalitate la procesele ireversibile. Făcând același răționamente pe ciclul ABCDA din figura 1.17 în care însă ciclurile Carnot infinit mici sunt ireversibile, atunci relația (1.35), devine

$$\sum_i \frac{dQ_i}{T_i} < 0, \quad (1.37)$$

sau trecind de la sumă la integrală, obținem pentru procesele ireversibile expresia

$$\int_{\text{irrev.}}_{\text{ABCDA}} \frac{dQ}{T} < 0, \quad (1.38)$$

expresie care poartă numele de *inegalitatea lui Clausius*. Relația (1.38), ținând seama și de relația de definiție (1.31) se mai poate scrie și sub forma

$$\int_{\text{irrev.}}_{\text{ABCDA}} dS < 0. \quad (1.38')$$

După cum se vede, trecerea de la procesele reversibile la procesele ireversibile se face înlocuind semnul de egalitate cu semnul de inegalitate.

1.12. FORMULAREA PRINCIPIULUI AL DOILEA AL TERMODINAMICII

În paragraful precedent am definit entropia, am văzut că ea este o funcție de stare și are și proprietatea de aditivitate. Putem trece în continuare la formularea principiului al doilea al termodinamicii, din care va trebui să rezulte, ca niște cazuri particulare, consecințele care le-am obținut la studiul mașinilor termice.

Principiul al doilea al termodinamicii se enunță astfel:

Variatia de entropie a unui sistem, datorită proceselor ireversibile este întotdeauna pozitivă.

$$\Delta S^{(i)} > 0. \quad (1.39)$$

Adică:

Acesta este *principiul entrofiei* sau *principiul creșterii entrofiei*. Datorită faptului că entropia totală a unui sistem este o funcție aditivă și se compune din variația de entropie $\Delta S^{(e)} = \frac{\Delta Q}{T}$ datorită schimbului de căldură dintre sistem și exterior și din variația de entropie $\Delta S^{(i)}$ a sistemului datorită proceselor ireversibile, putem scrie că

$$\Delta S = \Delta S^{(e)} + \Delta S^{(i)} = \frac{\Delta Q}{T} + \Delta S^{(i)} \quad \text{cu} \quad \Delta S^{(i)} > 0. \quad (1.40)$$

Relația (1.39) sau relația (1.40) reprezintă forma matematică, cea mai generală, a principiului al doilea al termodinamicii. În relația (1.40) mărimea $\Delta S^{(e)} = \frac{\Delta Q}{T}$ poate fi pozitivă, negativă sau zero, după cum sistemul primește, cedează căldură sau este izolat. Termenul $\Delta S^{(i)}$ este întotdeauna pozitiv pentru procesele ireversibile, astăt pentru întreg sistemul cît și pe orice porțiune macroscopică oricărt de mică din sistem.

Din principiu al doilea al termodinamicii, relația (1.39) sau relația (1.40) rezultă către consecințe, deosebit de importante:
a) dacă sistemul este izolat, atunci $\Delta Q = 0$, și dacă procesul este reversibil $\Delta S^{(i)} = 0$, de unde rezultă, din relația (1.40) că

$$\Delta S = 0 \quad \text{sau} \quad S_2 = S_1, \quad (1.41)$$

entropia oricărui sistem izolat rămâne constantă în cazul proceselor reversibile;

b) dacă sistemul este izolat ($\Delta Q = 0$) și dacă procesul este ireversibil, atunci $\Delta S^{(i)} > 0$, sau din relația (1.40)
 $\Delta S = \Delta S^{(i)} > 0 \quad \text{sau} \quad S_2 - S_1 > 0,$

entropia oricărui sistem izolat crește întotdeauna în cazul proceselor ireversibile. Ambele consecințe (1.41) și (1.42) pot fi înglobate într-o singură relație:

$$S_2 - S_1 \geq 0, \quad (1.43)$$

și concluzia poate fi formulată astfel:

Entropia sistemelor izolate rămâne constantă în cazul proceselor reversibile și crește întotdeauna în cazul proceselor ireversibile.

Cum toate procesele naturale sunt procese ireversibile, rezultă că *toate procesele naturale care au loc în sistemele izolate evoluază în sensul creșterii entropiei*. Astfel ni se dezvoltă una din cele mai importante consecințe ale principiului al doilea al termodynamicii și anume sensul de evoluție al sistemelor izolate (și nu numai neapărat al sistemelor fizice), sensul de evoluție fiind determinat de sensul creșterii entropiei. Entropia constituie o măsură a irreversibilității unui proces.

Alte aspecte interesante legate de entropie sunt scoase în evidență de interpretarea statistică a entropiei. Conform acestei interpretări trecerea unui sistem dintr-o stare de neechilibru într-o stare de echilibru, care are loc cu o creștere de entropie, este echivalentă cu trecerea sistemului dintr-o stare mai puțin probabilă, dintr-o stare mai probabilă, dintr-o stare mai ordonată într-o stare mai puțin ordonată, creșterea de entropie fiind întotdeauna înscripțiată de o creștere a dezordinii moleculare a sistemului.

Acest lucru poate fi înțeles cu mai multă ușurință dacă luăm un exemplu. Presupunem un sistem format din două compartimente, separate de un ecran despartitor, în care se află două gaze la presiuni diferite și constante. În ambele compartimente gazele se află în stări de echilibru. Dacă se ridică ecranul despartitor sistemul în totalitate (format din cele două compartimente) se află într-o stare de neechilibru, deoarece un parametru termodynamic, în cazul nostru presiunea, are valori diferite în sistem. Din această stare de neechilibru, sistemul caută să revină, printr-un proces ireversibil, de difuzie, în starea de echilibru, stare în care presiunea are aceeași valoare în ambele compartimente. Sistemul în starea initială era mai ordonat decât sistemul în stare finală, deoarece în fiecare compartiment se află un gaz de un anumit tip, față de starea finală în care se află molecule de gaz de ambele tipuri și astfel dezordinea a crescut. Acest proces de difuzie, ca și orice proces ireversibil, este însoțit de o creștere de entropie, conform principiului al doilea al termodynamicii, iar sistemul trece dintr-o stare mai ordonată într-o stare mai puțin ordonată.

Primul și al doilea principiu al termodynamicii pot fi reunită într-o singură ecuație. Primul principiu al termodynamicii, relația (1.13), mai poate fi scris sub forma $Q = \Delta U + L$. Din principiul al doilea al termodynamicii, pentru procese reversibile, rezultă că $T \Delta S = Q$, iar pentru procese ireversibile $T \Delta S > Q$ deoarece în acest caz intervin și mărimea ΔS^{irr} care este întotdeauna pozitivă. Deci, pentru ambele tipuri de procese $T \Delta S \geq Q$. Combinând această expresie cu primul principiu al termodynamicii scris mai sus, rezultă că

$$T \Delta S \geq \Delta U + L, \quad (1.44)$$

care reprezintă *ecuația fundamentală a termodynamicii*. Semnul de egalitate se referă la procesele reversibile iar semnul de inequality la procesele ireversibile. Toate aplicațiile termodynamicii pot fi deduse din ecuația fundamentală (1.44).

În rezumat, ca o concluzie finală, putem spune că principiul al doilea al termodynamicii introduce o nouă funcție de stare, entropia, astfel că variația de entropie a sistemului datorită proceselor ireversibile este întotdeauna pozitivă. Această formulare [cuprinde] faptul procesele incluse că și procesele deschise. [Principiul creșterii entropiei pentru sistemele izolate arată că entropia rămâne constantă în cazul proceselor reversibile și crește întotdeauna în cazul proceselor ireversibile. Acest principiu indică și sensul de desfășurare al proceselor naturale, sensul lor fiind determinat de sensul creșterii entropiei.]

Formularile anterioare ale principiului al doilea al termodynamicii au fost legate de mașinile termice, dar acestea, după cum vom vedea, nu sunt decât consecințe ale acestui principiu. Ca un exemplu, să vedem cum poate fi calculat randamentul unei mașini termice, care lucrează după un ciclu Carnot, folosind principiul entropiei.

Ciclul Carnot fiind un ciclu format din două izoterme și două adiabate poate fi reprezentat, mai comod, într-o diagramă (T, S) (fig. 1.18). Transformările adiabate sunt $2 \rightarrow 3$ și $4 \rightarrow 1$ iar transformările izoterme $1 \rightarrow 2$ și $3 \rightarrow 4$ la temperaturile T_1 și T_2 . Entropia fiind o funcție de stare, rezultă că variația ei într-un ciclu reversibil trebuie să fie nulă, adică $\Delta S = 0$ (vezi relația 1.41), sau

$$\Delta S_{12} + \Delta S_{23} + \Delta S_{34} + \Delta S_{41} = 0. \quad (1.45)$$

Să calculăm pe rînd fiecare termen din relația (1.45). Termenul $\Delta S_{12} = \frac{Q_1}{T_1}$, deoarece sistemul primește căldura Q_1 la temperatura absolută T_1 . Termenii ΔS_{23} și ΔS_{41} sunt egali cu zero, deoarece transformările $2 \rightarrow 3$ și $4 \rightarrow 1$ sunt transformări adiabatici. Termenul $\Delta S_{34} = \frac{Q_2}{T_2}$ deoarece sistemul cedează în exterior căldura Q_2 la temperatura absolută T_2 . Adunând aceste relații obținem

$$\frac{Q_1}{T_1} - \frac{Q_2}{T_2} = 0 \quad \text{sau} \quad \frac{Q_1}{T_1} = \frac{Q_2}{T_2},$$

de unde $\frac{Q_2}{Q_1} = \frac{T_2}{T_1}$, rezultat identic cu relația (1.23) obținută din studiul mașinilor termice.

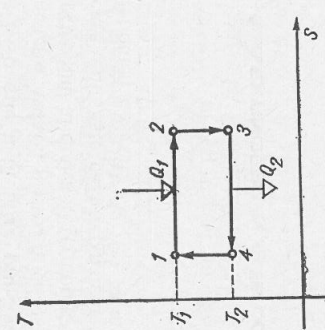


Fig. 1.18. Ciclul Carnot în variabilă (T, S) .

Așa că teorema lui Carnot, cît și consecințele care au fost prezentate, au constituit diverse formulări corecte, dar mai puțin generale ale principiului al doilea al termodynamicii, decât principiul entropiei, deoarece se referă strict la mașinile termice, la transformarea căldurii în lucru mecanic. Aceste formulări mai sunt încă enunțate ca principiu al doilea al termodynamicii, deoarece istoric au fost formulate pentru prima oară, dar trebuie să facem o distincție netă între principiul creșterii entropiei, care este un principiu general, valabil pentru orice sistem fizic (și nu numai fizic) și care reprezintă principiu al doilea al termodynamicii și formularile legate de mașinile termice, care sunt niște cazuri particolare ale acestui principiu, legate de un anumit fenomen concret.

EXTINȚIUNE ÎN ALTE DOMENII

1.13. SEMNIFICATIA STATISTICĂ A ENTROPIEI. ENTROPIA ȘI INFORMAȚIA

Să considerăm un sistem macroscopic care se află într-o stare de echilibru termodynamic. Parametrii macroscopici ai sistemului, puțini la număr, nu variază în timp. Starea macroscopică a sistemului este determinată de totalitatea parametrilor independenti care caracterizează sistemul respectiv.

Starea microscopică a sistemului este determinată de valorile tuturor pozițiilor și vitezelor particulelor din care este constituit sistemul respectiv.

Deoarece parametrii macroscopici depind de parametrii microscopici, la echilibru, cunoașterea stării microscopici a unui sistem implică cunoașterea stării sale macroscopic. Este posibil însă ca și o altă stare microscopică a sistemului, o stare în care s-au schimbat, de exemplu, pozițiile și vitezele a două particule, să corespundă aceleiași stării macroscopice. Cu toate că starea macroscopică este invariabilă, în sensul că parametrii macroscopici rămân constanti în timp, starea microscopică este într-o continuă schimbare, particulele constituente mișându-se continuu și dezordonat, dar reflectă aceeași stare macroscopică. Putem deci trage concluzia că o stare macroscopică este compatibilă cu un număr dat de stări microscopic. Putem lua un exemplu. Pentru un gaz, presiunea este un parametru macroscopic care la echilibru are o valoare constantă, bine determinată. Din punct de vedere microscopic presiunea apare ca un efect mediat al tuturor ciocnirilor moleculeare cu peretele vasului. Dar pozitile și vitezele particulelor de gaz se schimbă neîncet, deci și stările microscopici ale sistemului,

cu toate că efectul lor la scară macroscopică, presiunea, rămâne constantă. Oricare din stările microscopici ale sistemului corespunde unei același stări macroscopică pentru care presiunea are o valoare constantă.

Unei macrostări date îi corespunde un număr foarte mare de microstări, toate fiind la fel de probable, în sensul că în evoluția sa sistemul nu are o mai mare preponderență pentru unele microstări în comparație cu altele.

Prin definitie, probabilitatea termodynamică a unei macrostări W este egală cu numărul de microstări compatibile cu macrostarea dată. Ea are o valoare foarte mare, spre deosebire de probabilitatea matematică, care este mai mică decât unitatea.

Boltzmann a găsit o legătură simplă între entropia unui sistem macroscopic, finit și izolat și probabilitatea termodynamică, și anume

$$S = k \ln W, \quad (1.46)$$

care reprezintă célébra formulă a lui Boltzmann, în care $k = 1,38 \cdot 10^{-23} \text{ J/K}$ este constanta lui Boltzmann. Ce ne spune această relație? Că entropia unui sistem este proporțională cu probabilitatea termodynamică. Dar noi știm că în evoluția unui sistem entropia crește (principiu al doilea al termodynamicii) deci trebuie să crească și probabilitatea termodynamică. Această formulă explică de ce evoluția unui sistem se face astfel încât sistemul trece dintr-o stare mai puțin probabilă (cu probabilitatea termodynamică mai mică) într-o stare mai probabilă (cu probabilitatea termodynamică mai mare) sau, cu alte cuvinte, dintr-o stare mai ordonată, în care probabilitatea W este mai mică într-o stare mai dezordonată în care probabilitatea W este mai mare.

Noțiunea de entropie se folosește și în informatică ca entropie informațională, dar aceasta nu are nici o legătură cu entropia termodynamică, termenul fiind ales numai prin analogia dintre relația (1.46) și expresia cantității de informație.

Să vedem cum se definește cantitativ informația. Plecăm de la un exemplu, și anume de la aruncarea cu zarul. Dacă zarul este ideal și aruncările sunt ideale, putem obține ca rezultat final, deci ca informație, orice cifră de la 1 la 6. Dacă zarul însă a fost măsliniț, în aşa fel încât să obținem numai cifra 4, cantitatea de informație este mult mai mică decât în primul caz, și este egală cu unu. Dacă se pot obține numai cifrele 3 și 4 atunci avem două informații. Se vede deci că există o diferență între numărul de cazuri posibile, care teoretic se pot obține, și numărul de cazuri favorabile, care se produc. Dacă notăm cu I cantitatea de informație, cu P numărul de cazuri posibile înainte de pri-

mirea informației și cu P_0 numărul de cazuri posibile după primirea informației, se arată că între aceste mărimi există relația

$$I = K \log \frac{P}{P_0}, \quad (1.47)$$

în care K este o constantă. Relația (1.47), pentru cazul particular când $P_0 = 1$, deci în situația în care după primirea informației avem un singur caz, devine

$$I = K \log P. \quad (1.48)$$

Comparând relațiile (1.46) și (1.48) se vede că ele sunt destul de asemănătoare, și prin analogie mărimea I mai poartă numele de entropie informatională, dar nu are nici o legătură cu entropia termodynamică. Semnificația mărimilor din cele două relații este diferită, și mai mult și constantele k și K sunt diferite astfel, constanta $K = 3,65$, dacă se folosesc pentru cantitatea de informație unitatea bit.

1.14. PRINCIPIUL AL TREILEA AL TERMODINAMICII

Acest principiu al termodinamicii a apărut ceva mai recent, în jurul anului 1906, fiind destul de controversat. Mulți autori îl denumesc principiu deoarece el nu poate fi dedus pe cale termodynamică. Alții însă îl numesc *teorema*, deoarece acest principiu nu introduce o funcție de stare, aşa cum introduce primul principiu al termodinamicii *energia internă*, sau principiul al doilea, *entropia*, și nici nu are o semnificație atât de generală ca cele două principii.

După cum am arătat în paragraful 1.12, din principiul al doilea al termodinamicii rezultă variația de entropie a unui sistem și nu valoarea ei absolută. Folosindu-ne de ecuațiile de stare, entropia poate fi determinată pentru orice tip de sistem pînă la o constantă S_0 , care rămîne nedeterminată. Constanta S_0 a fost determinată pentru prima oară de Nernst în anul 1906 enunțînd un principiu care este cunoscut sub denumirea de „Teorema termică a lui Nernst”. Ulterior s-a dovedit că această teoremă nu poate fi dedusă din principiul sau al doilea principiu al termodinamicii, avînd o consistență de sine stătătoare. Din această cauză teorema lui Nernst a căpătat denumirea de principiu al treilea al termodinamicii.

Teorema lui Nernst poate fi formulată astfel: *cînd temperatura absolută tînde către zero și variația de entropie tînde de asemenea către zero, adică*

$$\Delta S = S - S_0 \rightarrow 0 \text{ cînd } T \rightarrow 0. \quad (1.49)$$

Din relația (1.49) rezultă că atunci cînd temperatura absolută a unui sistem tînde către zero, procesele izoterme decurg fără variație de entropie.

Planck a completat teorema lui Nernst îngustînd-o, afirmînd că nu numai variația de entropie a unui sistem tînde la zero, atunci cînd temperatura absolută tînde la zero, ci însăși entropia sistemului tînde la zero.

Teorema lui Nernst, cu completarea făcută de Planck, poartă numele de principiul al treilea al termodinamicii, care se enunță astfel:

Entropia oricărui sistem tînde către o constantă universală, finită, care poate fi egală cu zero, pentru sistemele pure condensate, atunci cînd temperatura absolută tînde la zero.

Din principiul al treilea al termodinamicii decurg cîteva consecințe interesante. În primul rînd, căldurile molare, ca și toți coeficienții termici de dilatare tînde la zero atunci cînd temperatura absolută a sistemului tînde la zero, adică

$$C_p \rightarrow 0, \quad C_v \rightarrow 0, \quad \alpha \rightarrow 0, \quad \beta \rightarrow 0, \quad \gamma \rightarrow 0 \text{ cînd } T \rightarrow 0 \quad (1.50)$$

În al doilea rînd, din principiul al treilea al termodinamicii rezultă imposibilitatea atingerii temperaturii de zero absolut. Pentru a demonstra această consecință să considerăm un ciclu Carnot care lucreză pe izotermele $T_1 = T$ și $T_2 = 0$, ciclu prezentat în diagrama (T, S) în figura 1.19. Conform principiului al doilea al termodinamicii, variația totală de entropie, pe un ciclu, este nulă. În cazul ciclului nostru rezultă că

$$\Delta S_{12} + \Delta S_{23} + \Delta S_{34} + \Delta S_{41} = 0. \quad (1.51)$$

Să calculăm variația de entropie pe fiecare ramură a ciclului. Variația de entropie $\Delta S_{12} = \frac{Q}{T}$, deoarece sistemul primește căldura Q , la temperatură absolută T . Variațile de entropie ΔS_{23} și ΔS_{41} sunt nule deoarece transformările respective au loc la entropie constantă (sunt transformări adiabatice). Variația de entropie $\Delta S_{34} = 0$ conform principiului al treilea al termodinamicii, la temperatura de zero absolut, $T_2 = 0$, este nulă.

Introducînd termenii calculați în relația (1.51) rezultă că $\frac{Q}{T} = 0$, ceea ce este imposibil deoarece sistemul a primit căldura Q , diferență de zero, la temperatură T . Această contradicție poate fi rezolvată numai dacă admitem că este imposibil ca un sistem termodynamic să atingă temperatura de zero absolut.

În multe cărti, această consecință care decurge din principiul al treilea al termodinamicii și anume imposibilitatea atingerii temperaturii de zero absolut de către sistemele termodinamice, este prezentată ca principiul al treilea al termodinamicii.

Pe baza celor trei principii ale termodinamicii pot fi rezolvate numeroase probleme, deosebit de variate și de interesante, cuprinzînd domenii foarte diferite din fizică, dar și din chimie sau biologie.

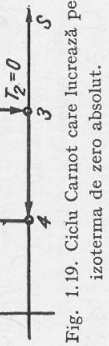


Fig. 1.19. Ciclu Carnot care lucreză pe izoterme de zero absolut.

- unidimensional (are o singură direcție);
 - ireversibil (toate procesele lumii se desfășoară într-un singur sens de la trecut, prin prezent, spre viitor);
 - infinit (nu are început și sfîrșit).
- Noțiunea de masă este legată de două proprietăți fundamentale ale materiei: inerția și gravitația. Masa este considerată ca fiind:
- independentă de viteza corpurilor;
 - aditivă (masa unui sistem se obține prin însumarea maselor elementelor componente);
 - conservativă (masa unui sistem închis este constantă).

Spațiul și timpul sunt considerate absolute, independente între ele și independente de materie. O consecință a acestor proprietăți este invarianta distanțelor, duratei și masei față de condițiile de măsurare.

Studiile efectuate asupra propagării interacțiunii cu viteză finită și asupra mișcării corpurilor cu viteze comparabile cu viteza luminii au arătat că proprietățile spațiului, timpului și masei sunt mai complexe de cît cele prezентate în cadrul mecanicii clasice, între spațiu, timp și masă existând anumite legături.

În problemele în care corpurile au viteze mici în comparație cu viteza luminii, se poate presupune că legăturile dintre spațiu, timp și masa, deși reale, sunt neesențiale și ca atare, se poate să nu se ţină seama de aceste legături și să se folosească mecanica clasică pentru rezolvarea acestor probleme, deoarece dă rezultate care permit atingerea unei precizii suficiente pentru tehnica curentă.

2. REFERENȚIALE. STAREA DE MIȘCARE A PUNCTULUI MATERIAL

2.1. SISTEM DE PUNCTE MATERIALE

Studiul sistemelor de puncte materiale se va face în cadrul mecanicii clasice (newtoniene).

Theoria mecanicii clasice s-a realizat prin abstractizarea și generalizarea observațiilor efectuate asupra mișcării corpurilor la nivel macroscopic, corpuri ce se deplasează cu viteze foarte mici în raport de viteza luminii.

La baza acestei teorii stau noțiunile: spațiu, timp, masa și principiile: inerției, proporționalității dintre accelerare și forță (principiul fundamental al mecanicii), acțiunii și reacțiunii.

Noțiunea de spațiu este legată de configurația și localizarea corpurilor. Spațiu este considerat ca fiind:

- continuu (nu se poate trece de la un punct la altul decât printr-o infinitate de puncte vecine);
 - omogen (proprietățile sale nu se schimbă de la un punct la altul);
 - tridimensional (pentru localizarea unui punct sunt necesare trei coordinate);
 - izotrop (proprietățile sale nu se schimbă cu direcția considerată în spațiu);
 - infinit (nu are limite), spațiu geometriei euclidiene.
- Noțiunea de timp este legată de succesiunea și durata proceselor lumii materiale. Timpul este considerat ca fiind:
- universal (scurgerea timpului este aceeași în orice punct al spațului);
 - uniform (proprietățile sale nu se schimbă de la un moment la altul);

2.1.1. Referențiale. Procesul cunoașterii naturii a impulsului de localizare și datează evenimentelor, adică precizarea punctului din spațiu și a momentului din timp unde se petrec evenimentul.

Localizarea unui punct în spațiu implică alegerea unui reper și a unui etalon de lungime. Ca reper se poate alege orice ansamblu rigid de corpuși care îl se atașază un sistem de coordinate, de obicei un sistem cartezian (o origină, un sistem de axe rectangulare O_x, O_y, O_z fără sens obligatoriu).

Etalonul de lungime se alege arbitrar și este considerat invariabil. Poziția unui punct P , în raport cu reperul ales este dată de vectorul de poziție

$$\vec{r} = \vec{OP}.$$

Atâtind reperului un sistem de coordonate carteziene (fig. 2.1), se poate da poziția punctului P prin coordonatele x, y, z . Vectorul de pozitie \vec{r} în funcție de coordonatele x, y, z este

$$\vec{r} = x\vec{i} + y\vec{j} + z\vec{k}, \quad (2.1)$$

unde $\vec{i}, \vec{j}, \vec{k}$ sunt versorii axelor sistemului cartezian.

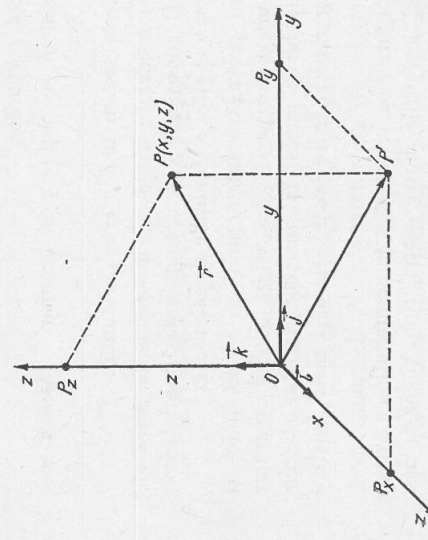


Fig. 2.1. Pozitia punctului P este data fie de vectorul de pozitie \vec{r} , fie de coordonatele x, y, z .

Pozitia punctului P poate fi raportată la două reperi diferite (fig. 2.2). Vectorii de pozitie ai punctului P , față de aceste reperi, sunt legați prin relația

$$\vec{r} = \vec{r}_0 + \vec{r}', \quad (2.2)$$

unde \vec{r}_0 este vectorul de pozitie al originii reperului O' față de reperul O .

Rezultă că *unui punct unic din spațiu euclidian îi pot corespunde mai mulți vectori de pozitie dependenți de reperele alese*.

Distanța dintre două puncte P_1 și P_2 față de reperul cu originea în O este:

$$|\vec{r}_2 - \vec{r}_1| = \sqrt{(x_2 - x_1)^2 + (y_2 - y_1)^2 + (z_2 - z_1)^2}.$$

Același distanță față de reperul cu originea în O' este:

$$|\vec{r}'_2 - \vec{r}'_1| = \sqrt{(x'_2 - x'_1)^2 + (y'_2 - y'_1)^2 + (z'_2 - z'_1)^2}.$$

Având în vedere că distanța este un invariant al spațiului avem:

$$(x_2 - x_1)^2 + (y_2 - y_1)^2 + (z_2 - z_1)^2 = (x'_2 - x'_1)^2 + (y'_2 - y'_1)^2 + (z'_2 - z'_1)^2.$$

Deci distanța dintre două puncte nu depinde de reperul din care ea este măsurată.

Precizarea unui moment în timp implică alegerea unui reper (moment de referință) și a unui etalon de durată. Etalonul de durată se alege în mod arbitrar și este considerat invariabil. Durata dintre momentul origine (de



Fig. 2.2. Pozitia punctului P raportata la două reperi.

referință) și momentul studiat reprezentă coordonata de timp t . Folosind corespondența biunivocă dintre punctele unui drept și momentele reale, se poate construi o axă a timpului. Pe această axă un punct reprezentă un moment, originea axei reprezentă momentul inițial (fig. 2.3). Axa timpului are un sens obligatoriu de la trecut spre viitor.

Momentul M poate fi raportat la două origini O și O' (fig. 2.4). Între coordonatele temporale t și t' ale momentului M în raport de cele două origini există relația

$$t = t_0 + t'. \quad (2.3)$$

Rezultă că *unui moment unic în timp îi corespund mai multe coordonate temporale dependente de originea de timp aleasă*.

Durata dintre două momente M_1 și M_2 față de originea O este

$$\Delta t = t_2 - t_1,$$

și față de originea O'

$$\Delta t' = t'_2 - t'_1.$$

Având în vedere că durata este un invariant al timpului mecanic clasică, rezultă

$$t_2 - t_1 = t'_2 - t'_1,$$

durata dintre două momente nu depinde de originea de timp aleasă.

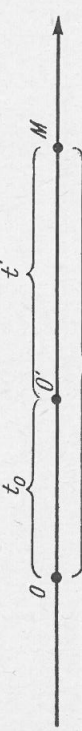


Fig. 2.3. Axa timpului (T - trecut, V - viitor), originea timpului O , coordonata de timp t .

Precizarea unui eveniment necesită două operații, una de localizare și alta de datare, să impună unirea reperului pentru localizare cu cel pentru date. Ansamblul format din aceste două reperi constituie un referential.

Fiecare referential are două etaloane, unul pentru măsurarea distanțelor și altul pentru măsurarea duratelor. În raport de un referential se realizează

localizarea și datarea, prin precizarea a trei coordonate spațiale și a unei coordonate temporale.

Un eveniment este, deci, caracterizat de *patru coordonate*. Coordonata temporală t este considerată din punct de vedere matematic ca variabilă independentă monoton crescătoare care poate lua orice valoare reală. Coordonatele spațiale sunt funcții de timp.

2.1.2. Starea de mișcare a punctului material. Un punct material P poate ocupa față de un referențial, la momente diferite t_1, t_2, t_3 , poziții diferite P_1, P_2, P_3 (fig. 2.5). Vectorul de poziție al punctului P se modifică de la un moment la altul. Se poate afirma că vectorul de poziție al unui punct material este funcție de timp

$$\vec{r} = \vec{r}(t). \quad (2.4)$$

Punctul material P este față de referențialul ales în stare de mișcare, cînd

$$\vec{r}(t) \neq \vec{r}(t + \Delta t),$$

și în stare de repaus, cînd

$$\vec{r}(t) = \vec{r}(t + \Delta t).$$

Funcția (2.4) stabilind o corespondență biunivocă între momentele de timp și vectorii de poziție constituie *legea de mișcare* a punctului P în raport de referențialul ales.

Legea de mișcare poate fi exprimată prin funcții diferențiale impuse de mișcarea fizică a punctului P , funcții ce trebuie să satisfacă în intervalul în care sunt definite anumite restricții: să fie continuu, uniforme, finite în modulul derivabile.

Legea de mișcare poate fi prezentată și prin următorul sistem de funcții:

$$\begin{aligned} x &= x(t) \\ y &= y(t) \\ z &= z(t) \end{aligned} \quad (2.5)$$

obținute prin proiecțarea lui $\vec{r} = \vec{r}(t)$ pe axele unui sistem de coordonate carteziene. Expresiile (2.5) se numesc *legile parametrice ale mișcării*.

Eliminînd timpul din legile parametrice (2.5) se obțin ecuațiile traiectoriei:

$$\begin{aligned} F_1(x, y, z) &= 0, \\ F_2(x, y, z) &= 0. \end{aligned} \quad (2.6)$$

Starea de mișcare a punctului material este caracterizată de două mărimi: viteza și accelerarea.

a) Se consideră un punct material care la momentul t se găsește în P iar la momentul $t + \Delta t$ în P' (fig. 2.6). Poziția punctelor P și P' este dată de vectorii de poziție \vec{r} și $\vec{r} + \Delta \vec{r}$.

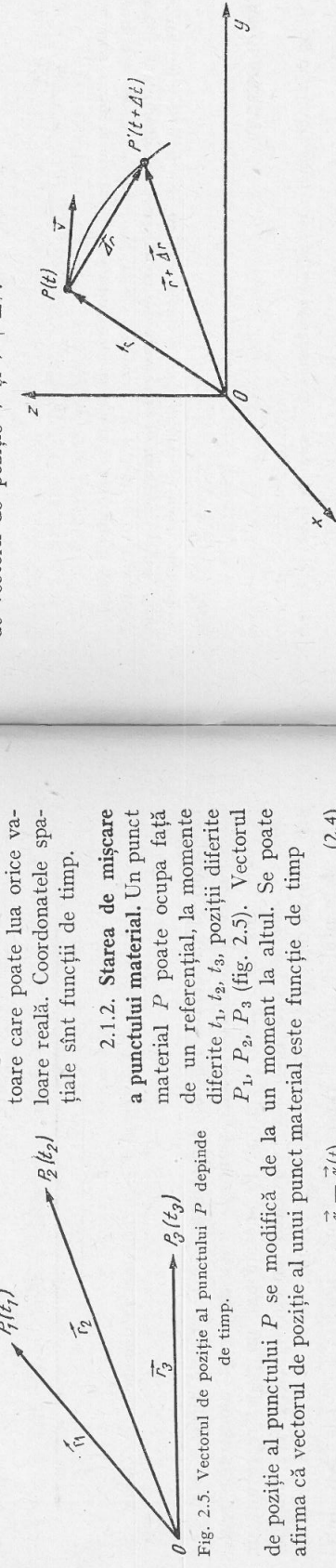


Fig. 2.5. Vectorul de poziție al punctului P depinde de timp.
Fig. 2.6. Vectorul viteză este legat de punctul P și este situat pe tangentă la trajectorie în punctul P .

Prin definiție vectorul

$$\vec{v} = \lim_{\Delta t \rightarrow 0} \frac{\Delta \vec{r}}{\Delta t} = \frac{d \vec{r}}{dt} \quad (2.7)$$

este *viteza* punctului P în raport cu referențialul considerat.

Tinând seama de (2.1) și de (2.5) relația (2.7) se poate scrie

$$\vec{v} = \vec{v}_x \hat{i} + \vec{v}_y \hat{j} + \vec{v}_z \hat{k}, \quad (2.8)$$

cu modulul

$$v = \sqrt{v_x^2 + v_y^2 + v_z^2},$$

$$\text{unde } v_x = \frac{dx}{dt}, v_y = \frac{dy}{dt},$$

$$v_z = \frac{dz}{dt}.$$

b) Se consideră din nou punctul material în cele două poziții P și P' caracterizate prin vitezele \vec{v} și $\vec{v} + \Delta \vec{v}$ (fig. 2.7).

Prin definiție vectorul

$$\vec{a} = \lim_{\Delta t \rightarrow 0} \frac{\Delta \vec{v}}{\Delta t} = \frac{d \vec{v}}{dt} \quad (2.9)$$

este *accelerarea* punctului P în raport cu referențialul considerat.

Tinând seama de (2.8) relația (2.9) se poate scrie

$$(2.10)$$

$$\vec{a} = a_x \vec{i} + a_y \vec{j} + a_z \vec{k},$$

cu modulul

$$a = \sqrt{a_x^2 + a_y^2 + a_z^2},$$

$$\text{unde } a_x = \frac{dv_x}{dt} = \frac{d^2x}{dt^2}, \quad a_y = \frac{dv_y}{dt} = \frac{d^2y}{dt^2}, \quad a_z = \frac{dv_z}{dt} = \frac{d^2z}{dt^2}.$$

Observație. Deși viteza și accelerarea reprezintă derivata întâia și respectiv a două a vectorului de poziție în raport cu timpul, nu trebuie interpretat acest fapt ca o dependență cauzală (accelerarea este funcție de vitează, viteza este funcție de vectorul de poziție). Fizica, accelerarea este rezultatul acțiunii unei forțe, existența accelerării are ca efect modificarea vitezei.

INTREBĂRI ȘI EXERCITII

1. Identificați ce tip de mișcare studiat în anii anterioiri este caracterizat de următoarele legi de mișcare:

a) $\vec{r}(t) = \vec{a} + bt;$

b) $\vec{r}(t) = \vec{a} + \vec{b}t + \vec{c}t^2 + \vec{d}t^3;$

c) $\vec{r}(t) = \vec{a} + \vec{b}t + \vec{c}t^2 + \vec{d}t^3;$

d) $\vec{r}(t) = \vec{A} \sin \omega t.$

2. Scrieți legile parametrice ale mișcărilor prezentate la exercițiul 1.

3. Care este expresia ecuației traectoriei în cazul mișcărilor prezentate la exercițiul 1?

4. Calculați viteza și accelerarea pentru mișcările prezentate la exercițiul 1.

5. Mișcarea unui punct material este definită de legile parametrice:

a) $x = 3t^2, \quad y = 4t^2;$

b) $x = 3 \sin t, \quad y = 3 \cos t;$

c) $x = a \cos^2 t, \quad y = a \sin^2 t.$

Determinați pentru fiecare caz:

– expresia legii de mișcare;

– viteza și accelerarea;

– ecuația traectoriei.

6. Legile parametrice ale mișcării unui punct material P în raport de un referențial R sunt:

$$x = at, \quad y = bt^2.$$

a) Scrieți legea de mișcare a punctului P în raport de referențialul R .

b) Scrieți legea de mișcare a punctului P și legile parametrice față de un referențial R' stăind că are axe de coordonate paralele cu referențialul R și originea determinată de relația $\vec{r}' = \vec{r}_0 + \vec{r}$.

c) Scrieți ecuațiile traectoriei acestui punct față de referențialele R și R' .

7. Mișcarea unui punct material este definită prin legile:

$$x = 2e^t - 1; \quad y = 2e^t + 1.$$

Determinați:

- a) traectoria mobilului;
- b) viteza și accelerarea la un moment dat.

2.2. PROPRIETĂȚILE FUNDAMENTALE ALE SPAȚIULUI ȘI TIMPULUI. REFERENȚIALE INERTIALE. RELATIVITATEA MIȘCĂRII. PRINCIPIUL RELATIVITĂȚII GALILEEENE

2.2.1. **Proprietăți fundamentale ale spațiului și timpului.** Teoria mecanicii clasice este construită, așa cum s-a arătat și în introducere, pe baza următorului grup de principii:

1. Principiu de inerție: orice corp își păstrează starea de repaus sau de mișcare rectilinie și uniformă atât timp cît asupra sa nu acionează alte corpuși care să-i schimbe starea.

2. Principiu proporționalității dintre accelerare și forță: *accelerația imprimată de o forță unui corp este direct proporțională cu forța și invers proporțională cu masa corpului*

$$(2.11) \quad \vec{F} = m \frac{d^2\vec{r}}{dt^2}.$$

3. Principiu acțiunii și reacțiunii: *acțiunile reciproce dintre două corpuși sunt totdeauna egale și direct opuse.*

Aceste principii pun în evidență proprietățile fundamentale ale spațiului și timpului, care sunt la baza mecanicii clasice.

Păstrarea stării de repaus sau de mișcare rectilinie și uniformă de către un corp atât timp cît asupra lui nu acionează o forță, indiferent de punctul unde se află, de direcția pe care se deplasează și de momentul la care se execută, conduce la concluzia că punctele spațiului și direcțiile spațiului precum și momentele de timp sunt echivalente între ele.

Aceleași proprietăți ale spațiului și timpului sunt evidențiate de faptul că o forță aplicată unui corp liber și imprimată acestuia totdeauna aceeași accelerare, indiferent de punctul unde se află corpul, de direcția pe care se exercită forța și de momentul în care se exercită.

De asemenea, faptul că la interacțiunea dintre două corpuși acțiunea este egală cu reacțiunea oricare ar fi poziția acestor corpuși dovedește că punctele și direcțiile spațiului sunt echivalente între ele.

Principiile mecanicii clasice sunt valabile numai într-un spațiu în care toate punctele sunt echivalente, toate direcțiile sunt echivalente (izotrop) și într-un timp în care toate momentele sunt echivalente (uniform).

Prezența corpurilor și deșăurarea fenomenelor fizice poate distruge omogenitatea și izotropia spațiului, respectiv uniformitatea timpului. De exemplu prezența unui sistem de corpuși care produc un câmp electric neuniform ($\vec{E}(\vec{r}, t) \neq \vec{E}(\vec{r} + d\vec{r}, t) \neq \vec{E}(\vec{r}, t + dt)$) are ca efect

atit distrugerea omogenității și izotropiei spațiului cît și a uniformității timpului. Mișcarea unui corp electrizat în acest cimp depinde de punctul din care pleacă, de direcția pe care se deplasează și de momentul cind începe mișcarea.

2.2.2. Referințiale inerțiale. Referințialele în care mișcarea corpurilor (punctelor materiale) se face în conformitate cu principiile mecanicii se numesc referințiale inerțiale (*R.I.*). În referințiale inerțiale spațiul este omogen și izotrop și timpul uniform.

În Univers nu există un referențial absolut inerțial. În anumite limite se acceptă ca referințiale inerțiale diferențe sisteme de cor puri, ca de exemplu:
— un sistem de stele care ocupă pe bolta cerească locuri fixe pentru o durată mare de timp;
— o navă cosmică ce s-ar deplasa în spațiu extragalactic, departe de orice corp;

— Pământul în cazul cind durata mișcării este mică față de perioada de rotație.

După ce s-a ales un referențial inerțial se formează clasa referințialelor inerțiale, din mulțimea referințialelor care se află în raport de referențialul selecționat în mișcare rectilinie uniformă.

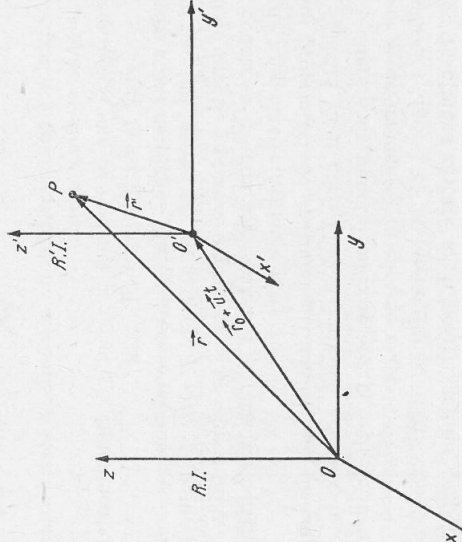


Fig. 2.8. Punctul P observat din două referințiale inerțiale.

Clasa referințialelor inerțiale este cea mai adecvată scrierii legilor de mișcare.

2.2.3. Relativitatea mișcării. Un punct material P este studiat din două referințiale inerțiale. Un referențial *R.I.* este considerat fix, altul *R'.I.* este față de *R.I.* în mișcare rectilinie uniformă cu viteza \vec{u} (fig. 2.8).

Studiul efectuându-se în aproximarea timpului mecanicii clasice, se poate admite că durata dintre două evenimente măsurată cu ceasurile referințialelor *R* și *R'* este aceeași

$$\Delta t = \Delta t',$$

sau luând aceeași origine Pentru măsurarea timpului în ambele referințiale

$$t = t'. \quad (2.12)$$

Într-un vectorii de poziție ai punctului P față de cele două referințiale se poate scrie relația

$$\vec{r} = \vec{r}' + \vec{r}_0 + \vec{u}t, \quad (2.12')$$

unde \vec{r}_0 este vectorul de poziție al originii referențialului *R'* în raport cu *R* la momentul inițial.

Relațiile (2.12), (2.12'), formează împreună relațiile de transformare Galilei.

Utilizând coordonatele, aceste relații, se pot scrie

$$x = x' + x_0 + u_x t, \quad y = y' + y_0 + u_y t, \quad z = z' + z_0 + u_z t, \quad t = t', \quad (2.12'')$$

unde u_x, u_y, u_z și x_0, y_0, z_0 sunt componentele vitezei de transport a referențialului *R'.I.* și respectiv ale vectorului \vec{r}_0 în referențialul *R.I.* fix. Se poate, de asemenea, scrie

$$x' = x - x_0 - u_x t, \quad y' = y - y_0 - u_y t, \quad z' = z - z_0 - u_z t, \quad t' = t. \quad (2.12''')$$

Relațiile (2.12'') și (2.12''') permit localizarea, în spațiu și în timp, a unui eveniment în unul dintre referințiale inerțiale cînd se cunoaște localizarea evenimentului în celălalt referențial.

Derivând în raport cu timpul expresia (2.12') se obține

$$\frac{d\vec{r}}{dt} = \frac{d\vec{r}'}{dt} + \vec{u}.$$

Notind cu $\vec{v} = \frac{d\vec{r}}{dt}$, viteza punctului P în raport de *R.I.* și cu $\vec{v}' = \frac{d\vec{r}'}{dt}$, viteza punctului P în raport de *R'.I.*, expresia de mai sus devine

$$\vec{v} = \vec{v}' + \vec{u}. \quad (2.13)$$

Relația (2.13) poartă numele de teorema de compunere a vitezelor în mecanica newtoniană.

Derivând relația (2.13) în raport cu timpul obținem

$$\frac{d\vec{v}}{dt} = \frac{d\vec{v}'}{dt}.$$

Notând cu $\vec{a} = \frac{d\vec{v}}{dt}$ acceleratia punctului P față de $R.I.$ și cu $\vec{a}' = \frac{d\vec{v}'}{dt}$ acceleratia punctului P față de $R'I$, se poate scrie

$$\vec{a} = \vec{a}'.$$
 (2.14)

Din analiza expresiilor (2.13) și (2.14) se constată că:

- viteza punctului P diferă de la un referential la altul;
- acceleratia punctului P este aceeași față de ambele referentiale;

acceleratia este invariante față de translatația rectilinie și uniformă a referențialului.

2.2.4. Principiu relativității galileene. Prin generalizarea concluziilor de tipul celor prezentate în paragraful (2.2.3) s-a ajuns la formularea următorului principiu:

legile mișcării corpurilor sunt invariante față de orice translatație rectilinie și uniformă a referențialului.

Acest principiu este cunoscut fie sub denumirea de *principiu relativității clasice* fie sub denumirea de *principiu relativității galileene*.

Conform acestui principiu:

— un punct material ce se află în mișcare rectilinie și uniformă față de un referential inertial, este în mișcare rectilinie și uniformă față de toată clasa referențialelor inertiale;

— un punct material ce se află în mișcare accelerată față de un referential inertial va fi în mișcare accelerată, cu aceeași acceleratie, față de toată clasa referențialelor inertiale.

O consecință importantă a principiului relativității galileene este faptul că nici o experiență mecanică executată într-un referential inertial nu poate să pună în evidență mișcarea acestui referential.

Observând un referential inertial dintr-un alt referential inertial, se poate determina numai viteza relativă a unui raport cu celalalt dar nu se poate stabili care din cele două referențiale este în mișcare sau în repaus.

INTREBĂRI SI EXERCITII

1. Spațiul în care trăim este izotrop? Dar omogen?
2. Dati exemple de situații când prezenta unor corperi perturbă proprietățile spațiului și timpului.
3. Demonstrați că orice referential aflat în mișcare rectilinie și uniformă față de un referential inertial este tot referential inertial.

4. Calculați distanța dintre două puncte P_1 și P_2 din două referențiale inerțiale. Ce concluzie se poate trage?

5. Demonstrați că principiul fundamental al mecanicii (expresia 2.11) este invariant față de:

- a) translatația axelor referențialului;
- b) rotația axelor referențialului.

6. Demonstrați că principiul fundamental al mecanicii (expresia 2.11) este invariant față de mișcarea rectilinie și uniformă a referențialului.

7. Un corp ce cade liber este observat din două referențiale inerțiale:

- unul fix (solidar cu Pământul);
- altul ce se deplasează, în direcție orizontală, cu viteza \vec{v} față de primul referential.

Care sint concluziile (legi, traectorii) referitoare la mișcarea corpului, extrase de fiecare observator?

8. Într-un tren ce se deplasează pe o linie rectilinie orizontală cu viteză constantă, un călător lasă să cadă liber un corp.

a) Studiați mișcarea acestui corp dintr-un referential solidar cu trenul și din altul solidar cu linia.
b) Cum este perturbată, de rezistența aerului, mișcarea corpului, dacă este lansat în exteriorul trenului (analizați modificările observate din ambele referențiale)?

2.3. PUNCTUL MATERIAL. SISTEME DE PUNCTE MATERIALE. TEOREMELE ENERGIEI, IMPULSULUI SI MOMENTULUI CINETIC

2.3.1. Punctul material. Pentru studiul mișcării corpuriilor s-a imaginat un model „punctul material”. Acestui i s-au atribuit proprietățile esențiale ale corpului: posibilitatea de localizare la diferite momente de timp, posibilitatea de deplasare, incizia și interacțiunea.

Caracterizarea stării mecanice a punctului material se realizează prin precizarea unora dintre parametrii aparținând următorului grup:

- | | |
|-------------------------------|--|
| 1° parametrii cinematici | 2° parametrii dinamici |
| — vector de poziție \vec{r} | — masă m |
| — viteza \vec{v} | — impuls $\vec{p} = m\vec{v}$ |
| — accelerare \vec{a} | — energie cinetică $E_c = \frac{1}{2}mv^2$ |
| | — moment kinetic $\vec{L} = \vec{r} \times m\vec{v}$ |

Să urmărim, dintr-un referential inerțial, comportarea unui punct material în cîteva situații. Pentru fiecare situație vom stabili numărul minim de parametrii necesari pentru caracterizarea punctului material.

a) *Punctul material este liber* (se poate mișca în orice direcție) și *țezut* (nu interacționează cu alte puncte materiale).

În această situație, punctul material va fi, conform principiilor mecanicii clasice, în repaus (fig. 2.9) sau în mișcare rectilinie uniformă (fig. 2.10).

Relația (2.15), înținând cont de relațiile (2.7), (2.9) și de constanța masei, se poate scrie

$$d(m\vec{v}) = \vec{F} dt,$$

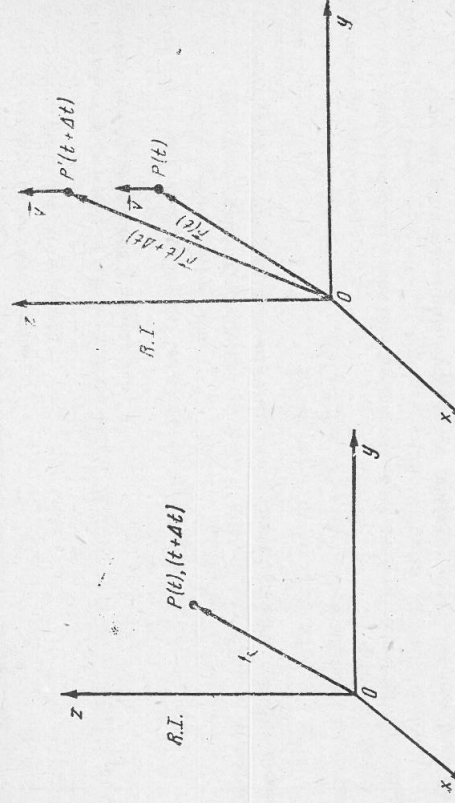


Fig. 2.9. Punctul P este liber și interacționează cu un alt punct material; în acastă situație se va modifica starea punctului material (fig. 2.11) conform principiului fundamental

$$\begin{aligned} 1^{\circ} \quad \vec{r}(t) &= \vec{r}(t + \Delta t) \\ \vec{v} &= 0 \end{aligned}$$

b) *Punctul material este liber și interacționează cu un alt punct material;*

în această situație se va modifica starea punctului material (fig. 2.11)

conform principiului fundamental

$$m \frac{d^2 \vec{r}}{dt^2} = \vec{F}. \quad (2.15)$$

Dacă se cunosc: poziția initială (\vec{r}_0), viteza initială (\vec{v}_0), masa (m) și forța (\vec{F}), prin integrarea relației (2.15) se obține legea de mișcare

$$\vec{r} = \vec{r}(t, \vec{C}_1, \vec{C}_2),$$

unde \vec{C}_1 și \vec{C}_2 sunt constante vectoriale de integrare ce se determină din condițiile initiale.

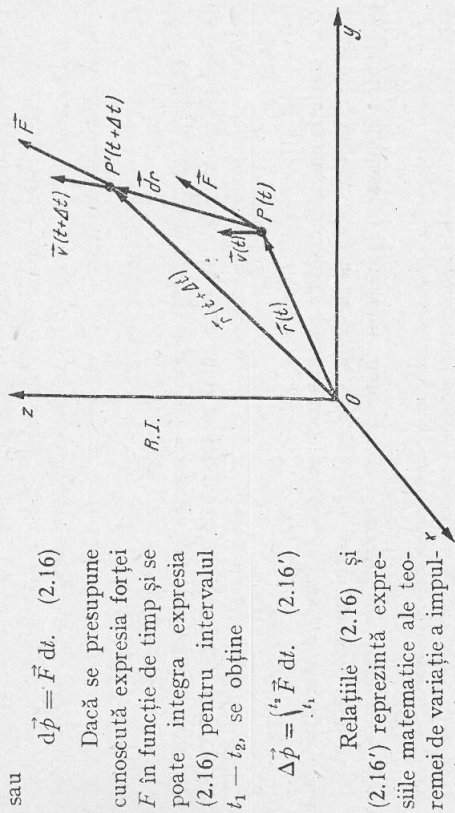


Fig. 2.10. Punctul P este în mișcare rectilinie uniformă în raport cu referențialul $R.I.$.

Experiența arată că aceste stări sunt complet caracterizate prin precizia vectorului de poziție și a vitezei. Pentru cele două cazuri posibile parametrii de stare sunt:

$$\begin{aligned} 2^{\circ} \quad \vec{r}(t) &\neq \vec{r}(t + \Delta t) \\ \vec{v}(t) &= \vec{v}(t + \Delta t). \end{aligned}$$

b) *Punctul material este liber și interacționează cu un alt punct material;*

interacțiunea este caracterizată de forță \vec{F} . Există unele situații în care este mai convenabil de urmărit efectul acțiunii forței \vec{F} asupra altui parametru dinamic — energia cinetică.

Să considerăm că în intervalul de timp dt , sub acțiunea forței \vec{F} , punctul material suferă o deplasare elementară $d\vec{r}$ (fig. 2.11). Pentru a stabili variația energiei cinetice a punctului material, ca urmare a acestei deplasări, înmulțim relația (2.15) scalar cu $d\vec{r}$. Obținem

$$m \frac{d\vec{v}}{dt} d\vec{r} = \vec{F} \cdot d\vec{r}.$$

Înlocuind pe $d\vec{r}$ cu $\vec{v} dt$, rezultă

$$m \vec{v} d\vec{v} = \vec{F} \cdot d\vec{r},$$

sau

$$d\left(\frac{1}{2}mv^2\right) = \vec{F} \cdot d\vec{r}, \quad (2.17)$$

$$dE_e = \vec{F} \cdot d\vec{r} = dL.$$

În cazul cînd expresia (2.17) se poate integra pentru intervalul de timp $t_1 - t_2$, se obține

$$\Delta E_e = \int_{t_1}^{t_2} \vec{F} \cdot d\vec{r}. \quad (2.17')$$

Relațiile (2.17) și (2.17') reprezintă expresiile matematice ale teoremei de variație a energiei cinetice a unui punct material sub formă diferențială (2.17) și sub formă integrală (2.17'). În cuvînt această teoremă (2.17) se enunță:

Variatîa energiei cinetice a unui punct material de masă constantă actionat de o forță, într-un interval de timp, este egală cu lucrul mecanic total al forței pentru deplasarea punctului material în intervalul de timp considerat.

Observație. Pentru caracterizarea stării unui punct material nu este necesar să se preciseze și energia și impulsul, deoarece între ele există relația

$$E_e = \frac{P^2}{2m}.$$

c) *Punctul material P este legat de o punct fix O și asupra lui acionează o forță \vec{F} . Din observațiile curente s-a constat că în această situație, traectoria punctului P este impusă de legătură.*

Pentru a vedea care sunt parametrii necesari caracterizării punctului material P în acest caz vom analiza un experiment.

Experiment. O bară subțire rigidă cu masă mică este suspendată în punctul fix O, aflat fată de extremitatea A la unghi θ , astfel încît distanța egală cu o pătrime din lungimea barei (fig. 2.12). De extremitatea A este prins în poziție fixă, perpendicular pe bară, un dispozitiv format dintr-o rigă gradată și un resort. În aceste condiții, echilibrul barei se poate realiza prin deplasarea corpului C. De extremitatea B se prinde un corp P de dimensiuni mici și

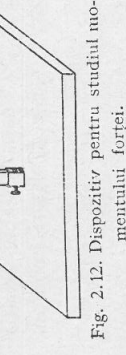


Fig. 2.12. Dispozitiv pentru studiul momentului forței.

Sub acțiunea greutății \vec{G} , bara ieșe din starea de echilibru. Pentru recchinibarea barei se întinde resortul prins în punctul A. Se urmărește alungirea acestui resort, pentru starea de echilibru a barei, în următoarele cazuri:

- se înlocuiesc corpul P cu alte corpuri cu mase din ce în ce mai mari (se modifică astfel valoarea forței \vec{F});
- se deplasează corpul P în diferite pozitii între O și B;
- se păstrează fixă poziția pe bară și masa corpului P și se realizează echilibrul pentru diverse inclinații barei (fig. 2.13).

Din observațiile efectuate în timpul experimentului și din prelucrarea datelor obținute, rezultă:

- corpul P nu se poate deplasa decît pe un arc de cerc — traectorie impusă de legături;
- efectul acțiunii forței \vec{F} (în cazul experimentului) \vec{G} constă în scoaterea sistemului din stare de echilibru și antrenarea lui într-o mișcare de rotație;
- deformarea resortului (Δl) necesară echilibrării sistemului depinde de $\Delta l \sim F r \sin \alpha$.

Se obțin aceleasi rezultate dacă se realizează experimentul după ce întregul sistem a suferit o rotație, în plan vertical, în jurul lui O cu un unghi egal cu π rad. În acest caz se modifică numai sensul deplasării punctului P. Din aceste concluzii reiese că efectul de rotație depinde ca:

- intensitate, de modulele vectoriale \vec{r} și \vec{F} și de sinusul unghiului format de acești vectori;
- sens, de pozițiile relative ale vectorilor \vec{r} și \vec{F} .

Pentru caracterizarea efectului de rotație să introducem o mărime care să înglobeze toate aceste caracteristici, numită **momentul forței** (\vec{M}_F), ce se definește

$$\vec{M}_F = \vec{r} \times \vec{F}. \quad (2.18)$$

Expresia $\vec{r} \times \vec{F}$ reprezintă produsul vectorial dintre vectorul de poziție al punctului de aplicare al forței și vectorul forță (fig. 2.14).

Fig. 2.13. Pozitii difereite în timpul experimentului.

Fig. 2.14. Momentul forței \vec{F} în raport cu punctul O.

69

Produsul vectorial a doi vectori $\vec{a} \times \vec{b}$ este un vector \vec{z} , care are modulul egal cu $ab \sin(\vec{a}, \vec{b})$, direcția perpendiculară pe planul determinat de vectorii \vec{a} și \vec{b} și sensul același cu sensul de înaintare al burghiu lui drept cind este rotit în sensul ce trebuie deplasat primul vector din produs pentru a devine paralel cu cel de al doilea vector sub un unghi mai mic de π rad.

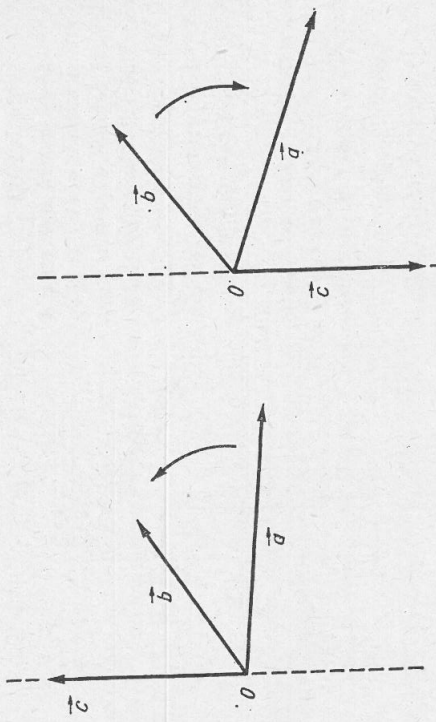


Fig. 2.15. Produsul vectorial nu este comutativ.

Produsul vectorial nu este comutativ, întrarea factorilor modifică sensul vectorului produs (fig. 2.15).

$$\vec{a} \times \vec{b} = -\vec{b} \times \vec{a}.$$

Observație: 1. Axele sistemului cartesian de coordonate au o astfel de orientare încit între versorii atașați lor să existe relația $\vec{k} = \vec{i} \times \vec{j}$ (sistem „drept”).

Între vectorul moment \vec{M} (obținut prin operația de produs vectorial) și vectorii \vec{r} și \vec{F} există o deosebire esențială. Sensul vectorilor \vec{r} , \vec{F} este stabilit pe baza unui fapt natural pe cind sensul vectorului \vec{M} este stabilit convențional. Din acest punct de vedere se poate forma două clase de vectori:

- clasa vectorilor *polar*, al căror sens este impus de fapte naturale, ca de exemplu: vectorul de poziție, forță, viteză, intensitatea cimpului electric etc.;
- clasa vectorilor *fixăi*, al căror sens se stabilește printr-o convenție, ca de exemplu: momentul forței, viteza unghiulară, inducția magnetică etc.

Datorită faptului că fac parte din clase diferite, nu au sens operațiile de egalitate și insu-

mare între vectorii polar și cei axiali.

Studiul experimental al comportării unui corp legat, de un punct fix, sub acțiunea unei forțe, ne-a condus la necesitatea introducerii mărimii — momentul forței.

Unitatea de măsură pentru această mărime se obține utilizând pentru definiție expresia scalară a relaiei (2.18).

$$\vec{M} = Fr \sin \alpha. \quad (2.18')$$

Considerind $\alpha = \frac{\pi}{2}$ deci momentul maxim, obținem

$$\vec{M}_{max} = Fr,$$

$$< \vec{M} >_{si} = < F >_{si} < r >_{si}$$

$$< \vec{M} >_{si} = N.m.$$

Observație. Unitatea de măsură pentru momentul forței este formată din aceeași unități fundamentale ca și în cursul mecanic, cu toate acestea ele au semnificații diferite în conformitate cu mărimile din care fac parte.

Înlocuind în expresia (2.18) pe \vec{F} cu $\frac{d\vec{p}}{dt}$, obținem

$$\vec{M}_{\vec{F}, O} = \vec{r} \times \frac{d\vec{p}}{dt},$$

expresie ce se mai poate scrie

$$\vec{M}_{\vec{F}, O} = \frac{d}{dt} (\vec{r} \times \vec{p}),$$

sau

$$d\vec{I} = \vec{M}_{\vec{F}, O} dt, \quad (2.19)$$

unde am notat cu

$$\vec{I} = \vec{r} \times \vec{p}. \quad (2.20)$$

Vectorul (2.20) poartă numele de *moment cinetic*.

În cazul cind expresia (2.19) se poate integra pentru intervalul $t_1 - t_2$, se obține:

$$\Delta \vec{I} = \int_{t_1}^{t_2} \vec{M}_{\vec{F}, O} dt. \quad (2.19')$$

Relațiile (2.19) și (2.19') reprezintă expresiile matematice ale teoremei de variație a momentului cinetic al unui punct material sub formă diferențială (2.19) și sub formă integrală (2.19'). În cuvinte această teoremă se enunță:

variația momentului cinetic al unui punct material, în raport cu un punct **O**, este egală cu impulsul total al momentului care acionează asupra lui, calculat în raport de punctul **O**.

* $\frac{d}{dt} (\vec{r} \times \vec{p}) = \frac{d\vec{r}}{dt} \times \vec{p} + \vec{r} \times \frac{d\vec{p}}{dt}$; tinind seama că $\frac{d\vec{r}}{dt} = \vec{v}$, $(\vec{v} \times \vec{p}) = 0$, rezultă

$\vec{v} \times \vec{p} = 0$, deci $\frac{d}{dt} (\vec{r} \times \vec{p}) = \vec{r} \times \frac{d\vec{p}}{dt}$.

Momentul cinetic caracterizează starea de mișcare a unui punct material legat de un punct fix, el este un vector perpendicular pe planul determinat de \vec{r} și \vec{p} (fig. 2.16). De exemplu, electronul în atom poate fi assimilat cu un

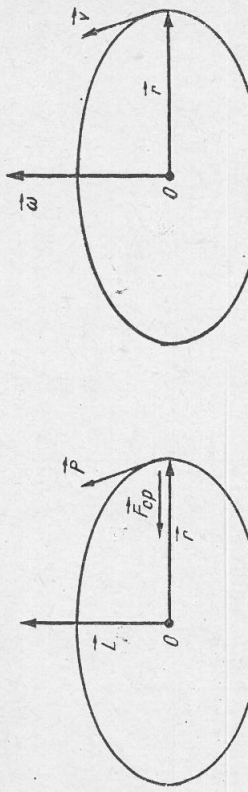


Fig. 2.16. Reprezentarea momentului cinetic al unui punct material.

Fig. 2.17. Viteza unghiulară este un vector axal.

punct material legat, legătura fiind datorată atracției electrostatice. El este caracterizat de un moment cinetic orbital

$$\vec{L} = \vec{r} \times \vec{p},$$

unde \vec{r} este raza orbitei iar \vec{p} impulsul electronului.

Observație. Utilizând produsul vectorial, se poate exprima relația dintre viteza liniară \vec{v} , viteza unghiulară $\vec{\omega}$ și raza vectoarei \vec{r} , ce caracterizează un punct material în mișcare circulară (fig. 2.17) astfel:

$$\vec{v} = \vec{\omega} \times \vec{r}.$$

Se observă că momentul cinetic ce caracterizează acest punct material are aceeași orientare ca viteza unghiulară.

Studiul unui punct material legat impune, deci, caracterizarea stării acestui punct prin parametrul moment cinetic.

În concluzie, rezultă, că pentru caracterizarea stării mecanice a punctului material, dependent de situația în care se află, se pot utiliza diferenți parametri de stare. Deoarece între acești parametri există relații de legătură — pentru prezentarea unei stări este suficient să se determine numai doi dintre ei — de exemplu vectorul de poziție și impulsul.

2.3.2. Sistem de puncte materiale. Pentru studiul sistemelor de corpi s-a imaginat un model — *sistemul de puncte materiale*. În cadrul acestui model corpurile au fost înlocuite cu puncte materiale iar legăturile datorate articulațiilor, cablurilor, curelelor, prin interacțiuni între puncte.

În general prin *sistem de puncte materiale* se înțelege un ansamblu de puncte în care poziția și mișcarea fiecărui punct depind de poziția și mișcarea tuturor celorlalte puncte. Această condiție este îndeplinită numai când între punctele sistemului există interacțiuni.

Să analizăm dintr-un referențial inerțial (R.I.) un sistem de n puncte materiale de mase m_i ($i = 1, 2, 3, \dots, n$) (fig. 2.18). Interacțiunile care se exercită între puncte ce aparțin sistemului se numesc *interacțiuni interioare*. Punctul P_j acționează asupra lui P_i cu forța \vec{F}_{ij} , iar P_i acționează asupra lui P_j cu forța \vec{F}_{ji} . Aceste forțe, conform principiului acțiunilor reciproce, sunt în relație:

$$\vec{F}_{ij} + \vec{F}_{ji} = 0. \quad (2.21)$$

Rezultanta forțelor interioare exercitate asupra lui P_i este $\sum_{j=1}^n \vec{F}_{ij}$, unde $j = 1, 2, \dots, n$, cu observația că pentru $j = i$, $\vec{F}_{ii} = 0$. Această rezultantă, în general, este diferită de zero. În conformitate cu relația (2.21), rezultanta tuturor forțelor interioare din sistem este nulă:

$$\sum_{i=1}^n \sum_{j=1}^n \vec{F}_{ij} = 0. \quad (2.22)$$

Momentul resultant al tuturor forțelor interioare în raport cu originea referențialului

$$\sum_{i=1}^n (\vec{r}_i \times \sum_{j=1}^n \vec{F}_{ij}) = 0, \quad (2.23)$$

este de asemenea nul, deoarece este compus din termeni de forma: $\vec{r}_i \times \vec{F}_{ij} + \vec{r}_j \times \vec{F}_{ji}$, care sunt toti nuli. Acești termeni se mai pot scrie: $\vec{r}_i \times \vec{F}_{ij} + (\vec{r}_i + \vec{r}_{ij})(-\vec{F}_{ij}) = -\vec{r}_{ij} \times \vec{F}_{ij} = 0$, deoarece \vec{r}_{ij} și \vec{F}_{ij} sunt coliniari.

Interacțiunile dintre punctele materiale ale sistemului și cele exterioare lui se numesc *interacțiuni exterioare*. Notăm rezultanta forțelor exterioare ce acționează asupra lui P_i cu \vec{F}_i . Rezultanta tuturor forțelor exterioare ce acționează asupra punctelor sistemului este

$$\vec{F}_e = \sum_{i=1}^n \vec{F}_i. \quad (2.24)$$

Un sistem de puncte materiale care nu interacționează cu alte sisteme se numește izolat.

În natură nu există sisteme izolate; totuși unele sisteme de corpi pot fi, cu o bună aproximare, assimilate cu un sistem izolat. De exemplu

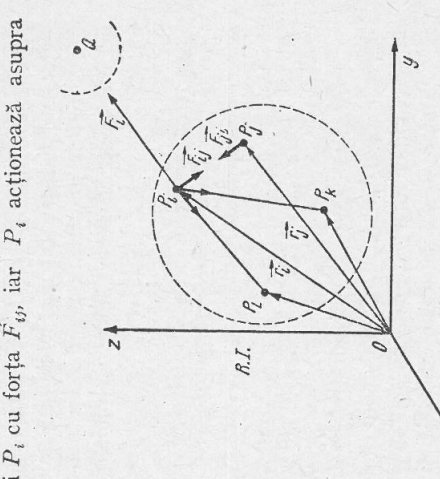


Fig. 2.18. Interacțiuni interioare și exterioare în casă: drul unui sistem de puncte materiale.

sistemu solar poate fi assimilat, în primul rînd, cu un sistem de puncte materiale decaricate distanțele dintre Soare și planete sunt foarte mari în raport de dimensiunile lor. Sistemul solar, în al doilea rînd, poate fi considerat izolat deoarece se află la distanțe foarte mari de alte sisteme (interacțiuni exterioare sunt neglijabile față de cele interioare).

Studiu mișcării sistemului de puncte materiale necesită urmărirea fiecărui punct în parte, adică determinarea legii de mișcare pentru fiecare punct

$$\vec{r}_i = \vec{r}_i(t).$$

Legea de mișcare obținându-se prin integrarea relației (2.15), trebuie scrisă în ecuația de tipul:

$$m_i \frac{d^2 \vec{r}_i}{dt^2} = \vec{F}_i + \sum_{j=1}^n \vec{F}_{ij}. \quad (2.25)$$

Această ecuație ridică dificultăți deosebite, în primul rînd, de ordin matematic în cazul când $n > 2$ și, în al doilea rînd, dificultăți în legătură cu expresile interacțiunilor interioare care nu sunt cunoscute în multe cazuri.

Înțînd seama de aceste dificultăți și de faptul că în studiul sistemelor mecanice, de cele mai multe ori, este suficient să cunoști caracteristici globale ale mișcării sistemului întreg și nu mișcarea fiecărui punct, s-a definit un grup de funcții de stare, pentru sistem, a căror variații dău informații asupra evoluției sistemului.

Aceste funcții sunt:

$$\begin{aligned} - &\text{impulsul sistemului } \vec{p} = \sum_{i=1}^n m_i \vec{v}_i \\ - &\text{energia cinetică a sistemului } E_c = \sum_{i=1}^n \frac{1}{2} m_i v_i^2 \end{aligned} \quad (2.26)$$

$$\begin{aligned} - &\text{momentul cinetic al sistemului } \vec{L} = \sum_{i=1}^n \vec{r}_i \times m_i \vec{v}_i. \end{aligned} \quad (2.28)$$

Valorile acestor funcții de stare sunt dependente de referențialul în raport cu care sunt definite. În general nu se evaluatează valoarea globală a funcției numai variația ei.

Variațiile acestor funcții de stare sunt determinate cu ajutorul unor teoreme generale.

a) *Teorema de variație a impulsului:*

variația impulsului unui sistem de puncte materiale, acționat în interval de timp de o forță exterioră, este egală cu impulsul total al forței exterioare, corespunzător intervalului de timp considerat.

Pentru demonstrarea acestei teoreme scriem expresia (2.25) sub forma

$$\frac{d}{dt} (m_i \vec{v}_i) = \vec{F}_i + \sum_{j=1}^n \vec{F}_{ij},$$

și însumăm pentru cele n puncte ale sistemului:

$$\sum_{i=1}^n \frac{d}{dt} (m_i \vec{v}_i) = \sum_{i=1}^n \vec{F}_i + \sum_{i=1}^n \sum_{j=1}^n \vec{F}_{ij}.$$

Înțînd seama de relațiile (2.22), (2.24), (2.26) și de faptul că operatorii sumă și derivare sunt comutativi această expresie se poate scrie

$$\frac{d}{dt} \vec{p} = \vec{F}_e \cdot dt. \quad (2.29)$$

În cazul cînd expresia (2.29) se poate integra în intervalul $t_1 - t_2$, se obține

$$\Delta \vec{p} = \int_{t_1}^{t_2} \vec{F}_e \cdot dt. \quad (2.29')$$

Relațiile (2.29) și (2.29') reprezintă expresiile matematice ale teoremei de variație a impulsului unui sistem de puncte materiale, sub formă diferențială (2.29) și sub formă integrală (2.29').

Observație. 1. Interacțiunile interioare nu influențează impulsul unui sistem de puncte materiale.

2. Teorema de variație a impulsului este valabilă pentru: sistemele materiale deformabile, sistemele materiale rigide și sistemele continue.

3. Variația impulsului unui sistem de puncte materiale nu este dependentă de referențialul din care se face observația.

4. În cazul sistemului rigid, toate punctele materiale ale sistemului avînd aceeași viteza \vec{v} , impulsul total se poate scrie

$$\vec{p} = \vec{v} \sum_{i=1}^n m_i = m \vec{v}. \quad (2.26')$$

Această relație permite calcularea impulsului unui corp în raport cu un referențial, dacă se cunoște masa corpului și viteza.

Teorema de variație a impulsului permite, deci, studiul corporilor ce pot fi assimilate cu sisteme de puncte materiale ca de exemplu: o bară, un proiectil, un cărucior fără roți etc.

În cazul în care sistemul este izolat sau în care rezultanta forțelor exterioare este nulă

$$\Delta \vec{p} = 0,$$

cea ce înseamnă

$$\sum_{i=1}^n m_i \vec{v}_i = \text{const.} \quad (2.30)$$

Expresia (2.30) reprezintă teorema de conservare a impulsului:

impulsul unui sistem izolat de puncte materiale este constant.

Observație. Proiectind expresia (2.29) pe axele referențialului R.I. se obține:

$$d \left(\sum_{i=1}^n m_i v_{ix} \right) = F_{ex} dt; \quad d \left(\sum_{i=1}^n m_i v_{iy} \right) = F_{ey} dt;$$

$$d \left(\sum_{i=1}^n m_i v_{iz} \right) = F_{ez} dt.$$

Dacă rezultanta forțelor exterioare are proiecția nulă pe una din axe, componenta impulsului pe axa respectivă rămîne constantă. De exemplu, în cazul sistemelor aflate numai sub acțiunea greutății, componenta orizontală a impulsului rămîne constantă.

Acste teoreme se pot verifica, calitativ, experimental destul de ușor.
Experiment 1. Pe o platformă cu roți foarte mobile, așezată pe o suprafață orizontală (fig. 2.19, a₁), în repaus față de un referențial solidar cu peretii laboratorului, se aruncă din mers un elev. Se constată că se formează sistemul platformă-elev care se deplasează cu o viteză mai mică decât cea initială a elevului dar în același sens (fig. 2.19, b₁). Această constatare confirmă teorema de variație a impulsului. Inițial impulsul platformei era nul, după interacțiunea cu elevul care avea un anumit impuls, să se modificat astfel impulsul platformei și cel al elevului.

2. Pe platformă, la o extremitate, se află un elev (fig. 2.19, a₂). Elevul începe să se deplaceze cu viteză constantă spre extremitatea opusă, se constată că platforma se deplasează în sens contrar deplasării lui (fig. 2.19, b₂). Această observație confirmă legea de conservare a impulsului. Inițial impulsul sistemului platformă-elev era zero. Datorită interacțiunilor (interioare) dintre elev și platformă, fiecare are un impuls diferit de zero și de sens contrar celuilalt, astfel încât impulsul total al sistemului să fie tot zero.

b) *Teorema de variație a energiei cinetice:*
variația energiei cinetice a unui sistem de puncte materiale, într-un interval de timp, este egală cu suma lucrărilor mecanice totale ale forțelor exterioare (L_{ext}) și ale celor interioare (L_{int}), pentru toate deplasările punctelor sistemului în intervalul de timp considerat.

Pentru demonstrarea acestei teoreme înmulțim expresia (2.25) scalar cu d \vec{r}_i și însumăm pentru cele n puncte ale sistemului

$$\sum_{i=1}^n \frac{d}{dt} (m_i \vec{v}_i) \cdot d\vec{r}_i = \sum_{i=1}^n d\vec{r}_i \cdot \vec{F}_i + \sum_{i=1}^n \left(d\vec{r}_i \cdot \sum_{j=1}^n \vec{F}_{ij} \right).$$

Tinând seamă de (2.27), de comutativitatea operatorilor sumă și diferențiere și notind d $L_{ext} = \sum_{i=1}^n d\vec{r}_i \cdot \vec{F}_i$, d $L_{int} = \sum_{i=1}^n \left(d\vec{r}_i \cdot \sum_{j=1}^n \vec{F}_{ij} \right)$

$$dE_c = dL_{ext} + dL_{int}. \quad (2.31)$$

În cazul cînd se poate integra această relație în intervalul de timp t₁-t₂, se obține

$$\begin{aligned} \Delta E_c &= \int_{t_1}^{t_2} dL_{ext} + \int_{t_1}^{t_2} dL_{int}, \\ \Delta E_c &= L_{ext} + L_{int}. \end{aligned} \quad (2.31')$$

Relațiile (2.31) și (2.31') reprezintă expresiile matematice ale teoremei de variație a energiei cinetice a unui sistem de puncte materiale, sub formă diferențială (2.31) și sub formă integrală (2.31').

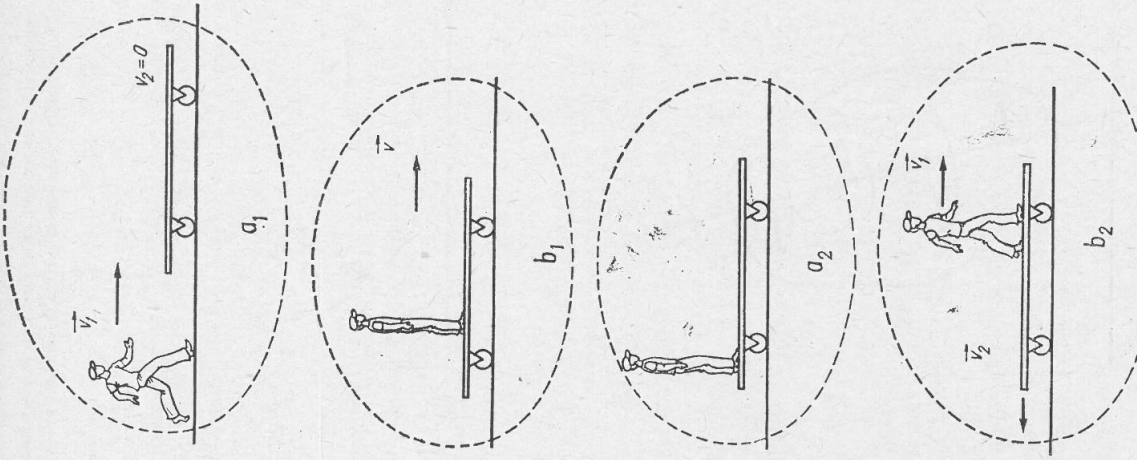


Fig. 2.19. Experimente care permit verificarea teoremei de variație a impulsului (a₁ și b₁) și a teoremei de conservare (a₂ și b₂).

Expresia

$$\sum_{i=1}^n m_i r_i^2 = J_\Delta \quad (2.35)$$

Observație. Spre deosebire de teorema de variație a impulsului, forțele interioare nu sunt eliminate din teorema de variație a energiei cinetice, ele efectuează lucru mecanic. Energia cinetică a unui sistem de puncte materiale izolat sau la care $dL_{ext} = dL_{int}$, conform relației $dE_c = dL_{ext}$.

Să analizăm două cazuri particolare de sisteme de puncte materiale.

Sistem rigid (ne-deformabil) caracterizat prin distanțele \vec{r}_{ij} constante sau $d\vec{r}_{ij} = 0$.

Expresia (2.31), în cazul sistemelor rigide devine

$$dE_c = dL_{ext}. \quad (2.32)$$

În cazul în care sistemul rigid se află în mișcare de translatăție față de R.I. (fig. 2.20), toate punctele lui având aceeași viteză, energia cinetică

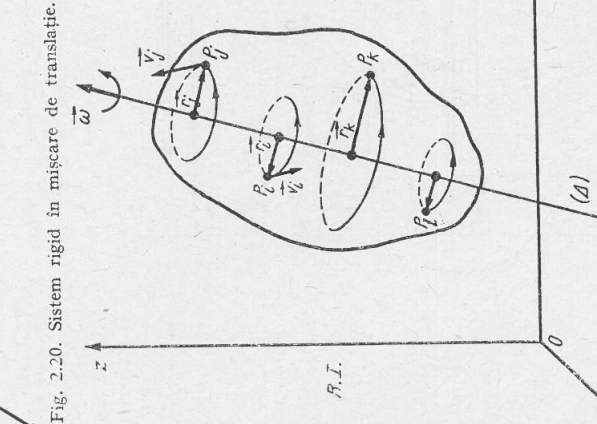
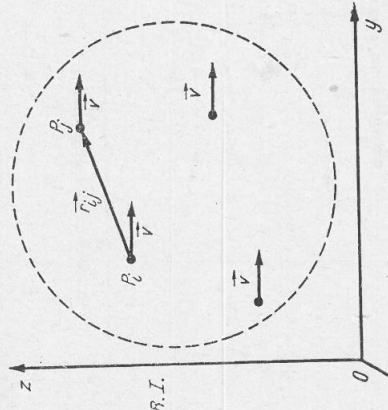
$$E_c = \frac{1}{2} v^2 \sum_{i=1}^n m_i = \frac{1}{2} mv^2, \quad (2.33)$$

este egală cu energia cinetică a unui punct al sistemului, punct în care s-ar concentra întreaga masă.

În cazul în care sistemul rigid se află în mișcare de rotație în jurul axei Δ , față de R.I. (fig. 2.21), toate punctele lui au aceeași viteză uniformă. Pentru această situație, îninind seama că $\vec{v}_i = \vec{\omega} \times \vec{r}_i$ ($v_i = \omega r_i$), energia cinetică este

$$E_c = \sum_{i=1}^n \frac{1}{2} m_i \omega^2 r_i^2 = \frac{1}{2} \omega^2 \sum_{i=1}^n m_i r_i^2. \quad (2.34)$$

Fig. 2.20. Sistem rigid în mișcare de translatație.



poartă numele de *moment de inerție al sistemului în raport cu axa Δ* .

Observații: 1. Cu \vec{r}_i — se notează distanța dintre un punct și axa de rotație (fig. 2.21).

2. Momentul de inerție caracterizează un sistem de puncte materiale din punctul de vedere al răspândirii masei în raport cu o axă (punct, plan).

3. Unitatea de măsură în S.I. pentru momentul de inerție este

$$< J >_{SI} = \text{kg} \cdot \text{m}^2.$$

4. Relația (2.35) este valabilă numai pentru mișcare de rotație în jurul unei axe fixe, în cazul unui alt tip de mișcare de rotație expresia momentului de inerție are altă formă.

Tinând seama de (2.35), relația (2.34) devine

$$E_c = \frac{1}{2} J_\Delta \omega^2, \quad (2.36)$$

și exprimă *energia cinetică a unui sistem rigid în mișcare de rotație*.

Din comparația relațiilor (2.33) și (2.36) se constată că:

- energia cinetică a unui corp, fie că se dătoarează mișcării de translatație fie celei de rotație, se exprimă prin același tip de relație matematică

$$E_c = \frac{1}{2} ab^2, \quad (2.37)$$

în care factorul la puterea întii caracterizează proprietățile inerțiale ale sistemului, iar factorul la puterea a două caracterizează viteza sistemului;

— masei corpului, aflat în mișcare de translatație, fi corespunde, în cazul mișcării de rotație, momentul de inerție.

Un sistem rigid poate fi simultan în mișcare de translatație și de rotație, în acest caz energia cinetică este

$$E_c = \frac{1}{2} mv^2 + \frac{1}{2} J_\Delta \omega^2. \quad (2.38)$$

În această situație teorema de variație a energiei cinetice, sub forma integrală, se scrie

$$\Delta \left(\frac{1}{2} mv^2 + \frac{1}{2} J_\Delta \omega^2 \right) = L_{ext}.$$

Verificarea experimentală a acestei teoreme se poate realiza, calitativ, destul de ușor.

Experimente. 1. Pe un plan înclinat (fig. 2.22) de la aceeași înălțime, în același moment, sătăci liberi doi cilindri cu diametrele, înălțimile și mărcile egale. Un cilindru este din lemn și altul din metal (reprezentă o portiune dintr-o țeavă). Se observă că ambi cilindri coboară pe planul înclinat, cel de lemn având viteza de translație a axei mai mare decât cel de metal. Aceste constatări confirmă legea de variație a energiei cinetice.

Deplasându-se pe distanțe egale sub acțiunea unor forțe egale (componentele tangențiale ale greutăților), frecările fiind mici se pot neglijă) asupra lor se efectuează din exterior lucruri mecanice egale. Rezultă că și variațiile de energie cinetică sunt egale. Se ridică întrebarea: care factor îi face să aibă viteze de translație diferite?

Teorema de variație a energiei cinetice pentru cazul particular al acestor cilindrii ($E_{c0} = 0$), este

$$\frac{1}{2}mv_1^2 + \frac{1}{2}J_1\omega_1^2 = mgh \quad (\text{cilindru de lemn})$$

$$\frac{1}{2}mv_2^2 + \frac{1}{2}J_2\omega_2^2 = mgh \quad (\text{cilindru de metal}).$$

Efectuând raportul acestor expresii și înlocuind pe $\omega = \frac{v}{r}$, obținem

$$\frac{mv^2 + J_1}{mv^2 + J_2} = \left(\frac{v_2}{v_1}\right)^2.$$

Deoarece $v_2 < v_1$ rezultă $J_2 > J_1$. Pe baza acestui rezultat se poate emite ipoteza: momentul de inerție al unui corp depinde de felul cum sunt distribuite punctele materiale din care este alcătuit corpul, în raport de axa de rotație. Această ipoteză trebuie verificată printr-un alt experiment.

2. Se montează o bară astfel încât să poată să execute o mișcare de rotație în jurul unui ax vertical (fig. 2.23). Pe această bară se pot fixa, în diferite poziții, corpi de dimensiuni mici dar având masă mare. Bara se poate pune în mișcare prin desfășurarea firului de pe tamburul T . Se observă, că viteza $\frac{1}{3}r$, $\frac{2}{3}r$ și r față de centru O ; de fiecare dată se aduce bară în stare de mișcare și se observă viteza unghiulară. Se constată că viteza unghiulară este în ce mai mică ($\omega_1 > \omega_2 > \omega_3$). Deoarece de fiecare dată s-a efectuat același lucru mecanic, variațiile de energie cinetică sunt egale

(pentru cazul nostru $E_{c1} = E_{c2} = E_{c3}$) rezultă că momentele de inerție sunt diferite și anume $J_1 < J_2 < J_3$.

Este verificată, astfel, ipoteza emisă pe baza observațiilor efectuate în cadrul experimentului 1 și anume: dependența momentului de inerție al unui corp de distribuția punctelor materiale în raport cu axa de rotație. Acest experiment a permis evidențierea unui aspect nou: momentul de inerție al unui corp este cu atât mai mare cu cât punctele materiale sunt distribuite la distanță mai mare față de axa de rotație.

Această nouă ipoteză se poate, de asemenea, verifica experimental.

3. Trei corpi identice sunt prinse într-un sistem de sus pensie (fig. 2.24) care le permite să execute rotații în jurul unor axe diferite. Se aduc pe rînd în stare de mișcare cele trei corpi, prim desfășurarea firului de pe tambur. Se constată că $\omega_1 > \omega_2 > \omega_3$, de unde rezultă $J_1 < J_2 < J_3$, concluzie ce confirmă ipoteza.

Acum experiment evidentiază, în plus, faptul că momentul de inerție al același corp este dependent de axa în jurul căruia se rotește.

4. Pe axul dispozitivului folosit pentru experimentul 2 se prind, la distanță egală de centru O , două copuri cu mase egale M_1 . Se aduce sistemul în stare de mișcare prim desfășurarea firului de pe tamburul T și se observă viteza unghiulară. Se înlocuiesc corpurile cu altele cu masa $M_2 > M_1$ care se așază în aceeași poziție și se repetă experimentul. Se constată că $\omega_1 > \omega_2$, ceea ce înseamnă $J_2 > J_1$. Acest experiment evidențiază faptul că momentul de inerție al unui corp depinde de masa corpului.

Analiza acestor experimente permite extragerea următoarelor concluzii:

— spre deosebire de masa unui sistem rigid, care este independentă de distanța dintre puncte și axă;

— același sistem rigid are făță de axe diferite, momente de inerție diferite.

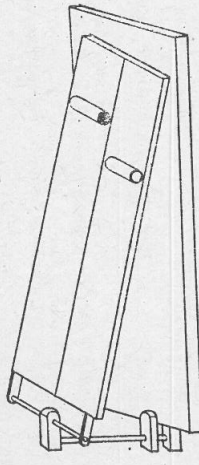


Fig. 2.22. Verificarea legii de variație a energiei cinetice: rolul momentului de inerție în variația vitezei.

Teorema de variație a energiei cinetice pentru cazul particular al acestor cilindrii ($E_{c0} = 0$), este

$$\frac{1}{2}mv_1^2 + \frac{1}{2}J_1\omega_1^2 = mgh \quad (\text{cilindru de lemn})$$

$$\frac{1}{2}mv_2^2 + \frac{1}{2}J_2\omega_2^2 = mgh \quad (\text{cilindru de metal}).$$

Efectuând raportul acestor expresii și înlocuind pe $\omega = \frac{v}{r}$, obținem

$$\frac{mv^2 + J_1}{mv^2 + J_2} = \left(\frac{v_2}{v_1}\right)^2.$$

Deoarece $v_2 < v_1$ rezultă $J_2 > J_1$. Pe baza acestui rezultat se poate emite ipoteza: momentul de inerție al unui corp depinde de felul cum sunt distribuite punctele materiale din care este alcătuit corpul, în raport de axa de rotație. Această ipoteză trebuie verificată printr-un alt experiment.

2. Se montează o bară astfel încât să poată să execute o mișcare de rotație în jurul unui ax vertical (fig. 2.23). Pe această bară se pot fixa, în diferite poziții, corpi de dimensiuni mici dar având masă mare. Bara se poate pune în mișcare prin desfășurarea firului de pe tamburul T . Se observă, că viteza $\frac{1}{3}r$, $\frac{2}{3}r$ și r față de centru O ; de fiecare dată se aduce bară în stare de mișcare și se observă viteza unghiulară. Se constată că viteza unghiulară este în ce mai mică ($\omega_1 > \omega_2 > \omega_3$). Deoarece de fiecare dată s-a efectuat același lucru mecanic, variațiile de energie cinetică sunt egale

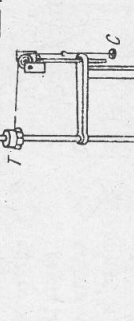


Fig. 2.23. Dispozitiv pentru studiul momentului de inerție.

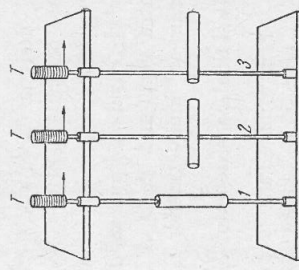


Fig. 2.24. Dependența momentului de inerție față de axa de rotație.

Tabelul 2.1

Cu momentele de inerție ale unor corpuș frecvent întâlnite în probleme

Figura	Profilul	Axa	Momentul de inerție
Liniî		Δ (extremă)	$\frac{1}{3} Ml^2$
Arc		Δ (centrală)	$\frac{1}{12} Mr^2$
Coroană circulară		Polul O Δ (centrală)	$\frac{1}{2} M(R^2 + r^2)$
Cilindru		Δ (centrală)	$\frac{1}{2} M(R^2 + r^2)$
Ciindru gol		Δ (centrală)	$\frac{1}{2} M(R^2 + r^2)$
Sferă		Polul O Δ (centrală)	$\frac{3}{5} Mr^2$ $\frac{2}{5} Mr^2$

Momentele de inerție pentru corpurile cu formă geometrică regulată se calculează, pentru cele cu formă geometrică nerregulară se determină pe cale experimentală. În tabelul 2.1 sunt trecute momentele de inerție ale unor corpuș frecvent întâlnite.

Sistem conservativ. Acest sistem este caracterizat prin faptul că forțele interioare constituie un cîmp conservativ. Cîmpul conservativ de forțe (interioră sau exterioră) efectuează pentru deplasarea corpuriilor (punctelor materiale) un lucru mecanic ce nu depinde de drumul parcurs. Din categoria forțelor conservative fac parte: forțele gravitaționale, electrostatice, elastice etc.

Să considerăm un sistem conservativ format din două puncte materiale de mase M și m (fig. 2.25).

Între aceste puncte se exercită interacțiuni gravitaționale conform legii lui Newton. Punctul de masă M este fix în O . Punctul de masă m se află în A și nu este supus la legături. Sub acțiunea forței \vec{F} el se deplasează pînă în B . Lucrul mecanic efectuat de forțele interioare în acest caz este

$$L_{AB} = \int_{r_A}^{r_B} dL = \int_{r_A}^{r_B} \vec{F} \cdot d\vec{r}.$$

Înlocuind pe $\vec{F} = k \frac{Mm}{r^3} \vec{r}$ și înănd seama că unghiul $(\vec{r}, d\vec{r}) = 0$, obținem

$$L_{AB} = kMm \int_{r_A}^{r_B} \frac{dr}{r^2} = kMm \left| -\frac{1}{r} \right|_{r_A}^{r_B} = kMm \left(\frac{1}{r_A} - \frac{1}{r_B} \right). \quad (2.38)$$

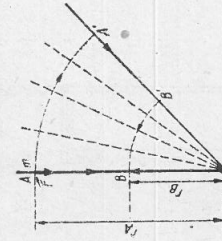
Relația (2.38) arată că lucrul mecanic efectuat de interacțiunile interioare pentru a deplasa corpul de masă m din A în B depinde numai de configurația inițială și cea finală a sistemului.

În cazul cînd punctul de masă m ar fi supus la legături care îiar fi impuls, pentru deplasarea de la A la B , traectoria $AA'B'B'$, se constată că lucrul mecanic al interacțiunilor interioare depinde tot numai de configurația inițială și finală a sistemului ($L_{AA'} = 0$, $L_{BB'} = 0$, deoarece $(\vec{r}, d\vec{r}) = \frac{\pi}{2}$).

Prin urmare, atât în cazul punctului material liber cât și în cazul celui supus la legături, lucrul mecanic al interacțiunilor interioare este funcție numai de configurația inițială și cea finală a sistemului.

Pentru caracterizarea acestor sisteme se utilizează o funcție de stare, energia potențială (E_p), care depinde numai de configurația sistemului. Prin definiție

$$dE_p = - dL_{int}. \quad (2.39)$$



Integrand relația (2.39) se obține

$$L_{AB} = E_{pA} - E_{pB},$$

unde $E_{pA} = k \frac{Mm}{r_A}$ este energia potențială în starea A și $E_{pB} = k \frac{Mm}{r_B}$ energia potențială în starea B. Energia potențială este definită cu aproximația unei constante additive. Valoarea energiei potențiale, atribuită, în mod convențional, de valoarea energiei potențiale, unei stări a sistemului este unei anumite stări. De exemplu, în cazul sistemului format din cele două corpuri de masă M și m se obținuiese să se atrbuie valoarea zero energiei potențiale cind distanța dintre aceste corpi este $r = \infty$. În această convenție, un corp care cade liber în cîmpul gravitațional al Pământului trece de la o valoare cu energie potențială mai mare la una cu energie potențială mai mică.

Înlocuind în relația (2.31) pe $dL_{int} = -dE_p$, obținem

$$dE_e = -dE_p + dL_{ext}, \quad (2.40)$$

Suma dintre energia cinetică și energia potențială a sistemului se numește energie mecanică totală E

$$E = E_e + E_p.$$

În această convenție, relația (2.40) devine

$$dE = dL_{ext}. \quad (2.40')$$

În cazul cînd este posibilă integrarea relației (2.40'), se obține

$$\Delta E = L_{ext}. \quad (2.40'')$$

Relațiile (2.40') și (2.40'') reprezintă expresiile matematice ale teoremei de variație a energiei mecanice totale a unui sistem conservativ de puncte materiale, sub formă diferențială (2.40') și sub formă integrală (2.40'').

În cazul cînd sistemul este izolat sau lucrul mecanic al forțelor exterioare este nul, se obține

$$E = 0, \quad E_e + E_p = \text{const.}, \quad (2.41)$$

teorema de conservare a energiei mecanice:

energia mecanică totală a unui sistem izolat de puncte materiale, în care există numai interacțiuni conservative, rămîne constantă.

Energia cinetică și cea potențială se pot modifica de la o stare la alta cu condiția ca suma lor să rămînă constantă.

Observație. Cimpul forțelor exterioare poate fi la rîndul său un cimp conservativ și în acest caz sistemul în ansamblu este caracterizat de o energie potențială datorată acestui cimp. De exemplu un sistem format din două pendule electrice este caracterizat de o energie potențială datorată cimpului conservativ interior al forțelor electrostaticice și de o energie potențială datorată cimpului conservativ exterior al forțelor gravitaționale.

Possibilitatea evoluției sistemului astfel încît variația energiei potențiale și ale celor cinetice să se compenseze reciproc, conform teoremei de conservare a energiei mecanice, se poate arăta experimental cu diferite dispozitive.

Experimenție 1. Se utilizează dispozitivul folosit pentru studiul momentului de inerție (fig. 2.23). Se fixeză pe bară corporile la egală distanță de centrul O. Se infășoară firul pe tambur pînă cînd corpul C este adus în fața unui anumit reper. Se lasă sistemul liber. Corpul C începe să coboare și bara execută o mișcare de rotație. După desfășurarea completă a firului, mișcarea de rotație a barei continuă, firul începînd să se infășoare în sens invers pe tambur, corpul C este ridicat pînă în apropierea reperului de unde a pornit inițial. Această mișcare de coboare și urcare a corpului C are loc de mai multe ori, mișcîndu-se treptat înălțimea pînă la care el se ridică.

2. Un dispozitiv care ilustrează posibilitatea transformării energiei potențiale gravitaționale în energie cinetică de rotație și de translată este roata lui Maxwell.

Un cadru vertical este format din doi montanți și o latură orizontală (fig. 2.26), o roată este suspendată cu ajutorul a două fire inextensibile, legate cu un capăt de axul roții iar cu celălalt de latura orizontală a cadrului. Se infășoară firele de susținere pe axul roții, astfel încît să se aşeze spiră îngă spîră, pînă cînd roata ajunge în vecinătatea laturii orizontale a cadrului. Lăsată liberă, roata coboară pînă la completa desfășurare a firelor de susținere, după care începe să urce, fiind mișcîndu-se pe axul roții. Se constată că roata se ridică pînă în apropierea poziției inițiale după care începe, din nou, să coboare. Această mișcare de coboare și urcare are loc de mai multe ori, mișcîndu-se treptat înălțimea pînă la care se ridică roata.

Fig. 2.26. Verificarea experimentală a conservării energiei mecanice cu roata lui Maxwell.

Acesta experimente confirmă faptul că:

- sub acțiunea interacțiunilor conservative are loc evoluția sistemului în sensul scăderii energiei potențiale și creșterii energiei cinetice;
- este posibilă, datorită inerției, evoluția sistemului în sensul micșorării energiei cinetice și creșterii energiei potențiale;
- energia mecanică totală rămîne aproximativ constantă pe un ciclu, deoarece frecările sunt mici.

c) Teorema de variație a momentului cinetic:

variația momentului cinetic în raport cu o axă fixă sau cu un punct fix, al unui sistem de puncte materiale este egală cu impulsul total al momentului rezultant al forțelor exterioare în raport cu axa sau punctul considerat.

Pentru demonstrarea acestei teoreme înmulțim relația (2.25) vectorial la stînga cu \vec{r}_i și însumăm pentru cele n puncte:

$$\sum_{i=1}^n \vec{r}_i \times \frac{d}{dt} (m_i \vec{v}_i) = \sum_{i=1}^n \vec{r}_i \times \vec{F}_i + \sum_{i=1}^n \left(\vec{r}_i \times \sum_{j=1}^n \vec{F}_{ij} \right).$$

Înțînd seama de relațiile (2.23), (2.28) și notind $\sum_{i=1}^n \vec{r}_i \times \vec{F}_i = \vec{\mathcal{M}}_{F_{e,\Delta}}$ obținem

$$d\vec{L} = \vec{\mathcal{M}}_{F_{e,\Delta}} dt. \quad (2.42)$$

În cazul cînd se poate integra relația (2.42), se obține

$$\Delta \vec{L} = \int_{t_1}^{t_2} \vec{\mathcal{M}}_{F_{e,\Delta}} dt. \quad (2.42')$$

Relațiile (2.42) și (2.42') reprezintă expresiile matematice ale teoremei de variație a momentului cinetic al unui sistem de puncte materiale, sub formă diferențială (2.42) și sub formă integrală (2.42').

Observație. 1. Forțele interioare centrale nu influențează momentul cinetic al sistemului de puncte materiale. (Se numesc forțe centrale forțele a căror direcție trece tot timpul printr-un punct fix, ca de exemplu forța centripetă, forță elastică, greutatea corpilor.)

2. În cazul cînd sistemul este rigid mișcarea în jurul unei axe fixe se poate studia cu ajutorul teoremei de variație a momentului cinetic. Înlocuind în relația (2.28) viteza liniară cu $\vec{v}_i = \vec{\omega} \times \vec{r}_i$ (r_i este distanța unui punct față de axa de rotație), obținem:

$$\vec{L} = \sum_{i=1}^n m_i (\vec{r}_i \times \vec{\omega} \times \vec{r}_i)^*. \quad (2.43)$$

Înlocuind acest triplu produs vectorial cu $r_i^2 \vec{\omega}$, obținem

$$\vec{L} = \vec{\omega} \sum_{i=1}^n m_i r_i^2 \vec{\omega},$$

* Calcularea triplului produs vectorial se poate realiza astfel: se calculează mai întîi produsul vectorial $\vec{r}_i \times \vec{\omega} = \vec{a}$ (fig. 2.27, a) unde \vec{a} este un vector cu modulul or_i , cu direcția perpendiculară pe planul determinat de \vec{r}_i și $\vec{\omega}$, cu sensul de regula burghiuui drept; se calculează apoi produsul vectorial $\vec{a} \times \vec{r}_i = \vec{b}$ (fig. 2.27, b); \vec{b} este un vector cu modulul or_i^2 , cu direcție perpendiculară pe planul determinat de \vec{r}_i și \vec{a} (deci, paralelă cu direcția vectorului $\vec{\omega}$), cu sensul dat de regula burghiuui drept (același cu al lui $\vec{\omega}$).

sau înțînd seama de expresia (2.35)

$$\vec{L} = J_{\Delta} \vec{\omega}. \quad (2.43)$$

Această relație permite calcularea momentului cinetic al unui corp în raport cu o axă fixă, dacă se cunoacă — momentul de inerție al acestui corp

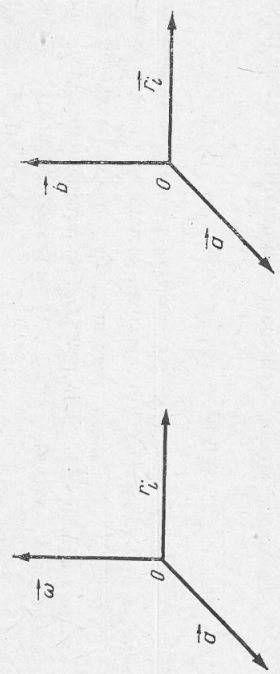


Fig. 2.27. Calcularea triplului produs vectorial.

în raport cu axa respectivă și viteza unghiulară. Relația (2.43) este asemănătoare cu relația (2.26) deoarece ambele definesc mărimea ce caracterizează sistemul rigid de puncte materiale (corpul) în mișcare de rotație, respectiv translatăie.

Înlocuind în expresia (2.42) momentul cinetic cu $J_{\Delta} \vec{\omega}$, rezultă

$$d(J_{\Delta} \vec{\omega}) = \vec{\mathcal{M}}_{F_{e,\Delta}} dt,$$

sau

$$J_{\Delta} \vec{\ddot{\omega}} = \vec{\mathcal{M}}_{F_{e,\Delta}} dt, \quad (2.44)$$

unde am notat $\frac{d\vec{\omega}}{dt} = \vec{\ddot{\omega}}$ — acceleratia unghiulară.

Relația (2.44) reprezintă legea fundamentală a sistemului rigid de puncte materiale față de o axă fixă. Ea îndeplinește în mișcarea de rotație același rol cu principiul fundamental $(m\vec{a} = \vec{F})$ în mișcarea de translatăie.

Deoarece relația (2.44) am obținut-o pe cale deductivă este necesar să o verificăm experimental.

Experiment. Se utilizează dispozitivul care să folosească momentul de inerție (fig. 2.23). Se prind, la extremitățile barei orizontale, două corpi cu aceeași masă. Se înfășură pe tambur un fir lung de a căruia extremitate liberă se pot prinde corpurile cu masă diferită. Se lasă sistemul liber și se măsoară timpul necesar ca extremitatea liberă a firului să parcurgă o distanță h . Se fac mai multe determinări pentru timp și se calculează valoarea medie. Se înlocuiește corpul prins de extremitatea liberă a firului cu altul cu

masă mai mare. Se determină timpul necesar pentru parcurserea aceleiaș distanțe h . Se înlocuiește tamburul cu altul cu rază mai mare și se repetă experimentul.

Prelucrarea datelor din experiment arată că raportul dintre momentul forței față de axa de rotație și accelerarea unghiulară, este constant, concluzie ce confirmă relația (2.44).

Acest experiment constituie și o metodă pentru determinarea, pe cale experimentală a momentului de inerție al unui corp. Metoda nedinind rezultată suficient de exactă nu este folosită în mod curent.

Dacă sistemul de puncte materiale este izolat sau este astfel acționat încit momentul rezultant față de o axă este nul, atunci

$$\Delta \vec{L} = 0, \quad \vec{L} = \text{const.} \quad (2.45)$$

momentul cinetic al sistemului de puncte materiale se conservă.

Relația (2.45) reprezintă expresia matematică a teoremei de conservare a momentului cinetic:

momentul cinetic în raport cu o axă fixă al unui sistem izolat de puncte materiale rămâne constant.

Observații. 1. Proiectând expresia (2.42') pe axele referențialului $R, I..$, rezultă

$$\Delta L_x = \int_{t_1}^{t_2} \delta \pi_x dt; \quad \Delta L_y = \int_{t_1}^{t_2} \delta \pi_y dt; \quad \Delta L_z = \int_{t_1}^{t_2} \delta \pi_z dt.$$

În cazul când pe o axă proiecția momentului rezultant este nulă, proiecția momentului cinetic pe axa respectivă rămîne constantă.

2. În cazul sistemului rigid ($J_\Delta = \text{const.}$), izolat, constanța momentului cinetic implică constanța vitezei unghiulare ($\vec{\omega} = \text{const.}$).

3. În cazul sistemului deformabil, la care punctele materiale își modifică poziția față de axă în timpul mișcării, momentul de inerție nu mai este constant. Conservarea momentului cinetic pentru aceste sisteme se realizează prin modificarea vitezei unghiulare, astfel încât $J_\Delta \vec{\omega} = \text{const.}$

4. Conservarea momentului cinetic implică constanța atât a modulu lui cît și a direcției vectorului. O importantă deosebită o are conservarea direcției vectorului moment cinetic.

Acste observații extrase din teorema momentului cinetic pot fi verificate, calitativ, experimental.

Experimente. 1. Pe o platformă orizontală, de formă circulară, așezată pe un sistem de rulmenti care îi permit să se rotească cu frecare neglijabilă

în jurul unui ax vertical, se află un elev (fig. 2.28, a). Din exterior îi se dă elevului o rotație de bicicletă, cu axul vertical în stare de rotație. Se constată (fig. 2.28, b) că întregul sistem platformă-elev-roată începe să se rotească în același sens dar cu viteză unghiulară mai mică decât cea inițială a roții. Această observație confirmă teorema de variație a momentului cinetic. Inițial

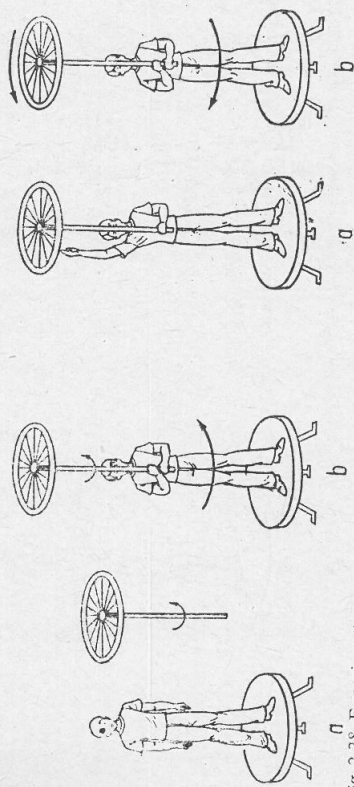


Fig. 2.28. Experiment ce permite verificarea teoremei de variație a momentului cinetic.

Fig. 2.29. Experiment ce permite verificarea teoremei de conservare a momentului cinetic.

momentul cinetic al sistemului platformă-elev era zero. După interacția dintre roata în mișcare de rotație și sistemul platformă-elev, s-au modificat momentele cinetice atât al roții cât și al sistemului platformă-elev.

2. Pe platformă se află elevul ținând roata cu x -xul în direcție verticală. Față de un referențial solidar cu peretei laboratorului, sistemul format din platformă-elev și roată este în repaus (fig. 2.29, a). Elevul imprimă roții o mișcare de rotație în sens anterior, se constată că platforma cu elevul încep să se rotească în sens orar (fig. 2.29, b). Observația extrasă din acest experiment confirmă teorema de conservare a momentului cinetic. Inițial momentul cinetic al întregului sistem era zero. După interacția unei (interioră) dintre elev și roată, astă roata că și ansamblul platformă-elev sănt caracterizate de cîte un moment cinetic cu aceeași direcție dar de semn contrar astfel încît suma acestor două momente cinetice să dea un moment cinetic rezultant zero.

3. Pe platformă se află elevul ținând în fiecare mînă cîte o gantere (fig. 2.30). Din exterior, se imprimă sistemului o mișcare de rotație. Elevul îndepărtează și apoi aproape ganterele față de corp. Se constată că viteza unghiulară scade la îndepărțarea gantelor și crește cînd sunt apropiate de corp.

Experimentul confirmă conservarea momentului cinetic în cazul sistemelor deformabile: $J_1 \vec{\omega}_1 = J_2 \vec{\omega}_2$, cum $J_1 > J_2$ rezultă $\omega_1 < \omega_2$.

Teoremele de variație ale impulsului, energiei și momentului cinetic oferă mijloace comode pentru studierea evoluției sistemelor de puncte materiale. Concluziile obținute sunt importante pentru că se pot aplica, cu bune rezultate, sistemelor reale, corporilor rigide și celor deformabile.

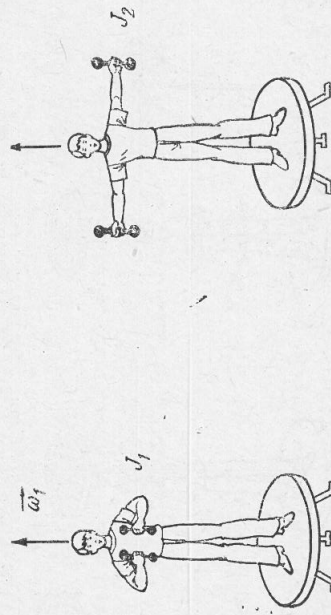


Fig. 2.30. Experimente ce permit evidențierea conservării momentului cinetic la sistemele deformabile.

Aceste teoreme ne-au condus, pentru cazul sistemelor izolate, la evidențierea unei proprietăți comune pentru toate cele trei funcții de stare — conservarea sistemelor.

Studiul efectuat, asupra sistemelor de puncte materiale izolate, cu un instrument matematic superior, au arătat că teoremele de conservare derivă din proprietățile fundamentale ale spațiului și timpului. Astfel teorema de conservare a energiei derivă din uniformitatea timpului, teorema de conservare a impulsului derivă din omogenitatea spațiului și teorema de conservare a momentului cinetic derivă din izotropia spațiului.

Energia, impulsul și momentul cinetic nu se conservă decât în cazul cînd condițiile exterioare nu perturbă aceste proprietăți.

Deoarece, numai față de referențialele inertiiale, are loc păstrarea proprietăților fundamentale ale spațiului și timpului, este de la sine înțeles că teoremele de conservare sunt valabile numai pentru sisteme în mișcare în raport cu referențialele inertiiale.

INTREBĂRI. EXERCITII

1. Asupra unui corp cu masa de 2 kg acionează o forță $F_x = 8 \text{ N}$. Determinați:

- a) legile parametrice ale mișcării acestui corp;
b) poziția și viteza corpului la momentul $t = 1 \text{ s}$ pentru următoarele condiții inițiale:
 $x = 0$ $x = -1$
 $v_x = 2 \text{ m/s}$ $v_x = 0$.

2. Asupra unui punct material cu masa m acionează o forță $\vec{F} = 32 \text{ m/s}^2$. Pentru următoarele condiții inițiale

$$\begin{array}{lll} x = 0 & x = 1 \text{ m} & x = 0 \\ y = 0 & y = 2 \text{ m} & y = 1 \text{ m} \\ v_x = 2 \text{ m/s} & v_x = 0 & v_x = 1 \text{ m/s} \\ & v_y = 4 \text{ m/s} & v_y = 0 \end{array}$$

determinați:

- a) legea de mișcare;
b) ecuația traectoriei.

3. O particule cu masa $m = 2 \text{ g}$ trcește la momentul inițial prin punctul $P_0(0, 0, 0)$ cu viteza initială $\vec{v}_0 = (2\vec{i} + 2\vec{j}) \text{ m/s}$. În acest moment începe să acioneze asupra ei o forță $\vec{F} = 5\vec{i}$, un interval de timp $\Delta t = 2 \text{ s}$.

- a) Cum se modifică impulsul particulei în acest interval de timp?
b) Care este lucru mecanic efectuat de forță în acest interval? Cu cît s-a modificat energia cinetică a particulei?
4. O particulă se deplasează din punctul P_1 de vector de poziție $\vec{r}_1 = (\vec{i} + 2\vec{j}) \text{ m}$ în punctul P_2 de vector de poziție $\vec{r}_2 = (2\vec{i} + 3\vec{j}) \text{ m}$ sub acțiunea forței $\vec{F} = (3\vec{i} + 4\vec{j}) \text{ N}$. Calculați lucru mecanic efectuat de forță \vec{F} .
5. Calculați lucru mecanic necesar pentru a ridica un corp cu masa $m = 1,5 \text{ t}$ la distanța $h = 25,000 \text{ km}$ deasupra Pământului, astăzi în aproximativă, cît și în cazul real.
6. Un sistem este format din două particule electrizate așezate la distanța r_0 una de alta: una fixă A , cu sarcină electrică Q^+ și alta liberă B cu sarcină q^+ . Calculați:
- a.) Lucrul mecanic efectuat de particula A pentru a deplasa particula B la o distanță $r > r_0$.
- b.) Cum se modifică acest lucru mecanic în cazul cînd particula B nu se poate mișca decit pe o traectorie rectilinie ce face cu direcția AB un unghi α ?
7. Un experimentator a măsurat pentru un corp de masă m ce se mișcă pe o traectorie circulară de rază r , în plan orizontal, forță centrală corespunzătoare la diferențe de rotație. Datele obținute sunt trecute în tabelul următor:

Nr. det.	m (kg)	r (cm)	T (s)	$\frac{F}{(10^{-4}\text{N})}$
1			5	98
2		30	6	63,7
3	2		7	49
4			10	24,5
5			11	15,6

- Utilizați datele obținute de acest experimentator pentru a stabili o relație între F și T .
8. Un biciclist acionează asupra unei pedale ($r = 18 \text{ cm}$) cu o forță $F = 470 \text{ N}$. Calculați momentul forței \vec{F} dacă unghiul format de \vec{F} și \vec{r} este 180° , 90° , 45° , 0° .
9. Ce modificări ar trebui aduse în construcția bicicletei pentru a mări momentul forțelor asupra pedalelor? Ce inconveniente ar apărea?

10. Arătați că între accelerata tangentială, accelerata unghiulară și raza vectoare ce caracterizează mișcarea unui punct material pe o traекторie circulară există relația $\vec{a}_t = \vec{\omega} \times \vec{r}$.
11. Un experimentator împriună unui cerc de masă m și rază r , plecind din repaus, miscătă de rotație în jurul centrului său, prin acționarea cu diferite forțe F aplicate la distanța d față de axa sistemului și determină Δt pentru prima rotație completă. Rezultatele obținute sunt trecute în tabelul următor:

Nr. det.	m (kg)	r (cm)	d (cm)	F (N)	Δt (s)
1	1,15	31	1	0,294	22
2				0,392	19,9
3				0,490	17
4				0,588	13,5

- Utilizați datele obținute de experimentator pentru a stabili dependența dintre forța F și accelerata unghiulară împriunită cercului.
12. O particule de masă m se mișcă în sens orar pe o traectorie circulară aflată într-un plan vertical. Particula este supusă gravitației.

- a) Reprezentați grafic momentul gerentăii \vec{G} , în raport cu centralul traectoriei, în funcție de unghiul pe care-l face raza vectoare cu diametrul vertical.
- b) Cum se modifică reprezentarea dacă: particula își schimbă sensul de mișcare, își dublează masa, își modifică raza traectoriei?

- c) Cum variază impulsul, energia cinetică și momentul cinetic al acestei particule?
- d) Cum se modifică răspunsurile de la punctele a și c dacă planul traectoriei este orizontal?

13. Comparați momentul de inertie al unei particule de masă m ce se mișcă pe o traectorie circulară, cu momentul de inertie al aceleiași particule cind se mișcă pe o traectorie de formă unei elipse. Ce concluzie puteți trage?

14. Două particule identice se deplasează una pe o orbită circulară cealaltă pe o orbită eliptică, numai sub acțiunea unei forțe centrale. Analizați pentru fiecare particulă: viteza unghiulară și momentul cinetic în diverse puncte ale traectoriei. Ce concluzii putem extrage?

15. De ce o forță centrală nu modifică momentul cinetic?

16. Un corp cu masa $m = 0,1\text{ kg}$ efectuează o mișcare uniformă cu viteza $v = 2\text{ m/s}$ pe o circumferință orizontală. Determinați variația:

- a) impulsului corporului;
- b) momentului cinetic al corporului;
- c) energiei cinetice a corporului, cind acesta a parcurs un sfert de circumferință.

17. Un experimentator determină pentru cercuri de rază r și masă m , pornite din repaus de aceeași forță F cu brațul d față de axa cercului, timpul Δt corespunzător primei rotații. Datele obținute sunt trecute în tabelul următor:

Nr. det.	m (kg)	F (N)	d (cm)	r (cm)	Δt (s)
1	1,15	0,294	1,00	31	22
2				21	15
3				11	8

Utilizați aceste rezultate pentru a determina dependența dintre momentul de inertie J și rază cercului r .

18. Două mici sfere de masă $m_1 = 40\text{ g}$ și $m_2 = 120\text{ g}$ sunt unite printr-o triuș cu lungimea $l = 20\text{ cm}$, de masă neglijabilă. Sistemul se rotește în jurul unei axe perpendiculară pe triuș, care trece prin centrul de greutate al sistemului (fig. 2.31), cu viteză unghială 3 rad/s . Să se calculeze impulsul, energia cinetică și momentul cinetic al acestui sistem.



19. Un elev stă pe un scaun ce se poate rota în jurul unui ax vertical, tînind în mînă o roată cu moment de inertie mare, astfel încât axa roții să coincidă cu axa scaunului. Roata se mișcă într-un plan orizontal cu viteză unghială omega. Cum variază energia cinetică a sistemului dacă elevul rotește axul roții cu 180°, 90°?

20. Evaluati cum se modifică viteza unghială a unei patinatoare cind își îndepărtează și își apropiie brațele de corp.

EXTINDERE ÎN FIZICĂ

2.4. CENTRUL DE MASĂ

Mișcarea sistemului de puncte materiale depinde nu numai de interacțiunile exterioare și de masa sistemului, ci și de distribuția punctelor materiale în interiorul sistemului. Masa totală a sistemului de puncte materiale este

$$m = \sum_{i=1}^n m_i.$$

Distribuția masei sistemei de puncte materiale este caracterizată prin poziția unui punct numit centru de masă (C) (fig. 2.32), definit de relația

$$\vec{r}_c = \frac{\sum_{i=1}^n m_i \vec{r}_i}{\sum_{i=1}^n m_i}. \quad (2.46)$$

Proiecțind această expresie pe axele unui sistem de coordonate carteziene, se obțin relațiile:

$$x_c = \frac{\sum_{i=1}^n m_i x_i}{\sum_{i=1}^n m_i}; \quad y_c = \frac{\sum_{i=1}^n m_i y_i}{\sum_{i=1}^n m_i}; \quad z_c = \frac{\sum_{i=1}^n m_i z_i}{\sum_{i=1}^n m_i}.$$

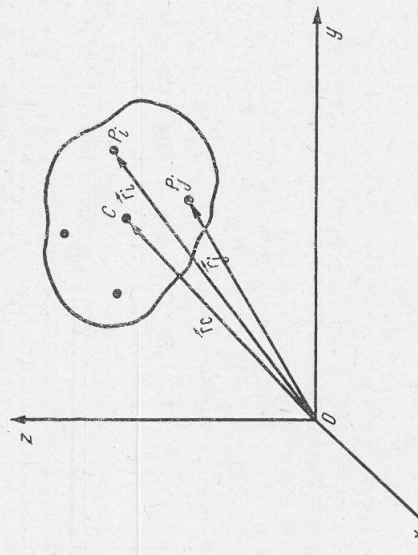


Fig. 2.32. Central de masă al unui sistem de puncte materiale.

Pozitia centralului de masă coincide cu pozitia centruului de greutate cînd sistemul se găsește într-un cîmp gravitațional uniform.

Observații. 1. Notiunea de centru de greutate — ca punct de aplicare al rezultantei forțelor gravitaționale care acționează asupra punctelor materiale ale sistemului — nu are semnificație decît pentru sistemul aflat în cîmp gravitațional.

2. Notiunea de centru de masă — ca element caracteristic distribuției masei în interiorul sistemului — are semnificație bine definită pentru toate sistemele de puncte materiale; această notiune își păstrează sensul fie că sistemul este sau nu supus la acțiunea forțelor exterioare.

Derivînd expresia (2.46) în raport cu timpul, se obține

$$\vec{v}_c = \frac{\sum_{i=1}^n m_i \vec{v}_i}{\sum_{i=1}^n m_i},$$

$$\vec{v}_c = \sum_{i=1}^n m_i \vec{v}_i = \vec{p}.$$

sau

Numim ciocniri atît procesele care au loc între corpuri la nivel macroscopic (lovirea unei mingii de tenis de o rachetă) cît și procesele

Această relație arată că:

impulsul total al unui sistem de puncte materiale este egal cu impulsul unui punct material în care ar fi concentrată masa sistemului și care coincide cu centralul de masă al sistemului.

Derivînd relația (2.47) în raport cu timpul, rezultă

$$\vec{a}_c \sum_{i=1}^n m_i = \frac{d}{dt} \sum_{i=1}^n m_i \vec{v}_i = \sum_{i=1}^n \vec{F}_i. \quad (2.48)$$

Relația (2.48) reprezintă teorema mișcării centrelui de masă al sistemului:

centrul de masă al unui sistem de puncte materiale se mișcă întocmai ca un punct material care ar avea masa egală cu masa sistemului și asupra căruia ar acționa toate forțele exterioare aplicate sistemului.

Din aceste teoreme rezultă următoarele consecințe:

- se poate studia mișcarea centrelui de masă al unui anumit sistem fără să se țină seama de forțele interioare, apriori necunoscute;
- impulsul total al unui sistem de puncte materiale este nul cînd centru de masă este fix;
- pentru un sistem în mișcare de translație, mișcarea este perfect definită prin mișcarea centruului său de masă; un corp aflat în mișcare de translație poate fi assimilat cu un punct material cu masa egală cu a corpului;
- dacă sistemul de puncte materiale este izolat, centru său de masă are o mișcare uniformă sau este în repaus în raport cu un referențial inertial;
- făță de un referențial solidar cu centru de masă, impulsul total al sistemului este totdeauna nul.

2.5. CIOCNIRI ELASTICE ȘI NEELASTICE

Termenul *ciocnire* denumește un proces care are loc, într-un timp finit, între doi sau mai mulți participanți (corpuri, particule) care se apropie unul de altul, în cursul căruia impulsul, cel puțin al unuia dintre participanți (corpuri, particule), variază cu o cantitate finită.

Caracteristic ciocnirii este faptul că participantii nu interacționează înainte și după proces, că se poate face o distincție între timpul "înainte de ciocnire" și timpul "după ciocnire".

Numim ciocniri atît procesele care au loc între corpuri la nivel macroscopic (lovirea unei mingii de tenis de o rachetă) cît și procesele

care au loc între particule la nivel cuantic (interacția dintre un electron și un atom).

În timpul ciocnirii pot avea loc modificări în structura internă a participanților. La nivel macroscopic pot să apară la unul sau la mai mulți participanți deformări permanente, la nivel cuantic se schimbă starea cuantică a participanților. Aceste schimbări de structură internă au ca rezultat modificarea energiei cinetice totale a participanților la ciocnire.

În funcție de modificarea stării interne a participanților în timpul procesului, ciocnirile pot fi:

elastice (nu se modifică starea internă a participanților $E_{int} = 0$);

neelastice sau plasticice (se modifică starea internă a cel puțin unei dintre participanți $\Delta E_{int} \neq 0$).

Ciocnirile se mai pot clasifica și după direcțiile pe care se mișcă participanții înainte de ciocnire, în:

oblică (direcțiile fac un unghi $\alpha \neq 0$);

dreapta (direcțiile sunt paralele $\alpha = 0$).

Ciocnirea dreaptă poate fi:

centrală (direcțiile de deplasare ale participanților coincid; în această ciocnire se produc variații numai ale vitezei de translată);

excentrică (direcțiile de deplasare ale participanților sunt paralele; în acest caz se produc și variații ale vitezei unghiulare de rotație).

Modificarea impulsului participanților în cursul ciocnirii se dătoarează interacțiunilor care au loc între aceștia. Aceste interacțiuni sunt, în general, dependente de distanța dintre participanți și se fac resimțite pentru distanțe suficiente de mici.

În paragraful 2.3.1, am văzut că dacă asupra unui punct material acționează o forță \vec{F} , un interval de timp $\Delta t = t_2 - t_1$, impulsul său se modifică conform teoremei de variație a impulsului:

$$\Delta \vec{p} = \int_{t_1}^{t_2} \vec{F} dt.$$

În cazul mișcărilor obisnuite, variația impulsului punctului material ($\Delta \vec{p}$), corespunzătoare unui interval de timp Δt , forță scurtă, este foarte mică. Teorema de variație a impulsului arată că în asemenea cazuri și valoarea impulsului total al forței care acționează asupra punctului material $\left(\int_{t_1}^{t_2} \vec{F} dt \right)$, în același interval de timp, este foarte mică.

În cazul ciocnirilor, întărită de timp foarte scurt, variația impulsului participanților are o valoare apreciabilă, dar finită, fapt ce implică ca și impulsul forței să aibă o valoare apreciabilă. Deoarece intervalul de timp în care are loc ciocnirea este foarte mic (înțe către zero) rezultă că o valoare apreciabilă a impulsului forței implică ca forțele care se exercită între participanți să aibă valori foarte mari.

Forțele care se exercită în timpul ciocnirii se numesc forțe de percuție (F_c) iar intervalul de timp în care are loc ciocnirea se numește timp de ciocnire (τ_c).

Deoarece forțele de percuție sunt foarte mari și variază în timpul ciocnirii în limite considerabile (fig. 2.33), pentru măsura interacțiunii

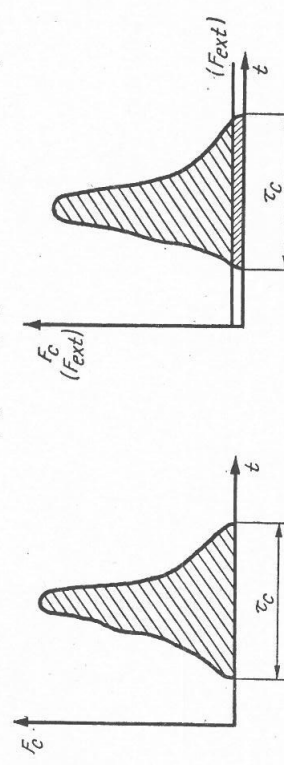


Fig. 2.33. Variația forțelor de percuție în timpul ciocnirii.

dintre două particule, se consideră în locul forțelor de percuție, impulsurile lor

$$\int_0^{\tau_c} F_c dt = F_{c,med} \tau_c,$$

care are o valoare finită. Impulsul celorlalte forțe care acționează în timpul ciocnirii, având valori foarte mici, acestea sunt practic neglijabile (fig. 2.34).

În timpul ciocnirii asupra particulelor participante acționează forțe de percuție egale și de sens contrar; suma interacțiunilor întreioră din timpul ciocnirii este nulă.

Deplasarea particulei în timpul ciocnirii este egală cu $v_{med} \cdot \tau_c$, adică foarte mică, practic neglijabilă.

Din analiza efectuată, se pot extrage următoarele observații, referitoare la ciocniri:

- în timpul ciocnirii se poate neglijă acțiunea altor forțe în raport cu cele de percuție (de exemplu greutatea, frecarea);
- în timpul ciocnirii, particulele participante se pot considera imobile;
- lucrul mecanic al forțelor de percuție nu se poate calcula direct (cunosind forța și deplasarea); se evaluatează numai variația de energie cinetică pierdută în timpul ciocnirii.

Studiul ciocnirii se face cu ajutorul teoremulor de variație ale impulsului, energiei și momentului cinetic.

Aceste teoreme au, pentru cazul ciocnirii a n participanți de mase m_i , observată dintr-un referențial inertial solidar cu laboratorul, următoarele expresii:

$$1) \sum_{i=1}^n m_i \vec{u}_i - \sum_{i=1}^n m_i \vec{v}_i = \vec{F}_{ext} \tau_c;$$

$$2) \sum_{i=1}^n \frac{1}{2} m_i u_i^2 - \sum_{i=1}^n \frac{1}{2} m_i v_i^2 = \Delta E_{int}$$

$$3) \sum_{i=1}^n \vec{r}_i \times m_i \vec{u}_i - \sum_{i=1}^n \vec{r}_i \times m_i \vec{v}_i = (\vec{r}_i \times \vec{F}_{ext}) \tau_c,$$

unde am notat cu: \vec{v}_i — viteza participantilor înainte de ciocnire, \vec{u}_i — viteza participantilor după ciocnire, $\vec{F}_{ext} \tau_c$ — rezultanta impulsurilor forțelor exterioare, ΔE_{int} — variația energiei interne a participantilor în timpul ciocnirii, $(\vec{r}_i \times \vec{F}_{ext})$ — momentul total al forțelor exterioare.

Să analizăm, dintr-un referențial inertial solidar cu laboratorul, două sfere de mase m_1 și m_2 care se ciocnesc elastic ($\Delta E_{int} = 0$) și central (fig. 2.35). Pentru ca ciocnirea între aceste sfere să aibă loc trebuie ca $\vec{v}_1 > \vec{v}_2$.

Deoarece ciocnirea este centrală, vom utiliza numai teoremele impulsului și energiei cinetice, care pentru acest caz sunt:

$$1) m_1 \vec{u}_1 + m_2 \vec{u}_2 = m_1 \vec{v}_1 + m_2 \vec{v}_2$$

$$2) \frac{1}{2} m_1 v_1^2 + \frac{1}{2} m_2 v_2^2 = \frac{1}{2} m_1 u_1^2 + \frac{1}{2} m_2 u_2^2.$$

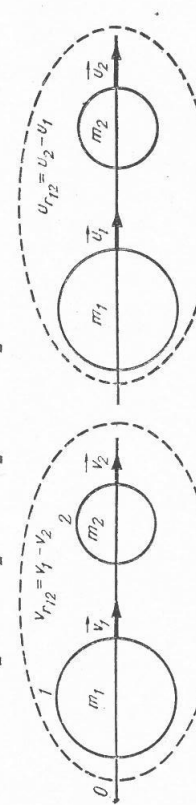


Fig. 2.35. Două sfere (a) înainte și (b) după ciocnire.

Timpind seama că $\langle \vec{u}_1, \vec{v}_2 \rangle = 0$, $\langle \vec{u}_1, \vec{u}_2 \rangle = 0$ și grupând termenii

$$1) m_1(v_1 - u_1) = m_2(u_2 - v_2)$$

$$2) m_1(v_1^2 - u_1^2) = m_2(u_2^2 - v_2^2).$$

Împărțind relația (2) la (1), obținem

$$v_1 + u_1 = u_2 + v_2,$$

care se mai poate scrie

$$v_1 - v_2 = u_2 - u_1.$$

Acastă relație arată că în cazul unei ciocniri elastice unidimensionale viteza relativă de apropiere ($v_r = v_1 - v_2$) înainte de ciocnire este egală cu viteza relativă ($u_r = u_2 - u_1$) de îndepărțare după ciocnire. Din relațiile precedente se pot obține vitezele sferelor după ciocnire

$$u_1 = 2 \frac{m_1 v_1 + m_2 v_2}{m_1 + m_2} - v_1$$

$$u_2 = 2 \frac{m_1 v_1 + m_2 v_2}{m_1 + m_2} - v_2.$$

Există cîteva cazuri particulare care prezintă un interes deosebit.

1. Cele două sfere au aceeași masă $m_1 = m_2$ (fig. 2.36, a1 și b1)

$$u_1 = v_2, \quad u_2 = v_1,$$

în timpul ciocnirii sferele schimbă vitezele între ele.

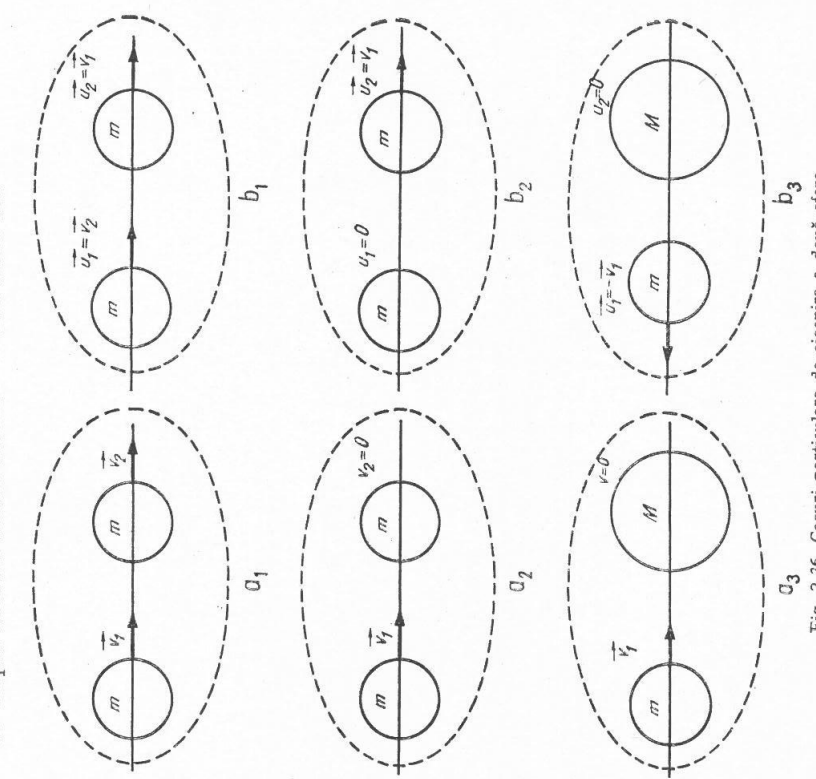


Fig. 2.36. Cazuri particulare de ciocnire a două sfere.

2. Sferă de masă m_2 este în repaus ($v_2 = 0$).

a) masele sferelor sunt egale $m_1 = m_2$ (fig. 2.36, a_2 și b_2)

$$u_1 = 0, \quad u_2 = v_1,$$

în urma ciocnirii prima sferă este oprită iar cea de a două pornește cu viteza pe care a avut-o inițial prima sferă;

$$b) \quad masele sferelor sunt, înegală, $m_2 \gg m_1$ (fig. 2.36, a_3 și b_3)$$

$u_1 = -v_1, \quad u_2 = 0$,

sferă cu masă mai mică se întoarce cu aceeași viteză pe care a avut-o înainte de ciocnire.

Dacă ciocnirea dintre aceste sfere este perfect plastică, ele fac, după ciocnire, corp comun. În acest caz expresiile teoremetelor impulsului și energiei sunt

$$1. \quad m_1 \vec{v}_1 + m_2 \vec{v}_2 = (m_1 + m_2) \vec{u}$$

$$2. \quad \frac{1}{2} m_1 v_1^2 + \frac{1}{2} m_2 v_2^2 = \frac{1}{2} (m_1 + m_2) u^2 + \Delta E_{int}.$$

Aceste expresii permit calcularea:

— vitezelor sferelor după ciocnire

$$\vec{u} = \frac{m_1 \vec{v}_1 + m_2 \vec{v}_2}{m_1 + m_2},$$

— pierderii de energie cinetică în cursul ciocnirii

$$\Delta E_c = \frac{1}{2} m_1 (v_1 - u)^2 + \frac{1}{2} m_2 (v_2 - u)^2.$$

Să constată că, în cazul ciocnirii perfect plasticine, numai o parte din energia cinetică a sferelor să transformă în energie internă. Aceasta reprezintă pierderea maximă de energie compatibilă cu conservarea impulsului.

Am analizat ciocnirea sferelor în două cazuri extreme: ciocnire perfect elastică și ciocnire perfect plastică. În general, ciocnirile dintre corpuri macroscopice sunt totdeauna plastică într-o anumită măsură.

Pentru caracterizarea gradului de plasticitate al unei ciocniri s-a introdus o mărime ce a fost denumită *coefficient de restituire* (k) și care se definește prin relația

$$k = \left| \frac{u_2 - u_1}{v_1 - v_2} \right|.$$

În cazul corpurilor perfect elastice $k = 1$, iar al celor perfect plasticice $k = 0$. În general valoarea acestui coefficient este

$$0 < k < 1,$$

dеоarece nu există nici corpurі solide perfect elastice și nici perfect plasticice.

La nivelul cuantic ciocnirile dintre atomi, nucleu, particule elementare pot fi atât elastice cât și plastice. Ciocnirile veritabile elastice cunoscute sunt numai cele care au loc la acest nivel.
Concluziile extrase din acest studiu teoretic se pot verifica experimental.

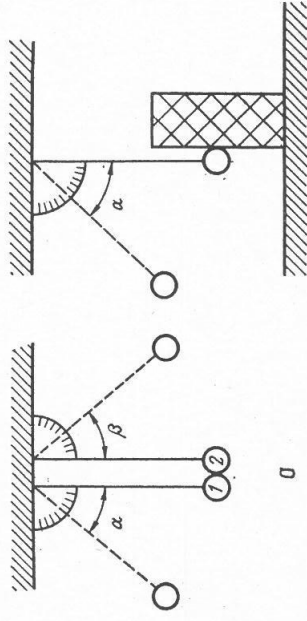


Fig. 2.37. Dispozitiv pentru studiu ciocnirilor.

Experimente. 1. De un stativ (fig. 2.37, a) sunt primește două sfere identice ($m_1 = m_2, r_1 = r_2$) confectionate din același material elastic (otel, fildeș). Se deplasează bila 1 de la poziția de echilibru cu un unghi α și apoi se lăsă liberă. Se constată că după ciocnire bila 1 se oprește iar bila 2 se deplasează de poziția de echilibru cu un unghi $\beta = \alpha$, ceea ce verifică concluzia teoretică (caz particula- lar 2-a).

2. Se înlocuiește bila 2 cu un bloc masiv de otel. Se deplasează bila 1 de poziția de echilibru sub un unghi α . După ciocnire, bila se deplasează tot sub un unghi α . Să această constatare verifică concluzia teoretică (caz particular 2-b).

3. Pentru determinarea coeficientului de restituire se poate utiliza un dispozitiv format dintr-o platformă orizontală și o rigă verticală (fig. 2.38). Se așază pe platformă o placă A confectionată din materialul al cărui coefficient de restituire trebuie determinat. O bilă B confectionată din același material se lasă să cadă de la înălțimea h_1 ; se urmărește înălțimea h_2 pînă la care se ridică bila după ciocnirea cu placă A. Coeficientul de restituire este:

$$k = \left| \frac{u}{v} \right| = \sqrt{\frac{h_2}{h_1}}.$$

Fig. 2.38. Dispozitiv pentru determinarea coeficientului de restituire.

Se efectuează mai multe determinări pentru înălțimi inițiale diferite și se calculează k_{med} .

Pentru studiu ciocnirilor oblice vom analiza, tot dintr-un referințial inerțial solidar cu laboratorul, ciocnirea a două sfere de dimensiuni și mase diferite ($m < M$; $r < R$), sferă mai mare fiind în repaus.

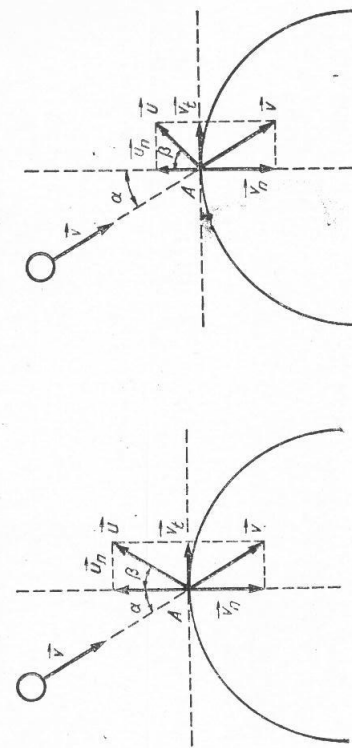


Fig. 2.39. Ciocnirea oblică: (a) elastică și (b) plastică.

Vom considera mai întâi cazul ciocnirii elastice (fig. 2.39, a). Sfera de masă m ciocneste sferă de masă M în punctul A . Descompunem viteza \vec{v} , a sferei mici, în două componente \vec{v}_n și \vec{v}_t . Componenta \vec{v}_t rămîne neschimbată deoarece ciocnirea are loc numai în direcția normală la suprafață. După ciocnire, sferă mică va avea pe direcția normală la suprafață, o viteza $\vec{u}_n = -\vec{v}_n$ (ciocnirea este perfect elastică și masa sferei mari foarte mare). Viteza rezultantă, după ciocnire, este $\vec{u} = \vec{v}_t + \vec{u}_n$. Se observă că, în acest caz, unghiul format de viteza sferei mici cu normala la suprafață înainte de ciocnire este egal cu unghiul format de normală cu viteza după ciocnire. În acest caz, putem spune că în urma ciocnirii sferă mică să reflectă.

Dacă ciocnirea nu este perfect elastică, atunci $\vec{u}_n = k \vec{v}_n$ (fig. 2.39, b), iar viteza rezultantă după ciocnire $\vec{u} = \vec{v}_t + \vec{u}_n$. În acest caz $\alpha \neq \beta$. Trinând cont că $v_t = |v_n| \operatorname{tg} \alpha = |u_n| \operatorname{tg} \beta$, obținem

$$k = \left| \frac{u_n}{v_n} \right| = \frac{\operatorname{tg} \alpha}{\operatorname{tg} \beta}.$$

În cazul ciocnirilor oblice reale coeficientul de restituire este egal cu raportul dintre tangenta unghiului de incidență și tangenta unghiului

de reflexie. Deoarece $k < 1$ rezultă $\beta > \alpha$, adică unghiul de reflexie este totdeauna mai mare decât cel de incidență.

Și aceste concluzii teoretice se pot verifica experimental.

Experiment. 1. Pentru studiul ciocnirilor oblice se poate utiliza un dispozitiv ca cel din figura 2.40. Dintr-o plinie B se lasă să cadă o bilă, confectionată dintr-un material elastic, pe o placă A — confectionată tot dintr-un material elastic; după ciocnire bilă este prinsă în coșulejul C , numai dacă poziția este corespunzătoare unghiului β . Se efectuează mai multe determinări și se constată că $\alpha > \beta$, rezultat în concordanță cu concluziile teoretice.

2. Se utilizează același dispozitiv dar se înlocuiesc bila și placă A cu altele din materiale cu diferenții coeficienți de restituire. Se efectuează experimentul și se constată că $\beta > \alpha$, observație ce confirmă concluzia teoretică.

Studiul ciocnirilor se poate executa și dintr-un referințial solidar cu centrul de masă al particulelor participante la ciocnire. Față de acest referințial, impulsul total al sistemului este întotdeauna nul. Vitezele particulelor sunt:

$$\vec{v}'_1 = \vec{v}_1 - \vec{v}_e,$$

$$\vec{v}'_2 = \vec{v}_2 - \vec{v}_e,$$

unde am notat cu v'_1 , v'_2 vitezele particulelor față de referințialul centru de masă și cu $\vec{v}_e = \frac{m_1 \vec{v}_1 + m_2 \vec{v}_2}{m_1 + m_2}$ viteza centrului de masă față de referințialul laboratorului.

Efectuând înlocuirile se obține

$$\vec{v}'_1 = \frac{m_2}{m_1 + m_2} (\vec{v}_1 - \vec{v}_2)$$

$$\vec{v}'_2 = -\frac{m_1}{m_1 + m_2} (\vec{v}_1 - \vec{v}_2).$$

Acstea relații arată că vitezele particulelor față de referințialul central de masă sunt opuse ca sens și depind de mase.

Din acest motiv există o mare simplitate și simetrie în descrierea ciocnirilor dintr-un referențial solidar cu centrul de masă (fig. 2.41, 2.42).

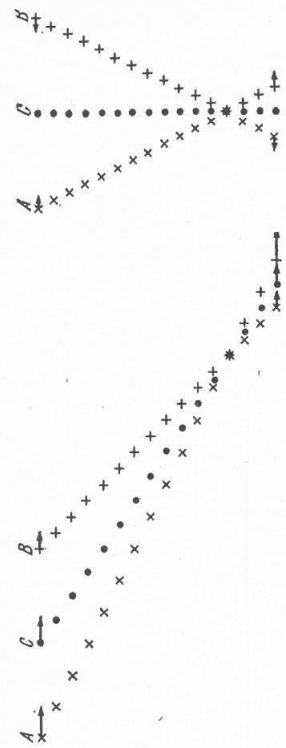
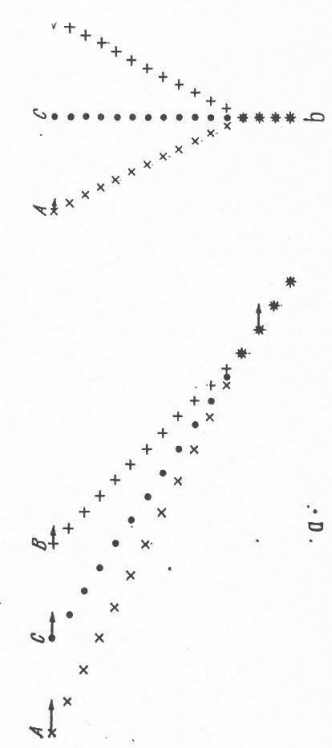


Fig. 2.41. Ciocnirea a două sfere elastice, de mase $m_A = m_B$ și viteze $v_A > v_B$, observată dintr-un referențial solidar cu laboratorul (a) și din altul solidar cu central de masă (b).



2.6. MIȘCAREA PLANETELOR

Multitudinea informațiilor referitoare la mișcarea planetelor din sistemul nostru solar a fost analizată de către Kepler iar rezultatele au fost sintetizate în 3 legi.

1. **Legea orbitelor:** fiecare planetă se deplasează în jurul Soarelui pe o orbică eliptică având Soarele într-unul din focare.
2. **Legea arilor:** raza vectoare ce unește Soarele și planetă mătură arii egale, din aria orbitii plantare, în intervale de timp egale.
3. **Legea perioadelor:** părțile perioadelor mișcărilor de revoluție în jurul Soarelui ale diferitelor planete se află în același raport ca și cuburile semiaxeelor mari.

Proprietățile descrise de aceste legi pot sta la baza elaborării unui model pentru studierea sistemului solar. Soarele și planetele pot fi assimilate, în cadrul modelului, cu puncte materiale deosebite din dimensiunile proprii și neglijabile în raport de distanțele dintre ele. Pentru simplificarea calculelor să analizăm un sistem-model format numai din două elemente: unul S corespunzător Soarelui și altul P corespunzător unei planete. Acest sistem-model îl vom studia dintr-un referențial inertial solidar cu Soarele și cu axele orientate spre trei stele fixe.

Legea orbitelor impune ca trajectoria elementului P să fie într-un plan cu orientare constantă (orientarea normală la plan constantă) de forma unei elipse cu axe constante în timp, având elementul S situat într-unul din focare (fig. 2.43-1).

Legea arilor impune ca viteza de măturare a arilor (viteză areolară) de către raza vectoare (fig. 2.43-2) să fie constantă, adică

$$\frac{d\vec{A}_1}{dt} = \frac{d\vec{A}_2}{dt}. \quad (2.49)$$

Legea perioadelor impune ca interacțiunea dintre elementele P și S să depindă numai de distanța dintre aceste elemente, deci

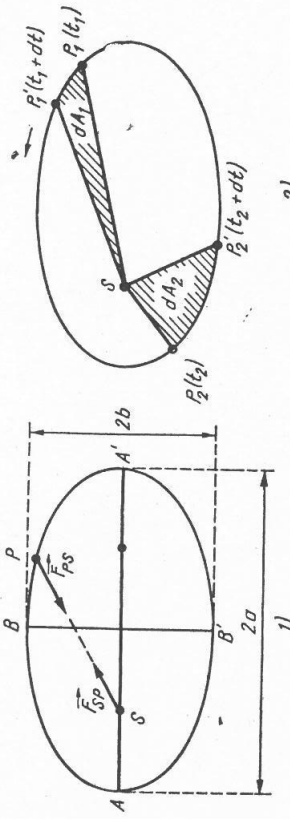


Fig. 2.43. (1) Elementul P se mișă pe o elipsă care are elementul S într-unul din focare; (2) viteza areolară este constantă.

1. **Legea orbitelor:** fiecare planetă se deplasează în jurul Soarelui pe o orbică eliptică având Soarele într-unul din focare.
2. **Legea arilor:** raza vectoare ce unește Soarele și planetă mătură arii egale, din aria orbitii plantare, în intervale de timp egale.
3. **Legea perioadelor:** părțile perioadelor mișcărilor de revoluție în jurul Soarelui ale diferitelor planete se află în același raport ca și cuburile semiaxeelor mari.

Legea arilor impune ca interacțiunea dintre elementele P și S să fie constantă (orientarea normală la plan constantă) de formă unei elipse cu axe constante în timp, având elementul S situat într-unul din focare (fig. 2.43-1).

Legea arilor impune ca viteza de măturare a arilor (viteză areolară) de către raza vectoare (fig. 2.43-2) să fie constantă, adică

$$\frac{d\vec{A}_1}{dt} = \frac{d\vec{A}_2}{dt}. \quad (2.49)$$

Legea perioadelor impune ca interacțiunea dintre elementele P și S să depindă numai de distanța dintre aceste elemente, deci

1. **Legea orbitelor:** fiecare planetă se deplasează în jurul Soarelui pe o orbică eliptică având Soarele într-unul din focare.
2. **Legea arilor:** raza vectoare ce unește Soarele și planetă mătură arii egale, din aria orbitii plantare, în intervale de timp egale.
3. **Legea perioadelor:** părțile perioadelor mișcărilor de revoluție în jurul Soarelui ale diferitelor planete se află în același raport ca și cuburile semiaxeelor mari.

Elementului de arie dA i se poate asocia un vector

$$d\vec{A} = \vec{n} dA,$$

unde \vec{n} este versorul normal la suprafața elipsei cu sensul dat de sensul de înaintare al burghiu lui drept cind este rotit în sensul de parcursare a elipsei (fig. 2.44).

Tinând cont de relația de definiție a produsului vectorial, vectorul asociat elementului de arie se mai poate scrie

$$d\vec{A} = \frac{1}{2} \vec{r} \times d\vec{r},$$

Unghiului $d\varphi$, i se poate asocia, de asemenea, un vector

$$d\vec{\varphi} = \vec{\eta} d\varphi,$$

cu aceeași convenție ca pentru dA . Intre unghiul $d\varphi$, raza vectoare \vec{r} și coarda $d\vec{r}$ este relația

$$d\vec{r} = d\vec{\varphi} \times \vec{r}.$$

Tinând cont de acestea

$$d\vec{A} = \frac{1}{2} (\vec{r} \times d\vec{\varphi}) \times \vec{r},$$

Calcularea acestei expresii s-a efectuat utilizând aceeași metodă care a fost folosită la calcularea triplului produs vectorial la paragraful 2.3.2.

Inlocuind în expresia (2.49) pe $d\vec{A}$ obținem

$$\frac{1}{2} r_1^2 \frac{d\vec{\varphi}_1}{dt} = \frac{1}{2} r_2^2 \frac{d\vec{\varphi}_2}{dt}.$$

Înmulțind ambii membri ai acestei egalități cu m (masa elementului P) și înlocuind pe $\frac{d\vec{\varphi}_1}{dt} = \vec{\omega}_1$, $\frac{d\vec{\varphi}_2}{dt} = \vec{\omega}_2$, rezultă

$$mr_1^2 \vec{\omega}_1 = mr_2^2 \vec{\omega}_2.$$

Produsele mr_1^2 și mr_2^2 reprezintă momentele de inerție ale elementului P în raport cu focarul unde se află situat elementul S . În timpul deplasării pe elipsă momentul de inerție al elementului P variază între o valoare minimă corespunzătoare poziției A și o valoare maximă corespunzătoare poziției A' . Momentul de inerție înmulțit cu viteza unghiulară reprezintă momentul cinetic, deci

$$\vec{L}_1 = \vec{L}_2,$$

afirmă conservarea momentului cinetic pentru elementul P ce se mișcă pe elipsă în jurul elementului S . Această proprietate evidentă a sistemului-model este deosebit de importantă pentru că ea constituie o verificare a conservării momentului cinetic la nivel cosmic. Legea orbitelor și legea ariilor confirmă, de fapt, conservarea momentului kinetic în cadrul sistemului Solar.

În continuare, să analizăm sistemul-model din punct de vedere energetic.

Energia totală a sistemului față de referențialul ales este

$$E = \frac{mv_n^2}{2} - k \frac{Mm}{r},$$

unde M este masa elementului S și k — constanta gravitațională.

Descompunind viteza elementului P în două componente, una pe direcția razei și alta perpendiculară pe ea (fig. 2.45) obținem relația

$$E = \frac{1}{2} mv_t^2 + \frac{1}{2} mv_n^2 - k \frac{Mm}{r},$$

care este valabilă pentru orice poziție a planetei pe orbită. Pentru punctele A și A' , $v_t = 0$. Notind cu r_0 distanțele pînă la A și A' (fig. 2.46) expresia energiei pentru aceste puncte este

$$E = \frac{1}{2} mv_n^2 - k \frac{Mm}{r_0}.$$

Înmulțind această expresie cu $\frac{r_0^2}{E}$, rezultă ecuația

$$r_0^2 + k \frac{Mm}{E} r_0 - \frac{L^2}{2mE} = 0, \quad (2.50)$$

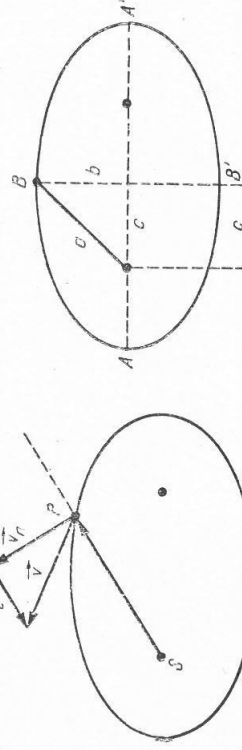


Fig. 2.45. Componențe viteză pe o direcție paralelă cu raza (v_r) și pe alta perpendiculară pe rază (v_n).
Fig. 2.46. Relații între axele orbitei și punctele extreme A , A' .

Din figura 2.46 se constată că r_0 poate avea două valori
 $r_{0,A'} = r_0 = a + c$, $r_{0,A} = a - c = r_0$.

care reprezintă rădăcinile ecuației (2.50) și că între semiaxele elipsei și distanța dintre centru și focar este relația

$$a^2 = b^2 + c^2.$$

Făcând uz de relațiile dintre rădăcinile și coeficienții ecuației de gradul al II-lea, rezultă

$$\gamma_0 + \gamma_0 = -k \frac{Mm}{E},$$

$$\gamma_0 \cdot \gamma_0 = -\frac{L^2}{2mE}.$$

Din acest sistem de ecuații se determină:

$$- \text{axa mare } 2a = -k \frac{Mm}{E},$$

$$- \text{axa mică } 2b = \frac{2L}{\sqrt{-2mE}}.$$

Aceste rezultate arată că:
— forma elipsei depinde de energia și momentul cinetic al elementului P ;

- semiaxa mare depinde atât de momentul cinetic cît și de energie.

Sistemul model a furnizat, astfel, informații referitoare la relațiile existente între parametrii de stare ai planetei (E, L) și semiaxele orbitei.

Aceste relații sunt deosebit de utile pentru lansarea sateliștilor. Semiaxa mare depinde numai de poziția în care satelitul se separă de racheta purtătoare și de viteza sa în acel moment. Semiaxa mică depinde și de direcția mișcării în momentul separării. Valoarea maximă a semiaxei mici se obține pentru poziții de separare la care unghiul dintre \vec{r} și \vec{v} este $\frac{\pi}{2}$.

Lansarea sateliștilor a confirmat justitatea acestor concluzii și prin aceasta valoarea modelului utilizat.

Rezultatele obținute în cadrul studiului sistemului-model (Soare-planetă) au fost utilizate și în elaborarea modelului planetar al atomului, obținându-se unele rezultate în conformitate cu experimentul, fapte care confirmă conservarea momentului cinetic la nivel cuantic.

care reprezintă rădăcinile ecuației (2.50) și că între semiaxele elipsei și distanța dintre centru și focar este relația

$$a^2 = b^2 + c^2.$$

Făcând uz de relațiile dintre rădăcinile și coeficienții ecuației de gradul al II-lea, rezultă

$$\gamma_0 + \gamma_0 = -k \frac{Mm}{E},$$

$$\gamma_0 \cdot \gamma_0 = -\frac{L^2}{2mE}.$$

Din acest sistem de ecuații se determină:

$$- \text{axa mare } 2a = -k \frac{Mm}{E},$$

$$- \text{axa mică } 2b = \frac{2L}{\sqrt{-2mE}}.$$

Aceste rezultate arată că:
— forma elipsei depinde de energia și momentul cinetic al elementului P ;

- semiaxa mare depinde atât de momentul cinetic cît și de energie.

Sistemul model a furnizat, astfel, informații referitoare la relațiile existente între parametrii de stare ai planetei (E, L) și semiaxele orbitei. Aceste relații sunt deosebit de utile pentru lansarea sateliștilor. Semiaxa mare depinde numai de poziția în care satelitul se separă de racheta purtătoare și de viteza sa în acel moment. Semiaxa mică depinde și de direcția mișcării în momentul separării. Valoarea maximă a semiaxei mici se obține pentru poziții de separare la care unghiul dintre \vec{r} și \vec{v} este $\frac{\pi}{2}$.

Lansarea sateliștilor a confirmat justitatea acestor concluzii și prin aceasta valoarea modelului utilizat.

Rezultatele obținute în cadrul studiului sistemului-model (Soare-planetă) au fost utilizate și în elaborarea modelului planetar al atomului, obținându-se unele rezultate în conformitate cu experimentul, fapte care confirmă conservarea momentului cinetic la nivel cuantic.

Volantul este un organ de mașină având formă unei roți cu masă și dimensiuni, în general, mari decât moment de inerție mare.

Volantul montat pe arborele unei mașini (fig. 2.47) are rolul de a uniformiza turările organelor principale.

EXTINDERE ÎN TEHNOLOGIE

2.7. VOLANTUL

Volantul este un organ de mașină având formă unei roți cu masă și dimensiuni, în general, mari decât moment de inerție mare.

Volantul montat pe arborele unei mașini (fig. 2.47) are rolul de a uniformiza turările organelor principale.

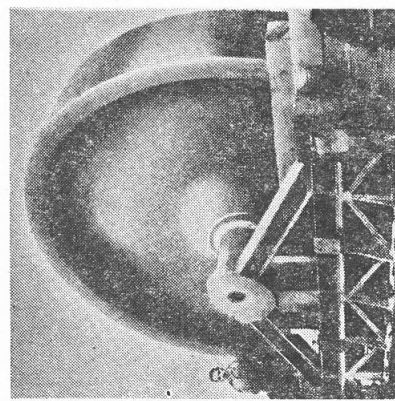


Fig. 2.47. Volant

Viteza de rotație a volantului depinde de acțiunile antagoniste ale unui cuplu motor și ale unui cuplu rezistent. Pentru fiecare mașină există o viteza „de regim” de la care nu trebuie să se îndepărteze în timpul funcționării. După atingerea vitezei de regim, suma momentelor cuplurilor motor și rezistență se anulează. Orice variație ulterioară a unuia sau a altuia, dintre aceste cupluri atrage după sine o modificare a vitezei de rotație, deci o îndepărțare de la regimul de funcționare.

Se poate evalua această variație a vitezei unghihulare ($d\omega$) aplicând teorema de variație a energiei cinetice

$$dE_c = dL.$$

Derivând expresia energiei cinetice

$$E_c = \frac{1}{2} J \omega^2,$$

se obține

$$\frac{dE_c}{d\omega} = J \omega.$$

Înlocuind în expresia teoremei de variație a energiei cinetice, rezultă

$$J \omega d\omega = dL,$$

relație ce permite calcularea variației relative a vitezei unghihulare

$$\frac{d\omega}{\omega} = \frac{dL}{J \omega^2}.$$

Variația relativă a vitezei unghihulare este cu atât mai mică cu cât momentul de inerție și viteza imprimată volantului sunt mai mari.

Prezența unui volant cu moment de inerție mare asigură funcționarea mașinii la viteza de regim.

2.8. GIROSCOPUL

Studiul sistemelor de puncte materiale a evidențiat faptul că toate corpurile rigide, izolate, care se rotesc în jurul unei axe fixe au proprietatea de a-și păstra direcția axei de rotație. Această proprietate și-a găsit multiple aplicații în tehnică.

Frecvent, în tehnică, sunt utilizate coruri rigide, massive care posedă o axă de simetrie și sunt fixate într-un punct oarecare al acestor axe (fig. 2.48). Aceste coruri se numesc girosoape.

Pentru a înțelege întrebunțarea în tehnică a giroscopelor este necesar a efectua, mai întâi, un studiu asupra mișcării lor.

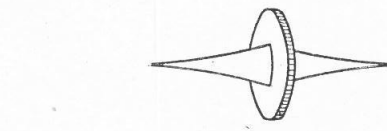


Fig. 2.48. Giroscop prin suspensie cardanică.

Frecvent, în tehnică, sunt utilizate coruri rigide, massive care posedă o axă de simetrie și sunt fixate într-un punct oarecare al acestor axe (fig. 2.48). Aceste coruri se numesc girosoape.

Pentru a înțelege întrebunțarea în tehnică a giroscopelor este necesar a efectua, mai întâi, un studiu asupra mișcării lor.

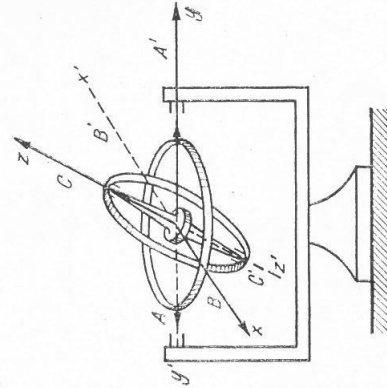


Fig. 2.49. Giroscop prin suspensie cardanică.

Proprietatea principală a giroscopului de a-și păstra axa de rotație neschimbată cînd momentul forțelor exteroare este nul poate fi ușor evidențiată experimental.

Experiment. Pentru studiul mișcării giroscopului se utilizează fixarea lui într-o suspensie cardanică (fig. 2.49). Această suspensie este compusă din două inele. Inelul exterior se poate roti liber în jurul axei y' , care trece prin lagărele AA' , iar cel interior, în jurul axei xx' , care este perpendiculară pe yy' și trece prin lagărele BB' . Giroscopul este prins prin lagărele CC' de inelul interior al suspensiei cardanice, ceea ce îl asigură posibilitatea de a se roti liber în spațiu, în orice direcție, centrul său de greutate C_0 rămânind fix în punctul O . Se imprimă giroscopului o rotație, în jurul axei zz' , cu o viteza unghiulară $\vec{\omega}$ mare. Se întoarce suportul în diferite poziții, se constată că axa de rotație rămîne neschimbată. Această constatare este în concordanță cu teorema de conservare a momentului cinetic. Frecările în lagăre fiind foarte mici se pot neglijă, deci momentul forțelor exteroare este nul, ceea ce înseamnă

$$\frac{d\vec{L}}{L} = 0, \vec{L} = \text{constant.}$$

Constanța momentului cinetic implică atât constanța modulu lui, cât și a direcției față de un referential inertial.

Studiind mișcarea giroscopului dintr-un referential solidar cu Soarele, se constată că își păstrează direcția axei de rotație; față de Pământ, axa giroscopului descrie o revoluție în sens contrar cu rotația Pământului. Pe acest fapt s-a bazat Foucault în 1852, pentru a dovedi, pentru prima dată, mișcarea de rotație a Pământului.

Experiment. Aplicăm giroscopului, prins în suspensie cardanică, care se rotește în jurul axei zz' (fig. 2.50, a), un cuplu de forțe \vec{F} , \vec{F}' ce tinde să-1 rotească în jurul axei xx' perpendiculară pe axa de rotație a giroscopului. Constatăm că vîrfurile C și C' ale giroscopului se deplasează pe o direcție paralelă cu xx' (C are sensul de deplasare de la figură spre exterior iar C' sens invers). Axa giroscopului începe să se rotească (punctul O rămânind fix) (fig. 2.50,b) în jurul axei yy' , perpendiculară pe primele două.

Din acest experiment rezultă că giroscopul are proprietatea de a-și dispune axa de rotație în astă fel încât să formeze un unghi cît se poate mai mic cu axa de rotație impusă (xx') și ca ambele rotații să se producă în același sens.

Acestaș proprietate paradoxală a giroscopului a primit numele de *efect giroscopic* iar mișcarea axei giroscopului de *precesie*.

Efectul giroscopic se poate explica cu teorema de variație a momentului cinetic. Giroscopul rotindu-se cu viteza unghiulară $\vec{\omega}$, în jurul axei zz' , are un moment cinetic \vec{L} (fig. 2.50,c). Asupra giroscopului acționând un cuplu de forțe \vec{F} , \vec{F}' de moment $\vec{\mathcal{N}}$, se va produce o variație a momentului cinetic

$$d\vec{L} = \vec{\mathcal{N}} dt,$$

Rezultă că $d\vec{L}$ are aceeași orientare cu $\vec{\mathcal{N}}$. Deoarece, momentul $\vec{\mathcal{N}}$ este perpendicular pe \vec{L} (fig. 2.50,d), și $d\vec{L}$ trebuie să fie perpendicular pe \vec{L} . Datorită acestui fapt în intervalul de timp dt , momentul cinetic se modifică numai ca direcție, modulul său rămânind constant. Extremitatea vectorului moment cinetic descrie, cu viteza unghiulară $\vec{\omega}_{cp}$, un cerc de centru O_L , în jurul axei yy' , ce se află într-un plan paralel cu planul xOz .

Deoarece vectorul moment cinetic se află tot timpul pe axa de rotație (CC') a giroscopului, rezultă că și această axă de rotație descrie o mișcare cu viteza unghiulară $\vec{\omega}_{cp}$, fapt în concordanță cu observațiile experimentale.

Viteza unghiulară de precesie este

$$\omega_p = \frac{d\varphi}{dt},$$

unde $d\varphi$ este unghiul corespunzător corzii $d\vec{L}$ (fig. 2.50, d).

Dar, deoarece, $d\vec{L} \ll \vec{L}$,

$$d\varphi = \frac{dL}{L \sin \alpha} = \frac{\vec{M} dt}{L \sin \alpha},$$

sau

$$\omega_p = \frac{\vec{M}}{L \sin \alpha}.$$

Momentul cuplului fiind egal cu $\vec{M} = F \cdot l \sin \alpha$ (l — distanța dintre punctele de aplicatie ale forțelor \vec{F} și \vec{F}'), rezultă

$$\omega_p = \frac{F \cdot l}{J \omega}.$$

Se constată că viteza unghiulară de precesie este invers proporțională cu momentul cinetic și nu depinde de unghiul de înclinare al axei de rotație. Dacă acțiunea forțelor încetează (momentul devine nul) viteza de precesie se anulează și axa giroscopului se oprește. Pentru acțiuni de scurtă durată, axa giroscopului nu și modifică aproape deloc direcția.

Relația dintre viteza unghiulară de precesie, momentul cinetic și momentul cuplului se poate scrie și sub formă vectorială

$$\vec{M} = \vec{\omega}_p \times J \vec{\omega}.$$

Aceasta deoarece $\vec{\omega}_p$ este un vector orientat pe direcția și în sensul pozitiv al axei yy' și cum unghiul dintre $\vec{\omega}_p$, \vec{L} este $\pi - \alpha$, iar $\sin(\pi - \alpha) = \sin \alpha$ produsul vectorial $\vec{\omega}_p \times \vec{L}$ este un vector pe direcția și în sensul pozitiv al axei xx' de modul $\omega_p L \sin \alpha$ adică egal cu \vec{M} .

Rezultă că dacă viteza de rotație a giroscopului are sens schimbat ($\vec{\omega}' = -\vec{\omega}$), la același moment \vec{M} , viteza de precesie trebuie să-și schimbe sensul.

Această remarcă se poate verifica experimental tot cu giroscopul cu suspensie cardanică.

Experiment. Se imprină giroscopului o mișcare de rotație de sens schimbat față de cea din experimentul anterior. Se aplică același

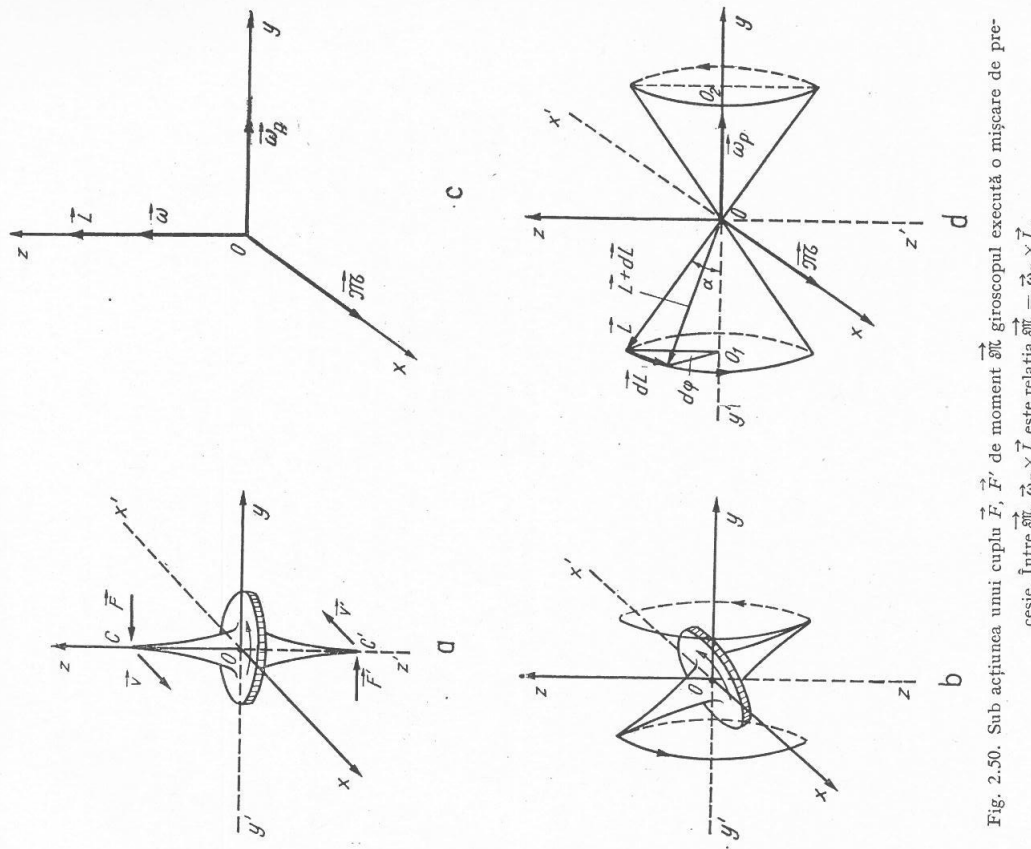


Fig. 2.50. Sub acțiunea unui cuplu \vec{F} , \vec{F}' de moment \vec{M} giroscopul execută o mișcare de precesie. Între \vec{M} , $\vec{\omega}_p$ și \vec{L} este relația $\vec{M} = \vec{\omega}_p \times \vec{L}$.

cuplu de forțe (fig. 2.51, a). Se constată că se schimbă sensul de mișcare al axei giroscopului (virful C se deplasează tot paralel cu axa xx' , dar cu sensul de la cititor spre figură iar C' de la figură spre cititor). Observații ce verifică concluzia extrasă din teorie.

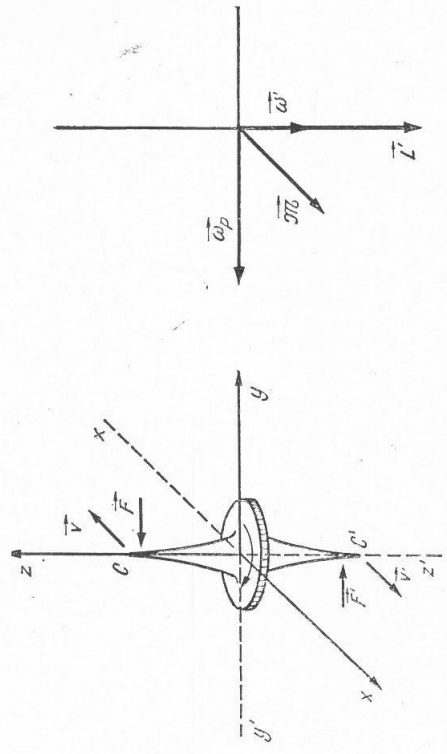


Fig. 2.51. a) Modificarea sensului vitezei giroscopului atrage după sine modificarea sensului vitezei de precesie.

Considerăm un giroscop prins de un inel, ce se poate rota în jurul axei zz' , prin două lagăre AA' . Giroscopul execută cu viteza unghiulară $\vec{\omega}$ o mișcare de rotație în jurul axei AA' . Când inelul începe să se rotească cu viteza unghiulară $\vec{\omega}_p$ în jurul axei zz' (fig. 2.52, a) axa giroscopului execută o mișcare de precesie în jurul aceleiași axe. Acest fapt ne permite să afirmăm că axa giroscopului este supusă la un moment

$$\vec{M} = \vec{\omega}_p \times J\vec{\omega}.$$

Acest moment se dătoarează, în mod evident, forțelor \vec{F}, \vec{F}' exercitate de lagărele AA' . Conform principiului acțiunilor reciproce, în același timp și giroscopul va actiona asupra lagărelor cu forțele \vec{F}_g, \vec{F}'_g egale și de sens contrar cu \vec{F}, \vec{F}' . Aceste forțe se numesc forțe giroscopice. Momentul cuplului (fig. 2.52, b) format de forțele giroscopice este

$$\vec{M}_g = J\vec{\omega} \times \vec{\omega}_p.$$

Acest cuplu giroscopic are tendința să aducă axa de rotație a giroscopului, pe drumul cel mai scurt, paralelă cu axa de precesie.

Proprietatea aceasta se poate evidenția experimental. *Experiment.* Se utilizează un giroscop cunoscut sub numele de titirez, la care punctul fix O nu mai coincide cu centrul de greutate

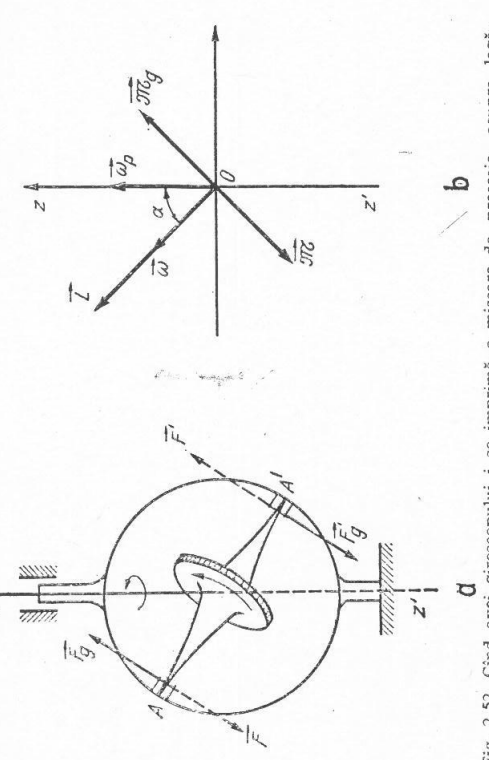


Fig. 2.52. Cind axei giroscopului i se imprimă o mișcare de precesie, asupra lagărelor se exercită forțele giroscopice \vec{F}_g, \vec{F}'_g (a) de moment \vec{M}_g (b).

(fig. 2.53, a). Fără să se rotească titirezul se înclina, se constată, că lăsat liber, cade. Se imprimă titirezului o mișcare de rotație în jurul axei sale și apoi se înclina. Se observă că el începe să execute o mișcare de precesie în jurul vertical ce trece prin O (fig. 2.53, b). Efortul că acum giroscopul nu se mai răstoarnă înseamnă că asupra lui acionează

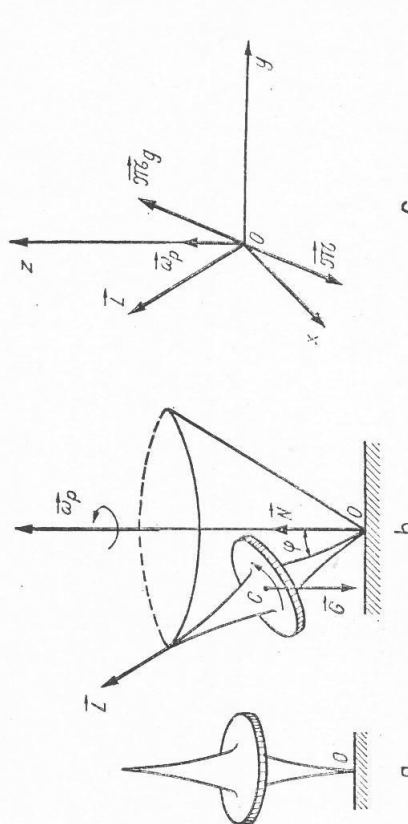


Fig. 2.53. Mișcarea de precesie a unui titirez.

în afara momentului \vec{M}_q al cuplului forțelor \vec{G} și \vec{N} , un alt moment egal și de sens contrar cu acesta. Acest moment este momentul giroscopic \vec{M}_g (fig. 2.53, c).

Efectul giroscopic are multe aplicații în practică.

Stabilizator antiruliu.

O mișcare neplăcută în mersul unui vapor este mișcarea de rotație în jurul axei sale orizontale longitudinale, datorată acțiunii valurilor, mișcare denumită ruliu.

Stabilizatorul este format dintr-un giroscop cu axa pe direcția zz' care se rotește cu viteză foarte mare (fig. 2.54). Giroscopul este susținut prin capetele sale $A'A'$ prin capetele sale $A'A'$

de o armături mobilă în jurul axei transversale yy' , solidară cu corpul vaporului. Cind sub acțiunea valurilor vaporul capătă o mișcare de rotație $\vec{\omega}_v$, un motor echipat cu un regulator special începe să rotească armătura cu o viteză unghihulară $\vec{\omega}_p$ (fig. 2.54). Datorită acestui fapt, asupra lagărelor BB' va acționa cuplul giroscopic $(\vec{F}_g \vec{F}_q)$ de moment $\vec{M}_g = J \vec{\omega} \times \vec{\omega}_p$, care contribuie la diminuarea rulului. Cind sensul de rotație imprimat de valuri se modifică, motorul schimbă sensul de rotație al armăturii ceea ce face să se schimbe și sensul momentului giroscopic.

Stabilizoarele giroscopice sunt utilizate la diferite alte vehicule ca de exemplu la trenurile pe o singură sănă (monorail).

Aparate de orientare. Cele mai importante aplicații ale giroscopului sunt cele care constau în utilizarea lui în construcția unor aparate întrebuințate în marină și aviație și anume compasul giroscopic (busola giroscopică) pentru determinarea direcției nord, azimuthul giroscopic pentru determinarea azimuthului și deci a altitudinii, orizonturile articiale giroscopice, giroclinometre etc.

Dirijarea giroscopică a rachetei. Dirijarea navelor玄mice se realizează cu două giroscope: unul situat într-un aplat numit „orizont” și altul într-un aparat „verticant”. Dirijarea giroscopică a navelor se face pe porțiunea activă (partea din traекторie care este parcursă prin

consumare de combustibil). Cele două aparate autosensibilizate la orice deviere de la pozițiile calculate, acționează prin intermediul unor potențometre asupra cîrmelor (mîscate prin combustibil) și aduc nava pe direcția stabilită.

Giroscopul direcțional. Acest aparat este întrebuită pentru paștrarea direcției torpilelor automate.

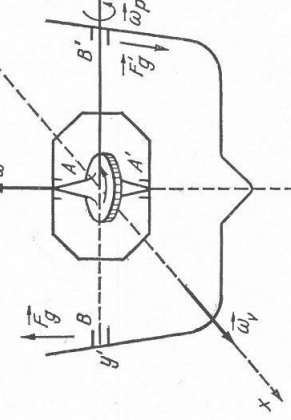


Fig. 2.54. Stabilizator antiruliu.

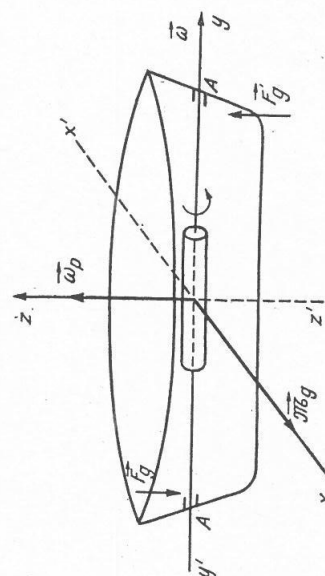


Fig. 2.55. Efect giroscopic la mișcarea vapoarelor.

Efectul giroscopic poate avea și efecte dăunătoare de care trebuie să se țină seama în special în cazul vehiculelor ce au în construcția lor dispozitive care execută mișcări de rotație (turbină, volanți etc.).

Iată un exemplu. Considerăm un vapor cu turbina $A'A'$, ce se rotește cu viteza unghihulară $\vec{\omega}$. Cind vaporul execută un viraj în jurul axei zz' cu viteza unghihulară $\vec{\omega}_p$, axa turbinei execută o precesie în jurul acestei axe. Datorită acestui fapt apare un cuplu giroscopic de moment \vec{M}_g , care acționând asupra lagărelor $A'A'$, produce vaporului o mișcare de rotație în jurul axei xx' , numită tangaj, care scufundă fie provă fie părăntului.

Mișcarea giroscopului a explicitat mișcarea de precesie a axei tangaj, care scufundă părăntului.

2.9. MOTOARE CU JET DE GAZE

Principiul de funcționare a acestor motoare este următorul: În interiorul motorului se produce o masă de gaz la presiune ridicată care este evacuată printr-o deschidere aflată la partea posterioară a

vehicului (fig. 2.56). Conform principiului acțiunii și reacționii, asupra peretelui anterior al vehiculu se exercită o forță F , de sens contrar cu viteza jetului de gaz, numită forță de propulsie.

Masa vehiculu care are motoare cu jet de gaz se micșorează cu timpul datorită consumului de combustibil care se elimină sub formă de gaze; din acest motiv vehiculele cu motoare cu jet de gaze sunt considerate sisteme materiale cu masă variabilă (sisteme deschise).

Motoarele cu jet de gaze se împart în:

- motoare rachetă — care poartă cu ele tot ce este necesar (combustibil și oxidant) pentru producerea jetului de gaz, ceea ce le permite să funcționeze și în vid. Cu astfel de motoare sunt echipate rachetele;
- motoare cu reacție — care folosesc ca oxidant oxigenul din atmosferă și deci nu pot funcționa în vid. Cu astfel de motoare sunt echipate avioanele.

2.9.1. Motoare rachetă. Studiul mișcării unei rachete este complex, deoarece asupra ei acționează diferite forțe (greutatesă, rezistența aerului, atracția diferitelor planete etc.) care se modifică de la o poziție la alta și fiindcă masa rachetei se micșorează în mod continuu.

Vom efectua studiul mișcării rachetei alegind o situație în care se poate neglijă acțiunile exterioare, adică se poate considera racheta ca reprezentând un sistem izolat.

Considerăm că masa și viteza rachetei la momentul initial $t_0 = 0$

sunt m_0 și $v_0 = 0$, iar la un moment t sunt m și v . După un interval de timp foarte scurt, dt , în care s-a evacuat o cantitate de gaz dm cu viteza \vec{u} față de rachetă, masa și viteza rachetei vor fi $m - dm$, $\vec{v} + d\vec{v}$. Sistemul fiind izolat se poate aplica teorema de conservare a impulsului, în raport cu un referențial solidar cu Pământul:

$$mv = (m - dm)(v + dv) + dm(v - u).$$

Efectuând calculele și neglijind termenii cu valoare foarte mică $(dm \cdot dv)$, rezultă

$$m dv - u dm = 0,$$

sau

$$m dv = u dm.$$

Împărțind cu dt , se obține

$$m \frac{dv}{dt} = u \frac{dm}{dt}.$$

Termenul dm/dt reprezintă debitul masic (u) al gazelor evacuate iar termenul dv/dt reprezintă accelerarea (a) a rachetei la momentul t , deci relația se mai poate scrie

$$a = \frac{u}{m} \mu.$$

Rachetele sunt astfel construite încât u și μ fie constante în timpul mișcării, rezultă că accelerarea rachetei crește fără încetare pînă la terminarea arderii combustibilului. Ea este în fiecare moment cu atît mai mare cu cît masa rachetei este mai mică. Din acest motiv se construiesc rachete cu mai multe trepte care se dețează pe măsură ce se consumă combustibil și oxidantul.

Forța de propulsie la momentul t este

$$F = ma = \mu u.$$

Se observă că intensitatea acestei forțe este practic constantă și dependență direct proporțională de debitul masic al gazelor evacuate și de viteza relativă a acestor gaze.

Viteza rachetei la un moment t se poate calcula prin integrarea expresiei

$$dv = \mu u \frac{1}{m_0 - \mu t} dt,$$

unde s-a notat masa la momentul t , cu $m_0 - \mu t$.

În urma integrării se obține

$$v = -u \log(m_0 - \mu t) + C,$$

unde C este o constantă de integrare care, ținînd seama de condițiile initiale, are valoarea $C = u \log m_0$.

Efectuînd înlocuirile, rezultă

$$v = u \log \frac{m_0}{m_0 - \mu t},$$

viteza rachetei la momentul t .

Considerind că după arderea întregului combustibil masa rachetei este m_r , relația devine

$$v = u \log \left(1 + \frac{m_0}{m_r} \right),$$

sau notînd cu m_e masa totală a carburantului (combustibil și oxidant)

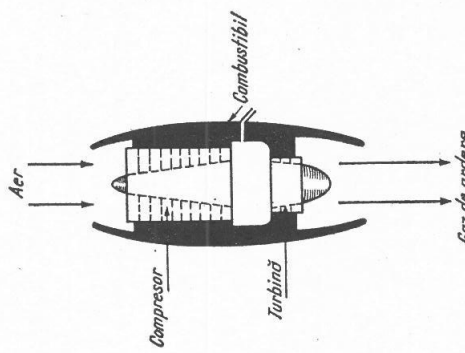
se mai poate scrie

$$v = u \log \left(1 + \frac{m_e}{m_r} \right),$$

Acastă relație care dă viteza rachetei după ce s-a terminat arderea combustibilului, arată că viteza "deinde de":

- viteza relativă de evacuare a gazelor,
- rezerva relativă de carburant (m_e/m_r).

Viteza rachetei la sfârșitul perioadei de combustie nu depinde de regimul de lucru al motorului rachetă. Pentru a obține viteze mari în zborurile interplanetare trebuie fie să se mărească raportul m_e/m_r , fie viteza u . Mărirea acestora este legată de tipul de carburant utilizat și de construcția rachetei. Pentru rachete mari care utilizează carburant lichid (hidrogen și oxigen lichid), raportul m_e/m_r este cuprins între 3 și 4, iar viteza relativă u între 2 000 și 2 500 m/s.



2.9.2. Motoare cu reacție. Avisoanele cu reacție sunt echipate, în general, cu un motor de tipul turbo-reactor. La acest tip de motor aerul care pătrunde în aparat este preluat de un compresor și comprimat în camera de ardere. În camera de ardere se injecteză combustibilul care se aprinde prin scînteie. Gazele foarte fierbinți și la presiune înaltă sunt evacuate printr-o duză, aflată la partea posterioară, cu viteza foarte mare. Înainte de evacuare gazele sunt evacuate printr-un presor (fig. 2.57).

Aceste motoare funcționează la orice viteză, cu pornire bună chiar din repaus. Pentru pornire se utilizează un motor electric de mică putere, numai pentru începutul comprimării aerului în camera de ardere.

Rezolvare

A. Desprinderea omului de pe platformă (fig. 2.58, a).

Se aplică conservarea impulsului pe direcția de mișcare a platformei

$$Mu_0 - mu_0 \cos \alpha = 0 \quad (1)$$

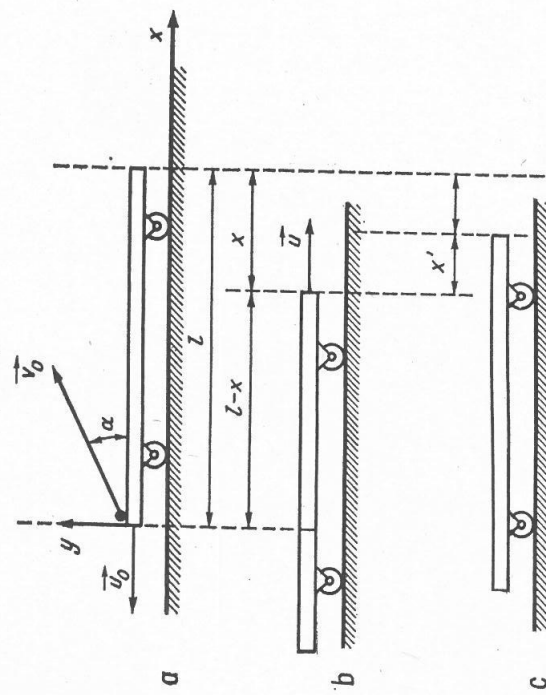


Fig. 2.58. Pentru problema rezolvată 1.

Legile de mișcare ale căruciorului:

$$\begin{aligned} u_0 - \mu gt &= 0 \quad (\text{mișcare uniform incinetită cu viteza finală nulă}) \\ u_0^2 &= 2\mu gx. \end{aligned} \quad (2)$$

Legea de mișcare a omului pe direcția mișării platformei

$$l - x = v_0 \cos \alpha \cdot t = \frac{2\mu g \sin \alpha \cos \alpha}{g}. \quad (3)$$

a) Înlocuind în relația (3) pe x cu valoarea dată de relația (2) și înmulțind seama de valoarea lui u_0 din relația (1) rezultă

$$v_0 = \sqrt{\frac{l g}{m^2 \cos^2 \alpha + \sin 2\alpha}}$$

Probleme rezolvate. 1. Un om de masă m (considerat punct material) se află la capătul unui cărucior-platformă de lungimea l și masă M aflat în repaus. Să se afle:

- a) cu ce viteza și după ce direcție trebuie să sără omul pentru ca să atenizeze la celalalt capăt al platformei exact în momentul în care căruciorul să aibă;
- b) spațiu parcurs de cărucior după ce omul a aterizat pe platformă.

În ambele cazuri coeficientul de freare dintre cărucior și planul orizontal este μ . Timpul de interacție dintre om și platformă este mic în comparație cu timpul de deplasare prin aer.

B. Căderea omului pe platformă (fig. 2.58, b).

Se aplică conservarea impulsului pe direcția de mișcare a platformei: $mu_0 \cos \alpha = (M + m) u$.

Legea de mișcare a căruiorului este:

$$u^2 = 2\mu g r'$$

$$\text{b)} x' = -2\mu g(M + m)^2.$$

2. Pe un scripete cu raza r și momentul de inertie J (față de axa de simetrie) ce se rotește în jurul unui ax orizontal (fig. 2.59) este trecut un fir inextensibil, de masă neglijabilă care are la capete două corpuri cu masele M_1 și M_2 ($M_2 > M_1$). Calculați:

a) accelerarea sistemului cind este supus gravitației;

b) tensiunea în cele două ramuri ale firului.

Rezolvare

Această problemă se poate rezolva utilizând diferite legi fundamentale din fizică.

A. *Rezolvare prin aplicarea principiului lui D'Alambert:* Iată de referință propriu, un corp este tordeană in echilibru sub acțiunea forțelor aplicate, de legătură și de inertie:

$$M_2 g - T_2 - M_2 a = 0 \quad (1)$$

$$-M_1 g + T_1 - M_1 a = 0 \quad (2)$$

Scripetele este supus acțiunii celor două tensiuni, aplicând legea fundamentală a mecanicii pentru mișcarea de rotație

$$(T_2 - T_1)r = J\epsilon,$$

sau

$$T_2 - T_1 = \frac{J}{r^2}a. \quad (3)$$

Adunând primele două relații și înlocind seama de a treia relație rezultă:

$$\text{a)} \quad a = g \frac{M_2 - M_1}{J + M_1 + M_2}.$$

b) Înlocuind pe a în relația (1) și în relația (2) se obțin tensiunile:

$$T_1 = M_1 g \frac{\frac{J}{r^2} + 2M_2}{\frac{J}{r^2} + M_1 + M_2}, \quad T_2 = M_2 g \frac{\frac{J}{r^2} + 2M_1}{\frac{J}{r^2} + M_1 + M_2},$$

Observație: În cazul cind se poate neglija momentul de inerție al scripetelui $J = 0$, acestea derină $a = g \frac{M_2 - M_1}{M_2 + M_1}$, iar tensiunile $T_1 = T_2$.

B. *Rezolvare prin aplicarea teoremei de variație a momentului cinetic :*

Considerind $E_{ct} = 0$, variația de energie cinetică este

$$\Delta E_c = L_{int} + L_{ext}.$$

(corpurile au aceeași viteză, deoarece firul este inextensibil).

Lucrul mecanic al forțelor interioare este

$$L_{int.} = -T_2 h + T_1 h + (T_2 - T_1)h = 0,$$

$\{-T_2h$ este lucrul mecanic efectuat de corpul de masă M_2 , T_1h este lucrul efectuat de corpul de masă M_1 , $(T_2 - T_1)x$, este lucrul mecanic efectuat de momentul tensiunilor asupra scripetelui; s-a înlocuit $h = xr$ deoarece firul nu alunecă pe scripete).

Lucrul mecanic al forțelor exterioare este

$$L_{ext} = g(M_2 - M_1)r.$$

Înlocuind în teorema de variație a energiei cinetice se obține

$$\frac{1}{2} \omega^2 (J + M_1 r^2 + M_2 r^2) = g(M_2 - M_1) \frac{\omega^2 r^2}{2a}.$$

$$\left(\text{s-au efectuat înlocuirile } h = \frac{r^2}{2a} = \frac{\omega^2 r^2}{2a} \right).$$

Acceleratia a a sistemului este:

$$a = g \frac{M_2 - M_1}{J + M_1 + M_2}.$$

Observație: Expresia $J + M_1 r^2 + M_2 r^2$ reprezintă momentul de inerție al întregului sistem față de axul de rotație al scripetelui.

C. *Rezolvare prin aplicarea teoremei de variație a momentului cinetic:*

$$\Delta \vec{L} = \vec{\omega} \vec{F}_s \Delta t.$$

Momentul cinetic al sistemului la un moment dat este

$$\vec{L}_s = (J + M_1 r^2 + M_2 r^2) \vec{\omega}.$$

iar variația momentului cinetic este

$$\Delta \vec{L} = (J + M_1 r^2 + M_2 r^2) \Delta \vec{\omega}.$$

Momentul forțelor exterioare față de axul scripetelui este

$$\vec{\omega} \vec{F}_s = (\vec{r} \times M_2 \vec{g} + \vec{r} \times M_1 \vec{g}).$$

Înlocuind în teorema de variație a momentului cinetic, rezultă

$$(J + M_1 r^2 + M_2 r^2) \Delta \vec{\omega} = (\vec{r} \times M_2 \vec{g} + \vec{r} \times M_1 \vec{g}) \Delta t.$$

De unde:

$$\vec{a} = \frac{\Delta \vec{\omega}}{\Delta t} \times \vec{r} = \frac{\vec{r} \times M_2 \vec{g} + \vec{r} \times M_1 \vec{g}}{J + M_1 r^2 + M_2 r^2} \times \vec{r},$$

sau în modul

$$a = g \frac{M_2 - M_1}{J + M_1 + M_2}.$$

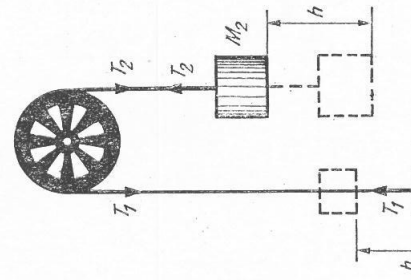


Fig. 2.59. Pentru problema rezolvării 2.

3. Două sfere A și B de mase m se ciocnesc. În momentul ciocnirii ele au vitezele egale în modul $|\vec{v}|$, iar direcțiile lor facță unghiul α (fig. 2.60). Să se determine:
- vitezele celor două sfere după ciocnire;
 - unghiul α astfel încât viteză sferii B după ciocnire să fie cea mai mare;
 - condiția ca după ciocnire sfera B să fie deviată cu 90° față de direcția inițială.
- Se va considera coeficientul de restituire k .

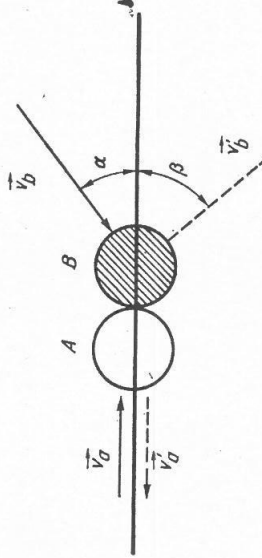


Fig. 2.60. Pentru problema rezolvată 3.

Rezolvare

Se alege ca axă Ox direcția de deplasare a sferii A , Oy va fi perpendiculară pe aceasta.

Se aplică conservarea impulsului pe cele două direcții:

$$\begin{aligned} Ox: v_a - v_b \cos \alpha &= -v'_a + v'_b \cos \beta \\ Oy: v_b \sin \alpha &= \sin \beta. \end{aligned} \quad (1)$$

Ciocnirea efectuindu-se cu un coeficient de restituire k , acesta va avea valoarea

$$k = \frac{v'_b \cos \beta + v'_a}{v_a + v_b \cos \alpha}. \quad (2)$$

a) Din rezolvarea sistemului format din relațiile (1) și (2) rezultă:

$$v'_a = \frac{1}{2} v [k(1 + \cos \alpha) - (1 - \cos \alpha)],$$

$$v'_b = v \sqrt{\sin^2 \alpha + \frac{1}{4} [k(1 + \cos \alpha) + (1 - \cos \alpha)]^2}$$

$$\operatorname{tg} \beta = \frac{2 \sin \alpha}{k(1 + \cos \alpha) + (1 - \cos \alpha)}.$$

b) Între vitezele v'_a și v'_b trebuie să existe relația:

$$v'_b > v'_a.$$

efectuind înlocuirile se obține

$$\cos 2\alpha < k.$$

c) Pentru ca după ciocnire direcția bilei B să facă cu direcția inițială 90° , trebuie ca:

$$\alpha + \beta = 90^\circ.$$

Rezultă că:

$$\operatorname{tg} \beta = \operatorname{ctg} \alpha.$$

Efectuând înlocuirile se obține:

$$a) \cos^2 \alpha + \cos \alpha - \frac{2}{1+k} = 0.$$

$$b) \cos \alpha - \cos \alpha - \frac{2}{1+k} = 0.$$

Rezolvind ecuația se obține:

$$\cos \alpha = \frac{-1 \pm \sqrt{1 + \frac{8}{1+k}}}{2}.$$

Deoarece cosinusul nu poate avea valori decât în intervalul $[-1, +1]$, problema este posibilă numai pentru

$$-1 < \frac{-1 \pm \sqrt{1 + \frac{8}{1+k}}}{2} < 1.$$

PROBLEME

1. Vectorul de poziție al unei particule variază în funcție de timp după legea $\vec{r} = \vec{C}t(1-\alpha t)$ unde \vec{C} este un vector constant și α o constantă pozitivă. Determinați:

- viteza \vec{v} și accelerarea \vec{a} în funcție de timp;
- intervalul de timp Δt după care particula revine în punctul de plecare și lungimea sa a drumului parcurs în acest timp.

$$R: a) \vec{v} = \vec{C}(1-2\alpha t), \quad a = -2\alpha \vec{C}; \quad b) \quad t = \frac{1}{\alpha}, \quad s = \frac{C}{2\alpha}.$$

2. O particulă se deplasează în sensul pozitiv al axei x cu viteza $v = c\sqrt{x}$ unde c este o constantă pozitivă. Stînd că la momentul inițial $t = 0$, $x = 0$, determinați:

- viteza și accelerarea particulei în funcție de timp;
- viteza medie a particulei în intervalul de timp necesar parcurgerii distanței d .

$$R: a) \quad v = \frac{c^2 t}{2}, \quad a = \frac{c^2}{2}; \quad b) \quad \bar{v} = c\sqrt{\frac{d}{2}}.$$

3. Asupra unui punct material liber de masă $m = 1$ kg acționează o forță de componente $F_x = 3$ N, $F_y = 4$ N. Determinați:

- accelerația a a punctului material;
- viteza după 3 secunde de la începutul mișcării ($v_0 = 0$);
- legea de mișcare ($s_0 = 0$);
- traекторia.

$$R: a) \quad a = (3\vec{i} + 4\vec{j}) \frac{m}{s^2}; \quad b) \quad \vec{v} = (9\vec{i} + 12\vec{j}) \frac{m}{s}; \quad c) \quad \vec{r} = \left(\frac{3}{2}\vec{i} + 2\vec{j}\right) t^2 m;$$

$$d) \quad y = \frac{4}{3} x.$$

4. Pe un plan inclinat de un unghi $\alpha = 45^\circ$ coboară, cu freccare, un corp de masă m . Legile parametrice ale mișcării acestui corp sunt: $x = 0,2 g t^2$ (direcție paralelă cu planul) (direcție perpendiculară pe plan). Determinați coeficientul de freccare a corpului cu planul inclinat.

$$R: \mu = 0,43.$$

5. Un corp cu masa de 1 kg se deplasează cu viteza initială $v_{0x} = 2\text{ m/s}$, $v_{0y} = 0$. Asupra acestui corp în momentul cind se află în poziția $x_0 = 0$, $y_0 = 0$, începe să acționeze o forță $F_1 = 4\text{ N}$ care face cu Ox un unghi $\alpha = 30^\circ$. După 5 s începe să acționeze forța $F_2 = 4\text{ N}$ care face cu Ox un unghi $\beta = 90^\circ$. Determinați pentru fiecare din cele două stări de mișcare ale corpului:

a) accelerată;

b) viteza;

c) legea de mișcare;

$$\mathbf{R}: 1. \quad a) \vec{v}_1 = (2\sqrt{3}\hat{i} + 2\hat{j})\frac{\text{m}}{\text{s}^2}; \quad b) \vec{v}_2 = [(2 + 2\sqrt{3})\hat{i} + 2t\hat{j}]\frac{\text{m}}{\text{s}};$$

$$c) \vec{r} = [(2 + \sqrt{3})t\hat{i} + t^2\hat{j}]\frac{\text{m}}{\text{s}},$$

$$2. \quad a) \vec{a}_2 = (2\sqrt{3}\hat{i} + 6\hat{j})\frac{\text{m}}{\text{s}^2}; \quad b) \vec{v}_2 = [(2 + 10\sqrt{3} + 2\sqrt{3}t)\hat{i} + (10 + 6t)\hat{j}]\frac{\text{m}}{\text{s}},$$

$$c) \vec{r}_2 = [(10 + 25\sqrt{3} + (2 + 10\sqrt{3})t + \sqrt{3}t^2)\hat{i} + (25 + 10t + 3t^2)\hat{j}]\text{m}.$$

6. Un punct material de masă m se mișcă pe o trajecorie circulară de rază R sub acțiunea unei forțe centrale de atracție $F = -\frac{k}{R^2}$ a cărei direcție trece prin centrul cercului, iar k este o constantă. Determinați:

- a) energiile cinetică, potențială și totală ale punctului material;
b) impulsul și momentul cinetic al punctului material.

$$\mathbf{R}: a) E_c = \frac{k}{2R}, \quad E_p = -\frac{k}{R}; \quad b) p = \sqrt{\frac{km}{R}}, \quad L = \sqrt{kmR}.$$

7. Doi protoni având fiecare energia cinetică $E_c = 8 \cdot 10^{-11}\text{ J}$, se mișcă unul spre celălalt. Să se calculeze distanța R pînă la care se pot apăra protonii, dacă între ei se manifestă numai forțe de respingere electrostatică, de forma $F = k \frac{e^2}{r_*^2}$, $k = 9 \cdot 10^9 \text{ N} \cdot \text{m}^2/\text{C}$, $e = 1,6 \cdot 10^{-19}\text{ C}$.

$$\mathbf{R}: R = \frac{ke^2}{2E_c} \approx 10^{-18}\text{ m}.$$

8. Doară particulele se deplasează într-un referential R urmînd axa x : una cu masa m_1 și viteza \vec{v}_1 , alta cu masa m_2 și viteza \vec{v}_2 . Calculați:

- a) viteza \vec{V} a unui referential R' față de care energia cinetică a acestor particule este minimă;

b) energia cinetică totală a acestor particule în referentialul R' .

$$\mathbf{R}: a) \vec{V} = \frac{m_1\vec{v}_1 + m_2\vec{v}_2}{m_1 + m_2}; \quad b) E_c = \frac{m_1m_2}{m_1 + m_2} \cdot \frac{(v_1 - v_2)^2}{2}.$$

9. La prora și la pupă unei bărci de masă M și lungime l sunt asezate două persoane cu masele m_1 și m_2 . Neglijînd rezistența apăi, determinați în ce sens și cu cit se va depăsa barca, dacă persoanele își schimbă locul.

$$\mathbf{R}: x = \frac{m_2 - m_1}{M + m_1 + m_2} l \quad (\text{dacă } m_2 > m_1 \text{ barca se deplasează spre poziția initială a lui } m_2).$$

10. Un proiectil explodează în punctul cel mai de sus al traiectoriei sale, la înălțimea $h = 19,6\text{ m}$, despărțindu-se în două părți egale. După un timp $t = 1\text{ s}$, una dintre ele cade pe pămînt pe verticală locului unde s-a produs explozia. La ce distanță d_2 de localul tragediei va cădea a doua jumătate a proiectilului, dacă prima a căzut la distanța $d_1 = 1\text{ 000 m}$. Nu se ține seamă de rezistența aerului.

$$\mathbf{R}: d_2 = d_1 \cdot \left\{ \sqrt{\frac{2g}{h}} \left[\frac{h}{gt} - \frac{t}{2} + \sqrt{\left(\frac{h}{gt} + \left(\frac{h}{gt} - \frac{t}{2} \right)^2 \right)} \right] + 1 \right\} = 5\text{ 000 m}.$$

11. Două persoane, cu masa m fiecare, stau pe margininea unui cărucior imobil de masă M . Neglijînd frecările, determinați viteza pe care o va avea căruciorul dacă cele două persoane sar cu aceeași viteză orizontală \vec{u} fată de cărucior:

- a) simultan;

b) una după alta.

c) în ce caz viteza căruciorului va fi mai mare și de cite ori?

$$\mathbf{R}: a) \vec{v}_1 = -\frac{2m}{M + 2m} \vec{u}; \quad b) \vec{v}_2 = -\frac{m(2M + 3m)}{(M + m)(M + 2m)} \vec{u};$$

$$c) v_2/v_1 \text{ mai mare ca } 1, \left(1 + \frac{m}{2} \right) (M + m) = \frac{v_2}{v_1}.$$

12. Un cărucior incărcat cu nișip este acționat în unghiul unui plan orizontal de o forță constantă \vec{F} care are aceeași orientare cu vectorul vitezei. Printr-un orificiu aflat pe fundul căruciorului se scurge nișip cu debitul constant $\mu \text{ kg/s}$. Determinați accelerarea și viteza căruciorului la momentul t , dacă la momentul $t = 0$ masa era m_0 și viteza nuă. Se neglijă frecările.

$$\mathbf{R}: \vec{a} = \frac{\vec{F}}{m_0 - \mu t}; \quad \vec{v} = \frac{\vec{F}}{\mu} \log \frac{m_0}{m_0 - \mu t}$$

13. Un vagon platformă de masă m_0 este antrinat în mișcare în direcție orizontală de o forță constantă F . Dintre un dispozitiv de încărcare imbolbă se scurge nișip, în vagon, cu debit constant $\mu \text{ kg/s}$. Determinați, în funcție de timp, viteza și accelerarea vagonului în timpul încărcării.

$$\mathbf{R}: \vec{v} = \vec{F}/(m_0 + \mu t); \quad \vec{a} = \vec{F}/(m_0 + \mu t)^2.$$

14. Un volant, cu axul orizontal, este construit dintr-un disc plin, de 20 cm diametru și cu 3 cm grosime, din fontă cu densitatea $7\ 800 \text{ kg/m}^3$. Pe janta sa este rulat un fir care susține un corp cu masa M .

a) Ce valoare trebuie să aibă masa M a corpului pentru ca acesta să coboare cu 1 m în 2 s^2 ?

b) Care este în acest caz tensiunea în fir?

$$\mathbf{R}: a) M = 0,197\text{ kg}; \quad b) T = 1,83\text{ N}.$$

15. Feste un scripete cu raza de 10 cm este trecut un fir care are la capete două corpuși cu aceeași masă $M = 220\text{ g}$. Cind se așază pe unul din corpurii un altul cu masa $m = 5\text{ g}$, sistemul parcurge $1,80\text{ m}$ în 6 s . Calculați:

a) accelerarea cu care coboară corpul suprăincărcat și accelerarea scripetelui;

b) tensiunile în cele două ramuri ale firului;

c) momentul de inerție al scripetelui în raport de axul său.

d) Ce eroare se face neglijînd momentul de inerție al scripetelui?

$$\mathbf{R}: a) a = 0,1\text{ m/s}^2, \epsilon = 1\text{ rad/s}^2; \quad b) T = 2,1825\text{ N}, T' = 2,1780\text{ N}; \\ c) J = 45 \cdot 10^{-5} \text{ kg m}^2; \quad d) \text{eroare de } 10\%.$$

16. Pe un scripete cu masa $m = 4\text{ g}$ și rază $r = 8\text{ cm}$, este trecut un fir care are la capete corpuși cu masele $M = 250\text{ g}$ și respectiv $M' = 200\text{ g}$.

a) Cind corpul de masă M se atîngă la 2 m deasupra solului se lasă sistemul liber, care este viteza corpului cind atîngă solul?

b) Care este accelerarea de cădere a corpului?

c) Care este tensiunea în cele două ramuri ale firului în timpul mișcării?

d) Cind corpul ciocnește solul, firul sare de pe janta scripetelui. Care este atunci viteza.

scripetelui în trei/s? Ce forță trebuie exercitată tangențial la jantă pentru a opri scripetele în 3 trei?

Se va presupune totă masa scripetelui repartizată pe jantă; acceleratia gravitațională este $g = 9,8 \text{ m/s}^2$.

$$\mathbf{R}: a) v = 2 \text{ m/s}; b) a = 1 \text{ m/s}^2; c) T = 2,20 \text{ N}, T' = 2,16 \text{ N}; d) N = 4 \text{ ture/s}, F = 0,053 \text{ N}.$$

17. Un volant cu ax orizontal are masa $M = 1,50 \text{ kg}$ pe care o putem considera repartizată pe janta sa, cu raza $r = 10 \text{ cm}$. Un fir înfișurat pe janta volantului susține un corp A de masă $m = 100 \text{ g}$.

a) Care este viteza corpului A la sosirea sa la sol, la 2 m față de poziția inițială? Care este durata mișcării?

b) La acest volant este fixat un scripete cu același ax, cu masa neglijabilă și cu raza $r' = 4 \text{ cm}$. Se suprime corpul A și se înfișoară pe scripete, în sens invers, un fir de care se poate să se modifice viteza u față de platformă. Cum se modifică viteza unghiulară a sistemului?

c) Se înfișoară, simultan, în sens invers pe volant și scripete firele de care sunt prinse corpurile A și B . Se lasă sistemul liber. Care este sensul de mișcare al celor două corpuri? Care este viteza cu care corpul atinge solul? Care este durata mișcării?

$$\mathbf{R}: a) v = 1,57 \text{ m/s}, t = 2,57 \text{ s}; b) v' = 0,90 \text{ m/s}, t' = 4,5 \text{ s}; c) corpul A coboară și corpul B urcă, $v'' = 0,69 \text{ m/s}, t'' = 5,75 \text{ s}$.$$

18. Pe un cilindru C , cu axul orizontal, cu raza $r = 5 \text{ cm}$, la care se presupune neglijabil momentul de inerție, este înășurată un fir care este atașat unui corp A cu masa $m = 1 \text{ kg}$. De axul lui C este fixată o bară BD cu masa neglijabilă, cu lungimea $l = 40 \text{ cm}$, având la extremitatea corpului cu masa $m' = 250 \text{ g}$ (fig. 2.61). Se neglijeează rezistența aerului în timpul mișcării.

a) Care este acceleratia mișcării lui A dacă el este lăsat liber?

b) Care este viteza unghiulară a barei BD după ce a tăcut 10 ture plecind din poziția inițială ($g = 9,8 \text{ m/s}^2$)?

$$\mathbf{R}: a) a = 1,09 \text{ m/s}^2; \omega = 52,3 \text{ rad/s}.$$

19. Un om cu masa m se află pe o platformă orizontală, de formă unui disc, la distanța R de axul de rotație al platformei. Initial sistemul platformă-om se află în repaus. Omul începe să se miște pe o circumferință de rază R cu viteza u față de platformă. Stînd că momentul de inerție al platformei este J , calculați:

a) viteza unghiulară a platformei;

b) depasarea unghiulară a omului față de un referential R.I. solidar cu Pământul la o tură completă pe disc.

$$\mathbf{R}: a) \omega = -\frac{u}{R} \cdot \frac{1}{1 + \frac{J}{mR^2}}; b) \alpha = \frac{2\pi}{1 + \frac{mR^2}{J}}.$$

20. Pe o platformă orizontală, în formă de disc, care se poate roti liber în jurul axului său vertical fix, cu moment de inerție J , stă la distanța R de centru un om cu masa m (considerat punct material). Omul se deplasează radial către centrul platformei pînă la o distanță $r < R$, sistemul avind inițial viteza unghiulară ω_0 . Să se calculeze, funcție de distanța omului pînă la centrul platformei:

a) viteza unghiulară a sistemului;

b) variația energiei cinetice a sistemului;

c) Cum se modifică aceste rezultate cind $r > R$?

$$\mathbf{R}: a) \omega = \frac{(J + mR^2)\omega_0}{J + mr^2}; b) \Delta E_c = \frac{1}{2} m(R^2 - r^2) \frac{J + mR^2}{J + mr^2}.$$

21. În lungul marginii unei platforme orizontale, în formă de disc, cu masa M și raza R , să se monteze și se poată deplasa un wagonet cu masa m . Sistemul format din wagonet, platformă și platformă se mișcă cu viteza unghiulară ω_0 în jurul unui ax vertical ce trece prin centrul platformei perpendicular pe ea. La un moment dat wagonetul începe să se deplaseze pe sine cu o viteza u față de platformă. Cum se modifică viteza unghiulară a acestei platforme în funcție de sensul de mișcare al wagonetului?

$$\mathbf{R}: \omega = \omega_0 \pm \frac{m}{0,5 M + m} \cdot \frac{u}{R}.$$

22. Pe un disc orizontal în rotație în jurul unui ax perpendicular pe planul său care trece prin centrul discului, se așază două corpuri așezate simetric față de centru și legate între ele printr-un ir. La un moment dat firul se rupe și corpurile se mișcă cu frecare spre marginea discului. Cum se va modifica:

a) energia cinetică a sistemului format din disc și corpuri?

b) impulsul discului și al corpurilor?

c) momentul cinetic?

$$\mathbf{R}: a) \Delta E_c = L \cdot (al forțelor de freare); b) \vec{p}_{disc} + 2\vec{p}_{corp} = 0; c) \Delta \vec{L} = 0.$$

23. Un sistem de puncte materiale este format din 4 puncte de mase $m_1, 2m_1, 3m_1, 4m_1$ așezate în linie dreaptă la distanțe egale d . Calculați:

a) poziția centrului de masă al acestui sistem;

b) momentul de inerție al sistemului față de o axă perpendiculară pe dreapta comună ce trece prin primul, al doilea, al treilea, al patrulea punct.

$\mathbf{R}: a)$ coincide cu poziția punctului cu masa $3m_1$; $b)$ $50 \text{ m}^2; 20 \text{ m}^2; 10 \text{ m}^2; 20 \text{ m}^2$.

24. Un sistem de puncte materiale este format din 4 puncte de mase $m, 2m, 3m, 4m$ așezate în virful unui patrat de latură l . Calculați:

a) centru de masă al acestui sistem;

b) momentul de inerție față de o axă perpendiculară pe planul patratului ce trece prin primul punct, prin centrul patratului.

$$\mathbf{R}: a) x_c = \frac{1}{2}d, y_c = \frac{3}{10}d \text{ (originea sistemului în corpul cu masa } 4m\text{)}; b) 12 \text{ m}^2; 5 \text{ m}^2.$$

25. Un corp este format din doi cilindrii cu axul comun, de mase $m_1 = 5 \text{ kg}, m_2 = 30 \text{ kg}$, înălțimi $h_1 = 10 \text{ cm}, h_2 = 15 \text{ cm}$, diametrii $d_1 = 10 \text{ cm}, d_2 = 20 \text{ cm}$ (fig. 2.62).

a) Presupunând corpul omogen calculați centrul de masă a sistemului și momentul de inerție față de axul de simetrie al cilindrilor.

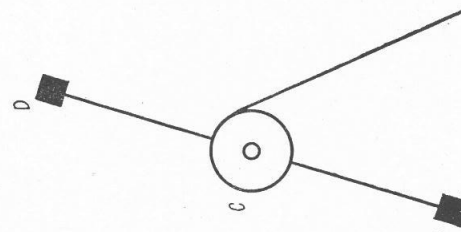


Fig. 2.61. Pentru problema 18.

Fig. 2.62. Pentru problema 25.

b) Presupunind substanță din care sunt confecționați cilindrii distribuită la periferia lor pe o grosime $e = 1$ cm, răspindetă la același întrebări.

R: a) $x_c = 15,7$ cm față de baza cilindrului 1, $J = 0,16 \text{ kg} \cdot \text{m}^2$; b) $J = 0,28 \text{ kg} \cdot \text{m}^2$.

26. Două mici corpuri de masă m_1 și m_2 legate printre-un resort de masă neglijabilă se află pe un plan orizontal. Se imprimă acestor corpuri vitezele v_1 și v_2 astfel ca cei doi vectori să fie perpendiculari. Calculați energia totală a acestui sistem din referențialul centru lui de masă.

$$R: E_0 = \frac{m_1 \cdot m_2}{m_1 + m_2} \left(\frac{v_1^2 + v_2^2}{2} \right).$$

27. Două sfere de masă m_1 și m_2 se ciocnesc central, perfect elastic. În momentul ciocnirii ele au vitezele egale și de sens contrar, iar după ciocnire sfera de masă m_2 ramine pe loc. Determinați:

- a) raportul dintre masele celor două sfere pentru ca problema să fie posibilă;
b) viteza sferei de masă m_1 după ciocnire.

$$R: a) m_2/m_1 = 3; b) v'_1 = -2v_1.$$

28. Un proiectil de 200 g izbăște cu o viteza de 350 m/s un corp plastic de 60 kg. După ciocnire întreg sistemul are o miscare de translatăie rectilinie, pe suportul vitezei proiectilului. Calculați viteza mișcării sistemului după ciocnire.

$$R: 1,16 \text{ m/s}.$$

29. Un corp de masă $m_1 = 50$ kg se deplasează rectiliniu, cu o viteza $v_1 = 2$ m/s. În mișcarea sa, acest corp ciocnește central cu alt corp, de masă $m_2 = 20$ kg, care se deplasează și el rectiliniu cu o viteza $v_2 = 1,5$ m/s. Ciocnirea fiind perfect elastică, se cer vitezele corpurilor după ciocnire în următoarele cazuri:

- a) ambele viteze au aceeași sens;
b) cele două viteze au sensuri contrare.

$$R: a) v'_1 = 1,72 \text{ m/s}, v'_2 = 2,22 \text{ m/s}; b) v'_1 = 0, v'_2 = 3,5 \text{ m/s},$$

30. Demonstrați că variația energiei cinetice a două corpuși care se ciocnesc plastic depinde numai de viteza relativă înainte de ciocnire și de masele corpuri.

$$R: \Delta E_C = \frac{m_1 m_2}{m_1 + m_2} \cdot \frac{(v_1 - v_2)^2}{2}.$$

31. Construiați grafic vitezele și direcțiile mișcării, după ciocnire, a două bile sféricе cu masele m_1 și m_2 , care se întâlnesc oblic. Se va studia cazul corpuriilor perfect plastice și perfect elastice.

32. O mină de dimensiuni mici, având un coeficient de restituție k , este aruncată dintr-un punct O , cu viteza v_0 , sub un unghi α față de sol, presupus orizontal și imobil. Neglijind fricare și rezistența aerului, minăea cade în A , astfel încât $OA = x_1$. După ciocnire, mingea se deplasează cu viteza v_1 , sub unghiul β și asa mai departe. Dinduse v_0 , α , k , să se afle:

- a) distanța totală parcursă de mină;
b) timpul total, pînă la oprire.

$$R: a) x = \frac{v_0^2 \sin 2\alpha}{(1 - k)g}; b) t = \frac{2v_0}{(1 - k)g} \sin \alpha.$$

33. Un neutron se ciocnește cu un nucleu de carbon a cărui masă este de $n = 12$ ori mai mare decit a neutrului. Considerind că nucleul de carbon are viteza nula, determinați de cîte ori se micșorează energia cinetică a neutrului este perpendiculară pe cea inițială:

- a) ciocnirea este centrală;
b) după ciocnire direcția de mișcare a neutrului este perpendiculară pe cea inițială.

$$R: a) 1,4; b) 1,2.$$

34. Un titirez cu masa $m = 0,5 \text{ kg}$, a cărui axă face un unghi $\alpha = 30^\circ$ cu verticala, efectuează o precesie sub acțiunea greutății. Momentul de inerție al titirezului în raport cu axa lui de simetrie este $J = 2 \text{ g} \cdot \text{m}^2$, viteza unghiulară în jurul acestei axe este $\omega = 350 \text{ rad/s}$, distanță dintre punctul de sprijin și centrul de masă al titirezului este $l = 10 \text{ cm}$. Calculați:

- a) viteza unghiulară de precesie a titirezului;
b) valoarea și sensul componentei orizontale a forței de reacție care acționează asupra titirezului în punctul de sprijin.

$$R: a) \omega = 0,7 \text{ rad/s}; b) F = 0,010 \text{ N}.$$

35. Să se afle perioada de precesie a unui titirez sub acțiunea greutății, avind masa $m = 200 \text{ g}$, momentul de inerție $J = 2 \text{ kg} \cdot \text{cm}^2$, turata proprie $n = 20 \text{ rot/s}$ și distanța de la punctul de sprijin la centrul de greutate $d = 5,0 \text{ cm}$.

$$R: T = 1,6 \text{ s}.$$

36. Un mic giroscop assimilat cu un disc omogen cu masa $m = 100 \text{ g}$ și rază $r = 5 \text{ cm}$ este lansat cu viteza de 3600 turn/min . Pe fata sa laterală se aplică o patină de frânare avind aceeași acțiune ca o forță rezistentă tangențială cu intensitatea F constantă. Calculați F știind că giroscopul se oprește după 5 s.

$$R: F = 0,2 \text{ N}.$$

37. Rotorul orizontal al turbinei unui vapor are momentul de inerție $J = 10^3 \text{ kg} \cdot \text{m}^2$ și turata $n = 600 \text{ rot/min}$. Calculați forțele giroscopice exercitate asupra lagărelor, distanță dintre ele fiind de 1 m, atunci când vaporul face un viraj de rază $r = 100 \text{ m}$ cu viteza $v = 36 \text{ km/h}$.

$$R: F_\theta = 6,28 \text{ kN}.$$

38. O locomotivă este pusă în mișcare de o turbină al cărei ax este paralel cu axul roților. Sensurile de rotație, al roților și al turbinei, coincid. Momentul de inerție al rotorului turbinei în raport cu axa sa de simetrie este $J = 240 \text{ kg} \cdot \text{m}^2$. Calculați forța de presiune suplimentară asupra sinelor datorată efectului giroscopic, dacă locomotiva efectuează un viraj cu rază $R = 250 \text{ m}$ cu viteza $v = 50 \text{ km/h}$. Distanța dintre sine este $l = 1,5 \text{ m}$, turata turbinei este $n = 1500 \text{ tur/min}$.

$$R: F_\theta = 1,4 \text{ kN}, mărește presiunea pe sinele exterioare și o micșorează pe celă interioare.$$

39. Un volant cu masa de 0,5 t are diametrul de 1,5 m. Substanța din care este confectionat volantul se va considera distribuită la periferia lui. Calculați lucru mecanic necesar ce trebuie efectuat pentru a aduce volantul din repaus la turata de 120 tur/min (frecarea se neglijă).

$$R: L = 22,2 \text{ kJ}.$$

40. Între două momente t_1 și t_2 lucrul mecanic al cuplului motor al unui volant depășeste pe cel rezistent cu 22 500 J. Știind că viteza unghiulară de regim este 1,5 tur/s, calculați momentul de inerție, fără de axa sa, pe care ar trebui să-l aribă acest volant pentru ca, între cele două momente, viteza unghiulară să nu varieze cu mai mult de 1/10 din valoarea sa. Substanța din care este confectionat volantul este practic repartizată în întregime pe jantă aflată la 1,5 m de axă, calculați masa volantului.

$$R: J = 2,540 \text{ kg} \cdot \text{m}^2; m = 2,250 \text{ kg}.$$

41. Un rotor vertical de formă cilindrică care are momentul de inerție în raport cu axa sa J , se rotește sub acțiunea unui moment motor \mathcal{M} . Asupra acestui cilindru mai acționează și un moment datorat forțelor rezistive $\mathfrak{M}_r = -\mu \omega$. Arătați cum variază viteza unghiulară în timpul mișcării.

$$R: \omega = \frac{\mathcal{M}}{\mu} (1 - e^{-\frac{\mu}{J} t}),$$

42. Racheta Atlas C a cărei masă la lansare este de 100 t are trei propulsori repartizați în două etaj; doi propulsori în primul etaj dezvoltă focare o forță de impingere de $667,1 \cdot 10^3$ N; al treilea propulsor, din etajul al doilea, dezvoltă o forță de impingere de $274,7 \cdot 10^3$ N. Cei trei propulsori sunt aprinși de la lansare. Viteza de evacuare a gazului este de 2 400 m/s, comună la cei trei propulsori. Calculați, pentru fiecare propulsor:

- a) acceleratia la sol;
b) debitul masic de comburant.

$$\text{R: } a = 16,1 \text{ m/s}^2; b) \mu = 278 \text{ kg/s.}$$

43. O rachetă este propulsată de un jet continuu de gaz care ieșe cu viteza $v = 5000$ m/s. Masa rachetei este $M = 10$ t și rezistența aerului este neglijabilă. Care trebuie să fie masa gazului pe secundă pentru ca racheta să se ridice vertical cu o acceleratie $a = 8$ m/s²? (Se va considera acceleratia gravitațională 10 m/s²)

$$\text{R: } \mu = 36 \text{ kg/s.}$$

44. În mariile rachete utilizate pentru lansarea de stații spațiale, debitul masic de comburant poate depăși $\mu = 1000$ kg/s și viteza de evacuare este $v = 4000$ m/s. Calculați forța de impingere.

$$\text{R: } F = 4 \cdot 10^6 \text{ N.}$$

45. O rachetă, inițial în repaus, aruncă un jet uniform de gaze cu viteza $u = 300$ m/s (în raport cu racheta). Masa inițială a rachetei este $m_0 = 270$ g, iar debitul gazelor evacuate este $\mu = 90$ g/s.

- a) După cât timp de la pornire racheta va avea viteza $v = 40$ m/s?
b) Ce viteză va avea racheta după terminarea masei combustibilului, masa carburantului fiind $m_e = 180$ g? (Se neglijază rezistența aerului.)

$$\text{R: } a) t = 0,37 \text{ s; } b) v = 330 \text{ m/s.}$$

46. Un vehicul spațial cu masa m_0 se deplasează cu viteza constantă v_0 , în absența forțelor exterioare. Pentru a-i modifica direcția de mișcare, se acționează un motor cu reacție care evită gazează gazul cu viteza u constantă în raport cu vehicul și constant perpendiculară pe direcția de mișcare. La sfârșitul funcționării motorului masa vehiculului a devenit m . Cu ce unghi a deviat direcția vehiculului după funcționarea motorului?

$$\text{R: } \operatorname{tg} \alpha = \frac{u}{v_0} \log \frac{m_0}{m}.$$

3. CĂMP ELECTROMAGNETIC

3.1. CĂMPUL ELECTROMAGNETIC

3.1.1. Introducere. Încercând să înțelegem și să explicăm fenomenele electrice și magnetice, am fost nevoiți să introducem noțiunea de cimp electric și de cimp magnetic. Discutând despre fenomenele luminoase am afărat că lumina este de natură electromagnetică. Studiind atomul, am ajuns la concluzia că sediul emisiei undelor electromagnetice este atomul sau particulele încărcate cu sarcină electrică.

Să încercăm în continuare să ne formăm o imagine unitară asupra acestui domeniu vast care în realitate este seculul celor mai multe fenomene percepute de către noi și pe care putem să-l denumim „univers electromagnetic“.

3.1.2. Conceptul de cimp. Să ne reamintim în acest scop de experimentul cu pendulul electric. Cum putem să stim dacă bobila este sau nu încărcată electric? Pentru aceasta încărćăm electric un al doilea pendul și îl apropiem de primul. Dacă pendulul al doilea va fi scos din echilibru, atunci vom spune că primul pendul este încărcat cu sarcină electrică. Interacțiunea electrică între cele două bobīne se manifestă printr-o forță ce se poate numi de asemenea „forță de probă“. Deoarece instrumentul utilizat joacă doar un rol auxiliar, de culegere de date, el nu trebuie să intervină

$$\vec{F} = \frac{1}{4\pi\epsilon_0} \frac{q_1 q_2}{r^2} \hat{r}$$

unde q_1 și q_2 sunt cele două sarcini electrice, ϵ_0 este permittivitatea vidului, iar r este distanța dintre particule.

Observăm că influența este reciprocă, deci fiecare acționează asupra celuilalt. În experiența descrisă unul dintre pendule a fost însă utilizat ca instrument pentru „detectarea“ stării de încărcare a celuilalt pendul. Acest instrument poartă numele de *corp de probă*. Deoarece instrumentul utilizat joacă doar un rol auxiliar, de culegere de date, el nu trebuie să intervină

direct în expresiile ce descriu fenomenele. De aici rezultă două consecințe: prima, corpul de probă *nu trebuie să introducă modificări sensibile în starea sistemului* pe care-l măsurăm. În experiență descriată aceasta revine la cerința ca pendulul studiat să nu fie afectat de corpul de probă, deci să rămână în repaus. Cum interacțiunea este reciprocă, acest lucru nu se va putea realiza în mod riguros. Putem în schimb să facem astfel încât influența corpului de probă să fie cît mai mică, de exemplu prin încărcarea lui cu o sarcină foarte mică. Acest lucru va atrage după sine micșorarea forței astfel că la limită, cînd $q_2 \rightarrow 0$ (q_2 — sarcina corpului de probă) și $F \rightarrow 0$. Dacă însă calculăm raportului F/q_2 , putem obține o valoare finită care poartă numele de *intensitate a câmpului electric \vec{E}* :

$$(3.1) \quad \vec{E} = \lim_{q_2 \rightarrow 0} \frac{\vec{F}}{q_2}.$$

Mărimea fizică introdusă astfel sătistică cerință ca instrumentul de măsură să nu intervină în expresia mărimii care descrie fenomenul (în cazul de față interacțiunea electrică).

Cu ajutorul ei putem însă să calculăm care va fi forța ce va aciona asupra oricărei particule încărcate, aduse în preajma primei particule. Putem să construim o „hartă“ a forțelor ce se vor exercita asupra unei particule în orice punct în jurul sarcinii q_1 . Cu alte cuvinte putem descrie cantitativ zona de influență electrică a sarcinii q_1 . Numim această regiune spațială *câmp electric*, prim analogie cu expresiile similare: câmp acustic, câmp luminos, câmp de „influență“. Sensul acestor denumiri fiind deci de zonă de acțiune a acestei proprietăți deosebite a particulei încărcată de a aciona asupra altor particule încărcate. Aceasta este a doua consecință ce derivă din cele discutate anterior.

Vom vedea pe parcurs că această definiție a câmpului electric corespunde unei exprimări de primă aproximatie, câmpul având o semnificație mult mai profundă.

În același mod, pentru descrierea fenomenelor magnetice s-a introdus o mărime ce caracterizează intensitatea câmpului magnetic, denumită (din motive istorice) inducție magnetică, \vec{B} (Fizica cl. a IX-a, cap. 6). Proprietățile generale pe care le au câmpul electric și magnetic, pe care le putem exprima din cunoștințele însușite pînă acum sunt:

- câmpul este un mod de a exprima interacțiunea;
- câmpul este produs de sarcini;
- intensitatea câmpului (electric sau magnetic) se exprimă printr-o mărime vectorială;

d) intensitățile câmpurilor, într-un punct din spațiu, produse de diverse particule încărcate electric se adună vectorial ca și cum fiecare particulă ar fi independentă de celelalte (principiul suprapunerii).

Observație: proprietățile mai sus expuse pot fi generalizate într-un mod specific și pentru cazul câmpului gravitațional.

3.1.3. Câmpul electromagnetic. Pentru a putea descrie fenomenele electrice sau magnetice produse de o mulțime de particule încărcate cu sarcini electrice, trebuie să cunoaștem intensitatele câmpurilor în *fiecare punct* al spațului. Această cale a fost în realitate utilizată totdeauna cînd s-a discutat despre un câmp, dar nu a fost prea mult scoasă în evidență. Astfel, cînd s-a studiat mișcarea unui obiect în câmp gravitațional, s-a afirmat că, în cazurile uzuale * g (accelerația gravitației) este practic constantă. Afirmația aceasta nu spune altceva decît că intensitatea câmpului gravitațional este aceeași în *totale punctele* în care se poate mișca obiectul. Deci în realitate se cunoaște câmpul în toate punctele de interes. Cînd, spre exemplu, se cere să se studieze mișcarea unui electron între plăci de deflexie ale unui tub catodic, se face de obicei și precizarea că între plăci câmpul este constant. Deci, iar se dau de fapt valorile intensității câmpului în fiecare punct din spațiu.

În toate aceste cazuri câmpul electric poate fi descris matematic prin intermediul unor expresii ce dau intensitatea câmpului în fiecare punct din spațiu. Câmpul electric produs de o particulă punctiformă încărcată cu sarcina q este:

$$\vec{E} = \frac{1}{4\pi\varepsilon_0} \frac{q}{r^2} \frac{\vec{r}}{r}.$$

În punctul C , intensitatea câmpului produs de sarcina $+q$ din A va fi \vec{E}_1 (fig. 3.1.). Dacă depășăm sarcina în punctul B , intensitatea câmpului în punctul C este \vec{E}_2 . Se vede că intensitatea câmpului electric într-un punct, se modifică ca mărime și direcție în funcție de poziția sarcinii fată de punctul (C) în care o măsurăm. Spinem că în punctul C avem un *câmp electric variabil*, dacă particula se deplasează din punctul A în B . Variatia lui în timp, va fi ușor de descris, dacă vom exprima modul în care depinde r de viteza particulei.

Dacă particula încărcată se mișcă, atunci ea va produce și un câmp magnetic. În general deci, în fiecare punct din jurul particulei în mișcare (avem concomitent un câmp electric și unul magnetic). Acest câmp poartă denumirea de *câmp electromagnetic*. Câmpul electromagnetic trebuie astfel descris prin ambi vectori ai intensității câmpului: \vec{E} și \vec{B} . (A se vede și Cap. 4 din manualul de fizică clasa X-a, ediția 1978)

3.1.4. Perturbația electromagnetică. Unda electromagnetică. Să ne imaginăm în continuare că particula stă în repaus în punctul A și că un dispozitiv ne indică intensitatea câmpului electric în punctul C . Valearea măsurată va

* Mișcarea are loc la suprafața Pămîntului.

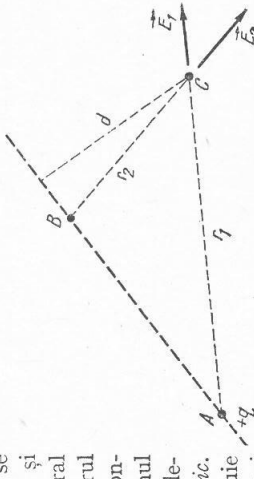


Fig. 3.1. Schiță experimentalului.

fi constantă. Să presupunem acum că deplasăm particula din A în B . Dispozitivul din C va indica o variație a lui \vec{E} . Dacă în C ar fi și un indicator de cimp magnetic, s-ar sesiza și o variație a lui \vec{B} . Spunem că în C s-a produs o perturbație a cîmpurilor. Studiuindu-se teoretic (J. C. Maxwell) și experimental (H. Hertz), proprietățile acestor perturbații electromagnetice, s-a ajuns la concluzia că ele se propagă în spațiu. Propagarea în spațiu a perturbației electromagnetice este determinată de generația reciprocă de cîmpuri electrice și magnetice variabile ce se „desprind” de regiunea în care au fost produse. Pentru ca propagarea să aibă loc trebuie ca ambele cîmpuri să varieze în timp. Cimpul electromagnetic care se propagă în spațiu reprezintă *undă electromagnetică*. Undele electromagnetice sunt unde transversale și anume intensitatea cîmpurilor electric \vec{E} și magnetic \vec{B} sunt reciproc perpendicularare și în același timp perpendicularare pe direcția de propagare. (§ 4.2. Fizica cl. X. 1978.)

Undele electromagnetice se clasifică după frecvența lor în unde radio, microonde, infraroșii, vizibile (lumină), ultraviolet, Roentgen (X) și gama (γ).

3.1.5. Viteza de propagare a perturbației electromagnetice. Știm că viteza de propagare a undelor electromagnetice în vid, prezișă de teoria lui Maxwell, este foarte mare: $c = 3 \cdot 10^8 \text{ m/s}$.

Acesta este și motivul pentru care determinarea ei nu a fost posibilă multă vreme. În 1849 Fizeau a utilizat o metodă de determinare a vitezei luminii, care este și azi folosită în determinarea vitezelor: *metoda timpului de zbor*. (fig. 3.2). Lumina produsă de o sursă S , cade pe o oglindă semitransparentă O_1 și trece în continuare printre dînți unei roți dințate R . După un drum de câțiva kilometri se reflectă pe oglinda O_2 și revine la roata dințată, apoi ajungează pe oglinda O_1 se reflectă din nou pe direcția O_1D (D este un detector de exemplu ochiul omenește sau o celulă fotoelectrică). Dacă roata

viteză luminii este v , atunci intervalul de timp necesar pentru a străbate $AB + BA$, va fi:

$$t = \frac{2 \cdot \overline{AB}}{v}.$$

Dacă roata dințată are n dînți și se rotește cu turația N , atunci intervalul de timp în care se rotește cu 1/2 dintr-un dînt va fi:

$$t' = \frac{1}{2nN}.$$

Reglind turația motorului, putem face ca $t = t'$, adică să dispare imaginăria. În acest caz:

$$\frac{1}{2nN} = \frac{2 \cdot \overline{AB}}{v}.$$

de unde:

$$v = 4 \cdot \overline{AB} \cdot N \cdot n.$$

Intr-unul din experimente în care: $AB = 23 \text{ km}$, $n = 150$ dînți, roata având un diametru de 5 cm, s-a obținut obturarea luminii pentru $N = 22 \text{ s}^{-1}$. Atunci:

$$v = 4 \cdot 23 \cdot 10^3 \cdot 150 \cdot 22 = 3,036 \cdot 10^8 \text{ m/s.}$$

Roata dințată are două roluri: acela de a produce pulsuri de lumină prin „tăierea” fasciculu lui de lumină și acela de a măsura intervalul de timp foarte scurt (în experimentul descris $t' = \frac{1}{2nN} = 1,51 \cdot 10^{-4} \text{ s}$). Mijloacele moderne permit măsurarea intervalelor de timp mult mai scurte, de ordinul a $10^{-8} - 10^{-10} \text{ s}$, ceea ce face ca „bază de zbor” a luminii să fie redusă în aceeași proporție (de $10^4 - 10^6$ ori), adică la $\frac{1}{10^4} = 2,3 \text{ m}$, sau mai puțin.

Egalitatea dintre viteza luminii și cea a undelor radio a fost principalul element care a făcut să se înțeleagă natura comună, electromagnetică, a acestor unde.

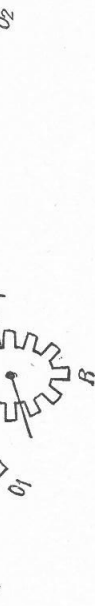


Fig. 3.2. Schema experimentului lui Fizeau.

dînțată este rotită cu o viteza ce crește treptat, detectoarul D va recepționa radiată reflectată în B numai pînă în clipă în care intervalul de timp către lumina străbătă drumul ABA devine egal cu intervalul de timp necesar ca roata dințată să se mișeze cu 1/2 dintr-un dînt. În acest moment imaginea va fi obturată de dînt și detectoarul D nu va mai recepționa lumină. Dacă

3.2.1. Propagarea rectilinie. La determinarea vitezei luminii am utilizat proprietatea ei de a se propaga în linie dreaptă. Această proprietate este sugerată de nenumărate fenomene observate în natură: razele soarelui proiectate pe cerul înnorat, razele de soare ce pătrund într-o cameră întunecată printre fantă mică, imposibilitatea de a vedea obiectele ascunse în spatele altora etc. Aceste constatări cotidiene sunt sintetizate în conceptul de rază de lumină.

Concepțul de rază de lumină constituie un model pentru propagarea luminii. Experimental, o rază de lumină se poate obține delimitînd un fascicul

de lumină cu ajutorul unui paravan prevăzut cu o fântă. Cu cît fasciculul este mai îngust cu atît sănt mai aproape de modelul razei de lumină.

Utilizînd două sau mai multe paravane prevăzute cu cîte o fântă, putem verifica experimental afirmația cu privire la propagarea rectilinie

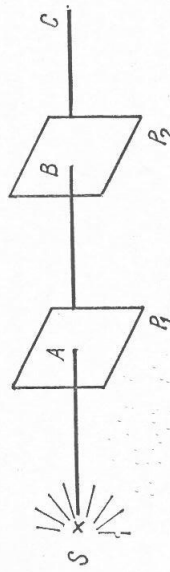


Fig. 3.3. Propagarea rectilinie.

a luminii? Să luăm o sură de lumină S și două paravane prevăzute fiecare cu cîte o fântă, P_1 și P_2 (fig. 3.3).

Pentru a putea vedea sursa S din punctul C prin fantele paravanelor, trebuie să le aranjăm ca în figura 3.3. Privind ne „convingem” direct că cele trei puncte: A , B și C sunt în linie dreaptă. Cum putem verifica însă această afirmație? Ce înseamnă că ele să fie în linie dreaptă? Faptul că pentru o anumită poziție a fanteelor privind din C vedem pe S nu ne poate convinge dacă propagarea este sau nu în linie dreaptă, deoarece verificăm afirmația tot cu ajutorul „razei de lumină”. Chiar punând o rigă pe direcția AB , cu scopul de a vedea dacă raza de lumină se propagă paralel cu ea, nu obținem un răspuns la întrebare, deoarece liniaritatea rigei la rîndul ei a fost verificată în ultimă instanță tot cu ajutorul conceptului de rază de lumină.

Ajungem la concluzia că nu avem cum verifica corectitudinea afirmației cu privire la propagarea în linie dreaptă a luminii. Putem spune însă că „raza de lumină” este un model fizic pentru propagarea rectilinie a luminii și respectiv prototipul liniei drepte din geometrie.

O altă latură a propagării luminii ni se evidențiază dacă încercăm să îmbunătățim condițiile din experimentul descris anterior. Pentru aceasta să micșorăm treptat dimensiunile fanteelor. Pe un ecran plasat în punctul C imaginea fanteelor se va micșora și ea treptat. Putem spera că micșorind în continuare fantele, fasciculul se va îngusta tot mai mult, tînzind către „raza de lumină” ideală cu dimensiuni transversale nule. Experimentul ne arată că de la un anumit moment, odată cu micșorarea dimensiunilor, pata de lumină tîmp imaginea marginii fantei devine mai puțin netă.

Ajungem la un rezultat experimental care contrazice așteptările noastre. Încercind să realizăm condițiile de obținere a unei raze de lumină cît mai aproape de cea ideală, observăm că propagarea luminii în linie dreaptă este tot mai puțin evidentiată!

Concluzia care se impune este aceea că modelul razei de lumină este doar un mod aproximativ de a descrie propagarea luminii.

În cele ce urmează vom căuta să descriem mai exact unele fenomene legate de propagarea luminii pornind de la faptul că ea este o undă.

3.2.2. Descrierea propagării undelor electromagnetice. În anii trecuți am făcut cunoștință cu cîteva tipuri de unde: unde sonore, unde pe suprafață lichidelor, unde seismice, unde electromagnetic (Fizica cl. X, ediția 1978). Să utilizăm aceste cunoștințe pentru a descrie unele fenomene legate de propagarea undelor electromagnetice.

Din punct de vedere al desfășurării lor în timp, undele se pot împărți astfel:

tip

exemplu

- a) neperiodice
- b) periodice

— unde de șoc

— unde monocromatic *

O perturbație (electromagnetică de exemplu) ce se produce într-un punct și se propagă mai departe, în punctele vecine, fără să mai revină periodic este un exemplu de undă neperiodică. Dacă însă perturbația (electromagnetică) este de așa natură încît se repetă periodic, fără a se opri, atunci ea se numește undă periodică. O undă periodică trebuie deci să fie descrisă printr-o funcție care să revină la aceeași valoare după trecerea unui interval de timp dat T denumit perioadă:

$$f(t) = f(t + T) = \dots = f(t + nT),$$

unde n este un număr întreg.

În același timp, această funcție trebuie să descrie și periodicitatea în spațiu a undei, în sensul că undă fiind periodică și propagindu-se cu viteză constantă, va avea aceeași valoare (la un moment dat) în diverse puncte din spațiu, pe direcția de propagare, separate prin distanță λ denumită lungime de undă:

$$f(t, x) = f(t, x + \lambda) = \dots = f(t, x + n\lambda).$$

Aici prin $f(t, x)$ am simbolizat faptul că undă trebuie să fie descrisă prin intermediu a două mărimini variabile: t și x (x — direcția de propagare).

Un exemplu de astfel de funcție atîi înfînilțit la studiul ecuației unde plane (cl. a X-a). Abaterea la un moment dat de la poziția de echilibru, a unui punct material aflat sub acțiunea unei unde (elastice) se descrie prin elongația y :

$$y_p = A \sin \omega \left(t - \frac{x}{v} \right) = A \sin 2\pi \left(\frac{t}{T} - \frac{x}{\lambda} \right)$$

unde A este amplitudinea (= elongația maximă), $\omega = \frac{2\pi}{T}$ — pulsulația, T — perioada, λ — lungimea de undă, v — viteză de propagare, x și t — variabilele

* Termenul monocromatic exprimă „lumină de o culoare”, adică de o frecvență dată, unde monocromaticice ci doar unde care se apropie mai mult sau mai puțin de această condiție ideală.

de care depinde funcția y , adică distanța de la originea aleasă pînă la locul în care se calculează elongația (\overline{OP}) și respectiv intervalul de timp între momentul inițial și momentul în care unda ajunge în punctul P . Argumentul funcției sinus, $\omega(t - \frac{x}{v})$, se numește *faza undei*. Observăm că dacă deplasăm originea spațiului sau a timpului, faza va cuprinde un termen suplimentar y_p

$$y_p = A \sin \left[\omega \left(t - \frac{x}{v} \right) + \varphi \right] \quad (3.2)$$

unde φ se numește *faza initială, constantă de fază sau diferență de fază*. Funcția y_p satisfac condiția de periodicitate spațială și temporală și deci poate descrie unda elastică.

Unda electromagnetică nu este o undă elastică, ci o undă în care variază periodic intensitatea cîmpurilor \vec{E} și \vec{B} , variație ce se propagă în spațiu pe direcție perpendiculară pe cei doi vectori (fig. 3.4). Pentru a exprima acest fapt vom nota elongația cu \vec{u} . Prin \vec{u} vom înțelege astăză fie compoента electrică fie cea magnetică a undei electromagnetice:

$$\vec{u}(x, t) = \vec{u}_0 \sin \omega \left(t - \frac{x}{c} \right)$$

unde $\omega = \frac{2\pi}{T} = 2\pi\nu$, ν — frecvența undei, iar c este viteza de propagare a undei electromagneticice. Amplitudinea undei \vec{u}_0 (adică \vec{E}_0 sau \vec{B}_0) va indica valoarea maximă pe care o pot lua intensitatea cîmpului electric sau magnetic al undei. Putem scrie de exemplu:

$$\vec{E}(x, t) = \vec{E}_0 \sin \omega \left(t - \frac{x}{c} \right)$$

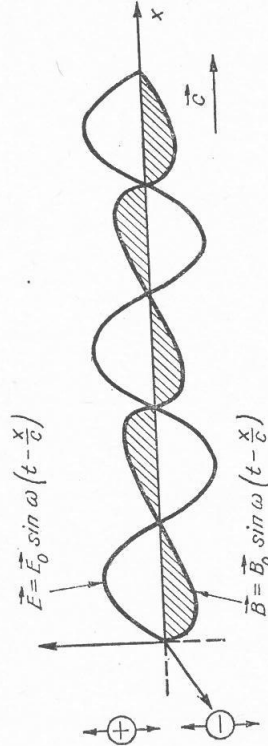


Fig. 3.4. Undă electromagnetică.

Intr-un punct oarecare (x_P) de pe direcția de propagare a unei intensități cîmpului electric, se va exprima prin:

$$\vec{E}(x_P, t) = \vec{E}_0 \sin \omega \left(t - \frac{x_P}{c} \right) \quad (3.3)$$

Dacă în punctul P se află o particulă încărcată electric, sub influența acestui cîmp electric variabil, ea va fi pusă în mișcare și va oscila cu frecvența

(a undei), fenomenul reprezentînd o oscilație forțată. Un astfel de caz se realizează cu electronii ce se găsesc în antena unui radioreceptor; oscilațiile electronilor cu frecvență egală cu cea a undei incidente vor determina un curent alternativ ce va fi apoi amplificat în radioreceptor.

Să ne amintim că acest proces este reversibil, în sensul că dacă în antenă provocăm o mișcare oscillatorie a sarcinilor (de exemplu cu ajutorul unui generator de curent alternativ), atunci în spațiu din jurul antenei se va emite o undă electromagnetică. Antena este în acest caz un dipol oscilant, iar electronii formează sistemul oscilant emițător.

Evidențierea prezenței unei unde electromagneticice se va putea face utilizînd un fenomen oarecare de interacție între undă și aparatul receptor. Efectul unde asupra aparatului receptor va fi determinat de energia transportată de undă.

Vom arăta că energia transportată de undă electromagnetică este proporțională cu pătratul amplitudinii undei: E_0^2 . În acest scop să ne amintim expresia energiei înmagazinate într-un condensator, E_c (Fizică cl. X, § 2.11.1):

$$E_c = \frac{1}{2} \frac{q^2}{C}$$

unde q este sarcina electrică de pe o armătură a condensatorului, iar C este capacitatea lui. Această energie poate fi interpretată ca energie potențială a purtătorilor de sarcină electrică de pe armături.

Putem transcrie această relație, dacă ținem cont de definiția capacității $C = q/U$ (unde U — diferența de potențial dintre armături) astfel:

$$E_c = \frac{1}{2} C U^2.$$

Dacă ne fixăm atenția asupra unui condensator plan, atunci:

$$C = \frac{\epsilon \cdot A}{d}$$

unde ϵ este permisivitatea mediului dintre armăturile de arie A , aflate la distanța d una de alta. În vid $\epsilon = \epsilon_0$ deci:

$$E_c = \frac{1}{2} \frac{\epsilon_0 A}{d} U^2.$$

Cum intensitatea cîmpului electric în spațiu dintre armături este obținută:

$$E = \frac{U}{d}$$

$E_c = \frac{1}{2} \epsilon_0 E^2 A d = \frac{1}{2} \epsilon_0 E^2 V$

unde $V = A \cdot d$ este volumul spațiului limitat de armături.

Deoarece cîmpul electric este omogen, introducem o mărime fizică independentă de structura geometrică a condensatorului și anume:

$$w_{ei} = \frac{E_e}{V} = \frac{1}{2} \varepsilon_0 E^2 \quad (3.4)$$

pe care o numim *densitate de energie a cîmpului electric*.

Ultima relație ne permite să facem o afirmație deosebit de interesantă: energia unui condensator încărcat este proporțională cu păratul intensității cîmpului electric din interiorul armăturilor. Putem spune deci că energia este „magazinată” în cîmpul electric care se stabilește între armături.

Acest rezultat poate fi transpus pentru unda electromagnetică, cu condiția să efectuăm media în timp a păratului intensității cîmpului electric al undei (3.3). Deoarece $\sin^2 \alpha = \frac{1}{2} (1 - \cos 2\alpha)$, atunci cînd α variază de la 0 la 2π , media lui $\cos 2\alpha$ este nulă. În acest fel

$$\bar{E}^2 = \frac{1}{2} \cdot E_0^2.$$

Am justificat astfel de ce este plauzibilă afirmația că energia transportată de undă electromagnetică este proporțională cu E_0^2 .

O undă plană care se propagă în vid (deci care nu este, atenuată) va avea o densitate medie de energie constantă, în orice regiune a undei, deoarece E_0 este constant. De aici rezultă în fond faptul că relația care descrie propagarea undei pe o direcție, descrie și propagarea undei plane.

Pentru a descrie cantitativ energia transportată de un fascicul de radiatie* în unitatea de timp printre-aria dată se utilizează mărimea denumită *energetică* Φ_e (măsurat în wati):

$$\Phi_e = \frac{\Delta W}{\Delta t}$$

unde Δt este intervalul de timp în care se transportă energia ΔW prin aria respectivă.**

În virtutea celor discutate vom putea scrie:

$$\Phi_e \sim E_0^2 \quad (3.4')$$

Pentru radiatia electromagnetică din domeniul vizibil, receptorul este ochiul. Să arătăm experimental că senzajă luminoasă este produsă doar de componenta electrică a undei. Componenta magnetică nu determină senzajii optice. Din această cauză în cele ce urmează vom neglijă cîmpul magnetic al undei.

* Prin *radiatie* înțelegem emisia și propagarea în spațiu a unor unde sau particule, însoțită de un transport de energie.

142

** Fluxul energetic reportat la aria prin care se transportă energia se numește intensitatea undei de suprafață studiate (Fizica cl. XI § 3.4., ediția 1978).

Observație. Densitatea de energie a undei nu este măsurabilă direct, deoarece cîmpul nu poate fi „decapat” pe porturi. Măsurabilită direct este doar energia totală a cîmpului printre mediul înconjurător și sursa de sarcină pe armăturile condensatorului.

Dacă undă electromagnetică se propagă într-un mediu cu indice de refracție n (făță de vid), atunci din definiție, viteza de propagare a undei va fi $v = c/n$. Faza undei se va scrie atunci

$$\omega \left(t - \frac{x}{v} \right) = \omega \left(t - \frac{x}{c} \cdot n \right).$$

Să poate spune astfel că propagarea printre mediul se efectuează că și cum distanța parcursă de undă este mai mare: $x \cdot n$. Această mărime poartă numele de *durum optic*, $l = x \cdot n$.

Pentru a încheia descrierea propagării undelor electromagnetice, trebuie să precizăm că în general este dificil să obținem unde monocromatice. În toate cazurile practice, undele electromagnetice sunt suprapuse de unde de diverse frecvențe (unde policompatice) și în același timp sunt emise pe o perioadă determinată de timp, formând astfel grupuri de unde (pachete de unde).

Fără ca aceasta să reducă generalitatea fenomenelor, în cele ce urmează, ne vom referi cu precădere la undele electromagnetice din domeniul vizibil — lumina.

3.2.3. Difracția. Principiul lui Huygens. Ne putem acum întoarce la discuția referitoare la dificultatea de a dovedi propagarea în linie dreaptă a luminii cu ajutorul paravanelor prevăzute cu o fantă. Am afirmat anterior că, cu cît facem orificiul mai mic, cu atât mai „difuză” este pată pe care o obținem pe ecran. Acest lucru este în contradicție cu ideea de propagare a luminii în linie dreaptă, deoarece unicul lucru pe care-l aşteptăm atunci cînd micșoram orificiul este o micșorare a petei de lumină în mod proporțional. Surprinzător este faptul că de la o limită de micșorare în jos, pată de lumină nu numai că nu scade ci din nou începe să crească ca dimensiune, marginile ei nefind însă bine delimitate.

Acest fenomen a fost observat încă de către Leonardo da Vinci, însă primul care l-a studiat sistematic a fost F. M. Grimaldi (1640) care a denumit fenomenul *difracție*. Difracția nu a putut fi explicată mult timp. În 1690 C. Huygens a reușit să explice acest fenomen cu ajutorul principiului introdus:

Orice front de undă, poate fi considerat la un moment dat ca o sursă de unde sferice secundare, cu același vîscol și ca și unda incidentă, emise de fiecare punct al frontului. Undele secundare sunt toate în fază. Frontul de undă la un moment ulterior este dat de înfiripătoarea tuturor undelor secundare.

Observație. După cum știți acest principiu a fost utilizat și la construirea frontului de undă pentru undele de suprafață studiate (Fizica cl. XI § 3.4., ediția 1978).

În figura 3.5 se vede modul de construire a frontului de undă pentru o undă plană.

Dacă mediu este izotrop și omogen, forma suprafeței de undă se păstrează, se reproduce. La trecerea dinspre un mediu în altul, viteza de propagare a undei se schimbă și deci frontul de undă se va deforma. Obținem în acest

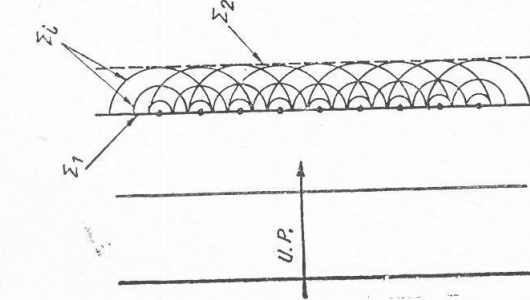


Fig. 3.5. Propagarea rectilinie a undelor sferice elementare în construcția lui Huygens. $U.P.$ – undă plană incidentă; $U.D.$ – undă difractată; Σ_1 – frontul undei înundă plană; Σ_2 – frontul undei înundă sferice elementare; Σ_1 – unde sferice elementare.

fel posibilitatea de a explica ondulator fenomenele de reflexie și refrație pentru unde electromagnetice, așa cum le cunoaștem de la undele elastice. Tot aici avem un argument esențial privind propagarea luminii în linie dreaptă: raza de lumină este un concept definit ca direcție de propagare a frontului de undă și a suprafețelor de undă. Pentru undele plane, suprafețele de undă sunt plane parallele și deci raza de lumină va descrie o linie dreaptă, perpendiculară pe toate suprafețele de undă.

Pentru deformarea frontului de undă și deci abatere propagarea luminii de la linie dreaptă deformă frontul undelor secundare, de exemplu cu ajutorul unui paravan (fig. 3.6).

Introducerea paravanului împiedică formarea undelor sferice secundare și astfel se deformează frontul de undă după cum se vede în figura. Un ecran pus în spatele acestui paravan va fi luminat în porțiunea OA dar va fi lumenat și în regiunea OB , regiune de umbră „geometrică”. Luminarea în regiunea

de umbră este slabă și devine nesemnificativă la o distanță ceva mai mare de punctul de separație O . Dar importantă este existența ei în zona interzisă de către teoria geometrică a umbrei. Această comportare este cea care împiedică observarea experimentală a propagării în linie dreaptă cu ajutorul paravelor cu orificii. Vom vedea mai târziu cum depinde iluminarea zonei de umbră, de paravan sau de orificiul pe care-l facem în paravan.

Fenomenul de pătrundere a luminii în spațele obștăcolelor sau abaterea de la propagarea rectilinie a luminii se numește difracție.

Se spune uneori că este o ocolire aparentă, deoarece apare ca o abiere de la o comportare pe care o presupunem a fi cea corectă. În realitate situația este inversă, în sensul că propagarea în linie dreaptă este o approximație. Lumina (și orice undă electromagnetică în general) are un caracter ondulator și deci fenomenul de difracție apare ca fenomen normal, propagarea în linie dreaptă fiind un caz particular de propagare.

Puteam trage de aici o concluzie deosebit de importantă și anume că înțelegerea corectă a fenomenelor presupune de multe ori depășirea impresiilor și observațiilor directe, care pot fi încadrăte în termenul de „experiență omenească” sau „bun simț experimental”.

Realitatea este ceva mai complexă decât pare la prima vedere. Putem spune astfel că, conceptul de rază de lumină este utilizabil în mod approximativ doar într-un model simplificator pentru descrierea fenomenelor de propagare a ei, la fel cum conceptul de punct material este utilizable în mecanică ca un model de primă aproximare. Așa cum în realitate nu există punct material, nu există nici rază de lumină.

Un experiment convințător în acest sens este cel pentru observarea umbrei produse de un disc (fig. 3.7). Dacă un disc este iluminat cu lumină provenită de la o sursă foarte îndepărtată (pentru a avea unde plane) în mijlocul umbrei apare o zonă luminosă! Ocolirea este astfel evidentă.

3.2.4. Interferență. Să trecem acum mai departe și să încercăm să descriem mai precis modul în care pătrunde lumina în zona umbrei geometrice. Pentru aceasta să complicăm puțin experimentul din figura 3.6, astfel încit să lucrem cu cîte mai puține unde secundare. Pentru aceasta alegem un paravan

de umbră este slabă și devine nesemnificativă la o distanță ceva mai mare de punctul de separație O . Dar importantă este existența ei în zona interzisă de către teoria geometrică a umbrei. Această comportare este cea care împiedică observarea experimentală a propagării în linie dreaptă cu ajutorul paravelor cu orificii. Vom vedea mai târziu cum depinde iluminarea zonei de umbră, de paravan sau de orificiul pe care-l facem în paravan.

Fenomenul de pătrundere a luminii în spațele obștăcolelor sau abaterea de la propagarea rectilinie a luminii se numește difracție.

Se spune uneori că este o ocolire aparentă, deoarece apare ca o abiere de la o comportare pe care o presupunem a fi cea corectă. În realitate situația este inversă, în sensul că propagarea în linie dreaptă este o approximație. Lumina (și orice undă electromagnetică în general) are un caracter ondulator și deci fenomenul de difracție apare ca fenomen normal, propagarea în linie dreaptă fiind un caz particular de propagare.

Puteam trage de aici o concluzie deosebit de importantă și anume că înțelegerea corectă a fenomenelor presupune de multe ori depășirea impresiilor și observațiilor directe, care pot fi încadrăte în termenul de „experiență omenească” sau „bun simț experimental”.

Realitatea este ceva mai complexă decât pare la prima vedere. Putem spune astfel că, conceptul de rază de lumină este utilizabil în mod approximativ doar într-un model simplificator pentru descrierea fenomenelor de propagare a ei, la fel cum conceptul de punct material este utilizable în mecanică ca un model de primă aproximare. Așa cum în realitate nu există punct material, nu există nici rază de lumină.

Un experiment convințător în acest sens este cel pentru observarea umbrei produse de un disc (fig. 3.7). Dacă un disc este iluminat cu lumină provenită de la o sursă foarte îndepărtată (pentru a avea unde plane) în mijlocul umbrei apare o zonă luminosă! Ocolirea este astfel evidentă.

3.2.4. Interferență. Să trecem acum mai departe și să încercăm să descriem mai precis modul în care pătrunde lumina în zona umbrei geometrice. Pentru aceasta să complicăm puțin experimentul din figura 3.6, astfel încit să lucrem cu cîte mai puține unde secundare. Pentru aceasta alegem un paravan

Fig. 3.7. Difracția undelor în spațele unui paravan. P . Pe ecran apare o zonă luminosă (L) în regiunea de umbără geometrică AB .

cu două orificii foarte înguste; idealizând, le putem considera punctiforme (fig. 3.8). Unda incidentă o presupunem monochromatică. Utilizând principiul lui Huygens, putem construi undele secundare produse în spatele paravanului, unde ce provin din punctele O_1 și O_2 . Aceste

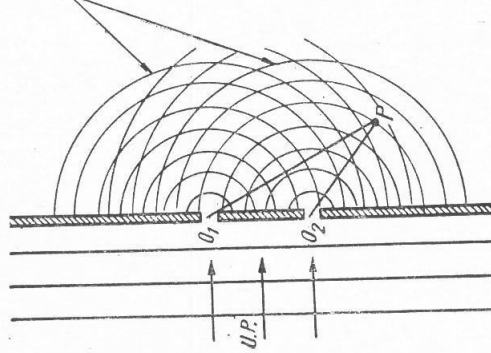


Fig. 3.8. Suprapunerea a două unde ce provin de la două fante O_1 și O_2 . Σ – suprafață de undă elementare.

unde vor fi sferice. Într-un punct oricare P , din spațele paravanului, se vor înțălni undele care provin din ambele izvoare (O_1 și O_2). Pentru a înțelege ce se petrece, ne vom referi la cimpurile lor electrice (fig. 3.9). În P , cimpul electric va fi rezultatul însumării cimpurilor electricе ce provin din O_1 și din O_2 . Putem însuma cele două cimpuri direct, deoarece cimpurile electrice satisfac principiul suprapunerii: intensitatea cimpului intr-un punct se află prin însumarea vectorială a cimpurilor produse de fiecare sură de cimp ca și cum celelalte surse nu ar exista. Alegind cazul particular în același plan, vom putea scrie:

$$E_p = E_{01} \sin \omega \left(t - \frac{r_1}{c} \right) + E_{02} \sin \omega \left(t - \frac{r_2}{c} \right) \quad (3.5)$$

în care am notat $r_1 = \overline{OP}$ și $r_2 = \overline{O_2 P}$.

Pentru simplificarea calculului vom considera $E_{01} = E_{02}$ (aceasta nu modifică esența concluziilor generale la care ajungem). În acest caz folosind transformarea:

$$\sin a + \sin b = 2 \sin \frac{a+b}{2} \cdot \cos \frac{a-b}{2}$$

obținem:

$$\begin{aligned} \sin \omega \left(t - \frac{r_1}{c} \right) + \sin \omega \left(t - \frac{r_2}{c} \right) &= 2 \sin \frac{1}{2} \left[\omega \left(t - \frac{r_1}{c} \right) + \right. \\ &\quad \left. + \omega \left(t - \frac{r_2}{c} \right) \right] \cdot \cos \frac{1}{2} \left[\omega \left(t - \frac{r_1}{c} \right) - \omega \left(t - \frac{r_2}{c} \right) \right] = \\ &= 2 \sin \omega \left(t - \frac{r_1+r_2}{2} \right) \cdot \cos \omega \left(\frac{r_2-r_1}{2} \right). \end{aligned}$$

Vom nota $\frac{r_1+r_2}{2} = \bar{r}$ – distanța medie de la sursele O_1 și O_2 la P și $r_2-r_1 = \Delta$ – diferența drumurilor străbătute de undele din O_1 și O_2 pentru a ajunge în P . În acest fel unda rezultantă în P , va fi exprimată prin intensitatea cimpului electric însumat:

$$E_p = 2 \overbrace{E_0 \cos \omega \left(\frac{\Delta}{2c} \right)}^{\text{amplitudinea}} \cdot \underbrace{\sin \omega \left(t - \frac{\bar{r}}{c} \right)}_{\text{faza}} = A \cdot \sin \omega \left(t - \frac{\bar{r}}{c} \right). \quad (3.6)$$

Utilizând relația (3.4) putem scrie că:

$$\Phi_p \sim E_p^2 = 4E_0^2 \cos^2 \omega \left(\frac{\Delta}{2c} \right) \cdot \sin^2 \omega \left(t - \frac{\bar{r}}{c} \right) = 4\Phi_0 \sin^2 \left(\omega t - \frac{\bar{r}}{c} \right) \quad (3.7)$$

unde Φ_p este fluxul energetic în P , și în care am notat:

$$\Phi_0 = E_0^2 \cos^2 \omega \frac{\Delta}{2c}. \quad (3.8)$$

Să analizăm mai îndeaproape relațiile obținute. În relația (3.6) am inclus cosinusul în amplitudine deoarece este un termen independent de timp. Forma relației (3.6) este astfel cea obișnuită pentru o undă electromagnetică în P , undă ce a plecat din punctul situat la mijlocul distanței $O_1 O_2$. Deoarece în Φ_0 (3.8) intervine Δ – diferența de drum între undele pletecate din două puncte diferite, rezultă că vom obține diverse valori ale lui Φ_0 în funcție de valoarea lui Δ . Analizând condițiile în care $\cos^2 \left(\omega \frac{\Delta}{2c} \right)$ ia valorile maxime respectiv minime, și înținând cont că $\omega = \frac{2\pi c}{\lambda}$ obținem:

$$\maxim 1 = \cos^2 \left(\omega \frac{\Delta}{2c} \right) \longrightarrow \pi \frac{\Delta}{\lambda} = n\pi \quad \text{sau} \quad \Delta = n\lambda \quad (3.9)$$

$$\minim 0 = \cos^2 \left(\omega \frac{\Delta}{2c} \right) \longrightarrow \pi \frac{\Delta}{\lambda} = (2m+1) \frac{\pi}{2} \quad \text{sau} \quad \Delta = (2m+1) \frac{\lambda}{2} \quad (3.10)$$

unde $m = 0, 1, 2, 3, 4, \dots$

Condițiile de maxim și de minim pot fi exprimate fie în funcție de diferența de fază dintre unde, $(\Delta\varphi)$, fie în funcție de intervalul de timp dintre momentele de emisie (Δt). Pentru a obține aceste relații să observăm că o

diferență de drum egală cu λ corespunde unei diferențe de fază de 2π . În acest caz relația între diferența de fază și diferența de drum va fi

$$\Delta\varphi = 2\pi \frac{\lambda}{\lambda} = 2\pi \cdot \frac{\Delta}{v} v = \omega \cdot \frac{\Delta}{v} = \omega \cdot \frac{\Delta m}{c},$$

unde $\lambda = \frac{v}{\nu} = \frac{\omega}{\nu}$ și $\nu = \frac{\omega}{\pi}$. Vom obține pentru condițiile de maxim și de minim:

$$(\Delta\varphi)_m = m \cdot 2\pi \text{ și } (\Delta\varphi)_m = (2m + 1)\pi.$$

Diferența de timp corespunzătoare diferenței de fază va fi:

$$\Delta t = \frac{\Delta}{v} = \frac{\Delta \cdot n}{c} \text{ și deci } \Delta\varphi = \omega\Delta t.$$

În punctele în care este îndeplinită condiția (3.9), fluxul va fi:

$$\Phi_{\text{tr}} \sim 4E_0^2 \sin^2 \omega \left(t - \frac{r}{c} \right)$$

iar în punctele în care este îndeplinită condiția (3.10), fluxul va fi

$$\Phi_m = 0.$$

Deoarece senzatia luminoasă, pentru un λ dat este proporțională cu fluxul energetic, condițiile de maxim respectiv de minim vor exprima de asemenea condițiile de maxim și de minim de iluminare.

Există astfel puncte în spațiul din spatele paravanului în care intensitatea luminoasă rămâne încontinuu zero, și altele în care poate atinge valori maxime. Făcând acest experiment ne putem convinge că zonele de maxim alternanță cu zone de minim de iluminare*. Această structură se numește *figură de interferență*, liniile de egală intensitate luminosă se numesc *franze de interferență*, iar fenomenul de suprapunere a undelor cu formare de maxime și minime de iluminare se numește *interferență*. Cind suprapunerea undelor conduce la un maxim spunem că avem de a face cu interferență *constructivă*, iar în caz contrar *destructivă*.

Probleme rezolvate. 1. Să se analizeze structura figurii de interferență pentru un experiment de interferență de tipul celui discutat anterior, astă cum apare ea pe un ecran dispus la distanța D de paravanul ou orificiu. Geometria experimentului cit și notatiile sunt cele corespunzătoare figurii 3.9.

Rezolvare.

Să găsim pentru început pozițiile minimelor de interferență (condiția (3.10)). Pentru aceasta trebuie să găsim diferența de drum (Δ) pînă la un punct P de pe ecran, exprimată în raport cu parametrii experimentului: d, α, D, z, \dots . Observăm că dacă $d \ll D$ și dacă z nu este prea mare ($\alpha - \text{mînd}$) și

$$\frac{\Delta}{d} \cong \sin \alpha \text{ și } \frac{z}{D} \cong \operatorname{tg} \alpha \cong \sin \alpha,$$

deci

$$\frac{\Delta}{d} = \frac{z}{D}.$$

* Vezi experimentul 3.1.

Punind condiția ca $\Delta = (2m + 1) \frac{\lambda}{2}$ obținem succesiunea punctelor de minim:

$$x_m = \frac{D}{d} (2m + 1) \frac{\lambda}{2}. \quad (3.13)$$

Pentru primele valori ale lui m : 0, 1, 2, 3, obținem

$$x_m: \frac{\lambda D}{2d}, \frac{3\lambda D}{2d}, \frac{5\lambda D}{2d}, \frac{7\lambda D}{2d}.$$

Distanța între două minime se numește *interfranță* și va avea valoarea:

$$\Delta x_m = \lambda \frac{D}{d}. \quad (3.14)$$

De exemplu, pentru o serie de valori ușor de realizat, $D = 200$ cm, $d = 0,1$ cm și $\lambda = 590$ nm (linia galbenă a sodiului) se obține:

$$\Delta x_m = (390 \cdot 10^{-9}) \cdot \frac{200}{0,1} \cong 1,2 \text{ mm.}$$

Observăm în primul rînd că frațiele de interferență sunt extremități ale pozitiei minimelor de interferență și de observă greu. În al doilea rînd, observăm că pozitiei minimelor de interferență sunt determinate printre altele și de lungimea de undă și anume sunt proporționale cu ea. Ca urmare a acestui fapt, observarea interferenței în lumina nemonochromatică conduce la amestecarea maximelor și minimelor pentru diverse λ , rezultatul fiind un amestec de culori și tentă de cenusin care în general nu ne spune prea mult. Doar dacă λ este suficient de mic, maximile diverselor unde cu λ diferit nu se suprapun și se ordonează în ordine crescătoare cu λ . În felul acesta se poate obține un spectru al radiatiei care a căzut pe cele două fante. Vom discuta această problemă mai tîrziu.

Să revenim la problema interferenței și să analizăm intensitatea radiatiei în pozițiile de maxim; o vom formula sub forma unei probleme.

2. Să se discute maximele de interferență care apar în problema cu cele două fante, descrise prin relația (3.11) în condițiile problemei anterioare (fig. 3.9).

Rezolvare.

Problema are două etape: prima se referă la o discuție a relației (3.11) în sensul analizei răptării dependente de timp din relație, urmînd apoi etapa aplicării ei pentru cazul concret din figura 3.9.

Termenul dependent de timp din (3.11) arată că fluxul de lumină ar trebui să varieze în timp. Experiment, nu vedem în figura de interferență nici o variație în timp, deci relația (3.11) nu ar trebui să fie dependență de timp! Explicația constă în aceea că variația în timp este extrem de rapidă ($\omega = 2\pi\nu$ are o valoare foarte mare $\sim 10^{15}\text{Hz}$) și în consecință ochiul nu sesizează această variație. Ochii sesizează doar media în timp a acestei variații. Media în timp a maximului o vom putea aprecia folosind relația trigonometrică:

$$\begin{aligned} \sin^2 a &= \frac{1}{2} (1 - \cos 2a) \\ \Phi_M \sim 4E_0^2 \sin^2 \omega \left(t - \frac{r}{c} \right) &= 4E_0^2 \cdot \frac{1}{2} \left[1 - \cos 2\omega \left(t - \frac{r}{c} \right) \right] = \\ &= 2E_0^2 - 2E_0^2 \cos 2\omega \left(t - \frac{r}{c} \right). \end{aligned}$$

Tinînd cont de faptul că cosinusul variază periodic în timp între valoările +1 și -1, media termenului în cosinus va fi nulă. Termenul $2E_0^2$ fiind o constantă, media generală va fi:

$$\Phi_M \sim 2E_0^2 = \text{constant.} \quad (3.15)$$

Observăm că în urma interferenței, energia transportată de unde incidentă este *redistribuită*, parte din energia care lipsește din minime se regăsește în maximele de interferență.

Puteam merge mai departe. Să determinăm pozitiiile maximelor; utilizând același mod de calcul ca în problema anterioară obținem:

$$x_M = \frac{D}{d} m\lambda. \quad (3.16)$$

Vedem astfel că maximale și minimele alternează la distanțe egale între ele (pentru α nu prea mare).

Este de asemenea interesant de remarcat că în centrul ecranului se obține un maxim. Numărul m exprimă ordinul frânei de interferență.

3.2.5. Obținerea experimentală a fenomenului de interferență. Pentru realizarea experimentului de interferență procedăm ca în figura 3.10. Acest aranjament a fost realizat de către Young și de aceea îi poartă numele. Dificultatea principală în acest experiment este slabă iluminare ce se obține pe ecran din cauza celor două celor două paravane utilizate (cu unul, respectiv două orificii).

Privind schema experimentului lui Young, și figura 3.9, sistemul condus la ideea că în fond putem înlocui sistemul de paravane cu un sistem format de două surse (S_1 și S_2) puse în pozițiile O_1 și O_2 . În acest sistem este evident că iluminarea ecranului ar fi mult mai bună și fenomenul ar trebui să se observe mult mai ușor și mai bine. Mergind mai departe cu raționamentul ne putem gândi să încercăm să obținem fenomenul cu două lămpuri obișnuite! Aici ajungem la un punct în care concluzia raționamentului este în contradicție cu experiența zilnică: folosind două sau mai multe becuri un ecran este totdeauna mai bine luminat decât în cazul unuia singur! Nici urmă de fenomen de interferență pe ecran! În-

locuirea fanilor cu două surse independente distrugе imaginea de interferență. Rezultă că interferența nu este chiar atât de ușor de obținut și că la producerea fenomenului mai contribuie un factor care pînă acum nu a fost luat în considerație. Deosebirea existentă între cele două experiențe este aceea că în cazul Young-ului se utilizează o singură sursă care ilumină cele două fante, pe cînd în experimentul propus cu becuri există două surse distincte. Ne reamintim, în continuare, că emisia luminoasă este rezultatul tranzitărilor atomilor de pe o stare energetică pe alta. Ori, aceste tranzitii se petrec în diversiți atomi la momente diferite. Acest lucru face ca undele provenite de la cele două becuri și care se intrelnesc pentru a interfera într-un punct dat pe ecran să aibă faze diferite, variabile

în timp. Cu alte cuvinte în relația (3.5) de însumare a celor două unde trebuie să ținem cont și de fazele initiale ale undelor:

$$E_P = E_0 \sin \omega \left(t - \frac{r_1}{c} \right) + E_0 \sin \left[\omega \left(t - \frac{r_2}{c} \right) + \varphi \right]$$

unde φ este diferența de fază inițială. Pentru simplificare alegem $E_{0_1} = E_{0_2} = E_0$ și efectuând calcule obtinem:

$$E_P = 2E_0 \sin \frac{1}{2} \left[\omega \left(t - \frac{r_1}{c} \right) + \omega \left(t - \frac{r_2}{c} \right) + \varphi \right] \cdot \cos \frac{1}{2} \left[\omega \left(t - \frac{r_1}{c} \right) - \omega \left(t - \frac{r_2}{c} \right) - \varphi \right].$$

Iluminarea va fi proporțională cu pătratul amplitudinii:

$$4E_0^2 \cos^2 \left[\omega \frac{r_2 - r_1}{2c} - \frac{\varphi}{2} \right] = 4E_0^2 \cos^2 \left[\pi \frac{r_2 - r_1}{\lambda} - \frac{\varphi}{2} \right].$$

Condiția de maxim va cere ca:

$$\left[\pi \frac{r_2 - r_1}{\lambda} - \frac{\varphi}{2} \right] = m\pi.$$

Aici $\pi \frac{r_2 - r_1}{\lambda} = \Psi$ este diferența de fază introdusă de diferența de drum $\Delta = r_2 - r_1$.

Deci, starea de iluminare într-un punct de pe ecran va fi determinată de Δ și de φ . Dacă Δ și φ nu variază în timp, figura de interferență va fi staționară. Δ este bine determinat pentru un punct de pe ecran, deci staționaritatea figurii de difracție este determinată de constanța în timp a diferenței de fază φ . Radiatiile care au o diferență de fază φ constantă în timp se numesc coherente.

Deoarece emisia de radiație a atomilor (sau moleculelor) durează foarte puțin ($\sim 10^{-8}$ s), putem considera vibrațiile ca fiind emise în fază doar pe acest interval de timp. Grupul de unde emise în acest interval de timp va avea o extindere spațială de:

$$\Delta r = c\Delta t \approx 3 \cdot 10^8 \cdot 10^{-8} = 3 \text{ m},$$

distanță care exprimă lungimea de coerență.

Dacă încercăm să obținem interferență cu unde a căror diferență de drum crește treptat pînă la cîiva metri, vedem cum treptat figura de interferență se șterge, fiind înlocuită de o lumină continuă. Avem rezultatul exprimat prin lungimea de coerență: diferența de drum foarte mare a condus la suprapunerea undelor care nu mai fac parte din același grup de unde și deci sunt necoherente; figura de interferență se schimbă foarte rapid, încit în medie observăm o iluminare continuă. Pe de altă parte, o sură de lumină reprezentă o colecție mare de centre de unde care acționează independent. Cum nu putem realiza o sură de lumină punctiformă, undele emise de diversele

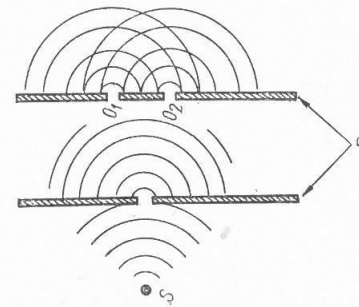


Fig. 3.10. Schema experimentului lui Young.

care ilumină cele două fante, pe cînd în experimentul propus cu becuri există două surse distincte. Ne reamintim, în continuare, că emisia luminoasă este rezultatul tranzitărilor atomilor de pe o stare energetică pe alta. Ori, aceste tranzitii se petrec în diversiți atomi la momente diferite. Acest lucru face ca undele provenite de la cele două becuri și care se intrelnesc pentru a interfera într-un punct dat pe ecran să aibă faze diferite, variabile

centru, cu toate că au aceeași frecvență, vor avea constante de fază diferite și deci figura de interferență se șterge.

Din această cauză, o sursă cu căstig este mai punctiformă cu atât va emite radiații mai coerente. Utilizarea orificiilor punctiforme în experimentul lui Young permite astfel obținerea unor radiații cu un grad destul de mare de coerență.

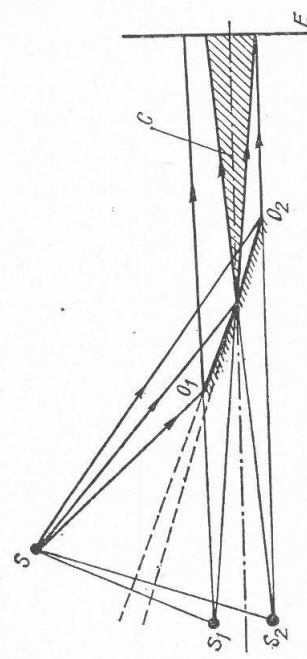


Fig. 3.11. Schema dispozitivului experimental Fresnel. O_1 și O_2 — oglinzi, S — sursă punctiformă, S_1 și S_2 — surse virtuale; E — ecran; C — cimp de interferență.

Spre deosebire de cazul luminii, în acustică sau în radiotehnică sursele sunt practic coerente și de aceea fenomenele de interferență pot fi mai ușor observate sau utilizate.

În concluzie, pentru a obține o figură de interferență observabilă trebuie ca radiațiile:

- să aibă aceeași frecvență;
- să fie coerente.

Pentru a fi coerente va fi necesar ca:

- radiațiile să provină din același punct al sursei;
- diferența de drum introdusă între ele să fie mică în comparație cu lungimea de coerență.

Metoda de a separa două fascicule dintr-o sursă și a le suprapune ulterior folosită în acest scop este și dispozitivul de numit oglinziile lui Fresnel (fig. 3.11). Aici o sursă reală trimite radiații pe două oglinzi care sănătățeau cu puțin inclinate una față de cealaltă. Radiațiile reflectate de cele două oglinzi se vor suprapune ulterior, astfel încât se va forma un cimp de interferență. Urmărind prelungirea razelor reflectate pe oglinzi, observăm că interferența pare a fi produsă de cele două surse virtuale.

3.2.6. Relația între fenomenele de difracție și cele de interferență. Ne putem întoarce acum să discutăm strucțura cimpului luminos din spație

fantei sau orificiului din experimentul de difracție (fig. 3.12). Dacă orificiul nu este infinit de mic, atunci radiațiile care provin de la diversele porțiuni ale orificiului vor fi difractate și apoi vor interfera. Interferența radiațiilor difracțate face ca în spațele orificiului să nu apară un cimp cu o luminositate treptată mai slabă pe măsură îndepărțării de axa optică, ci un cimp cu o luminositate oscilantă (cu maxime și minime). Putem determina această structură dacă luăm în considerare geometria

figurii 3.12. Pentru a face calculul concret trebuie să precizăm și fazele undelor ce provin din diversele zone ale fantei.

În acest scop se face o ipoteză care completează principiul lui Huygens și anume că *toate undele secundare (sferice) ce se emit de pe frontul (sau suprafața) de undă sint în fază*, deci sunt coherente. Această completare a fost făcută de către Fresnel din care cauză principiul se mai numește Huygens — Fresnel. Pentru radiațiile care ajung într-un punct oarecare P , maximul de diferență de drum este dat de razele ce pornesc de la extremitățile diametrelui orificiului. Folosind condițiile de producere a maximelor și minimelor (3.9 și 3.10), putem calcula structura figurii de interferență produsă de o fântă suficient de largă.

Fenomenul de difracție care apare la interpunerea unui paravan în calea undelor este arătat în figura 3.13. Paravanul se află la distanța a de sursa S și la distanța b de un ecran de observație. Structura cimpului luminos pe ecran este dată în figura 3.13.b. Se vede că în zona de umbră geometrică ($x < 0$) iluminarea scade treptat dar este diferență de zero. În zona de lumină geometrică ($x > 0$), iluminarea nu crește brusc la valoarea prevăzută de optica geometrică ($\sim \Phi_0$) ci crește treptat, pînă atinge un maxim ($\Phi > \Phi_0$), apoi are o comportare oscilantă, amplitudinea scăde treptat către o valoare constantă pe măsură ce x crește. În figură sunt date pozițiile de maxim în funcție de parametrul adimensional ξ :

$$\xi = x \cdot \sqrt{\frac{2a}{b(a + b)\lambda}} = : 1,22; 2,34; 3,08; 3,67; 4,18; 4,66; \dots \quad (3.17)$$

Aceste poziții au fost calculate conform unei teorii complete a fenomenelor de difracție și interferență a undelor electromagnetic. Să vedem de ce cunoștințele pe care le avem pînă acum nu ne permit să obținem în acest caz strucțura figurii de difracție. Sursele secundare în fază (coerente) pe care trebuie

să le luăm în considerație săt cele ce se află pe sferă (C) cu centrul în S și raza \overline{SM} (fig. 3.13,a). Astfel, punctele M, N, O, \dots sunt tot astfel de centre de emisie a unor unde corente. Maximele succesive se obțin în P, P', \dots , iar minimele în Q, Q', \dots . Spre deosebire de cazurile anterioare aici putem observa cîteva aspecte deosebite.

În primul rînd în punctul $x = 0$, nu avem un maxim cum ar fi fost de așteptat.

În al doilea rînd minimele nu corespund unei iluminări nule. În al treilea rînd interfranța scade pe măsură ce crește ordinul de interferență.

Toate aceste aspecte caracteristice sunt determinate de suprapunerea (într-un punct al ecranului) undelor care provin de la diferențele puncte de pe sferă. C . Cum ele interferă successiv, ele construcțiv și destrucțiv, maximul principal va fi deplasat de la $x = 0$ deoarece în acel punct o parte din undele care ar fi interferat construcțiv sunt obturate de către paravanul din M .

Minimele nu sunt nule deoarece în punctele respective ajung și unde ce se compun construcțiv, dar cu amplitudine mai mică. Deoarece de fiecare dată trebuie să ținem cont de toate undele provenite de pe sferă C , descrierea cantitativă a iluminării în spatele paravanului este mai dificil de obținut. Folosind însă rezultatele obținute prin calcul și exprimate prin parametrii dat în figura 3.13,b, putem aprecia cantitativ figura de interferență.

Ajungem astfel la concluzia că fenomenul de difracție, determinând suprapunerea undelor provenite de la diverse puncte va fi însotit aproape întotdeauna de o figură de interferență.

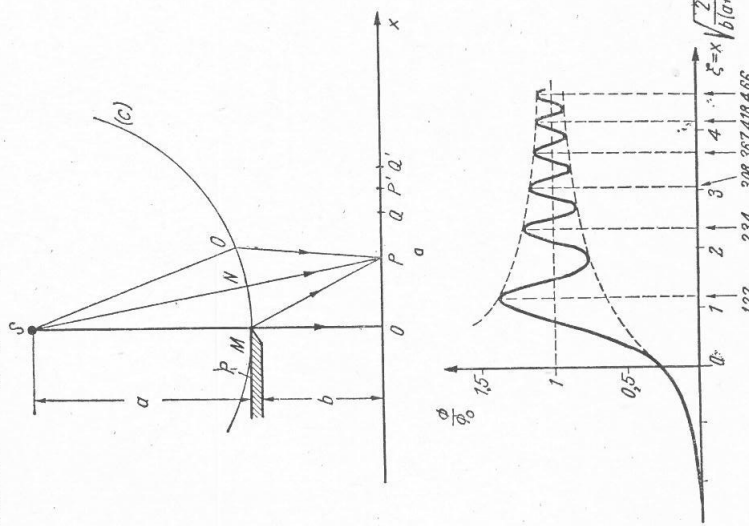


Fig. 3.13. Difracția în spatele unui paravan P .

Pentru a descrie fenomenul ne vom referi la figurile 3.13 a și b. Vom considera că observatorul de pe Pămînt se află în punctul O , iar paravanul M simbolizează Luna. Într-un experiment obișnuit de difracție pe un paravan, deplasind pe axa Ox un detector, se vor pune în

* Ocultație: eclipsare temporară, pentru un observator de pe Pămînt, a unui astru de către un altul datorită mișcării lor relativă.

Rezolvare.

Pentru a descrie fenomenul ne vom referi la figurile 3.13 a și b. Vom considera că observatorul de pe Pămînt se află în punctul O , iar paravanul M simbolizează Luna. Într-un experiment obișnuit de difracție pe un paravan, deplasind pe axa Ox un detector, se vor pune în

Fig. 3.14. Variația luminozității unei stele în timpul oculației.

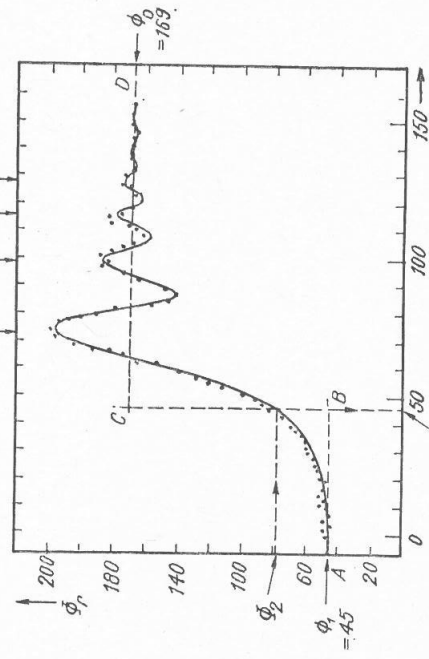


Fig. 3.14. Variația luminozității unei stele în timpul oculației.

evidență maximă și minimă succesive: P, Q, P', Q' . În experimentul de fată, paravanul (Luna) se mișcă cu viteză relativă \vec{v} , perpendicular pe direcția stă-observator. În acest caz pozitiiile de maxim și minim vor defila prin fata observatorului. Pentru a ființa cont de această mișcare relativă vom trece de la variabila x la variabila t legată de mișcarea paravaniului. Din asemenea triunghiurilor SMN și SOP obținem

$$\frac{\overline{MN}}{a} = \frac{\overline{OP}}{a+b} \quad \text{sau} \quad \frac{vt}{a} = \frac{x}{a+b}.$$

Înlocuind în parametrul ξ valoarea lui x de mai sus:

$$\xi = v \frac{a+b}{a} t \sqrt{\frac{2a}{b(a+b)\lambda}} = vt \sqrt{\frac{2(a+b)}{ab\lambda}} \approx v \sqrt{\frac{2}{b\lambda}} t.$$

Ultima egalitate aproximativă să obținut observind că $a \gg b$. Cunoșind constantele v , a și λ putem găsi momentul de maxim, pornind de la valoarea lui ξ date în (3.17) și de la relația dedusă anterior. Pentru rezolvarea problemei avem nevoie de valoare lui v și a (distanța Pămînt-Lună): $v = 450 \text{ m/s}$ și $a = 384\,400 \text{ km}$. Calculurile ne conduc la:

$$\xi = 3,24 \cdot 10^{-2} \frac{t}{\sqrt{\lambda}} (\text{s} \cdot \text{m}^{-1/2}).$$

Să răspundem acum la întrebările problemei.

a) Din succesiunea umbra-lumină (fig. 3.14) tragem concluzia că se observă sfîrșitul occultării (iesirea din eclipsă).

b) Din figura 3.13, b observăm că raportul dintre fluxul în poziția $x = 0$ (începutul umbrei geometrice) și $x \rightarrow \infty$ (lumină) este 0,25. Deci, putem determina valoarea t_0 corespunzătoare acestui moment dacă determinăm fluxurile în zona de umbră geometrică (Φ_1) și în cea de către lumină (Φ_0) și luăm momentul corespunzător creșterii lui Φ_1 egal cu $\frac{1}{4}(\Phi_0 - \Phi_1)$. Din grafic:

$\Phi_1 = 45, \Phi_0 = 169; \frac{1}{4}(\Phi_0 - \Phi_1) = 31$. Deci $\Phi_2 = \Phi_1 + \frac{1}{4}(\Phi_0 - \Phi_1) = 45 + 31 = 76$. Această valoare a intensității relative se atinge la momentul $t_0 = 46 \text{ s}$. Sau desenat pe grafic segmentele AB, BC, CD care corespund modului în care ar decurge variația de flux luminos la ieșirea din eclipsă, dacă fenomenul ar avea loc conform opicii geometrice.

c) Determinăm din figură momentele de maxim t_1, t_2, t_3, t_4 și alcătuim un tabel de date.

Pentru determinarea lui λ utilizăm parametrul ζ :

$$\lambda = \left(3,24 \cdot 10^{-2} \cdot \frac{t - t_0}{\xi} \right)^2$$

Pentru valoarea medie a raportului $\frac{t - t_0}{\xi}$ obținută

$$\lambda = 516,2 \text{ nm}.$$

media $= 22,2 \cdot 10^{-3} \text{s}$.

Această radiație fiind radiația cea mai intensă din întregul spectru al stelei, stea are o culoare albăstruie. Din această informație putem în continuare determina și temperatură superficială a stelei (Fizica cl. a XI-a, cap. 13).

3.2.7. Interferență și difracția în natură. În natură, fenomenele de difracție și de interferență pot fi observate în multe cazuri. Vom trece în revistă astfel de cazuri fără a le explica în amănunte, deoarece unele din ele vor fi discutate mai tîrziu pe cazuri particulare ceva mai simple.

Astfel, în serile reci de iarnă, dacă privim prin geamurile acoperite de figuri de gheăță, ale tramvaielor sau autobuzelor, către felinarele de pe stradă prin vedere jocuri de culori. Nuanțele de albastru, roșu sau verde observate numai atunci cînd stratul de gheăță depus prin înghețarea vaporilor de apă (din respirație) pe geamul recă îndeplinește anumite condiții. În cazul în care stratul de gheăță depus nu este continuu ci este format încă din mici zone locurilor libere, transparente, acționează ca mici fante prin care lumina albă se difractă și interferă dinde acela jocuri de culori.

Un alt caz de difracție este acela al aureolei ce înconjură silueta unui om (sau obiect) cînd acesta se interpune în calea unei surse punctiforme, puternice, de lumină. O astfel de sursă o reprezintă farurile unei mașini în deparțare, noaptea. Efectul este mai bine evidențiat dacă obstacolul este la rîndul lui destul de departe de noi.

Prin petele de ulei de pe suprafața unor ochiuri de apă, vedem că ele apar colorate. Asemănător apar culorile și peliculele subțiri ale balonelor sau filmelor de săpun. Ele sunt rezultatul interferenței radiației lumenioase pe cele două fețe ale peliculei, din care cauză fenomenul poartă numele de „peliculele păturilor (sau peliculelor) subțiri”. Toate aceste fenomene pot fi ușor studiate experimental.

Experiment 3.1. Pentru a experimenta fenomenul de difracție prin orificiu mic procedăm astfel: ne procurăm două bucăți de hirtie metalizată (utilizată la învelirea batonelor de colaciat). Electruăm cîte o fântă mică în fiecare din aceste bucăți de hirtie. Fanta trebuie făcută cu un ac foarte fin, rotindu-l între degete, hirtia fiind aşezată pe un suport tare care să nu permită pătrunderea prea adinăcă a acelui orificiu să fie mai mic de 0,5 mm în diametru. Folosind ca sursă Soarele sau un bec puternic, privim prin cele două hirtii (înținute la o distanță de 30–50 cm una de alta), către sursă. Cu putină ridicare vîză vedea cum orificele se vor largi, căpătind formă unui disc lumenios înconjurat de un sistem de inele ce corespund unor maxime și minime de interferență de diverse ordine. Desenati (cu creioane colorate) imaginea observată și încercă să explică modul în care apare.

Dacă efectuăm într-o hirtie două fante nicidecum une de alta (sub 1 mm) și privim prin ele spre hirtia cu o singură fântă, imaginea de difracție pe care o vom vedea va fi diferită. Desenati (în mod asențiator) ceea ce vedeti și încercați să explică cauzele modificării imaginii (experiment de tip Young).

Experiment 3.2. Interferența lumini în peliculele subțiri de apă și săpun este similară de obicei de instructivă. În acest scop facem o soluție de săpun în apă curată (preferabilă distilată). Se poate utiliza un detergent care să nu se adauge în loc de săpun. Pentru a stabiliza pelicula se poate amesteca soluția obținută cu glicerina. La o proporție de apă, glicerina și detergent de 1 : 1 : 1/3, pelicula poate să se mențină cîteva zeci de minute, dacă este protejată de curății de aer. Se poate utiliza în acest scop și lichidul ce se găsește în jucăriile de facut baloane ce poate fi cumpărată de la orice magazin de jucării.

Se construiește apoi din simă un cadru mic dreptunghiular care se prevede cu un miner. Se introduce cadrul în vasul în care se află lichidul preparat. Se scoate cu grijă și se atrină pentru a putea fi privit în liniste. Pentru a observa interferența se va privi fie prin transmisie, fie prin reflexie spre o sursă de lumină extinsă de exemplu un bec, sau o foaie de hîrtie albă iluminată de soare. Vor apărea franje de interferență colorate, orizontale. Experimentați condițiile optimale de producere a peliculelor și descrieți ceea ce observați. Explicați succesiunea cularilor

și caracteristicile figurii de interferență. Principiul după care se realizează interferență în acest experiment este dat în § 3.3.

Este interesant de observat că I. Newton a experimentat fenomenul de interferență în pelicule. Cum pe acea vreme lumina era interpretată corpuscular, explicația dată de Newton a fost aceea a dispersiei luminii de către peliculă, dispersie ce se produce într-un mod asemănător celei produse de o prismă. Culorile care apar în acest experiment nu pot fi considerate, în realitate, ca, provenind de la un fenomen de dispersie, deoarece iluminând cu radiatie monocromatică (de exemplu o lampă de sodiu) se obține structura de frâne tipică interferenței. Mai aveti și alte argumente în eliminarea fenomenului de dispersie ca origine a colorației peliculei?

Puteam spune în încheiere că fenomenele de difracție și de interferență sunt în evidență caracterul ondulator al luminii și că optica geometrică în care raza de lumină reprezintă conceptul fundamental, este doar o primă aproximatie. Aproximația razei de lumină este valabilă pentru cazul în care deschiderile prin care trece lumina sunt mult mai mari decât λ astfel încât fenomenele de difracție și interferență să fie neglijabile.

3.3. APLICAȚII ALE FENOMENELOR DE DIFRACTIE ȘI INTERFERENȚĂ

3.3.1. Evidențierea caracterului ondulator al unui fenomen. Înaintea apariției lucrărilor lui Huygens și Fresnel, teoria acceptată privind natura luminii era cea a corpusculilor lui Newton. Acești corpusculi mișcându-se conform legilor mecanicii clasice puteau explika ușor propagarea în linie dreaptă și reflexia luminii. Refracția punea unele probleme. Dar odată cu descoperirea fenomenelor de difracție și interferență, a ieșit în evidență caracterul ondulator al luminii. Mai mult, fenomenele de interferență și difracție au permis să se determine în mod direct lungimea de undă a radiatiiei, ceea ce mai importantă mărimea ondulatorie care caracterizează undele electromagnetice. În acest fel s-a ajuns la corespondența între culoare și lungimea de undă, s-a determinat natura ondulatorie a radiațiilor X și mai târziu a fost pus în evidență caracterul ondulator al mișcării particulelor.



3.3.2. Spectrometrul cu rețea. Am văzut că pentru a realiza un maxim de interferență este necesară îndeplinirea condiției (3.9):

$$\Delta = m \cdot \lambda.$$

Această relație ne arată că pentru diverse lungimi de undă, condiția de maxim de interferență se realizează pentru diferite de drumuri diferențiate. Observația aceasta ne sugerează posibilitatea utilizării relației (3.9) pentru construirea unor dispozitive care să separe în fascicule

monocromatice o radiatie compusă. Un astfel de dispozitiv este de exemplu *rețeaua de difracție*. Prințipul de funcționare al unei rețele de difracție, *prin transmitrie*, este arătat în figura 3.15. Construcția rețeaua de difracție constă dintr-o placă de sticlă sau alt material transparent pe care sunt tratate fășii opace, echidistante. Se realizează astfel o serie de fante paralele aflate la distanță d una de alta.

Să presupunem că perpendicular pe rețea cade un fascicul paralel de lumină (undă plană). Unda plană care rezultă din însumarea undelor ce provin de la toate fantele, va avea direcția θ față de undă incidentă (difracție). Pentru a obține o figură de interferență ele trebuie să se suprapună. Acest lucru se realizează cu ajutorul unei lentile așezată paralel cu rețeaua, care va strîngă într-un punct dat din planul focal toate undele ce au fost difracțiate sub același unghi θ . Maximum de interferență se va obține pentru:

$$\sin \theta = \frac{\Delta}{d} = \frac{m\lambda}{d}. \quad (3.19)$$

De aici rezultă că pentru o rețea dată și un ordin dat de interferență, unghiul θ va depinde de λ . Spunem că rețeaua de difracție poate să realizeze *dispersia* luminii. Același efect poate fi obținut cu ajutorul unei prisme, în care caz dispersia este determinată de dependența indiferentă de refracție n_{12} de λ . Dependența unghiului de deviație pentru o rețea (sau prismă) de lungimea de undă a radiatiiei se exprimă prin mărimea denumită *dispersie umghiară* (δ) a rețelei (sau prismei) definită prin relația:

$$\delta = \frac{d\theta}{d\lambda}. \quad (3.20)$$

Pentru a determina dispersia unei rețele, vom deriva relația (3.19):

$$\lambda = \frac{d}{m} \sin \theta; \quad \frac{d\lambda}{d\theta} = \frac{d}{m} \cos \theta$$

și deci:

$$\delta = \frac{d\theta}{d\lambda} = \frac{m}{d \cdot \cos \theta}. \quad (3.21)$$

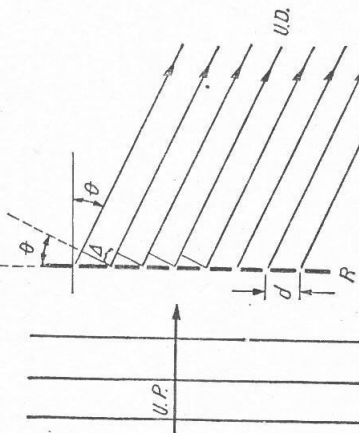


Fig. 3.15. Mersul razelor într-o rețea de difracție, R, prin transmitie. U.P. – undă incidentă (plană); U.D. – undă difracțată.

Se vede că dispersia δ a unei rețele este cu atit mai mare cu cit: d este mai mic, m mai mare sau θ mai mare. Mărimea d este astfel o caracteristică importantă a unei rețele și se numește *constanta rețelei*. Rețelele actuale pot avea în mod uzuale $\sim 4\ 000$ fante pe centimetru. Dispersia δ a unei rețele este mult mai mare decât aceea a unui prismă, ceea ce face ca spectrografele cu rețea să permită o mai bună separare unghiulară a radiilor de lungimi de undă apropiate.

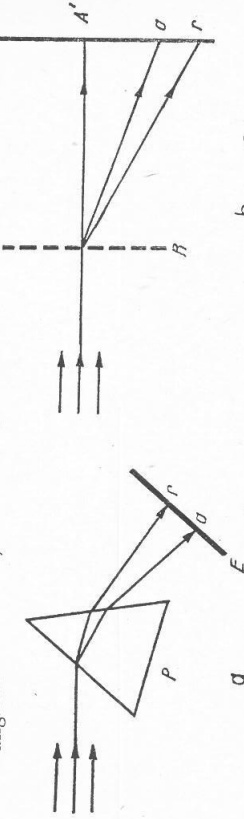


Fig. 3.16. Comparare între spectrele obținute cu ajutorul unei prisme (a) și cu ajutorul unei rețele de difracție (b). F - prismă; R - reea de difracție; E - ecran; A - radiație nedescumpărată; r - roșu; a - albastru.

O altă deosebire între spectrele obținute folosind rețea de difracție și cele obținute folosind prismă reiese din figura 3.16: cele două dispozitive ordonează radiile după lungimile de undă în sensuri contrare.

Din punct de vedere constructiv, un spectrometru cu rețea nu se deosebește esențial de un spectrometru cu prismă; ambele vor conține cîte un colimator prevăzut cu o fană de intrare și cîte o lunetă cu care se va putea vedea spectrul și determina lungimea de undă (Fizica cl. X. § 4.9).

3.3.3. Metode interferențiale de măsurare și control.

Franje de egală grosime. O sursă de lumină practic monocromatică de lungime de undă λ în vid λ , trimită un fascicul divergent asupra unei lame subțiri (fig. 3.17). Lamea este tăiată în formă de pană, cele două fețe ale lamei Σ_1 și Σ_2 făcînd între ele un unghi diedru φ , foarte mic. Să considerăm rază a , care parcurge drumul $SABC P$, suferind mai întîi o refracție în lama, în punctul A , după care se reflectă pe fața Σ_2 , în punctul B , se refractă din nou în punctul C , ieșind din lama, după care lentila L o focalizează în punctul imagine P , conjugat punctului obiect S . O a două rază b , parcurge drumul SCP , suferind numai reflexia pe suprafața Σ_1 , după care este focalizată de lentila de asemenea în punctul P . Fie h , grosimea lamei în dreptul punctului O . Diferența de drum Δ între razele a și b este funcție de h . Pentru a obține un maxim trebuie ca această diferență de drum să fie un multiplu întreg de lungimi de undă:

$$\Delta(h) = m\lambda. \quad (3.22)$$

Ca urmare în punctul P vom obține un maxim luminos. Acest maxim se produce de asemenea pentru toate razele pornite din S care ajung la suprafața Σ_1 , în puncte pentru care grosimea lamei este egală cu h .

Să considerăm acum o a două pereche de raze, a' și b' , care urmează drumul $S'A'B'C'P'$, respectiv $SC'P'$ (în figură aceste raze sunt desenate

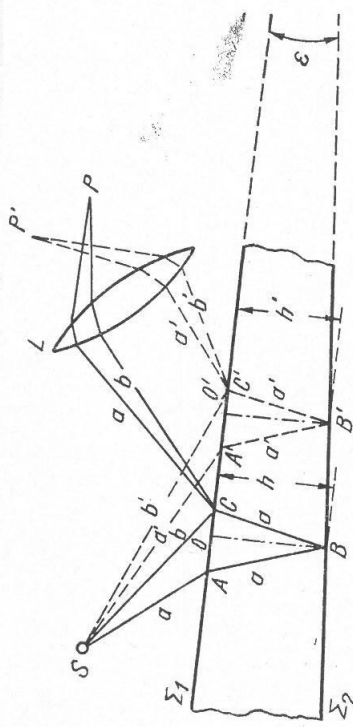


Fig. 3.17. Producerea franjelor de egală grosime.

punctat). Diferența de drum între aceste raze este $\Delta'(h')$, dependentă de noua grosime h' din dreptul punctului O' . Vom admite că între a' și b' diferența de drum îndeplinește condiția

$$\Delta'(h') = (m+1)\lambda \quad (3.23)$$

avînd drept rezultat obtinerea unui alt maxim focalizat în P' . În acest fel, se obține un sistem de franje de interferență, fiecare franjă corespunzînd unei grosimi date a lamei. Din acest motiv, astfel de franje se numesc *franje de egală grosime*.

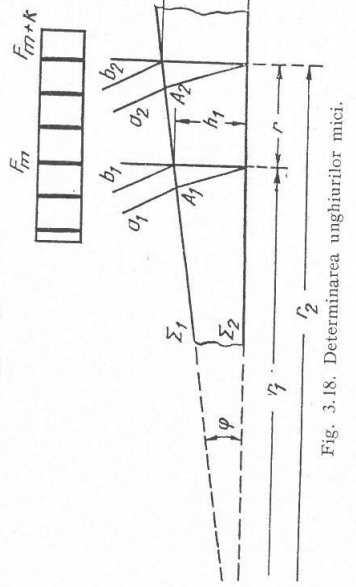


Fig. 3.18. Determinarea unghiurilor mici.

Măsurarea unghiurilor foarte mici. Un mediu transparent este limitat de două fețe plane, Σ_1 și Σ_2 , care formează între ele un unghi diedru φ suficient de mic pentru a nu putea fi măsurat prim metodele obisnuite (fig. 3.18). Unghiul φ poate fi totuși măsurat pe cale optică

prin următoarea metodă interferențială. Se produce un sistem de franje de egală grosime (arătat în partea de sus a figurii) prin metoda discutată anterior. Ne fixăm atenția asupra franjei luminoase de ordinul m , corespunzătoare grosimii h_1 a lamei și a franjei luminoase de ordinul m , $m + k$ corespunzătoare grosimii h_2 . Dacă pentru frana de ordinul m , diferența de drum între razele a_1 și b_1 este Δ_m , iar pentru cea de ordinul $m + k$, diferența de drum geometric dintre razele a_2 și b_2 este Δ_{m+k} , atunci:

$$\Delta = \Delta_{m+k} - \Delta_m = k \frac{\lambda}{n} \quad (3.24)$$

unde k este un număr întreg. Lungimea de undă în vid λ , a radiatiiei a fost împărțită prin indicele de refracție n al mediului transparent, deoarece într-un mediu oarecare $\lambda_{\text{mediu}} = \frac{\lambda}{n}$. Între razele a_1 și b_1 diferența de drum geometric este practic egală cu $2h_1$, iar între razele a_2 și b_2 este practic egală cu $2h_2$, deoarece unghiul φ este foarte mic. Urmează că:

$$\Delta = 2(h_2 - h_1). \quad (3.25)$$

Dar din figură se vede că întrucât φ este foarte mic

$$\begin{aligned} h_1 &= r_1 \sin \varphi \approx r_1 \varphi \\ h_2 &\simeq r_2 \varphi \end{aligned} \quad (3.26)$$

și deci:

$$\begin{aligned} h_2 - h_1 &= (r_2 - r_1) \varphi = r \varphi \\ \text{unde } r &\text{ este distanța dintre frana luminoasă de ordinul } m+k \text{ și frana luminoasă de ordinul } m. \text{ Din relațiile (3.24), (3.25) și (3.26) rezultă} \\ \varphi &= \frac{h \lambda}{2nr} \end{aligned} \quad (3.27)$$

Dilatometrie interferențială. Cu ajutorul metodelor interferențiale se pot măsura variații foarte mici de ordinul a 10^{-7} m ale dimensiunilor diverselor piese. Un exemplu îl constituie dilatometru interferențial (fig. 3.19) care permite măsurarea foarte precisă a coeficientului de dilatare a diverselor materiale. Pe măsura de înaltă planeitate P se aşază un inel C de cuarț, al cărui coeficient de dilatare este foarte precis cunoscut. În interiorul inelui se află o bucată M din materialul β al cărui coefficient de dilatare se măsoară. Fața inferioară pe care se reazemă materialul pe măsuță, cît și fața superioară sunt polisate oglinză cu multă grija pentru a fi cît mai plane posibil. Deasupra se aşază o placă de sticlă S , de asemenea polisată cu grija și cît mai plană posibil, față superioară a materialului formind cu fața în-

feioiară a plăcii de sticlă un mic unghi diedru, astfel încât între aceste două suprafete să se găsească o pană de aer. Pe placă de sticlă se trasează un repere R .

Să presupunem că dispozitivul se află la temperatura T și că una din franjele luminoase de egală grosime, care se formează în pana de aer, este situată chiar în dreptul repereului R . Această franjă, de ordinul m , corespunde grosimii h a unei de aer din dreptul repereului. Dacă temperatura se modifică la T' , materialul se dilată, iar grosimea unei de aer în dreptul repereului va avea valoarea h' , corespunzătoare franjei de ordinul $m-k$. Datorită acestui fapt, cind materialul se dilată, iar grosimea variază de la h la h' , vom putea număra k franje care defină rază prin dreptul repereului. Diferența de drum geometric între rază reflectată pe față superioară a unei de aer și cea reflectată pe față inferioară a unei de aer va varia și ea de la $2h$ la $2h'$. În consecință

$$2(h - h') = k \frac{\lambda}{n_0} \quad (3.28)$$

unde n_0 este indicele de refracție al aerului. Din această relație se afișază:

$$h - h' = \frac{k \lambda}{2n_0}.$$

Metoda este foarte precisă, întrucât chiar și o variație de numai $\lambda/2$ a grosimii unei de aer determină deplasarea figurii de interferență cu o franjă, deci ea poate fi măsurată. Cum însă lungimea de undă a radiatiilor vizibile este de ordinul $5 \cdot 10^{-7}$ m, înseamnă că este posibilă măsurarea unor variații ale grosimii de ordinul a 10^{-7} m.

Controlul planeității suprafetelor. În dispozitivele de precizie este necesară utilizarea unor plăci astfel polisate, încât nerregularitățile să fie cel mult de ordinul a 10^{-7} m. Controlul acestui grad înalt de planeitate a suprafetelor se poate realiza cu ajutorul unui dispozitiv interferometric (fig. 3.20).

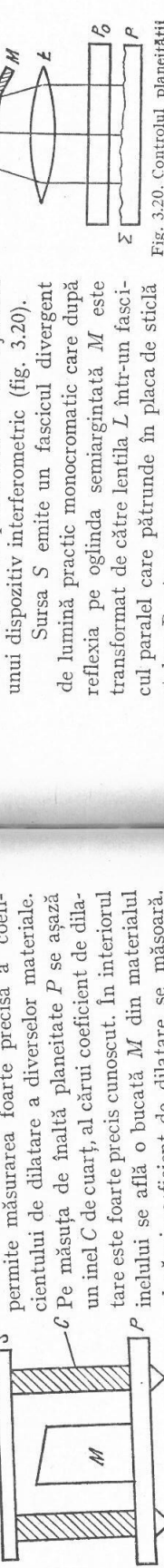


Fig. 3.19. Schema unui dilatometru interferențial.

Fig. 3.20. Controlul planeității suprafetelor. În imagine se văd două secțiuni transversale ale unui dispozitiv interferometric. Secțiunea de sus arată o sursă S emițând lumină monocromatică care se reflectă pe oglinda semiargintată M și se transformă de către lentila L într-un fascicul paralel care pătrunde în placă de sticlă P. Secțiunea de jos arată o placă de sticlă P cu un repere R și un repere R'. În mijloc se văd două franje luminoase, una de ordinul m și alta de ordinul m+k.

față Σ ar fi perfect plană, în planul F să observă un sistem de frânci de interferență de egală grosime, riguroz paralele (fig. 3.21, a). Dacă însă suprafața cercurii Σ nu e bine polisată, atunci frâncile se deformeză în jurul ridicăturilor (fig. 3.21, b) sau a adinciturilor (fig. 3.21, c).



Fig. 3.21. Figuri de interferență pentru diferite suprafete.

venită de la fiecare atom va avea o suprafață de undă sferică. Undele provenite de la toti atomii, se vor putea suprapune într-o regiune dată din spațiu, astfel încât vor determina maxime sau minime de interfe- rență în funcție de diferențele dintre fazele lor.

Dacă atomii sunt dispuși în substanță în mod dezordonat, maximale și minime vor fi la rîndul lor repartizate dezordonat și se poate întâmpla ca maximalele determinate de un grup de atomi să se suprapună peste minimalele altui grup de atomi ceea ce va avea ca rezultat un cîmp de interferență relativ uniform „iluminat“.

Dacă din contră, în interiorul substanței atomii sunt dispusi ordonat, atunci această ordine se va reflecta într-o ordonare a maximelor și minimelor, cîmpul de interferență fiind alternativ „luminos“ și „intunecat“. Pentru a putea determina legătura dintre succesiunea frâncelor de interferență și ordinea atomilor din substanță să luăm cazul ideal al unui plan ordonat de atomi (fig. 3.22) cu echidistanță a_0 .

Fie de asemenea

un fascicul paralel de radiații X care cade sub unghiul de incidentă θ . Unul din fasciculele difracție va emite sub unghiul θ' . În fund în figura 3.22, o perche de atomi (de exemplu A și B) vom putea scrie că diferența de drum între fasciculele 2 și 1 va fi:

$$\Delta = a_0 \cdot \sin \theta + a_0 \cdot \sin \theta'.$$

Pentru un maxim de difracție, vom avea condiția:

$$a_0(\sin \theta + \sin \theta') = m\lambda. \quad (3.28)$$

Iar dacă alegem cazul $\theta = \theta'$ obținem:

$$2a_0 \cdot \sin \theta = m\lambda. \quad (3.29)$$

Aceasta se numește *legea de reflexie a lui Bragg*, deoarece coresponde cazului de difracție în care $\theta = 0$.

Pentru toate perchele de plane echidistante ce contin atomi (cu distanța a_0 între plane), relația (3.28) va da condiția de maxim. Ca urmare, pentru un λ dat, vom avea cîteva direcții de reflexie Bragg (pentru diverse valori ale lui m):

$$\sin \theta = m \frac{\lambda}{2a_0}$$

din care putem determina pe a_0 . Relația poate fi interpretată și reciproc: cunoșind aceste reflexii Bragg și de asemenea pe a_0 putem determina pe λ .

Prin caz poate fi utilizat pentru determinarea constantei a_0 a unei substanțe cu atomi ordonați (monocrystal). Al doilea caz poate fi utilizat pentru determinarea lungimii de undă a radiatiilor X monochromatice.

Prin caz permite astfel o analiză a structurii cristaline a substanțelor. Dacă avem un amestec de structuri cristaline cu diverse valori pentru a_0 , figura de difracție se complică, dar un studiu atent al ei permite determinarea diferitelor valori a_0 existente în substanță și deci permite recunoașterea diferitelor structuri.

În acest mod, se pot recunoaște diferitele faze cristaline ale unui compus dat, se pot stabili temperaturile de transformare de la o fază la alta, se poate determina coexistența mai multor faze deodată, se pot determina structurile cristaline ale altajelor ș.a.m.d.

3.3.5. Puterea de separare a instrumentelor optice. Calitatea unui instrument optic, de exemplu telescop, lunetă, microscop sau lupă, este dată nu atât de mărirea pe care o realizează cît mai ales de puterea lui de separare. Prin *putere de separare* înțelegem inversul distanței minime dintre două puncte sau obiecte care pot fi văzute distinct. Este inutil să realizăm mărimi foarte mari cu un instrument, dacă imaginea care apare nu ne evidențiază nici un detaliu.

Pierderea detaliilor sau din contră evidențierea detaliilor este determinată de fenomenele de difracție și interferență care au loc în

instrument, deoarece oricare ar fi instrumentul, el captează radiația printr-un obiectiv de dimensiuni finite. Aceste dimensiuni limitează puterea de separare a instrumentului.

Pentru a înțelege cum se petrece acest lucru să presupunem următoarea situație (fig. 3.23). Două surse de lumină monocromatică (λ),

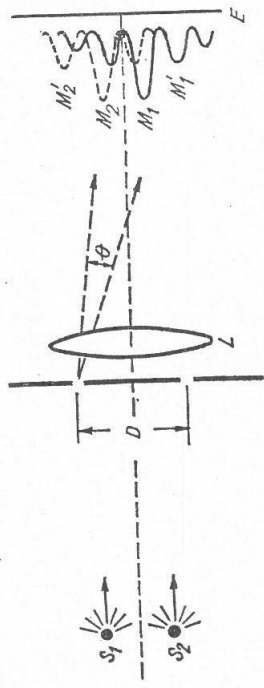


Fig. 3.23. Aprecierea puterii de rezoluție.

S_1 și S_2 se află astfel de aproape încât se pune problema separării lor. Dispozitivul optic este simbolizat prin lentila L , iar receptorul prin ecranul E așezat în planul focal al lentilei L .

Să presupunem acum că în fața obiectivului L , punem un paravan cu două deschideri mici, aflate la distanța D una de alta. Atunci fiecare sursă (S_1 și S_2) va produce prin sistemul celor două fante cite o figură de difracție formată din cîte un maxim principal M_L , respectiv M_S , o serie de maxime secundare mai puțin intense. Deschiderea unghiu-lară (φ) între două maxime successive de difracție ale unei surse va fi dată de relația:

$$D \sin \varphi = \lambda \quad \text{sau} \quad D \varphi \approx \lambda \quad (3.29)$$

dacă φ este foarte mic.

Și cealaltă sursă va da același sistem de franje, dar decalat de primul prim unghiul θ . Rezultă de aici că unghiul φ va depinde de distanța D dintre cele două surse S_1 și S_2 . Modificind pe D , putem modify unghiulără dintre cele două surse S_1 și S_2 . În schimb, dacă se produce interferența acestor unde corente cu o undă de referință de asemenea coerență și de aceeași lungime de undă, atunci pe placa fotografică se va înregistra o figură de interferență care va include atît informația asupra intensității cît și cea asupra fazelor unde. Fotografia acestei figuri de interferență este numită *hologramă*.* Deși holograma nu seamănă deloc cu obiectul care a produs-o,

Introducind în (3.29) obținem:

$$\theta \approx \frac{\lambda}{2D}.$$

Tinând cont că această condiție este la limita ei inferioară, putem accepta ca o măsură practică a „separării” celor două surse:

$$\theta_{min} \approx \frac{\lambda}{D}. \quad (3.30)$$

Astfel, pentru o cît mai bună separare trebuie ca D să fie cît mai mare. Dar nu putem crește pe D mai mult decît diametrul obiectivului. Vom considera deci că mărimea D din (3.30) este chiar diametrul obiectivului.

Acum să mărim treptat dimensiunile orificiilor ecranului din fața obiectivului. Din punct de vedere al figurii de difracție obținem treptat o mărire a maximelor centrale (M_1 sau M_2) cu o micșorare simultană a celorlalte maxime. Această operație nu modifică interfranța și deci condiția (3.30) rămîne valabilă. La limită, tot obiectivul este eliberat, cele două maxime principale (care ne dau acum imaginea celor două surse) au rămas în același loc. Putem spune astfel că relația (3.30) reprezintă o măsură a capacitatii de separare, în sensul că imaginile celor două surse nu se contopesc dacă:

$$\theta \geq \theta_{min} \approx \frac{\lambda}{D}.$$

În consecință, puterea de separare a instrumentului este cu atît mai mare cu cît se lărgesc cu o radiatîe cu λ mai mic și cu cît diametrul obiectivului este mai mare.

3.3.6. Holografia și aplicațiile acestei metode.

Principiul metodei holografice. Metoda fotografică obișnuită constă în înregistrarea pe placa fotografică a imaginii produse de lumina incoerentă reflectată de obiecte. Deoarece o undă incoerentă de λ anumită lungime de undă se caracterizează numai prin intensitate nu și prin fază ei, înseamnă că informația asupra obiectului (stocată pe fotografie) este inclusă numai în repartiția bidimensională a intensității luminoase.

Dacă însă obiectul este iluminat cu lumină coerentă, adică cu unde care au bine definită atît intensitatea cit și faza, atunci lumina reflectată de obiect va cuprinde o informație mai bogată asupra acestuia. Emulsia plăcii fotografice nu poate înregistra direct faza unde reflectate de obiect. În schimb, dacă se produce interferența acestor unde cu o undă de referință de asemenea coerență și de aceeași lungime de undă, atunci pe placa fotografică se va înregistra o figură de interferență care va include atît informația asupra intensității cît și cea asupra fazelor unde. Fotografia acestei figuri de interferență este numită *hologramă*.* Deși holograma nu seamănă deloc cu obiectul care a produs-o,

* În limba greacă „holos” înseamnă „în întregime”, deci holograma înseamnă înregistrarea completă a obiectului.

totuși așa cum se va arăta mai departe, imaginea acestuia se poate reconstitui cu ușurință, lumenind convenabil holograma cu o undă de referință identică celei folosite la obținerea hologramei. Este remarcabil că imaginea produsă apare în relief și natural, deoarece informația înregistrată de hologramă fiind mai bogată decât cea dintr-o fotografie obișnuită, poate pune în evidență și relieful obiectului.

Obținerea hologramelor. Dispozitivul folosit pentru obținerea hologramelor (fig. 3.24) cuprinde un laser care emite o lumină coerentă monocromatică, un sistem optic pentru lărgirea cîmpului undei laser, o oglindă, obiectul studiat și o placă fotografică. Oglinda are rolul de a reflecta direct spre placa fotografică o parte din fascicul emis de laser, formând astfel undă de referință care interferă cu undele reflectate de obiect.

Pentru a înțelege formarea pe placă fotografică a figurii de interferență produse de aceste unde vom analiza mai întâi cazul simplificat din figura 3.25.

Pe placă fotografică H , sosește undă de referință, armonică plană, de lungimea de undă λ , sub unghiul de incidentă i_r , iar undă reflectată de obiect, presupusă de asemenea armonică plană de aceeași lungime de undă sosește sub unghiul de incidentă i_0 . Ambele unde fiind coerente, vor interfeța, producând de exemplu în punctul A un maxim, iar în punctul B maximul următor.

În schimb însă, faza undei de referință în punctul A va fi:

$$\varphi_r(A) = \varphi_r(A') - \frac{2\pi}{\lambda} a \sin i_r = \varphi_r(B) - \frac{2\pi}{\lambda} a \sin i_r, \quad (3.32)$$

deoarece din A' pînă în A unda parcurge drumul $a \sin i_r$. Tot astfel, punctele planului Π_o , normal pe direcția de propagare a undei reflectate de obiect au aceeași fază, urmează deci că:

$$\varphi_0(A) = \varphi_0(B'). \quad (3.33)$$

În schimb în punctul B :

$$\varphi_0(B) = \varphi_0(B') - \frac{2\pi}{\lambda} a \sin i_0 = \varphi_0(A) - \frac{2\pi}{\lambda} a \sin i_0 \quad (3.34)$$

deoarece undă reflectată de obiect are de parcurs între punctul B' și punctul B distanța $a \sin i_0$.

În punctul A se produce un maxim de interferență; urmează deci că în acest punct, unda de referință și cea reflectată de obiect sunt în fază:

$$\varphi_r(A) = \varphi_0(A) = 2m\pi. \quad (3.35)$$

Să intrucătăm în B se produce maximul de interferență următor

$$\varphi_r(B) - \varphi_0(B) = 2(m+1)\pi. \quad (3.36)$$

Înlocuind în (3.35) pe $\varphi_r(A)$ cu expresia din (3.32) și în (3.36) pe $\varphi_0(B)$ cu expresia din (3.34), găsim:

$$\varphi_r(B) - \frac{2\pi}{\lambda} a \sin i_r - \varphi_0(A) = 2\pi m \quad (3.37)$$

$$\varphi_r(B) - \varphi_0(A) + \frac{2\pi}{\lambda} a \sin i_0 = 2(m+1)\pi. \quad (3.38)$$

Scăzînd acum membru cu membru relația (3.37) din (3.38) rezultă:

$$a = \frac{\lambda}{\sin i_0 + \sin i_r}. \quad (3.39)$$

În acest caz simplu holograma va fi formată dintr-o rețea de franjă echidistante, în care distanța a dintre franje stocă informația privind direcția după care sosesc undă reflectată de obiect. În cazul unor obiecte de o formă oarecare, nu avem o singură undă plană incidentă sub un unghi i_0 , ci o multitudine de unde plane care sosesc sub diverse unghiiuri i_0, i'_0, i''_0, \dots . Figura de interferență va fi în acest caz mult mai complicată, înregistrînd și stocînd de data aceasta informația privind toate direcțiile după care vin diversele undă reflectate de obiect. Intensitățile acestor unde, în raport cu cea a undei de referință, vor determina distribuția intensității de impresionare în diversele puncte ale plăcii fotografice.

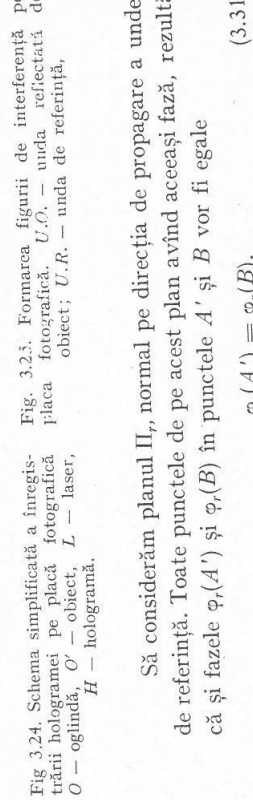


Fig. 3.24. Schema simplificată a înregistrii hologramelor. O oglindă O reflectă unda de referință L către placă fotografică H . Un obiect O' este reflectat de la oglindă O către placă H .

Să considerăm planul Π_r , normal pe direcția de propagare a undei de referință. Toate punctele de pe acest plan avînd aceeași fază, rezultă că și fazele $\varphi_r(A')$ și $\varphi_r(B)$ în punctele A' și B vor fi egale

$$\varphi_r(A') = \varphi_r(B). \quad (3.31)$$

Reconstituirea imaginii. Reconstituirea imaginii are loc în același dispozitiv în care s-a obținut holograma, aceasta fiind fixată în același suport și în aceeași poziție ca și la înregistrare. Holograma se luminează cu o undă de referință identică cu cea folosită la înregistrare (fig. 3.26).

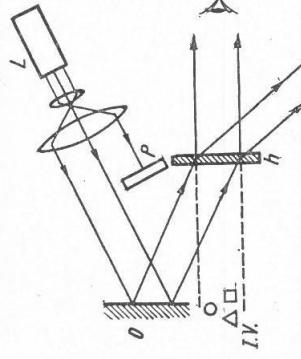


Fig. 3.26. Reconstituirea imaginii. L — laser; O — oglindă; P — paravant; h — hologramă; O' — observator; $I.V.$ — imagine primară (virtuală); $I.R.$ — imagine conjugată (reală).

În cazul reconstituirii imaginii, holograma funcționează ca o rețea de difracție, maximalele acționând ca niște fante interpuse în drumul undei de referință. Ne vom referi chiar la holograma simplă discutată la începutul subparagrafului precedent. Teoria difracției printre-o rețea de fante paralele echidistante, arată că în cazul în care difracția are loc prin reflexie ca în cazul figurii 3.27, condiția de maxim este:

$$a(\sin i_r + \sin \alpha) = \lambda \quad (3.40)$$

unde λ este lungimea de undă, i_r unghiul de incidentă a undei înainte de difracție, α unghiul după care se difractă unda, iar a distanța dintre fantele rețelei. Din această relație se obține:

$$\sin \alpha = \frac{\lambda}{a} - \sin i_r \quad (3.41)$$

Deoarece se folosește exact aceeași așezare a dispozitivelor ca la înregistrarea hologramei unghiul i_r , este același cu unghiul de incidentă al undei de referință la înregistrare, valoarea sa putind fi obținută din relația (3.39):

$$\sin i_r = \frac{\lambda}{a} - \sin i_0 \quad (3.42)$$

Introducând (3.42) în (3.41), rezultă:

$$\sin \alpha = \sin i_0, \text{ deci } \alpha = i_0.$$

Unghiul sub care se propagă unda difratată este identic cu cel sub care a sosit unda reflectată de obiect. Dacă holograma se obține

din razele reflectate de un obiect oarecare sub diverse unghiiuri, razele difractate de hologramă vor urma exact același drum, astfel că privind din spatele hologramei vom vedea — în prelungirea acestor raze — imaginea obiectului.

În felul acesta, cu ajutorul hologramei reconstituim toate razele reflectate de obiect, prelungindile lor formând în ochiul nostru exact aceeași imagine, dar virtuală, ca și razele care ar porni direct de la obiect, dându-ne inclusiv senzația de relief.

Proprietățile hologramelor. Sistemul de frâne înregistrat pe hologramă cuprinde toată informația asupra obiectului, aceasta regăsindu-se integral în fiecare porțiune a hologramei. De aceea, dacă spargem o hologramă în bucăți, fiecare fragment continuind să cuprindă în întregime informația asupra obiectului, permite reconstrucția integrală a imaginii. Dar, cu cât fragmentul este mai mic, cu atât și claritatea imaginii este mai slabă.

Dacă o hologramă se suprapune peste o placă fotografică și se iluminează, placa fotografică va înregistra „negativul” hologramei. Aceasta însă nu se deosebește de „pozitiv” decit prin aceea că minimele iau locul maximelor și reciproc, adică are loc o deplasare a figurii de interferență cu o jumătate de interfrânja. Din acest motiv, dacă încercăm reconstituirea imaginii folosind „negativul” hologramei, vom obține exact aceeași imagine ca și în cazul utilizării „pozitivului” hologramei.

O altă proprietate interesantă a hologramelor constă în aceea că prin utilizarea la reconstituirea imaginii a unei unde cu o altă lungime de undă decit aceea a undei de referință folositoare a hologramelor constă în a obține o mărire, respectiv o micșorare a imaginii produse.

În cazul înregistrării hologramelor pe o placă fotografică cu un strat de emulsie mai gros, în locul unui sistem de frâne bidimensional, se formează un sistem de frâne tridimensional, obținându-se astfel o hologramă *în volum*, care prezintă unele avantaje față de hologramele plane.

Prin iluminarea obiectelor cu trei radiatii laser diferte — albastră, verde și roșie — se înregistrează pe hologramă trei sisteme de frâne distincte, corespunzătoare celor trei lungimi de undă. Dacă se reconstruiește imaginea folosind simultan cele trei radiatii laser, se va obține imaginea holografică colorată a obiectelor.

Aplicații ale holografiei. Metoda holografică, imaginată încă din 1948 de fizicianul englez Denis Gabor și dezvoltată după inventarea laserelor de către americanii Leith și Upatnieks (1963), deși se află încă

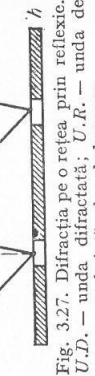


Fig. 3.27. Difracția pe o rețea prin reflexie. L — laser; O — oglindă; P — paravant; $U.D.$ — undă difractată; $U.R.$ — undă de referință; h — hologramă.

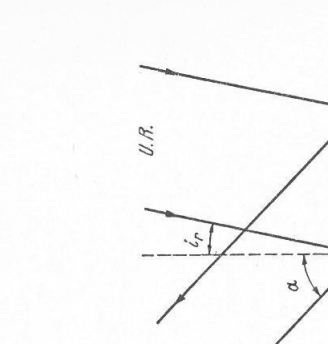


Fig. 3.27. Difracția pe o rețea prin reflexie. L — laser; O — oglindă; P — paravant; h — hologramă; O' — observator; $I.V.$ — imagine primară (virtuală); $I.R.$ — imagine conjugată (reală).

la începuturile ei, a cunoscut o largă răspândire și rapidă perfecționare, datorită vastului cîmp de aplicații în știință și tehnică.

Holografia permite de exemplu vizualizarea curenților într-un gaz sau într-un lichid în miscare, sau în plasma, deoarece variațiile indicei de refracție al fluidei au modificări de fază sesizate de hologramă. În același mod poate fi investigată și variația concentrației soluțiilor. În figura 3.28 se arată undă de soc produsă de un proiectil care se deplasează cu o viteză supersonică.

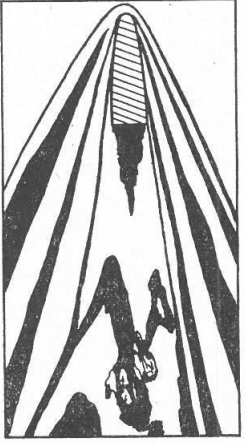


Fig. 3.28. Unda de soc fotografiată holografic.

Recunoașterea formelor este un alt domeniu de aplicație a holografiei în lumină vizibilă; una din utilizările acestei proprietăți a hologramelor fiind identificarea rapidă și corectă a amprentelor digitale, chiar în cazul cînd la dispoziție se află doar portiuni mici din amprentă. Printre perspectivele de viitor ale holografiei în lumină vizibilă, se întrevăd cinematograful în relief și televiziunea în relief. Un alt domeniu important de aplicare a holografiei va consta în realizarea de memorii holografice pentru calculatoarele electronice.

Holografia în lumină vizibilă este utilă în acele observații în care punerea în evidență a reliefului este esențială, de exemplu, la vizualizarea reliefului urmelor particulelor elementare în camera Wilson, sau în camera cu bule. Microscopia holografică permite observația în relief, sub microscop, metodă foarte utilă în biologie, studiul stării solide etc.

În înceiere, menționăm că holografia poate fi folosită și în domeniul microundelor, sursele acestor unde putind fi făcute cu usurință surse coerente. Trimisînd din avion microonde asupra solului, se poate obține holograma reliefului solului, la reconstituirea imaginii putindu-se aprecia ușor relieful obiectivelor investigate.

În fine, holografia cu unde acustice își găsește aplicații în medicină, unde acustice pătrunzînd în adâncime în organism. La reconstituirea imaginii apar în relief detaliu care altfel nu ar putea fi observate, cum ar fi de exemplu tumori ascunse în țesuturi.

Pe de altă parte, propagarea poate fi descrisă cu ajutorul principiului Huygens-Fresnel de construire a noului front (sau suprafață) de undă.

Ambele imagini ne conduc la concluzia deosebit de importantă că orice perturbație electromagnetică se propagă în vid cu o viteză finită. Atât experimental cît și teoretic această viteză rezultă a fi $c \approx 3 \cdot 10^8$ m/s.

Care sunt consecințele mai profunde ale acestor fapte?

Să luăm pentru discuție din nou un pendul electric încărcat și plasat la distanța r de un purtător de sarcină electrică. Pendulul se va găsi în repaus, într-o poziție care va indica intensitatea cimpului în acel punct. Dacă la momentul t_1 , începem să deplasăm purtătorul de sarcină, propagarea cu viteză c a perturbației va face ca scoaterea din repaus a pendulului să se facă cu o întâzire

$$t_2 - t_1 = r/c$$

necesară ca perturbația să se propage pe distanța r .

Rezultă de aici trei concluzii mai importante.

— În primul rînd relația care dă forța coulombiană

$$\vec{F} = \frac{1}{4\pi\varepsilon_0} \frac{q_1 q_2}{r^2} \frac{\vec{r}}{r}$$

este încorectă deoarece nu exprimă această întâzire a efectului mișcării purtătorului de sarcină asupra sarcinii de probă. Cu alte cuvinte, relația care dă forța coulombiană exprimă interacțiunea ca și cum s-ar produce *instantaneu*.

— În al doilea rînd interacțiunea întâzită, determinată de propagarea cu viteză finită a perturbației electromagnetice ne permite să considerăm cimpul ca o entitate independentă de sursa care l-a produs. Înțelegem prin aceasta că acest cimp electromagnetic (și în general orice cimp fizic) are o lungă proprietate enumerată în § 3.1.2, la punctele a, b, c, d și pe aceea a existenței sale reale ca o entitate de-siné-stătuoare, ca o stare a materiei, deosebită de cea de substanță dar tot atât de reală și de fizică.

Cimpul și perturbația corespunzătoare, propagându-se cu viteză finită „mijlocesc” interacțiunea între corpuși. Dacă între sarcini nu ar exista o interacțiune „transportată” de un cimp, atunci ea ar putea fi eventual transmisă cu viteză infinită: între momentul începutului deplasării sarcinii din r și acțiunea ei asupra pendulului se-ar scurge un interval de timp nul, $\Delta t = 0$. Cum sătim că viteză este c , rezultă că $\Delta t \neq 0$ și că această „mijlocire” este reală. Astfel, cimpul nu este doar un alt mod de a descrie interacțiunea (exprimabilă și prin noțiunea de forță) ci are calitățile unei entități fizice. Interacțiunea în care mediu ce separă obiectele joacă un rol esențial poartă denumirea de *interacțiune din aproape în aproape*. Opusul ei este *interacțiunea la distanță*, care presupune o interacțiune nemijlocită între corpuși. Ea se arătă efectua cu generate reciproce a cimpurilor electric și magnetic ce se desprind de sursă.

3.4. CIMPUL ELECTROMAGNETIC CA SISTEM FIZIC

3.4.1. Interacțiunea din aproape în aproape. Am văzut pînă acum că propagarea unei unde electomagnetică poate fi descrisă ca un proces de generație reciprocă a cimpurilor electric și magnetic ce se desprind de sursă.

— În al treilea rînd, propagarea cu viteza finită a interacțiunii ne permite să ordonăm evenimentele petrecute astfel încât să putem separa *cauza de efect* în sensul: cauza este anterioră efectului pe care-l-a produs. În acest fel putem spune că în univers se stabilesc relații cauzale și deci totdeauna putem căuta cauza unui fenomen (efect) dat. Acest aspect este important și din punct de vedere filozofic, deoarece exprimă existența și necesitatea căutării cauzelor fenomenelor printre alte fenomene naturale anterioare efectului. Cunoașterea relațiilor cauză-efect înseamnă cunoașterea legilor naturii și deci posibilitatea principală de a cunoaște, din datele recente, evoluția viitoare a fenomenelor, cu alte cuvinte aceasta înseamnă *știință*.

3.4.2. Cîmpul ca sistem fizic. Am văzut caracterul de-sine-stătător al cîmpului. Să analizăm mai în amănunt proprietățile lui. O primă caracteristică (în plus față de cele expuse în § 3.1.2.) este aceea că perturbațiile cîmpului se propagă cu viteza c . Următoarea caracteristică deosebită a cîmpului este legată de extensia lui în spațiu. De exemplu, spre deosebire de un obiect (substanță) ce poate fi localizat foarte precis, un cîmp electric se întinde *în mod continuu în tot spațiul dan jurul particulei cu sarcină electrică*.

Relația care ne dă intensitatea cîmpului electric într-un punct dat ne descrie cîmpul electric produs de o particulă încărcată. Deci, pentru a defini cîmpul ca un *sistem fizic* oarecare (la fel cum am definit de exemplu un gaz închis într-o incintă) va trebui să cunoaștem valoarea intensității cîmpului în toate punctele și la toate momentele, ceea ce formează o mulțime infinită de valori. Acest aspect scoate astfel în evidență mai bine de ce cîmpul este o entitate continuă. Un corp sau un gaz cu toate că par continue sănăt compuse dintr-un număr foarte mare de atomi (obiecte) având deci un caracter discontinuu: întotdeauna ele pot fi desfăcute spațial, în părți componente. În acest sens cîmpul este contrarul substanței, el fiind prototipul unui mediu distribuit în mod continuu în spațiu, nepuțind fi desfăcut în „părți componente”.

Undă electromagnetică este exemplul idealizat al unui *cîmp izolat*, desprins de sursă. În realitate, cîmpul ca sistem fizic este întotdeauna cuplat (în interacțiune) cu particulele care produc acel cîmp.

Din această cauză, descrierea cîmpului ca sistem fizic presupune cunoașterea modului în care se modifică (sau rămân constante) valorile acelor mărimi care descriu cîmpul. Pînă acum am văzut că intensitatea cîmpulu este o astfel de mărime; uneori dependență de coordonatele spațiale și temporale a mărimilor care descriu cîmpul se numește *funcție de undă*.

Principalele legi care descriu fenomenele electromagnetice (unile studiate anterior iar alttele nu; legea lui Ampère, legea inducției etc.) au fost generalizate și strîns la un loc în aşa-numitele ecuații ale lui Maxwell. Aceste ecuații permit o descriere unitară a tuturor fenomenelor electromagnetice discutate pînă acum.

Din ecuațiile lui Maxwell rezultă de exemplu că unda electromagnetică transportă energie, că are un impuls bine determinat și că se propaga cu viteza c . Relația (3.4) care ne dă densitatea de energie a cîmpului electric exprimă doar o parte din energia cîmpului electromagnetic în vid. Ecuațiile lui Maxwell conduc la o expresie a densității energiei cîmpului electromagnetic, expresie ce conține și parte de energie a cîmpului magnetic:

$$w_{em} = \frac{1}{2} \left(\epsilon_0 E^2 + \frac{1}{\mu_0} B^2 \right).$$

3.4.3. Viteza luminii în vid-constantă universală. Să ne reîntoarcem la problema vitezei luminii. Am văzut că ea are o valoare foarte mare. Am văzut de asemenea cum poate fi măsurată. Ne punem acum problema dacă putem modifica viteza de propagare a luminii și în ce mod?

Un prim procedeu ne este sugerat de fenomenul de refracție a luminii (Fizica cl. a X-a § 3.7.3):

$$n_{21} = \frac{\sin i}{\sin r} = \frac{v_1}{v_2}.$$

Trecerea luminii dintr-un mediu în altul se produce cu schimbarea vitezei luminii conform acestei relații. Dacă mediu (1) este vidul, atunci indicele de refracție se referă la mediu (2) față de vid:

$$n_{21} = \frac{c}{v}.$$

Cum $n_{21} > 1$, rezultă că $v < c$. Cu alte cuvinte lumină intrînd într-un mediu material cu indice de refracție diferit de 1, se va propaga cu o viteză mai mică decât în vid.

Dacă vrem să știm *de ce* într-un mediu oarecare lumină se propaga mai încet decât în vid, trebuie să căutăm răspunsul în teoria generală a undelor electromagnetice. Viteza de propagare a undelor electromagnetice a fost dedusă de către Maxwell:

$$v = \frac{1}{\sqrt{\epsilon_r \mu_r}} = \frac{1}{\sqrt{\epsilon_0 \epsilon_r \mu_0 \mu_r}} = \frac{c}{\sqrt{\epsilon_0 \epsilon_r \mu_r}}$$

unde: $\epsilon = \epsilon_0 \epsilon_r$ și $\mu = \mu_0 \mu_r$ sunt permittivitatea și respectiv permeabilitatea mediului de propagare, ϵ_0 și μ_0 sint mărimile corespunzătoare pentru vid, iar ϵ_r și μ_r sunt mărimile relative respective. Valorile lor sunt pentru vid:

$$\epsilon_0 = 8,854 \cdot 10^{-12} \text{ F/m}; \quad \mu_0 = 4\pi \cdot 10^{-7} \text{ H/m}.$$

De curiozitate putem calcula viteza luminii în vid:

$$c = \frac{1}{\sqrt{\epsilon_0 \mu_0}} = 2,99796 \cdot 10^8 \text{ m/s}.$$

Rezultă din cele discutate mai sus, că:

$$n = \frac{c}{v} = \frac{c}{\sqrt{\epsilon_r \mu_r}}$$

și deci putem calcula astă viteză de propagare într-un mediu cît și indicele lui de refracție dacă îștim pe ϵ_r și μ_r .

Pentru toate materialele nemagnetiche $\mu_r \approx 1$ și deci:

$$n^2 = \epsilon_r.$$

Cunosând aceste lucruri tragem concluzia că într-adevăr pentru orice situație posibilă

$$v \leq c$$

deoarece $\epsilon_r \geq 1$. Deci, în nici un mediu material viteză undelor electromagnetice nu poate depăși valoarea ei în vid, egală cu c .

Dacă analizăm mai atent această problemă vom observa un fapt deosebit: lumina străbatează un mediu cu $n > 1$, cu o viteză $v < c$, după ieșirea în vid își recuperă viteză c ! Această observație arată că din acest punct de vedere propagarea lumini se asemănă cu propagarea unei unde elastice. Pentru care viteză de propagare depinde de mediu străbatut. Această asemănare este doar aparentă, deoarece undele elastice nu se pot propaga în vid, ele necesitând pentru propagare un suport. În cazul undelor electromagnetice pentru propagare nu este necesară existența unui astfel de suport.

Să încercăm să găsim alte procedee de modificare a vitezei lumini, care să ne permită creșterea ei. În acest scop să ne amintim că am putea folosi o metodă mecanică, făcind uz de compunerea vitezelor. Notind cu \vec{v}_1 viteză unui mobil în sistemul de referință S , în sistemul S' ce se deplasează uniform cu viteză \vec{V} față de primul, viteză lui va fi:

$$\vec{v}'_1 = \vec{v}_1 + \vec{V}.$$

Dacă acum $v_1 = c$, atunci:

$$\vec{v}' = \vec{c} + \vec{V}.$$

Se pare că în acest fel vom reuși să creștem sau să scădem după voie viteza lumini. Pentru a fi siguri de rezultatul putem controla de exemplu viteza acestui undă prin metoda lui Fizeau, a rojii dințate (fig. 3.2; § 3.1.5). Deoarece c este foarte mare, pentru a putea observa o variație a vitezelor, va trebui ca \vec{V} să fie la rindul ei foarte mare. În acest scop putem utiliza de exemplu undele luminoase provenite de la stele care știm că se mișcă față de noi cu o viteză, de obicei, foarte mare (vezi Fizica cl. a XI-a, Cap. 13).

Astfel de măsurători au fost făcute utilizând radiația provenită de la unele stele. Rezultatul a fost înșă surprinzător:

$$c' = c$$

indiferent de viteza relativă pe care o avea sursa de lumină. Faptul că viteza lumini rămâne nemodificată, indiferent de viteza de antrenare a sursei de lumină, pare a fi un rezultat paradoxal. Această afirmație este astăzi foarte bine verificată experimental.*

și deci putem calcula astă viteză de propagare într-un mediu cît și indicele lui de refracție dacă îștim pe ϵ_r și μ_r .

Pentru toate materialele nemagnetiche $\mu_r \approx 1$ și deci:

$$n^2 = \epsilon_r.$$

Ne aflăm astfel între două rezultate experimentale care sunt contradictorii: pentru toate experimentele obișnuite se obține (bine verificat experimental) o aditivitate a vitezelor de forma $\vec{v}'_1 = \vec{v}_1 + \vec{V}$, pentru toate experimentele cu lumină se obține $c' = c$. Care este cauza lor și cum pot fi ele explicate?

Să analizăm care dintre cele două categorii de experimente este mai deosebită de crezare, primul sau al doilea? Cu toate că primul este un experiment pe care-l cunoaștem din viața de toate zilele și pare a fi foarte corect, cel de al doilea experiment este mai deosebită de crezare, deoarece să realizăm pe o gamă extrem de mare de viteze ($V = 0, \dots, 0,99 c$). Singura posibilitate pe care o avem este aceea de a acorda credit experimentului al doilea.

În orice caz se pare că în domeniul vitezelor foante mari (neuzual în viața de toate zilele) lucrurile sunt ceva mai complicate. Ar mai fi o cauză de a ieși din impas și anume să verificăm dacă cele observate nu sunt cuniva un cauză particular valabil doar pentru undele electromagneticice. Această problematică o vom analiza în continuare, însă trebuie să refițem că:

viteză lumini în vid* nu poate fi modificată în nici un fel; ea rămîne egală cu c .

În acest fel viteza lumini nu este o mărime relativă, ci o mărime absolută!

De aceea mărimea vitezei lumini este o constantă universală.

3.5. NOTIUNI DE TEORIA RELATIVITĂȚII

3.5.1. Viteză lumini – viteză maximă. Pentru a verifica cum se mișcă obiectele la viteze mari, trebuie să ne imaginăm un experiment în care să putem măsura toate mărările fizice ce ne interesează și să vedem dacă ele sunt legate între ele prin legile pe care le cunoaștem din mecanică, legi care au fost deduse din generalizarea faptelor experimentale la viteze mari.

De exemplu, să verificăm dacă expresia energiei cinetice a unui corp de masă m , care se mișcă cu viteză v este valabilă și la viteze mari.

Dorim să obținem viteze extrem de mari, deci nu vom lucra cu bile sau cu alte obiecte uzuale, deoarece nu avem energie suficientă pentru a le imprima viteze comparabile cu c (de exemplu viteza rachetelor interplanetare este în jur de 15 km/s și față de 300 000 km/s cît este viteza lumini). Putem lucra însă cu electroni care pe lîngă că au masă foarte mică, au și sarcină electrică și deci pot fi accelerati usor la viteza dorită.

În cîmp electric, lucrul mecanic este eU , (U) – tensiunea de accelerare). Atunci:

$$eU = \frac{1}{2} mv^2.$$

* De exemplu în 1964 s-a reverificat această afirmație pentru radiatiile emise de unele particule accelerate (mezoni π) la viteze de $v = 0,9975$ c. Concluzia a rămas aceeași.

Mai exact în „spatiul liber”, fără substanță și fără cimpuri gravitaționale intense.

Pentru a verifica această relație observăm că $U \sim v^2$ și deci accelerând la diverse tensiuni și reprezentând grafic în raport cu pătratul vitezei, trebuie să obținem o linie dreaptă. Sau altfel, viteza experimentală (care urmează să o măsurăm) exprimată în funcție de viteza teoretică calculabilă din relația

$$v_t = \sqrt{\frac{2e}{m} U}$$

va fi o linie dreaptă, cu o înclinație de 45° dacă cele două variabile sunt exprimate la aceeași scară (fig. 3.29).

Relația pe care dorm să o verificăm determină configurația dispozitivului experimental (fig. 3.30). Astfel, un filament și un anod accelerator vor furniza electroni de energie dorită. Viteza electronului o vom determina direct prin metoda timpului de zbor: măsurarea intervalului de timp necesar electronilor pentru a străbate o distanță L . În acest scop, într-un tub vidat se dispune: un cilindru A și o placă B legate de un osciloscop. Treceea electronilor prin cilindru și cădereea lor pe placă determină de fiecare dată un puls

zitiv în circuit (fig. 3.30)*. Astfel, un filament și un anod accelerator vor furniza electroni de energie dorită. Viteza electronului o vom determina direct prin metoda timpului de zbor: măsurarea intervalului de timp necesar electronilor pentru a străbate o distanță L . În acest scop, într-un tub vidat se dispune: un cilindru A și o placă B legate de un osciloscop. Treceea electronilor prin cilindru și cădereea lor pe placă determină de fiecare dată un puls



Fig. 3.30. Schema experimentului lui Bertozi. F — filament; a — anod de accelerare; A — cilindru; B — placă.

Experimentul ne arată că pînă la viteza de $\sim 1 \cdot 10^7$ m/s, comportarea electronului este cea prevăzută din calcul, $v_e = v_t$. Dar treptat, pe măsură ce creștem energia electronului, v_e se abate tot mai mult de la valoarea astăzi, $v_t(v_e < v_t)$. Mai mult, modul de variație a vitezei reale are aspectul curburii ce tind la asimptotic (sprijinim pe care nu o depășește) către valoarea c !

Oare acest rezultat nu este cunoscute? Poate faptul că viteza observată este mai mică decît cea care ar trebui să rezulte este determinat de o pierdere din energia electronului pe parcursul zborului. Pentru a ne convinge de acest lucru, se poate arăta astfel experimentul înct să determinăm și energia electronilor care ajung la B . În acest scop se determină creșterea de temperatură a plăcii B (cu ajutorul unui termocuplu). Cunosind numărul de electroni care cad pe placă (măsurând curentul) putem afla energia adusă de fiecare electron (încercă să exprimă matematic cele spuse). Această verificare a fost făcută, și concluzia ei este aceea că electronii *nu pierd din energie lor pe parcurs!*

Experimentul ne conduce astfel la următoarele concluzii:

- a) corpurile nu se pot deplasa cu o viteza mai mare decât viteza luminii în vid c . Astfel viteza *c* reprezintă nu numai viteza luminii în vid ci și viteza limită în univers;
 - b) pentru viteze mari, energia cinetică nu mai este proporțională cu v^2 .
- Toate experimentele făcute pînă acum verifică prima concluzie iar teoriile care în cont de ea conduc la rezultate experimentale în perfectă concordanță cu realitatea.

Ajungem astfel la un rezultat important și anume că mecanica obișnuită (clasică) este doar aproximativ exactă și anume, cu atît mai exactă cu cit viteza corporilor este mai mică și cu atît mai inexactă cu cit viteza corporilor este mai apropiată de c . Partea din fizică în care se descriu corect faptele experimentale, atît la viteze mari cît și la cele mici, se numește *teoria relativistică restrînsă**. Ea este rezultatul cercetărilor a numeroarei fizicieni, contribuția majoră fiind cea a lui A. Einstein (1905).

3.5.2. Relativitatea galileeană și cea einsteiniană. Pentru a „construi” o mecanică care să descrie în mod corect fenomenele indiferent de viteza corporilor să însumăm datele pe care ne putem baza pînă acum:

- energia cinetică nu este în general proporțională cu v^2 ;
- viteza c este viteza limită în univers;
- viteza luminii în vid nu poate fi modificată, ea fiind o mărimă absolută.

Prima observație nu pare a fi fundamentală în sensul că în locul relației $E_v \sim v^2$, va trebui să se găsească o altă relație mai exactă. A doua observație ar putea fi un element fundamental în înțelegerea fenomenelor naturii, element ce nu a fost lăsat în considerație în ipotezele de bază ale mecanicii.

* Se menține restrînd, deoarece A. Einstein a realizat o teorie generală (în 1916) care cuprinde și fenomenele de gravitație.

* Experimentul a fost efectuat în 1964 de către W. Bertozzi în SUA.

Pentru a descrie corect fenomenele mecanice va trebui să luăm în considerație acest fapt ca pe un postulat fundamental.

Mergind mai departe, a treia observație este de asemenea esențială, deoarece se referă la o problemă fundamentală din mecanică și anume la relativitatea mișcării. Pe acest element se clădește întreaga mecanică clasică și cum că urmăre a ultimelor experimente am ajuns la a discuta acest aspect, rezultă că va trebui să reanalizăm mai cu atenție chiar bazele mecanicii.

Să ne reamintim deci relativitatea galileeană.

În mecanică am ajuns la concluzia că nu putem descrie mișcarea decit dacă o raportăm la un sistem de referință.

Positia fiecărui punct material, va fi astfel exprimată, prin trei *coordonate*, față de un sistem de referință tridimensional * de obicei cartezian (cu axe reciproc perpendiculare). Având în vedere că alegerea acestui sistem de referință este arbitrară, în sensul că este la bunul nostru plac, valorile celor trei numere pot fi oarecare. Cu alte cuvinte poziția unui punct fizic în spațiu, dată prin cele trei valori nu are o valoare absolută, ci una relativă. Acest lucru nu trebuie înțeleas în sensul că punctul material nu se află undeva în spațiu, ci că localizarea lui prin cele trei numere este relativă.

Același lucru se poate spune și despre momentul la care are loc un eveniment exprimat față de o origine arbitrară a timpului (același moment istoric poate fi exprimat față de un sistem calendaristic sau față de altul).

Are însă o valoare fizică întrinsecă absolută, de exemplu distanța între două puncte (lungimea) sau intervalul de timp între două evenimente (durata).

Înțelegem prin aceasta că lungimea unui obiect sau durata unui fenomen nu depind de sistemul de referință față de care sau făcut măsurătorile.

Mișcarea corpuriilor (sau a punctelor materiale) poate fi exprimată față de un sistem de referință dat, ca o succesiune de poziții avute la diverse momente de timp. Ansamblul pozițiilor la diverse momente de timp poate fi exprimat prin-o funcție denumită *traiectorie*. Ecuația traiectoriei va depinde astfel de sistemul de referință. Aceasta exprimă așa-numita relativitate a mișcării.

La fel, putem spune că viteza unui obiect este relativă, deoarece el

poate fi de exemplu în repaus față de un sistem și în mișcare față de un alt sistem de referință.

Astfel natura nu a putut să ne înzestreze cu un simț special pentru viteza. Noi, de exemplu, nu simțim în nici un fel că ne mișcăm în spațiu odată cu Pământul cu viteza de $\sim 30 \text{ km/s}$. Doar referirea la un sistem de referință ne permite sesizarea vitezei.

De aceea pare ciudată concluzia că viteza luminii în vid nu poate fi modificată și că deci ea are un caracter absolut. Acest caracter absolut îi este însă conferit de faptul că este în același timp și vitează limită. Ori aceasta

se pare că este o legătură naturală. Ea trebuie să fie valabilă pentru *toate* sistemele inertiiale, deoarece pentru toate sistemele viteza maximă trebuie să fie aceeași c.

Constrințea noii mecanici trebuie deci să pornească de la postularea acestor adeveruri și luarea lor în considerație în mod consecvent.

Postulatele teoriei relativității vor fi deci:

- 1°. *Legile și principiile naturii rămân nemodificate atunci cind sunt exprimate față de diverse sisteme inertiiale;*
- 2°. *Valearea vitezei luminii în vid este aceeași în toate sistemele de referință inertiiale.*

Care sunt consecințele admiterii acestor două postulate?

În primul rînd ele schimbă modul în care abordăm și înțelegem conceptele fundamentale de spațiu și timp.

Newton, în dezvoltarea mecanicii, a postulat că spațiu și timpul sunt concepție fundamentală și absolute. Spațiu este dat inițial, el fiind o „scenă” în care se desfășoară evenimentele ca urmare a unei „scurgeri” uniforme și inexorabile a timpului. Astfel lungimile și duratele sunt invariante (nu depind de sistemul de referință inerțial). Pentru a măsura spațiu și timpul putem găsi (cel puțin în principiu) apărătoare de măsură cu calități ideale: metrul, făcut din material *absolut rigid*, care poate fi dus oriunde pentru a măsura lungimile și ceasul care arată aceeași scurgere absolută a timpului în orice sistem inerțial. Aceste două dispozitive materializează postulatul invarianței lungimilor și duratelor. Putem alege originea pentru măsurarea spațialului sau timpului după cum dorim. Putem de asemenea alege lungimea și durata etalon după cum dorim; dar odată alese ele vor rămâne același în orice sistem inerțial.

De exemplu, legea de compunere a vitezelor a fost stabilită în mecanica clasică pe baza conceptelor de durată și lungime absolute și este exprimată în mod explicit în relațiile de transformare ale lui Galilei. Relația de transformare a vitezelor ar trebui în consecință să se aplică și vitezei propagării interacțiunilor. Deci, viteza de propagare a interacțiunilor ar trebui să depindă de sistemul de referință inerțial. Dar această concluzie este infirmată de numeroasele experimente care au condus la formularea celui de-al doilea postulat. De aici rezultă că durata nu poate fi o mărime absolută și că ea *trebuie* să depindă de mișcarea relativă a sistemelor de referință. Timpul se scurge astfel, diferit în diferite sisteme de referință.

Pentru a fi că mai siguri pe măsurătorile pe care le facem, vom căuta în continuare să găsim procedee care să se bazeze că mai mult pe acelă mărime care sunt invariante, cum este de exemplu viteza lumii c.

Un procedeu de măsurare a distanței preconizat de teoria relativității este cel al radarului; se măsoară intervalul de timp (Δt) necesar ca un semnal luminos (sau de altă frecvență) să se propage de la observator pînă la obiect și înapoi.

* Sistemul de referință este tridimensional, deoarece acesta este numărul de dimensiuni ale spațiului geometric în care trăim. Este interesant de remarcat că nici o teorie nu ne explică, pînă în prezent de ce lumea noastră este tridimensională! Tridimensionalitatea trebuie deci lăuată ca un postulat.

Jinind cont că viteza luminii este independentă de starea de mișcare a observatorului sau sursei, distanța L se determină atunci din:

$$L = c \cdot \frac{\Delta t}{2}.$$

Acest procedeu este deja utilizat curent, în măsurătorile fizice. El are avantajul că permite măsurarea distanțelor pînă la orice obiect, fie el în mișcare sau în repaus, cu maximă precizie posibilă. De remarcat, că un procedeu *mai bun* nici în principiu nu se poate găsi, deoarece toate măsurătorile se reduc pînă la urmă la transportul de informație care nu poate să depășească viteza c .

În plus, măsurarea intervalelor de timp, se poate face astăzi cu o precizie extraordinară utilizând de exemplu ceasornicel atomice.

Măsurarea intervalelor de timp se poate face și bazindu-ne pe constanța vitezei luminii în vid. Două ceasornice în două puncte oarecare pot fi *sincronizate* între ele trimînd pulsuri de lumină. Momentul de timp pentru cel de al doilea ceasonic va fi $t_2 = t_1 + \frac{r}{c}$, unde r este distanța ce separă cele două ceasornice. Aceasta este de exemplu modul în care ne fixăm ora exactă după radio sau după telefon. Informația va parcurge și același distanță cu viteza maximă c . Înțîrzieea este mică și astfel aproximarea pe care o facem este în majoritatea cazurilor foarte bună.

Să vedem ce se poate spune despre intervalul de timp în cazul în care efectuăm măsurătorile în felul expus mai sus. În acest scop să vedem cum se va putea descrie propagarea unui semnal luminos față de două referențiale inertiale S și S' care se mișcă unul față de altul cu viteza \vec{v} (fig. 3.31).

Să presupunem că din originea lui S pleacă o undă sferică. Ea va ajunge în P după intervalul de timp Δt . Putem scrie că:

$$r = c \cdot \Delta t$$

și cum:

$$r = \sqrt{(x - x_1)^2 + (y - y_1)^2 + (z - z_1)^2}$$

unde: $\Delta x = x_2 - x_1$ §.a.m.d., ridicînd la patrat obținem:

$$(\Delta x)^2 + (\Delta y)^2 + (\Delta z)^2 = 0. \quad (3.43)$$

Această ecuație exprimă constanța vitezei lumini și de aceea ea va trebui să rămînă neschimbată dacă o exprimăm față de S' :

$$(\Delta x')^2 + (\Delta y')^2 + (\Delta z')^2 = 0. \quad (3.44)$$

Se vede astfel că expresiile (3.43) și (3.44) rămîn egale cu zero cînd treiem de la un referențial la altul. Această mărire invariantă poartă numele de *interval relativist* (Δs) sau simplu interval (nu de spațiu sau de timp!), între două evenimente. Rezultă că dacă $(\Delta s)^2 = 0$ și $(\Delta s')^2 = 0$.

Din faptul că cele două intervale sunt nule nu putem încă trage concluzia că cele două intervale sunt egale. Se poate totuși demonstra că:

$$(\Delta s)^2 = (\Delta s')^2 \quad (3.45)$$

Putem exprima distanța r ca fiind lungimea L și deci, obținem că:

$$L^2 = c^2(\Delta t)^2 = L'^2 - c^2(\Delta t')^2. \quad (3.46)$$

Să presupunem de asemenea că observatorul se află în referențialul S . El poate astfel să observe scurgerea timpului în referențialul propriu și în referențialul în mișcare S' . În intervalul de timp $\Delta t'$ (măsurat de observator în referențialul S), ceasul din referențialul S' va parcurge o distanță egală cu Δx (presupunem o mișcare relativă a celor două referențiale pe direcția axei Ox) măsurată în referențialul S . În referențialul S' , ceasul fiind în repaus, distanța parcursă va fi $\Delta x' = 0$. Intervalul fiind invariant, ne va permite să corelăm măsurătorile:

$$(\Delta x)^2 - c^2(\Delta t)^2 = -c^2(\Delta t')^2.$$

Împărțind cu $(\Delta t)^2$

$$-c^2 \frac{(\Delta t')^2}{(\Delta t)^2} = \frac{(\Delta x)^2}{(\Delta t)^2} - c^2.$$

Dar $\frac{\Delta x}{\Delta t} = V$, viteza relativă a referențialelor.

Atunci:

$$\Delta t' = \Delta t \sqrt{1 - \frac{V^2}{c^2}}.$$

Observatorul din S observă că intervallele de timp din S' au crescut și deci ceasul mobil indică o scurgere mai lentă a timpului. Acest rezultat fiind valabil pentru oricare referențial inertial rezultă că totdeauna $\Delta t' > \Delta t$. Rezultatul obținut nu este un caz particular doar pentru observatorul din S . Dacă observatorul s-ar fi găsit în S' , rationamentul ar fi fost identic și rezultatul pe care el l-ar fi obținut ar fi fost la fel: intervalele de timp în sistemul S' se succed mai rapid față de cele din sistemul S deoarece acum timpul propriu ar fi fost cel indicat de ceasul din S' . Această concluzie nu este deloc contradictorie ea este un rezultat firesc ce decurge din echivalența tuturor referențialelor inertiale.

Faptul că în discuție am utilizat cuvîntul ceas, nu înseamnă că el trebuie neapărat să fie un dispozitiv construit de om. El poate fi înlocuit de fapt prin orice proces periodic natural care ne poate da o unitate convenabilă pentru măsurarea intervalelor de timp. O astfel de unitate poate fi de exemplu

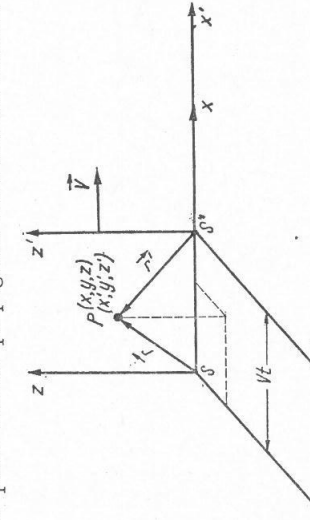


Fig. 3.31. Propagarea unui semnal luminos descris din două referențiale.

dată de inversul frecvenței unei radiații electromagneticice. Este evident că emisia radiației de către atomi nu depinde de sistemul inerțial utilizat pentru a descrie proprietățile fizice ale atomilor (de exemplu nivelele de energie). De aici rezultă că efectul relativist al dependenței duratălor de timp de mișcarea relativă a referințialelor este un efect pur cinematic.

Ajungem astfel la concluzia că postulatul constantei vitezei luminii se reflectă direct asupra relativității intervalelor de timp și spațiu, care în mecanica newtoniană erau absolute.

Lată deci primele concluzii:

- *odată ce nu există spațiu și timp absolut, intervalele spațiale și duratele devin și ele relative*; se contractă, respectiv se dilată în funcție de mișcarea sistemului de referință.

— *cea ce rămâne însă nemodificat* la exprimarea față de diverse sisteme de referință este expresia:

$$L^2 = c^2(\Delta t)^2.$$

În teoria relativității noțiunile de timp și spațiu formează o unitate structurală, fără ca ele să-și piardă identitatea.

Ele sunt însă dependente de sistemul de referință față de care descriem mișcarea.

EXTINCIEREA ÎN FIZICĂ

3.5.3. Transformările lui Lorentz. Descrierea mișcării obiectelor va trebui să se facă astfel încât relativitatea galileană să rezulte ca un caz particular valabil pentru viteze mici ($v \ll c$). Transformările care înclovesc pe cele galileene se numesc *transformările lui Lorentz*.

Elle trebuie să satisfacă o serie de cerințe, ce decurg din postulatele relativității:

- să fie simetrice în raport cu ambele referințiale (echivalența referințialelor);
- să fie liniare, adică variabilele care intervin să apară la puterea întâi (altfel ele contrazic prima cerință);
- pentru situațiile limită ele trebuie să ne conducă la relațiile de transformare galileene ($v \ll c$).

Deoarece relațiile de transformare galileene sunt corecte la viteze mici, pornim de la premsa că noile relații de transformare vor trebui să fie o generalizare a lor; putem să scriem atunci:

$$x' = k(x - Vt)$$

unde k este o constantă, deoarece dacă ar depinde de x sau t , relația nu ar mai fi liniară. Simetria față de cele două referințiale cere că exprimarea față de celălalt referențial să păstreze forma relației și valoarea constantei k :

$$x' = k(x' + Vt').$$

Împărțind prima relație prin t și a doua prin t' obținem:

$$\frac{x'}{t} = k \left(\frac{x}{t} - V \right); \quad \frac{x}{t'} = k \left(\frac{x'}{t'} + V \right).$$

Viteza luminii măsurată în ambele sisteme de referință trebuie să ne dea aceeași valoare c . În acest caz putem scrie că $x = ct$ și $x' = ct'$.

Înlocuind în cele două ecuații și înmulțindu-le între ele membru cu membru, obținem:

$$\frac{ct'}{t} \cdot \frac{ct}{t'} = k^2 \left(\frac{ct}{t} - V \right) \left(\frac{ct'}{t'} + V \right) = k^2(c - V)(c + V),$$

deci:

$$k^2 = \frac{c^2}{(c - V)(c + V)} = \frac{c^2}{c^2 - V^2} = \frac{1}{1 - \frac{V^2}{c^2}}$$

sau:

$$k = \frac{1}{\sqrt{1 - \frac{V^2}{c^2}}}.$$

(3.47)

În acest caz relația de transformare pentru coordonata x , va fi:

$$x' = \frac{x - Vt}{\sqrt{1 - \frac{V^2}{c^2}}}.$$

(3.48)

Deoarece mișcarea relativă a celor două sisteme se petrece doar pe direcția axei Ox , celelalte două relații pentru coordonatele y și z rămân nemodificate:

$$y' = y$$

$$z' = z.$$

Pentru a găsi relația de transformare pentru timp, vom utiliza invarianta intervalului și relația (3.48):

$$x^2 + y^2 + z^2 - c^2 t'^2 = x'^2 + y'^2 + z'^2 - c^2 t'^2.$$

(3.50)

Introducind relațiile de transformare pentru coordonate obținem succesiv:

$$x^2 - c^2 t'^2 = \frac{(x - Vt)^2}{1 - \frac{V^2}{c^2}} - c^2 t'^2$$

$$c^2 t'^2 = \frac{(x - Vt)^2}{1 - \frac{V^2}{c^2}} - x^2 + c^2 t'^2.$$

După efectuarea calculelor algebrice, obținem:

$$t' = \frac{t - \frac{vx}{c^2}}{\sqrt{1 - \frac{v^2}{c^2}}}, \quad (3.51)$$

care reprezintă o patru relație de transformare Lorentz și care arată modul în care cele două postulate ale relativității pot fi utilizate concret pentru descrierea mișcării față de sisteme inertiiale.

Relațiile de transformare Lorentz scrise pentru referențialele în mișcare relativă după axa Ox vor fi deci:

$$\begin{cases} x' = \frac{x - vt}{\sqrt{1 - \frac{v^2}{c^2}}} \\ y' = y \\ z' = z \\ t' = \frac{t - \frac{vx}{c^2}}{\sqrt{1 - \frac{v^2}{c^2}}} \end{cases} \quad (3.52)$$

sau transformările inverse ne dau:

$$\begin{cases} x = \frac{x' + vt'}{\sqrt{1 - \frac{v^2}{c^2}}} \\ y = y' \\ z = z' \\ t = \frac{t' + \frac{vx'}{c^2}}{\sqrt{1 - \frac{v^2}{c^2}}} \end{cases} \quad (3.53)$$

Pentru a le înțelege sensul să le utilizăm la rezolvarea cătorva probleme concrete. Regăsim astfel ușor transformarea intervalelor de timp. Să presupunem că într-un loc dat, exprimat față de referențialul S' se petrec două evenimente care se succed la intervalul de timp $\Delta t' = t'_2 - t'_1$. Care va fi intervalul de timp Δt măsurat de un observator din referențialul S ? Pentru aceasta vom aplica (3.53):

$$t_1 = \frac{t'_1 + \frac{vx'_1}{c^2}}{\sqrt{1 - \frac{v^2}{c^2}}}; \quad t_2 = \frac{t'_2 + \frac{vx'_2}{c^2}}{\sqrt{1 - \frac{v^2}{c^2}}}$$

iar intervalul temporal va fi:

$$\Delta t = t_2 - t_1 = \frac{t'_2 + \frac{vx'_2}{c^2}}{\sqrt{1 - \frac{v^2}{c^2}}} - \frac{t'_1 + \frac{vx'_1}{c^2}}{\sqrt{1 - \frac{v^2}{c^2}}},$$

$$\Delta t = \frac{t'_2 - t'_1}{\sqrt{1 - \frac{v^2}{c^2}}} = \frac{\Delta t'}{\sqrt{1 - \frac{v^2}{c^2}}}.$$

Obținem relația cunoscută: un ceas în mișcare față de un observator merge mai încet (rămîne în urmă) față de ceasul din sistemul observatorului. În teoria relativității nu se poate vorbi astfel de un timp universal, unic, ca în mecanica Newtoniană. Unitatea de timp bazată pe invarianta intervalului de timp este valabilă doar aproximativ, pentru sisteme în mișcare relativă cu viteze $V \ll c$. Observăm că acest lucru să ar putea obține dacă $c = \infty$. În acest caz $\Delta t = \Delta t'$ și ar exista un interval de timp invariant pentru orice observator. Rezultă că mecanica Newtoniană are la bază ipoteza că acțiunile se pot propaga instantaneu la distanță.

În particular, în această situație, putem să acceptăm că este posibilă sincronizarea ceasurilor din toate sistemele inertiiale printre-un semnal transmis instantaneu. Deoarece $v < c$, acest lucru nu se mai poate realiza.

Dacă două evenimente au loc la două momente t'_1 și t'_2 în referențialul S' , dar contrar discuției anterioare ele se petrec în două locuri diferite x'_1 și x'_2 , atunci intervalul de timp între evenimentele măsurate de un observator din S va fi:

$$\Delta t = \gamma \left(t'_2 + \frac{vx'_2}{c^2} \right) - \gamma \left(t'_1 + \frac{vx'_1}{c^2} \right).$$

Am notat pentru simplificarea scrierii $1/\gamma = \sqrt{1 - \frac{v^2}{c^2}}$. În continuare:

$$\Delta t = \gamma \Delta t' + \gamma \frac{v}{c^2} \Delta x'.$$

Relația pe care am obținut-o ne arată că dacă două evenimente care au loc în punctele x'_1 și x'_2 sunt simultane în $S'(\Delta t' = 0)$ ele nu mai sunt simultane în S :

$$\Delta t = \frac{vV}{c^2} \Delta x'.$$

Deci, evenimentele sunt simultane atât în S' cât și în S doar dacă ele au loc în același punct: $\Delta x' = 0$.

Dacă $\Delta x' \neq 0$, succesiunea evenimentelor în S ar putea fi diferită de cea din S' în funcție de pozițiile în care au loc evenimentele. Să presupunem că succesiunea evenimentelor este $t'_1 \rightarrow t'_2$, adică $\Delta t' = t'_2 - t'_1 > 0$. Pentru ca succesiunea evenimentelor din S să fie inversată trebuie ca $\Delta t = t_2 - t_1 < 0$, adică este necesar ca:

$$\Delta t' + \frac{V}{c^2} \Delta x' < 0$$

sau:

$$c(t'_2 - t'_1) < \frac{V}{c} (x'_1 - x'_2) \rightarrow c < \frac{V}{c} \frac{(x'_1 - x'_2)}{(t'_2 - t'_1)} = \frac{V}{c} \cdot v'.$$

Cum $\frac{V}{c} < 1$ și cum nici un interval spațial nu poate fi acoperit cu o viteza mai mare ca $c(v' < c)$, inegalitatea de mai sus nu poate fi îndeplinită decât de evenimente care nu pot fi legate între ele cauzal. Cu alte cuvinte, dacă evenimentul t'_2 este într-un fel determinat de evenimentul t'_1 atunci totdeauna:

$$c(t'_2 - t'_1) > \frac{V}{c} (x'_1 - x'_2)$$

și deci $\Delta t > 0$; cele două evenimente și păstrează astfel ordinea cauzală în orice referențial inertial.

Să discutăm problema măsurării distanțelor. Pentru a măsura de exemplu lungimea unui obiect trebuie să-l comparăm cu un etalon pe care să-l suprapunem peste obiect și să citim simultan coordonatele capeteelor. Acest lucru se poate realiza fără un sistem în repaus cu observatorul (sistem propriu); să presupunem că acest sistem este S .

Cordonatele obiectului pe axa Ox în referențialul S sunt x_1 și x_2 .

Lungimea lui în S va fi atunci $|\Delta x| = |x_2 - x_1| = L$. Măsurând obiectul din referențialul S' (în mișcare față de S) la momentul t' , din relațiile de transformare Lorentz vom obține coordinatele:

$$x_1 = \gamma(x'_1 + Vt') \quad \text{și} \quad x_2 = \gamma(x'_2 + Vt')$$

și deci lungimea L a obiectului în S' va fi dată de:

$$L = \gamma L'.$$

Se vede astfel că obiectul are o lungime care este maximă cind este măsurată în raport cu un sistem în repaus față de obiect. Aceasta poartă numele de *lungime proprie* a obiectului. Măsurată din oricare alt referențial inertial lungimea va fi mai scurtă pe direcția de mișcare. Acșez rezultat poartă numele de *contractie Lorentz*.

Problema rezolvată. Să se deducă cu ajutorul relațiilor de transformare Lorentz, legea de compunere a vitezelor.

Rezolvare.

Să notăm cu $u' = x'/t'$ viteza unui mobil față de sistemul de referință S' și cu $u = x/t$ viteza sa față de sistemul S . Cele două sisteme se află în mișcare relativă cu viteza V . Să luăm în considerație relațiile de transformare Lorentz pentru x și t :

$$x' = \frac{x - Vt}{\sqrt{1 - \frac{V^2}{c^2}}}; \quad t' = \frac{t - \frac{V}{c^2}x}{\sqrt{1 - \frac{V^2}{c^2}}}.$$

Să calculăm direct $u' = x'/t'$:

$$u' = \frac{x'}{t'} = \frac{x - Vt}{t - \frac{V}{c^2}x} = \frac{x - Vt}{1 - \frac{V}{c^2} \frac{x}{t}}.$$

Împărțind cu t în membrul al doilea, obținem:

$$u' = \frac{\frac{x}{t} - V}{1 - \frac{V}{c^2} \frac{x}{t}} = \frac{u - V}{1 - \frac{V \cdot u}{c^2}}.$$

Sau reciproc, obținem:

$$(3.54) \quad u = \frac{u' + V}{1 + \frac{u'V}{c^2}}$$

care ne dă relația relativității a transformării vitezelor.

Din această relație rezultă că pentru viteze mici, $u/V \ll c^2$, relația de compunere a lui Galilei este corectă. În schimb pentru viteze mari există deosebiti esențiale. Astfel dacă alegem $u' = V = c$ și $u = c$ și $u/V \ll c^2$ cum prevăd relațiile lui Galilei. Rezultă astfel că viteza luminii este c în orice referențial inertial, indiferent de viteza lui relativă. Relația obținută reflectă astfel postulatul constanței vitezei luminii.

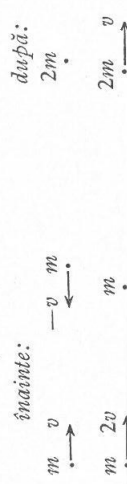
3.5.4. Impulsul, masa și energia în teoria relativității. Modificările determinante în cinematica mișcării prin trecerea de la transformările galileene la cele lorentziene se vor reflecta și asupra dinamicii mișcării obiectelor.

Să le analizăm pornind de la o mare fundamentală a dinamicii: impulsul.

Conform principiului relativității dacă impulsul se conservă într-un referențial, el se va conserva și în alt referențial inertial.

Pentru a vedea ce modificări implică relativitatea, să analizăm cazul particular al unei ciocniri inelastice, frontale, între două sfere de aceeași masă m care se mișcă una spre celalăț cu aceeași viteza v . Conform mecanicii newtoniene în referențialul centruini de masă impulsul total este nul, iar după ciocnirea inelastică cele două bile vor rămâne

pe loc, energia cinetică inițială regăsindu-se sub formă de energie internă a bilelor (de deformare plastică sau de agitație termică). Un observator aflat într-un referențial legat de una din bile va observa că mișcarea celeilalte bile se face cu o viteză $2v$. În acest referențial, după ciocnire, cele două bile se vor deplasa cu aceeași viteză v . Aceste date sunt listate în tabelul de mai jos:



Dacă dorim să descriem această ciocnire ținând cont de cinematica relativistă va trebui să ținem cont de relația de transformare a vitezelor la trecerea de la referențialul centrului de masă la cel legat de una din bile:

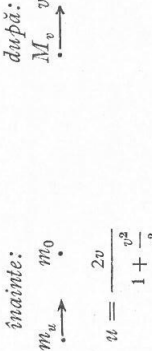


Cea ce observăm din această descriere este faptul că impulsul newtonian total înainte și după ciocnire nu se mai conservă:

$$m \frac{2v}{1 + \frac{v^2}{c^2}} \neq 2mv.$$

Deoarece legea de conservare a impulsului este o lege fundamentală a naturii, pentru a o păstra să se redifină, fie impulsul, fie masa. În dinamica relativistă se redifinește masa, astfel încât un corp în repaus este caracterizat prin *masa de repaus* care diferă de aceea a corpului în mișcare.

Pentru a găsi modul în care trebuie să redefinim masa vom cere ca impulsul definit prin intermediu masei dependente de viteză, m_u , să se conserve. De asemenea vom cere conservarea masei totale de mișcare, ca o extensie a legii conservării masei din mecanica newtoniană. Situația se va descrie acum astfel:



Pentru a găsi expresia energetică a unui corp în teoria relativității, să analizăm lucrul mecanic efectuat de o forță \vec{F} asupra unui

iar legile de conservare vor fi:

$$(3.55) \quad m_u + m_0 = M_v$$

$$m_u \cdot u = M_v \cdot v.$$

Introducind pe $M_v = m_u \cdot \frac{u}{v}$ în prima ecuație obținem:

$$m_u + m_0 = m_u \cdot \frac{u}{v}; \quad m_u = \frac{m_0}{\frac{u}{v} - 1}. \quad (3.56)$$

Dar $u = \frac{2v}{1 + \frac{v^2}{c^2}}$ și de aici îl putem scoate pe v în funcție de u :

$$v = \frac{c^2}{u} \left[1 \pm \sqrt{1 - \frac{u^2}{c^2}} \right] \text{ sau } \frac{uv}{c^2} = 1 \pm \sqrt{1 - \frac{u^2}{c^2}}.$$

Pentru a alerga semnul corect scriem relația pentru cazul particular $u = 0$:

$$0 = 1 \pm 1$$

care arată că semnul care trebuie păstrat este minus. Deci:

$$v = \frac{c^2}{u} \left[1 - \sqrt{1 - \frac{u^2}{c^2}} \right].$$

Introducind pe v în (3.56) obținem după calcule:

$$(3.57) \quad m_u = \frac{m_0}{\sqrt{1 - \frac{u^2}{c^2}}}.$$

Același relație ne arată modul în care trebuie modificată expresia masei pentru ca impulsul să se conserve. Impulsul relativist va fi:

$$(3.58) \quad \vec{p} = m_v \cdot \vec{v} = \frac{m_0 \vec{v}}{\sqrt{1 - \frac{v^2}{c^2}}}.$$

Relația (3.58) obținută pentru impuls trece în relația clasică $\vec{p} = m_0 \vec{v}$ atunci cind $v \ll c$.

Legea a doua a lui Newton se va scrie:

$$(3.59) \quad \vec{F} = \frac{d\vec{p}}{dt} = \frac{d(m\vec{v})}{dt}.$$

Ea diferă de forma nerelativistă a legii doar prin faptul că masa din expresia impulsului depinde de viteză. Pentru cazul nerelativist

$$\vec{F} = \frac{d(m_0 \vec{v})}{dt} = m_0 \frac{d\vec{v}}{dt} = m_0 \vec{a}.$$

corp de masă m . Pentru o deplasare pe distanță (infinitezimală) $d\vec{s}$, lucrul mecanic va fi $\vec{F} \cdot d\vec{s} = dE_e$ egal cu creșterea energiei cinetice a corpului (dE_e). Deoarece $\vec{v} = \frac{d\vec{s}}{dt}$, vom putea scrie că

$$\frac{dE_e}{dt} = \vec{F} \cdot \vec{v}. \quad (3.60)$$

Produsul scalar $\vec{F} \cdot \vec{v}$ poate fi prelucrat astfel:

$$\vec{F} \cdot \vec{v} = \frac{d(m\vec{v})}{dt} \cdot \vec{v} = \frac{dm}{dt} \vec{v} \cdot \vec{v} + m\vec{v} \cdot \frac{d\vec{v}}{dt}.$$

Observăm că $\vec{v} \cdot \vec{v} = v^2$ și că:

$$\frac{d(\vec{v} \cdot \vec{v})}{dt} = 2\vec{v} \cdot \frac{d\vec{v}}{dt}.$$

Utilizând aceste două observații

$$\vec{F} \cdot \vec{v} = \frac{dm}{dt} \cdot v^2 + \frac{m}{2} \cdot \frac{d(v^2)}{dt}. \quad (3.60')$$

Pentru a calcula derivata lui v^2 , utilizăm expresia variației masei cu viteza:

$$\left(\frac{m_0}{m} \right)^2 = 1 - \frac{v^2}{c^2} \rightarrow v^2 = c^2 \left[1 - \left(\frac{m_0}{m} \right)^2 \right].$$

De aici

$$\frac{d(v^2)}{dt} = -m_0^2 c^2 \frac{d(m^{-2})}{dt} = -m_0^2 c^2 \frac{dm}{dm} \frac{d(m^{-2})}{dt} = \frac{2m_0^2 c^2}{m^3} \frac{dm}{dt}. \quad (3.60'')$$

Introducind în relația (3.60) și înălțind cont de (3.60'') și (3.60'') obținem

$$\frac{dE_e}{dt} = \vec{F} \cdot \vec{v} = \frac{dm}{dt} \left[v^2 + \frac{m_0^2 c^2}{m^2} \right] = \frac{dm}{dt} \left[v^2 + c^2 \left(1 - \frac{v^2}{c^2} \right) \right] = \frac{dm}{dt} \cdot c^2.$$

Dacă particula pornește din repaus, energia cinetică pe care o va avea atunci cînd va atinge viteza v se va obține prin integrare:

$$\int_0^{E_e} dE_e = \int_{m_0}^m c^2 dm; \quad E_e = mc^2 - m_0 c^2. \quad (3.61)$$

Deoarece termenul $m_0 c^2$ corespunde vitezei $v = 0$, el se numește *energie de repaus*. În acest caz energia pe care o posedă o particulă cînd se mișcă cu viteza v va fi:

$$E = E_e + m_0 c^2 = mc^2. \quad (3.62)$$

Spunem astfel ca energia totală a unui sistem fizic ce posedă masa de mișcare m va fi

$$E = mc^2. \quad (3.63)$$

Această relație extrem de importantă (formula lui Einstein) ne arată că între masa unui sistem fizic și energia lui există o strictă de-

pendență. Relația exprimă astfel faptul că oricarei variații de energie ΔE , îi corespunde o variație de masă a sistemului, dată de

$$\Delta m = \frac{\Delta E}{c^2} \quad (3.64)$$

și reciproc. Din cauza numitorului c^2 , de valoare foarte mare, variația masei, pentru variații uzuale de energie este neglijabil de mică.

Tot din această relație decurge faptul că masa de repaus nu se conservă, ci se conservă doar energia. Dar pentru variații nu prea mari de energie, neconservearea masei de repaus este inobservabilă și ea poate fi considerată o mărime aditivă. Pentru procese în care are loc un transfer mare de energie, masa nu mai poate fi considerată o mărime aditivă. Aceasta este de exemplu cazul reacțiilor nucleare. (Fizica cl.XI cap. 16; 17.)

Relația lui Einstein exprimă odată mai mult faptul că toate „formele” de energie corespund unei singure mărimi fizice: energia.

INTREBĂRI. EXERCITII. PROBLEME

1. Puteți explica din ce cauză relația (3.1) cu toate că definește matematic corect intensitatea cimpului electric, nu este întru totul corect fizic?
2. Un pendul electric este incărat electric cu o sarcină necunoscută q . Un al doilea pendul, încărcat cu sarcină cunoscută q_0 , este utilizat ca „aparat de măsură”. Apropind pendulul al doilea de primul, el deniza cu un unghiul α .
 - a) Determinați relația de calcul care să permită deducerea lui q .
 - b) Exprimati eroarea pe care o faceti în măsurarea lui q dacă nu înțineți cont de influența reciprocă a celor două pendule.
3. Anulați căderea liberă în cîmp gravitațional și determinați intensitatea cimpului de măsură nu perturbă sistemul de măsură.
 - a) Descrieți condițiile în care aparatul de măsură nu perturbă sistemul de măsură.
 - b) Determinați cădereea liberă și a cărei lungime o presupunem că nu este neglijabilă de mică în raport cu raza Pămîntului. Descrieți mișcarea halterei dacă ea se află inițial în repaus într-o poziție orare.
4. Determinați modulul în care variația intensității cimpului gravitațional pe direcția Pămînt – Lună. Găsiți punctul în care acest cimp se anulează ($M_P = 6 \cdot 10^{24}$ kg; $M_L = 7,3 \cdot 10^{22}$ kg; $D_{PL} = 3,84 \cdot 10^8$ km; $R_P = 6360$ km; $R_L = 1740$ km).
5. Calculați dependența de altitudinea h , deasupra unui loc, a accelerării gravitaționale și determinați zona în care variația relativă $\left(\frac{\Delta g}{g} \right)$ nu depășește 0,01% ($R_p = 6360$ km).

$$\mathbf{R:} h \leq 318 \text{ m.}$$

6. Care este intervalul de timp între momentul în care s-a produs un fulger și momentul de observație, dacă primul tunet s-a anuit la 11 s după observarea fulgerului. Analizați eroarea în determinarea distanței prin procedeu descriși mai sus ($v_s = 340$ m/s).

$$\mathbf{R:} \Delta t = 1,25 \cdot 10^{-2} \text{ s.}$$

7. Stînd distanța Soare-Pămînt să se calculeze timpul necesar parcurgerii acestei distanțe de către lumenă ($D_{SP} \approx 1,49 \cdot 10^8$ km).

$$R: \Delta t = 8^m 18^s.$$

8. O metodă de determinare a vitezei luminișii, asemănătoare metodei lui Fizeau, a fost utilizată de către Michelson (1928). În locul roții dințate, el a utilizat o oglindă octogonală rotitoare a

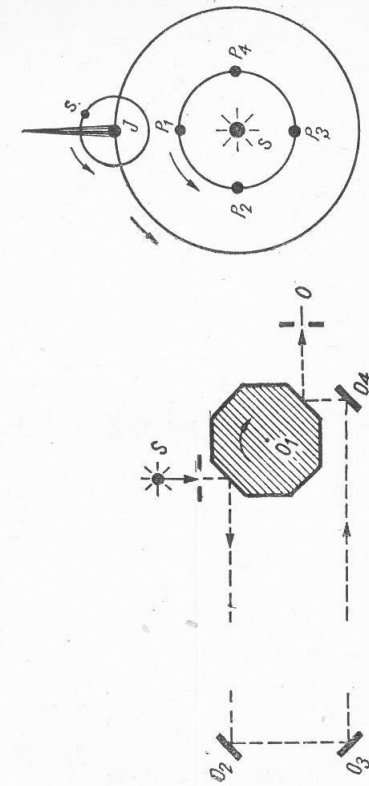


Fig. 3.32. Pentru problema 8. Schema de măsurare a vitezei luminișii în experimentul lui Michelson. S - sursa de lumină; O_1 - oglinda rotitoare; O_2, O_3, O_4 - oglinzi; O' - observator.

cărei turăție putea fi modificată, O_1 (fig. 3.32). Oglinzelile fixe O_2 și O_3 se aflau la o mare distanță de oglinda rotitoare.

Să se explice modul în care această metodă poate fi utilizată pentru determinarea vitezei luminișii. Să se calculeze viteza luminișii știind următoarele: distanța O_1 - munte = $35,4$ km, prima reparație a sursei de lumină S , sesizată de observator $s-a$ petrecut pentru o turăție a oglinzelii de $N = 530$ s⁻¹.

$$R: c = 3,00 \cdot 10^5$$
 km/s.

9. Prima determinare a vitezei luminișii a fost efectuată de astronomul danez O. Roemer (1675). Metoda lui se baza pe observația că eclipsa satelitilor lui Jupiter se petrece la momente diferențe de cele calculate în funcție de poziția Pămîntului (fig. 3.33). În poziția P_1 eclipsa se produce mai devreme cu $8^m 18^s$ față de cazul cind Pămîntul se găsește în pozițile P_2 sau P_4 ; iar în P_3 mai tîrziu ca în P_2 sau P_4 tot cu aceeași valoare: $8^m 18^s$. Să se calculeze de aici viteza luminișii știind că raza medie a orbitei Pămîntului este $1,49 \cdot 10^8$ km și distanța medie Pămînt-Jupiter este $7,77 \cdot 10^8$ km.

$$R: c = 2,99 \cdot 10^5$$
 km/s.

13. Să se arate că legea de refacție pentru unde electromagnetice poate fi considerată ca o consecință a afirmației: o undă se propagă între două puncte A și B (fig. 3.34) astfel încât intervalul de timp să fie minim (principiu lui Fermat). Să se arate că această proprietate este reversibilă în raport cu sensul de parcurgere a drumului între A și B .

14. Două radiații luminoase din zona galbenă a spectrului ($\lambda = 600$ nm) se intâlnesc într-un punct. Având o diferență de drum de $0,3$ mm să se deducă starea de interferență din acel punct.

R: maxim.



$$R: 0,5$$
 m.

16. Ce repercuзии ar avea asupra figurii de interferență (si asupra calculului figurii) într-un dispozitiv Young utilizarea a două fante de diametre diferențite?

17. Calculați structura figurii de interferență într-un experiment de tip Young dacă la mijloc, între cele două fante, se practică încă o fantă identică cu cele două existente?

18. Arătați că razele provenite de la o sursă punctiformă, plasată pe axul optic al unei lentile, în punctul imagine interferă construcțiv. Verificați afirmația pe două raze, una ce trece prin centru optic al lentilei și alta ce merge de la marginea lentilei. (Indicație: arătați că diferența de drum optic este nula).

19. Să se stabilească caracteristicile unui dispozitiv interferential format din două oglinzi plane foarte puțin inclinate una față de alta (fig. 3.11). Caracteristicile de interes sunt: distanța dintre cele două surse virtuale, interferența, largimea zonei de interferență de pe ecran.

20. Să se arate că dacă se compun oscilațiile determinate de două unde: $u_1 = a_1 \cos \omega t$ și $u_2 = a_2 \cos (\omega t + \varphi)$ ce se întâlnesc într-un punct din spațiu, se poate scrie:

$$a^2 = a_1^2 + a_2^2 + 2a_1a_2 \cos \varphi.$$

(Indicație: se poate utiliza o reprezentare fazorială ca în figura 3.35.)

21. Se poate arăta că distanță mare de o suflare de unde electromagnetic, raportul dintre amplitudinile cimpului electric și magnetic ale undei este constant și egal cu viteza luminii: $E_0/B_0 = c$. Să se argumenteze pe această bază cauza pentru care la intensitatea numărătă cimpului magnetic are o valoare neglijabilă de mică.

22. La întrebarea „Este aceasta o suprafață plană?“ se răspunde cu o altă întrebare „pentru ce lungime de undă?“. Explikați de ce?

15. Două radiații luminoase din zona galbenă a spectrului ($\lambda = 600$ nm) se intâlnesc într-un punct. Având o diferență de drum de $0,3$ mm să se deducă starea de interferență din acel punct.

R: maxim.

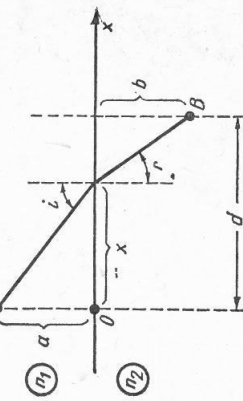


Fig. 3.34. Pentru problema 13.

16. Ce repercuзии ar avea asupra figurii de interferență (si asupra calculului figurii) într-un dispozitiv Young utilizarea a două fante de diametre diferențite?

17. Calculați structura figurii de interferență într-un experiment de tip Young dacă la mijloc, între cele două fante, se practică încă o fantă identică cu cele două existente?

18. Arătați că razele provenite de la o sursă punctiformă, plasată pe axul optic al unei lentile, în punctul imagine interferă construcțiv. Verificați afirmația pe două raze, una ce trece prin centru optic al lentilei și alta ce merge de la marginea lentilei. (Indicație: arătați că diferența de drum optic este nula).

19. Să se stabilească caracteristicile unui dispozitiv interferential format din două oglinzi plane foarte puțin inclinate una față de alta (fig. 3.11). Caracteristicile de interes sunt: distanța dintre cele două surse virtuale, interferența, largimea zonei de interferență de pe ecran.

20. Să se arate că dacă se compun oscilațiile determinate de două unde: $u_1 = a_1 \cos \omega t$ și $u_2 = a_2 \cos (\omega t + \varphi)$ ce se întâlnesc într-un punct din spațiu, se poate scrie:

$$a^2 = a_1^2 + a_2^2 + 2a_1a_2 \cos \varphi.$$

(Indicație: se poate utiliza o reprezentare fazorială ca în figura 3.35.)

21. Se poate arăta că distanță mare de o suflare de unde electromagnetic, raportul dintre amplitudinile cimpului electric și magnetic ale undei este constant și egal cu viteza luminii: $E_0/B_0 = c$. Să se argumenteze pe această bază cauza pentru care la intensitatea numărătă cimpului magnetic are o valoare neglijabilă de mică.

22. La întrebarea „Este aceasta o suprafață plană?“ se răspunde cu o altă întrebare „pentru ce lungime de undă?“. Explikați de ce?

23. Să se demonstreze că pentru o prismă optică, de unghi A și indice de refracție n , disperzia unghiară la deviație minimă este dată de relația:

$$\frac{d\theta}{d\lambda} = \frac{2 \sin \left(\frac{A}{2} \right)}{\sqrt{1 - n^2 \sin^2 \left(\frac{A}{2} \right)}} \cdot \frac{dn}{d\lambda}.$$

(Indicație: la deviație minimă radiatia parcurge prisma simetric; unghiul de incidentă este egal cu unghiul de emisie, așa cum se arată în figura 3.36)

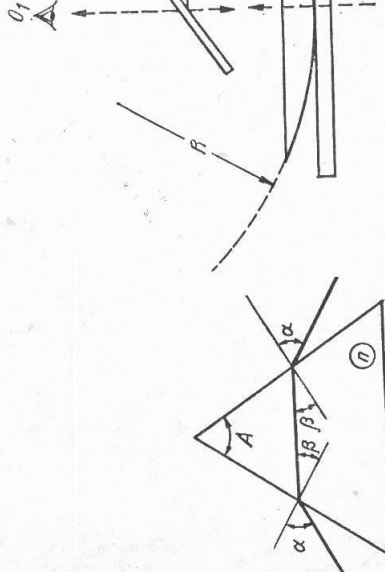


Fig. 3.36. Pentru problema 23.

24. Pentru a se observa figurile de interferență denumite inelele lui Newton, se suprapun: o placă de sticla optică plană și o lentilă plan convexă cu raza de curbură R (fig. 3.37). Se lucrează cu radiatii monocromatică. Se cere să se descrie figura de interferență ce se va putea vedea privind vertical asupra sistemului și modul în care variază interferanța cu depărtarea de centru. (Să se calculeze pentru $\lambda = 589$ nm și $n = 1,52$.)

25. Care este constanța unei retele de difracție pentru care maximul de difracție de ordinul al doilea se formează la un unghi de 30° , știind că radiatia incidentă are $\lambda = 500$ nm?

R: 500 mm $^{-1}$.

26. Pe direcția uneia dintre două fascicule de lumină ce interferă, se interpusă o lamă plană paralelă de grosime d și de indice de refracție n față de mediu. Să se discute modificările ce apar în figura de difracție obținută pe ecran.

27. Experimentele arată că indicele de refracție, n , a unui gaz ascultă în primă aproximatie de legea (lui Gladstone):

$$\frac{n - 1}{\rho} = \text{constant}$$

unde ρ este densitatea gazului. Să se determine:

a) valoarea constantei pentru aer ($n = 1,0003$ pentru $\lambda = 600$ nm, densitatea aerului

b) cu variația n pentru o creștere de temperatură de 1°C .

$\bullet \cdot 10^6$ N/m 2)?

R: a) $2,49 \cdot 10^{-3}$ m 3 /kg; b) $\Delta n = 1,1 \cdot 10^{-5}$; c) $\Delta n = 3,95 \cdot 10^{-6}$.

28. Într-un experiment de difracție Young s-au obținut franje de interferență cu interfranță egală cu $1,9$ mm. Știind că distanța dintre fante este de $0,7$ mm și că distanța pînă la ecran este de $2,26$ m să se calculeze lungimea de undă a radiatiiei utilizate.

R: 588 nm.

29. Dacă radiatiile X de lungimiile de undă $0,148$ nm și $0,128$ nm sunt trimise asupra unui cristal de calcită, se observă reflexii puternice în ordinul doi, pe planele principale cristaline, la unghiurile Bragg de $14^\circ 47'$, $14^\circ 53'$ și $16^\circ 30'$, să se găsească lungimile de undă ale celor trei radiati, știind că distanța dintre planele cristaline ale KCl este de $0,314$ mm.

R: $3,03 \cdot 10^{-10}$ m.

30. O serie de radiati X de diverse lungimi de undă, sănătăută reflectate în ordinul întâi de către planele principale cristaline ale cristalului de KCl. Știind că reflexile se petrec la unghiurile Bragg de $14^\circ 47'$, $14^\circ 53'$ și $16^\circ 30'$, să se găsească lungimile de undă ale celor trei radiati, știind că distanța dintre planele cristaline ale KCl este de $0,314$ mm.

R: $0,16$; $0,162$; $0,178$ nm.

31. Imagineați modul în care să se desfășura fenomenele în cazul în care interacțiunile să-și propage cu viteza infinită.

32. Care este distanța pe care o va parcurge Pămîntul pe orbită între momentul în care se petrec reflexiile și momentul în care se va observa el pe Pămînt? ($v_p = 30$ km/s; $D_{SP} = 1,49 \cdot 10^8$ km.)

R: $1,49 \cdot 10^4$ km.

33. Calculați căzutul este viteza de propagare a luminii în apă și stică ($v : 1,33$ și $1,65$ pentru $\lambda = 590$ nm).

R: $2,254 \cdot 10^8$ m/s; $1,817 \cdot 10^8$ m/s.

34. Determinați modul în care depinde viteza luminii în aer de presiunea atmosferică.

35. O navă cosmică automată se îndepărtează de Pămînt cu viteză constantă. Să se analizeze cum trebuie trimise semnalele de corectare a traectoriei pentru ca ele să acioneze în puncte bine determinate ale traectoriei.

36. Care este compoziția electrică a energiei radiante care traversează unitatea de suprafață în unitatea de timp, dacă intensitatea cimpului electric al undei este de 200 V/m.

R: $w_e \cdot c = 53,1$ W/m 2 .

37. Care este intensitatea cimpului electric și magnetic al unei unde a cărei intensitate energetică este de 100 W/m 2 ?

R: 194 V/m; $6,5 \cdot 10^{-7}$ rad.

38. O bară dreptă, lungă, face un unghi θ cu axa Ox . Bara se mișcă în direcția Oy cu viteza V .

a) Determinați viteza v a punctului de intersecție al barei cu axa Ox , de-a lungul acestei axe.
b) Calculați această viteza pentru $V = 10^8$ m/s și $\theta = 0,1$ rad.

c) Este corect rezultatul obținut la punctul b)? Contrazice el principiul al doilea al teoriei relativității? Discutați răspunsul.

R: a) $v = V \cos \theta$; b) 10^9 m/s; c) da, nu.

39. Un obiect de lungime 1 m se găsește într-o rachetă ce se deplasează față de Pămînt cu viteza de $0,99 c$. Ce lungime va avea obiectul dacă este măsurat de către un observator de pe rachetă?

R: 1 m.

40. Donă particule se miscă una către alta, fiecare cu viteza de $0,9 c$ în raport cu Pămîntul. Care va fi viteza lor relativă?

R: $0,995 c$.

41. Să arate că o particulă, după ce a străbătut o diferență de potențial U , va avea o viteză care calculată relativist (v_r) se va exprima în funcție de cea calculată nerezervativ (v_n) prin relația:

$$\frac{v_r}{v_n} = \frac{1}{\sqrt{2}} \frac{\sqrt{\alpha U + 2}}{\alpha U + 1}$$

unde $\alpha = \frac{q}{m^2}$, q — sarcina particulei (în modul) și m — masa particulei.
tează $x = 1 - v/c$.

42. Să se arate că $y^2 = 2x - x^2 \approx 2x$ pentru cazul în care v/c este apropiat de 1. Se no-

tează $x = 1 - v/c$.

43. Utilizând relațiile de transformare Lorentz, verificăți invarianta intervalului relativist.

R: $m = 134,2 \cdot m_0$.

44. Într-un accelerator de particule se accelerăză protonii la energia de 125 GeV. Care va fi masa protonului la această energie?

R: $m = 1,6 \cdot 10^{-31} \text{ kg}$; $e = 1,6 \cdot 10^{19} C$

45. Să se exprime masa de mișcare a unei particule în funcție de energia sa cinetică.

R: $m = \left(1 + \frac{E_e}{E_0}\right) m_0$.

46. Să se calculeze energia de repaus a unui electron și a unui proton.

R: $(m_0 c^2) e = 0,511 \text{ MeV}$; $(m_0 c^2)_p = 938,3 \text{ MeV}$.

47. Care este creșterea de masă a unei particule cu masa de repaus m_0 și sarcina Ze atunci când este accelerată de o diferență de potențial U ? Să se aplică la cazul electronului ce străbate o diferență de potențial de 10 MV. $(m_0 = 9,1 \cdot 10^{-31} \text{ kg}$; $e = 1,6 \cdot 10^{-19} C$)

R: $\Delta m = m - m_0 = \frac{ZeU}{c^2}$; $\Delta m = 1,78 \cdot 10^{-29} \text{ kg}$; $\left(\frac{\Delta m}{m_0} = 19,54\right)$.

48. Să se exprime energia cinetică a particulei în funcție de raportul n dintre masa de mișcare și cea de repaus a unei particule $\left(n = \frac{m(v)}{m_0}\right)$.

R: $E_c = m_0 c^2 (n - 1)$.

49. Soarele emite pe minut o energie $E = 6,6 \cdot 10^{31} \text{ kWh}$. Calculați după cit timp masa Soarelui se va reduce la jumătate? (Indicație: $1 \text{ kWh} = 3,6 \cdot 10^6 \text{ J}$;

R: $t = 7 \cdot 10^{12} \text{ ani}$.

50. Cea mai mică valoare a masei pe care o poate măsura o balanță dată este de 0,01 mg. Cit de mare ar trebui să fie energia eliberată într-o reacție chimică pentru a putea detecta cu balanță variația corespunzătoare de masă?

R: $0,9 \cdot 10^9 \text{ J}$.

51. Arătați că între energia totală E , impulsul p și masa de repaus m_0 a unei particule există relația: $E^2 = p^2 c^2 + m_0^2 c^4$.

4.

SISTEM CUANTIC

4.1. EFECTUL FOTOELECTRIC

4.1.1. Fenomenul fotoelectric și explicarea lui. Fenomenul de emisie a electronilor din unele metale sub influența luminii poartă numele de efect fotoelectric. El a fost observat de mulți fizicieni printre care H. Hertz (1887) și W. Hallwachs (1888). Fenomenul nu a putut fi explicat în acel moment, deoarece electronul încă nu fusese descoperit. Abia în 1899 J. J. Thomson, descuprătorul electronului, arată că sub influența luminii se emit electroni.

Studiile efectuate asupra acestui efect au permis, pe lîngă înțelegerea mecanismului producării fenomenului și efectuarea unui prim pas în înțelegerea și mai adincă a naturii luminii. Fără înțelegerea acestui efect (și încă a cîtorva care s-au descoperit ulterior, de exemplu efectul Compton), fenomenele lumenioase ar fi fost explicate în contnuare considerind lumina ca fiind de natură ondulatorie.

Efectul poate fi pus în evidență relativ simplu. Încărcind electric un electroscop cu sarcină negativă, el se va deschide mult mai rapid dacă electronul lui este iluminat cu radiație vizibilă de lungime de undă mică sau cu radiație ultravioletă (U.V.) (fig. 4.1). Borna electroscopului este prevăzută cu o placă metalică (de exemplu Zn) din care se extrag electroni în urma iluminării cu U.V. Sarcina negativă scade și electroscopul se descorează. Cu acest dispozitiv simplu, putem găsi și primele caracteristici ale fenomenului. Astfel, dacă creștem sau scădem fluxul de lumină (fie prin variația distanței de la sursă, fie prin introducerea unor filtre

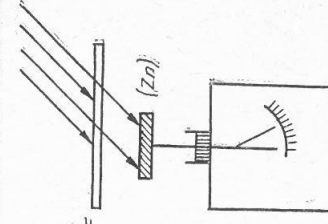


Fig. 4.1. Observarea fenomenului fotoelectric. F — filtru de lumină; Zn — placă de zinc.

cenușii $* F$ în calea radiației) observăm că viteza de descărcare variază proporțional cu fluxul. Rezultă prima concluzie:

$$\left(\begin{array}{l} \text{numărul de electroni extrăși în} \\ \text{unitate de timp} \end{array} \right) \sim \left(\begin{array}{l} \text{fluxul de energie luminosă} \\ \text{ce cade pe placă} \end{array} \right)$$

În continuare, dacă în locul filtrului cenușiu F , punem alte filtre, care selecțează din lumina albă zone de diverse frecvențe, vom observa o scădere puternică a vitezei de descărcare a electroscopului, atunci cind iluminarea se face în domeniul roșu al spectrului față de cel albastru. Se observă că se face în domeniul de radiație, viteza de descărcare este practic nulă la iluminare în zona roșie și devine rapidă la iluminare în zona albastră. Experimentul devine și mai evident dacă introducem ca filtru o placă de sticlă. Cu toate că este transparentă în vizibil, ea produce o scădere pronunțată a vitezei de descărcare. Știind că sticla obișnuită este netrascăpantă în U.V., rezultă că efectul cel mai puternic îl are radiația din domeniul albastru (U.V.). Experimentul ne conduce la a doua concluzie importantă și anume: *Efectul fotoelectric se manifestă doar la frecvențe mari ale radiației luminioase.*

Efectul fotoelectric este astfel dependent atât de intensitatea radiației, cât și de frecvența ei.

Având aceste date de observație la îndemnățutem încerca să explicăm fenomenul.

Din observația că electronii nu ies din metale decât atunci când acestea sunt încălzite sau iluminat, rezultă că ei sunt supuși în metal unor forțe de legătură. Lumina va trebui deci să transfere electronilor energie pentru a putea ieși din metal. Putem să spunem că, cu cât fluxul de lumină este mai mare cu atit vor putea ieși mai mulți electroni, ceea ce este în concordanță perfectă cu rezultatul experimentului. Mergind cu rationamentul în continuare, ajungem la a doua concluzie care ne pune unele probleme. Cum poate să fie posibilă înfluențarea efectului fotoelectric? Stim că fluxul de lumină frecvența radiației să influențeze efectul fotoelectric? Stim că fluxul de lumină este proporțional cu E^2 (E – intensitatea cimpului electric al undei). Cum din prima observație am dedus că efectul trebuie să depindă doar de flux, nu vedem motivul ca el să nu apară și la frecvențe joase. Să păre că energia transportată de radiație trebuie să depindă și de frecvență, ceea ce nu coreponde teoriei undelor electromagneticice, teorie care pînă acum a reușit să explice practic toate fenomenele discutate.

În această situație trebuie să recurgem la experimente ceva mai complicate care să ne poată furniza și date cantitative asupra fenomenului. Pentru aceasta să realizăm un dispozitiv experimental cu care să putem

* Astfel de filtre se pot realiza ușor integrind cu fusingine lame de sticlă, la gradul dorit de transparență.

determina energia electronilor produsă prin efect fotoelectric (photoelectrons), în diverse condiții de iluminare (fig. 4.2).

Metalul C din care se extrag electronii este așezat în vid, în față unui electrod A . Un galvanometru măsoară curentul, ce se stabilește prin intermediul fotoelectronilor, datorită tensiunii U . Iluminarea se realizează din exterior prin intermediu unor filtre.

Pentru determinarea energiei fotoelectronilor se utilizează metoda cimpului întrizitor. Această metodă constă în determinarea valori tensiunii inverse necesare reducerii la zero a curentului fotoelectric I . Caracteristicile curent–tensiune pentru trei iluminări diferite, dar pentru aceeași frecvență sunt arătate în figura 4.3, a și b.

În figura 4.3, a este arătat cazul în care electroodul A este pus la borna pozitivă ceea ce face posibilă colectarea electronilor produsi datorită iluminării electrodului C . Se observă aspectul de saturare care arată că în acest caz se acceleră și se colectază toți electronii produși în unitatea de timp. În figura 4.3, b este arătat cazul invers, în care A este pus la un potențial negativ, ceea ce face ca electronii emisi din C să se miște într-un cimp care îi frinzează. Vor ajunge la A doar acei electroni care vor avea o energie cinetică mai mare decât energia potențială de frinare: $E_e > |eU|$. Din acest motiv curentul este cu multe ordine de mărime mai mic decât în cazul unei tensiuni acceleratoare. Dacă tensiunea de frinare

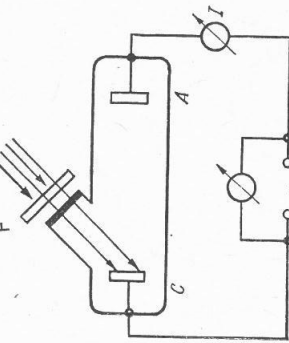
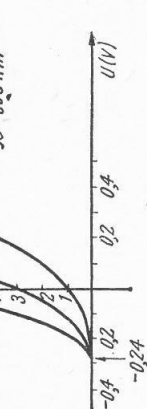
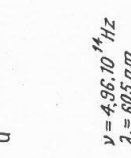
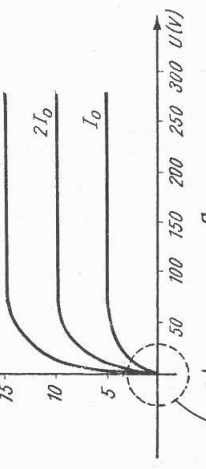
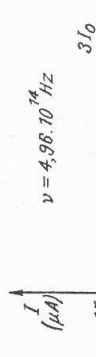


Fig. 4.2. Schema pentru studiul efectului fotoelectric.



b

Fig. 4.3. Caracteristici curent-tensiune obținute în dispozitiv experimental de la figura 4.2.

Pentru aceasta să realizăm un dispozitiv experimental cu care să putem

dă o anumită valoare curentului se anulează. Această tensiune se numește tensiune de *oprire* sau de *stopare* (U_s).

Valoarea tensiunii de oprire U_s , nu depinde de fluxul radiatiei luminioase.

Dacă determinăm caracteristicile curent-tensiune în cazul frinării la iluminare cu radiații de frecvențe diferite, observăm că variază și tensiunea

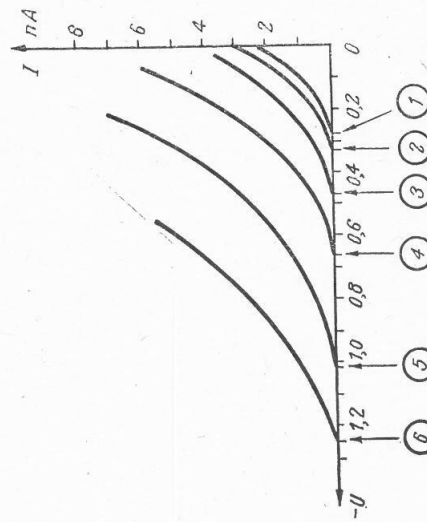


Fig. 4.4 Caracteristicile curent-tensiune în zona potențialelor de frinare, pentru iluminări cu radiație de diverse frecvențe.

de oprire (fig. 4.4). În figură sunt date valorile obținute pentru cazul în care electrodul C este din cesiu. Datele care exprimă tensiunea de oprire, frecvența și lungimea de undă a radiatiei sunt prezentate în tabelul 4.1. Aceste date corespund punctelor 1, 2, ..., 6, indicate pe figura 4.4.

Tabelul 4.1

Nr.	(nm)	ν (Hz)	U_s (V)
1.	589	$5,09 \cdot 10^{14}$	-0,29
2.	578	$5,18 \cdot 10^{14}$	-0,33
3.	546	$5,50 \cdot 10^{14}$	-0,46
4.	502	$5,97 \cdot 10^{14}$	-0,66
5.	436	$6,88 \cdot 10^{14}$	-1,03
6.	405	$7,40 \cdot 10^{14}$	-1,25

Deoarece tensiunea de oprire determină energia maximă a fotoelectrionilor:

$$-eU_s = E_e$$

să reprezentăm grafic energia electronilor funcție de frecvența radiatiei, folosind datele de experiență din tabelul 4.1 (fig. 4.5).

Din acest grafic observăm o dependență liniară între U_s și ν pe care o putem descrie prin ecuația

$$U_s = a + b \cdot \nu$$

unde a și b sunt două constante.

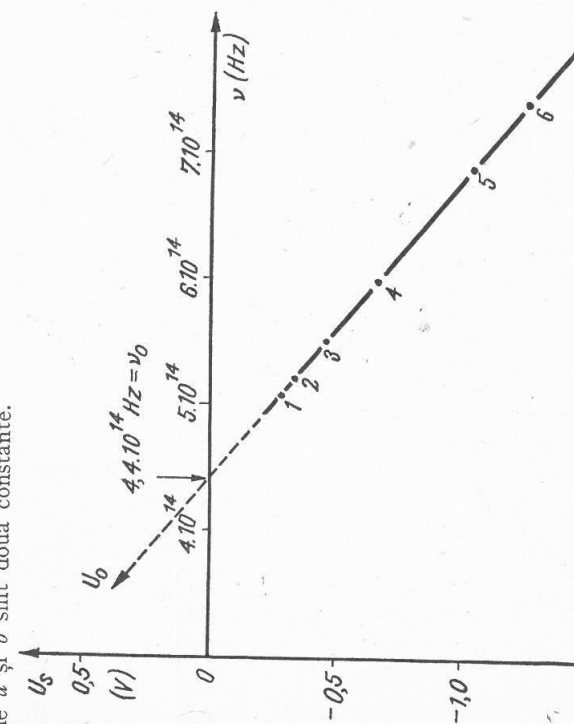


Fig. 4.5. Dependența energiei electronilor emisi de frecvența radiatiei.

Constanta a se poate determina din valoarea lui U_s pentru $\nu = 0$; o notăm U_0 . Constanta b se poate determina dacă căutăm valoarea frecvenței ($\nu = \nu_0$) pentru care $U_s = 0$. Obținem:

$$0 = U_0 + b \cdot \nu_0 \text{ și deci } b = -\frac{U_0}{\nu_0}.$$

Vom putea scrie atunci:

$$U_s = U_0 \left(1 - \frac{\nu}{\nu_0} \right) = U_0 - \left(\frac{U_0}{\nu_0} \right) \cdot \nu. \quad (4.2)$$

Pentru datele din figura 4.5, se obțin valorile:

$$U_0 = 1,82 \text{ V și } \nu_0 = 4,4 \cdot 10^{14} \text{ Hz.}$$

Energia electronului fiind eU_s , înmulțind cu e relația (4.2), obținem dependența energiei electronului de frecvența radiatiei:

$$E_e = -eU_s = eU_0 \left(\frac{\nu}{\nu_0} - 1 \right) = \left(\frac{eU_0}{\nu_0} - 1 \right) \nu - eU_0. \quad (4.3)$$

Problema rezolvată. Cum depinde de frecvență densitatea de curent fotoelectric, în preajma frecvenței ν_0 ?

Rézolvare.

Pentru a rezolva problema, scriem expresia densității de curent produs de n electroni în unitatea de volum, electronii ce se mișcă cu viteza v pe o direcție dată:

$$i = n v t.$$

Cum:

$$v = \sqrt{\frac{2Ee}{m}} \quad \text{și} \quad E_e = \frac{eU_0}{\nu_0} (\nu - \nu_0) \quad \text{rezultă:}$$

$$i = ne \sqrt{\frac{2eU_0}{m\nu_0} \sqrt{\nu - \nu_0}} = \text{const.} \sqrt{\nu - \nu_0}.$$

De aici: $i = 0; \quad \nu < \nu_0$

$i \neq 0; \quad \nu > \nu_0$

Caractemul dependenței de frecvență a curentului în preajma lui ν_0 , se poate vedea mai bine pe derivata lui:

$$\frac{di}{d\nu} = \frac{ne}{2} \sqrt{\frac{2eU_0}{m\nu_0}} \cdot \frac{1}{\sqrt{\nu - \nu_0}}.$$

De aici se vede că atunci cind $\nu = \nu_0$, $\frac{di}{d\nu} = \infty$, deci, curentul apare brusc, odată.

cu atingerea frecvenței ν_0 .

Așa că expresia lui E_e cît și rezultatele obținute la problema rezolvată ne arată că frecvența ν_0 are caracter de prag: pentru $\nu < \nu_0$ fenomenul nu are loc. Lungimea de undă corespunzătoare frecvenței de prag, $\lambda_0 = \frac{c}{\nu_0}$ părță numele de prag roșu al efectului fotoelectric, deoarece reprezintă lungimea de undă maximă pînă la care efectul fotoelectric se mai poate produce.

Putem însuța observațiile experimentale de pînă acum astfel:

- curentul fotoelectric, în regimul de saturatie, este proporțional cu fluxul de lumină monocromatică;
- viteza fotoelectronilor este dependență doar de frecvența radiuției;
- există un prag fotoelectric sub care efectul nu se mai observă.

Relația (4.3) ne sugerează, prin forma ei, o legătură a energiei: un transfer de energie undă-electron. Termenul eU_0 exprimă pierderea unei părți din energia primării de electron de la lumină (termenul dependent de ν). De carecace singurul proces prin care se poate pierde energie este cel necesar extragerii electronilor din metal (electronul fiind o particulă fundamentală nu poate să treacă într-o stare excitată), termenul eU_0 trebuie să exprime acest lucru: el trebuie deci să varieze de la un tip de metal la altul.

În tabelul 4.2 sunt date cîteva valori pentru U_0 deduse din astfel de experimente. Se prezintă de asemenea și valorile ν_0 și λ_0 deduse în acest mod.

Din această examinare fenomenologică a efectului, rezultă că în adevăr energia undei trebuie să depindă și de frecvență pentru a putea explica efectul fotoelectric.

Tabelul 4.2.

Metal	U_0 (volti)	ν_0 (Hz)	λ_0 (nm)
Cesiu	1,81	$4,37 \cdot 10^{14}$	685
Litiu	2,38	$5,75 \cdot 10^{14}$	521
Bariu	2,49	$6,02 \cdot 10^{14}$	498
Calciu	2,80	$6,77 \cdot 10^{14}$	443
Magnesium	3,64	$8,80 \cdot 10^{14}$	340
Zinc	4,24	$1,02 \cdot 10^{15}$	292
Aluminiu	4,25	$1,03 \cdot 10^{15}$	291
Fier	4,31	$1,04 \cdot 10^{15}$	288
Nichel	4,50	$1,09 \cdot 10^{15}$	275
Seleniu	4,72	$1,14 \cdot 10^{15}$	263

Tabelul 4.3

Metal	$\frac{eU_0}{\nu_0}$ (J/Hz)
Cesiu	$6,627 \cdot 10^{-34}$
Litiu	$6,622 \cdot 10^{-34}$
Bariu	$6,618 \cdot 10^{-34}$
Calcium	$6,617 \cdot 10^{-34}$
Magnesium	$6,618 \cdot 10^{-34}$
Zinc	$6,650 \cdot 10^{-34}$
Aluminiu	$6,602 \cdot 10^{-34}$
Fier	$6,630 \cdot 10^{-34}$
Nichel	$6,605 \cdot 10^{-34}$
Seleniu	$6,624 \cdot 10^{-34}$

Termenul care depinde de frecvență este $\frac{eU_0}{\nu_0} \cdot v$ și el poate fi determinat utilizând datele din tabelul 4.2. În tabelul 4.3 sunt trecute valorile raportului eU_0/ν_0 pentru diverse metale. Din examinarea acestor tabele rezultă un fapt deosebit de interesant: valoarea medie a raportului este egală cu:

$$6,621 \cdot 10^{-34} \text{ J.s.} \quad (4.4)$$

Deci, mărimea $\frac{eU_0}{\nu_0}$ nu depinde de metalul utilizat și deci transferul de energie depinde doar de v . Singura explicație plauzibilă a acestui fapt este aceea că în procesul fotoelectric unda electromagnetică se comportă astfel incit energia ei este proporțională cu frecvența prin intermediul constantei (4.4). Această comportare a undelor electromagneticice pochtează regăsită și în alte fenomene. Iată cîteva din ele:

- în experimentele de tip Franck și Hertz (Fizica cl. XI, § 10.2), între frecvența radiuației emisă de atom și energia electronilor ce suferă ciocniri elastice cu el, s-a găsit același raport egal cu $6,62 \cdot 10^{-34}$ J.s care a fost numit *constantă lui Planck* h ;
- în emisia de radiuație X s-a observat că între energia electronilor frânați și frecvența maximă a radiuaților X produse intervine aceeași constantă h ;
- în expresia radiuației emise de către corpul negru (Fizica cl. XI, § 9.2.1) apare aceeași constantă h ; relația poate numele de legea lui Planck.
- N. Bohr a presupus că la interacția radiație-atom energia primită, la o tranziție este proporțională cu frecvența (Fizica cl. XI, § 11.5). Deducerea proprietăților atomului de hidrogen pe baza acestei presupunerii a fost un

triumf a postulatelor lui Bohr și în mod indirect o verificare a faptului că, constanta lui Planck face legătura între energia radiației și frecvența sa. Toate aceste fenomene arată că la o interacție electron-radiată electro-magnetică, electronul primește întotdeauna o energie egală cu $h\nu$. Deoarece din experiment rezultă că pentru o frecvență dată numărul de electroni extrași este proporțional cu fluxul radiației, aplicind legea de conservare a energiei, putem scrie că:

Energia cedată de undă în unitate de timp = $N \cdot$ (energia primită de un electron), unde N este numărul de electroni emisi în unitatea de timp. Expresând această relație în termenii de mai sus, vom avea:

$$J = N \cdot (h\nu).$$

Această relație exprimă faptul că mărimea:

$$\varepsilon = h\nu \quad (h = 6,6256 \cdot 10^{-34} \text{ J}\cdot\text{s}) \quad (4.5)$$

repräsentă „portia“ elementară de radiație de o frecvență dată, ce se poate schimba la interacția undă electro-magnetică-electron și pe care M. Planck (1900) a denumit-o *cuantă de energie*.

Trebue deci să considerăm lumina monochromatică ca o propagare a „ceva“ care transportă cuante de energie proporționale cu ν .

Am putut să revenim în parte la ipoteza corpusculară a lui Newton în care să înglobăm ideea că: dacă există un astfel de „corpuscule“, atunci el va trebui să posedă o energie care să fie proporțională cu frecvența radiației electromagnetice respective.

Acsta a fost punctul de plecare a lui A. Einstein în explicarea fenomenului fotoelectric. El a considerat cuanta nu numai ca o porție de energie, ci și atribut și toate calitățile de particulă. Astfel, în efectul fotoelectric, fiecare cuantă de luminiță ciocnește un electron, și transmite energie, iar electronuliese din metal. În acest proces cuanta de luminiță dispără. Efectul fotoelectric explicat astfel este în concordanță cu un alt fapt experimental, greu de explicat ondulator, și anume cu emisia la întâmplare a fotoelectronilor din metal (în medie se emite un număr constant de fotoelectroni, dar pe intervale mici de timp, acest număr suferă mari fluctuații).

Legea de conservare a energiei pentru procesul de extragere a electronului este:

$$h\nu = E_e + eU_0. \quad (4.6)$$

Cu alte cuvinte, radiația electromagnetică nu numai că se emite sau se absorbe sub formă de cuante ci se și propagă sub această formă.

În acest fel Einstein a făcut pasul necesar pentru a putea considera cuanta de luminiță ca particulară. Ulterior această particulă a fost denumită *foton* (N. Lewis — 1926).

Se explică astfel existența pragului fotoelectric: el corespunde cazului cind $h\nu = eU_0$: întreaga energie a fotona este dată pentru extragerea electronului. Pentru $h\nu < eU_0$ efectul nu mai poate să apară.

4.1.2. Fotonul și proprietățile lui. În realitate natura fotonică a luminii este mai dificil de înțeles decât pare la prima vedere. Să vedem mai departe ce înțelegem prin interpretarea fotonică a luminii.

Într-o exprimare liberă spunem că o sursă de lumină emite o „ploaie“ de fotoni care se propagă rectiliniu și uniform, fiecare foton transportând energie $h\nu$. Deoarece știm că lumina se propagă cu viteza c , trebuie să admitem că fiecare foton, la rîndul lui se propagă cu viteza c . Utilizând rezultatele teoriei relativității putem spune că deoarece transportă energie, fotonul va poseda și o masă proporțională cu această energie:

$$\varepsilon = h\nu = m_f c^2$$

unde m_f este masa fotona:

$$m_f = \frac{h\nu}{c^2}. \quad (4.7)$$

Conform teoriei relativității masa de mișcare este dată de relația:

$$m = \frac{m_0}{\sqrt{1 - \frac{v^2}{c^2}}}.$$

De aici

$$m_0 = m_f \sqrt{1 - \frac{v^2}{c^2}} = \frac{h\nu}{c^2} \sqrt{1 - \frac{v^2}{c^2}} = 0$$

Obținem astfel o altă caracteristică a fotona și anume: *masa sa de repaus este nulă*.

În ciocnirea foton — electron trebuie să se conserve nu numai energia lui, ci și impulsul. Deci fotonul, va trebui să poată fi caracterizat și prin impuls. Expressia impulsului relativist este $p = mv$, unde m este masa de mișcare.

Înlocuind în expresia impulsului masa fotona obtinem:

$$p = \frac{h\nu}{c}.$$

Mărimele caracteristice fotona vor fi deci:

energia	$\varepsilon = h\nu$
masa de mișcare	$m_f = \frac{h\nu}{c^2}$
impulsul	$p = \frac{h\nu}{c}$
masa de repaus	$m_0 = 0$
viteza	$v = c$

Toate acestea ne dovedesc că fotonul este o entitate reală, care se propagă, transportă energie, se ciocnește etc. Trebuie însă să fim atenți, la faptul

că această particulă este deosebită de celelalte particule, deoarece nu are masă de repaus.

Dacă vom nota cu N , numărul de fotoni ce trece în unitate de timp printre-o suprafață dată, fluxul de energie radiantă va fi:

$$(4.9) \quad \Phi = Nhv.$$

Pentru o intensitate dată și o frecvență dată, vom putea spune că este N . Observăm că pentru aceeași intensitate, la o frecvență mică, avem nevoie de un număr extrem de mare de fotoni, pe când la o frecvență mai mare de un număr mai mic.

În capitolul de fizică nucleară (Fizica cl. XI, § 15.4) s-a discutat despre radiatia γ , radiatia care ca și lumina sau radiatia X este de origine electromagnetică. Faptul că radiatia electromagnetică din domeniul vizibil al spectrului este alcătuită din fotoni, ar trebui să se constate și în cazul frecvențelor mari, deci al radiatiilor X sau γ . În adevară, dacă o radiatie X sau γ este trimisă peste un detector Geiger-Müller putem înregistra (sau auzi direct în difuzor) trecerea fiecărui foton, asemănător cu situația în care unul indică trecerea unor particule α sau β . Avem astfel posibilitatea de a ne convinge în mod direct, că undele electromagnetice (aici radiatiile X sau γ), au o structură „granulară”.

Putem reproduce această experiență folosind radiatiile luminoase? Pentru a răspunde la această întrebare să efectuăm cîteva calcule simple. Orice detector posedă un prag minim de sensibilitate față de particula (sau radiatia) detectată. Astfel ochiul posedă un maxim de sensibilitate (pentru $\lambda = 550$ nm) ce corespunde unei energii de aproximativ 600 eV = $0,96 \cdot 10^{-16}$ J. În acest caz, numărul minim de fotoni cu $\lambda = 550$ nm necesari pentru a produce o senzație vizuală va fi:

$$N = \frac{0,96 \cdot 10^{-16}}{hv} = \frac{0,96 \cdot 10^{-16}}{3,6 \cdot 10^{-19}} \simeq 280 \text{ fotoni.}$$

Acest număr de fotoni este prea mare, pentru a permite să sesizăm fiecare foton în parte. Din această cauză lumina pare a avea o structură continuă și nu una granulară.

Pentru domeniul radiatiilor X sau γ , energia unui foton este mult mai mare decât pragul minim de sensibilitate al detectoanelui. De aceea în acest domeniu chiar un foton poate fi sesizat.

Să vedem cum interpretăm celelalte aspecte ale propagării luminii? Propagarea rectilinie exprimată prin noțiunea de rază de lumină este evidentă.

Reflexia și legile ei exprimă ciocnirea cu conservarea impulsului și energiei fotonului.

Refracția determinată de variația vitezei luminiș într-un mediu, se poate explica calitativ ca rezultat al emisiei și absorbiției continue a foto-

nilor de către atomii mediului. Această continuă emisie și absorbție înțirzie parcurgerea mediului ceea ce se traduce printre-o viteză mai scăzută a luminiș.

Fenomenele de difracție și de interferență sunt însă mult mai greu de înțeles. Prezența lor obligă la o interpretare ondulatorie. Lumina mai ascunde astfel aspecte care trebuie descifrate. În aceste scop să urmărim un expe-

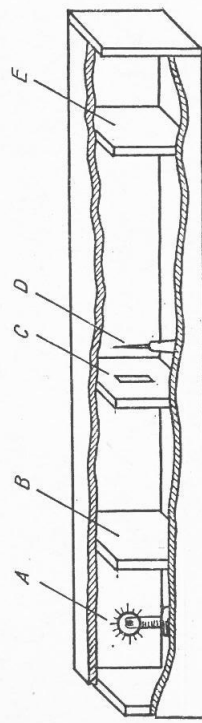


Fig. 4.6. Schema experimentului lui Taylor. A — bec; B — placă fotografică; C — fântă; D — ac; E — ecran (placa fotografică).

periment efectuat în 1909 de către G. Taylor, pentru a elucida modul în care se poate înțelege producerea fenomenelor de difracție și de interferență în ipoteza fotoniilor. În figura 4.6 este arătat schematic acest experiment. El nu diferă prin nimic construcțiv de un experiment de difracție în care sursa este o fântă îngustă, iar obiectul care aruncă umbra și care va produce difracția este un ac subțire. Observarea fenomenului se face prin impresionarea unei plăci fotografice, ce joacă rol de ecran.

Deosebirea care apare aici este că prin modificarea curentului de alimentare a becului se poate mări sau micșora numărul de fotoni emisi în unitate de timp. El a obținut astfel o figură de difracție pentru o iluminare cu o intensitate obișnuită. În continuare a redus fluxul luminos atât de mult încât în fiecare moment, în incintă să existe în medie cel mult un foton. Ne putem convinge de acest lucru utilizând relația (4.9) și apreciind intervalul de timp necesar unui foton pentru a parcurge incinta. În acest fel, el era sigur că imaginea care se obține nu este rezultatul interacției între fotoni ci este determinată de comportarea fiecărui foton în parte. Evident, pentru a obține o imagine a trebuit să măreasă timpul de expunere pînă la zeci de ore, iar într-o serie de experimente a ajuns chiar la peste o lună. Ce a observat?

Figura de interferență obținută la trecerea foton cu foton era absolut identică cu cea obținută cu fluxuri intense de fotoni. Rezultă de aici că difracția și interferența luminiș nu sunt rezultatul interacției fotoniilor între ei; fenomenele de difracție și de interferență sunt rezultatul propagării fotoniilor în parte.

Cu alte cuvinte este greșit să asemănam propagarea fotoniilor cu mișcarea unor bile, fie ele chiar microscopice! Fotoni, ca particule, nu ascultă în mișcarea lor de legile lui Newton.

Vedem astfel că descriind lumina prin intermediul fotonilor nu am revenit la teoria corpusculilor a lui Newton. Realitatea este mult mai complexă decât pare; nici teoria corpusculară descrisă pînă acum și nici teoria ondulatorie nu sunt capabile să explice integral bogăția de fenomene pe care le produce lumina. Vom reveni ulterior asupra problemei.

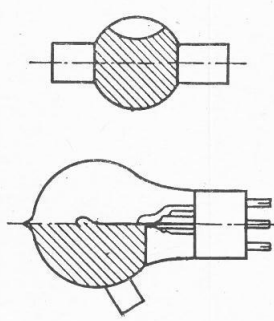


Fig. 4.7. Celule fotoelectrică.

4.1.3. Celula fotoelectrică. Efectul fotoelectric nu este interesant numai din punct de vedere al evidentierii aspectului fotic al luminii, ci și din punct de vedere al aplicațiilor practice pe care le-a generat. Un dispozitiv care utilizează efectul fotoelectric se numește celulă fotoelectrică. În figura 4.7 sunt arătate cîteva celule fotoelectric utilizate în practică. Principiul de funcționare poate fi înțeles cu ajutorul modelului lui Einstein. Celula fotoelectrică este polarizată cu minus pe catoda fotoelectrică și cu plus pe anoda colectoare. Dacă în balonul celulei fotoelectric se află un gaz inert, curentul fotoelectric poate fi simțitor crescut. Caracteristica celulei fotoelectricice cu gaz nu mai prezintă un fenomen de saturare, ci o creștere treptată a curentului fotoelectric. Pentru a mări sensibilitatea celulei fotoelectricice, se poate recurge la amplificarea curentului fotoelectric cu ajutorul unor amplificatoare de curent continuu.

În afară de efectul fotoelectric descris pînă acum, denumit *extern*, mai există și un *efect fotoelectric intern* care constă în variația conductivității electrică a unor semiconductori sub influența luminii (*fotoconducтивitate*). Pe baza acestui efect pot fi construite o serie de dispozitive de timpul celulei fotoelectricice numite *fotorezistențe*.

Efectul fotoelectric intern poate să producă diferențe de potențial în cazul iluminării jonctiunilor semiconductoare (*fotodiode*) sau prin iluminare doar a unei porțiuni dintr-un semiconductor (*efect fotovoltaic, celule foto-voltaiice*).

Iată cîteva aplicații ale celulelor fotoelectricice.

a) Releu fotoelectric. Celula fotoelectrică poate fi utilizată ca element sesizor al prezenței sau absenței radiatiei lumenioase. Poate fi astfel ușor adaptată la un sistem de avertizare acustică sau optică a prezenței radiatiei lumenioase. Astfel el poate să servească ca dispozitiv de acționare automată; deschiderea unor porți, iluminând cu farurile unei mașini; oprirea sau schimbarea sensului de mișcare a unui dispozitiv automat antrenat într-o mișcare de translație (strung automat, capăt de linie ferată etc.); poate fi utilizat în circuite de pază și siguranță a clădirilor, muzeelor, băncilor, depozitelor; poate să apindă automat becurile atunci cînd nivelul de iluminare scade sub

o valoare dinainte stabilită; poate număra automat piesele de pe o bandă rulantă; poate indica automat nivelul în vase ce conțin lichide opace; poate fi utilizat ca sesizor de foc sau fum pentru priza contra incendiilor.

b) Traductor de lumină. În acest caz, curentul provenit de la celula fotoelectrică exprimă valoarea fluxului luminos (după o calibrare anterioară). Cîteva astfel de cazuri de utilizare sunt: *exponometru* fotoelectric utilizat pentru determinarea timpului de expunere în fotografie; realizarea cinematografului sonor pe peliculă fără magnetică; determinarea luminosității obiectelor cosmic (stele, planete, comete), dacă este montat la un telescop; detectarea radiatiilor nucleare în dispozitivele denumite cu *scintilăție*. În acest ultim caz, celula fotoelectrică este modificată pentru realizarea unei amplificări interne a curentului fotoelectric. Dispozitivul se numește *multiplicator*; poate fi folosit pentru controlul în flux continuu a fluidelor (transparente) ce pot fi poluate cu agenți netransparenți. Efectul fotoelectric în „celule fotoelectricice“ speciale denumite *iconoscăpare* este utilizat la dispozitivele de luat imagini în televiziune. Se pot utiliza la determinarea temperaturii în furnale sau a corpuri incandescente în dispozitivele denumite *pyrometre fotoelectricice*.

c) Sursă de energie electrică. Producerea curentului electric prin iluminare poate fi socotită ca una din metodele de a capta și utiliza energia solară. Folosîtă în acest scop, celula fotoelectrică cu vid sau cu gaz are un randament extrem de scăzut din cauza curentilor mici pe care-i poate produce. Rezultatul mai bun este pot obține cu dispozitive fotoelectricice cu semiconductori ce bazează pe efectul fotoelectric intern.

Fotodiode sau celulele fotovoltaice grupate în serie și în paralel pentru a forma baterii solare, se utilizează tot mai des în practică. Sprij exemplul ele joacă un rol important în alimentarea satelitilor de telecomunicație. Satelitul „Intelsat IV“ posedă o baterie solară ce furnizează o putere maximă de 385 W și este formată dintr-o rețea de aproximativ 22 000 celule. Tensiunea pe care o generează este în jur de 25 V, iar curentul în jur de 25 A.

4.2. PROPRIETĂȚILE ONDULATORII ALE PARTICULELOR

4.2.1. Ipoteza lui de Broglie. Din cîte am văzut, fenomenele legate de propagarea și de interacția luminii cu substanța prin care trece pot fi explicate uneori printre-o imagine ondulatorie iar alte ori printr-o imagine fotonică. Se pare deci că lumina are o astfel de natură încît se comportă în unele cazuri ondulatoriar în alte cazuri fotonic. Acest fapt a fost exprimat uneori prin termenul de *dualitate*. Cu toate acestea propagarea luminii și efectele legate de ea trebuie să poată fi înțelese ca un fenomen unitar. Astfel, dualitatea ca model de interpretare este o etapă intermediară în procesul de construire a unei teorii care să ne dea o imagine unitară asupra naturii luminii și care să nu reducă propagarea luminii la niște cazuri limită: de unde sau de particulă.

Privind din acest punct de vedere, să pară că fotonul ar fi unică particulă de acest tip „dual”. Oare acest aspect dual nu îl putem regăsi și la alte particule din natură?

Aceasta a fost ideea fizicianului francez Louis de Broglie (1924), atunci cînd a încercat să-lărgescă categoria de „obiecte duale” și la celelalte particule, conform punctului de vedere al lui de Broglie.

Iată cum s-ar putea realiza „restaurarea” simetriei în lumea particulelor, L. de Broglie a presupus că orice particulă de impuls $\vec{p} = mv$ posedă o comportare ondulatorie ce poate fi descrisă prin lungimea de undă dată de

$$\lambda = \frac{\hbar}{\vec{p}} = \frac{\hbar}{mv}. \quad (4.10)$$

In felul acesta ar fi realizată o simetrie între toate particulele, în sensul că toate ar avea o comportare care să împartă situația pe care o descrișă ondulator, iar în alte situații corpuscular.

Pentru ca ipoteza să poată deveni o certitudine trebuie că această dualitate de aspecte să fie observată și în realitate. Primele experimente făcute în acest sens nu au dat rezultate pozitive.

Experimentele ulterioare au confirmat însă ipoteza lui de Broglie.

4.2.2. Difractia particulelor. Să calculăm care ar fi valorile lui λ pentru diverse energii și pentru diverse particule în ipoteza lui de Broglie.

Tabelul 4.4.

(λ exprimat în metri)

Energia	Electron	Proton sau neutron	Atom de heliu
1 eV	$1,23 \cdot 10^{-9}$	$2,86 \cdot 10^{-11}$	$1,02 \cdot 10^{-11}$
10 eV	$3,88 \cdot 10^{-10}$	$9,05 \cdot 10^{-12}$	$3,21 \cdot 10^{-12}$
100 eV	$1,23 \cdot 10^{-10}$	$2,96 \cdot 10^{-12}$	$1,02 \cdot 10^{-12}$
1 keV	$3,88 \cdot 10^{-11}$	$9,06 \cdot 10^{-13}$	$3,21 \cdot 10^{-13}$
10 keV	$1,22 \cdot 10^{-11}$	$2,86 \cdot 10^{-13}$	$1,02 \cdot 10^{-13}$
100 keV	$3,70 \cdot 10^{-12}$	$9,05 \cdot 10^{-14}$	$3,21 \cdot 10^{-14}$
1 MeV	$8,72 \cdot 10^{-13}$	$2,86 \cdot 10^{-14}$	$1,02 \cdot 10^{-14}$
1 GeV	$1,24 \cdot 10^{-15}$	$7,31 \cdot 10^{-16}$	$2,85 \cdot 10^{-16}$
1 TeV	$1,24 \cdot 10^{-18}$	$1,24 \cdot 10^{-18}$	$6,18 \cdot 10^{-19}$

Dacă accelerarea particulei se realizează cu ajutorul unei tensiuni U , atunci putem scrie că (pentru cazul nerelativistic):

$$\lambda = \frac{h}{mv} = \frac{h}{\sqrt{2meU}}. \quad (4.11)$$

Efectele ondulatorii care se astupă sint dependente de lungimea de undă (tabelul 4.4).

Primul experiment care a reușit să pună în evidență comportarea ondulatorie a electronilor a fost efectuat în 1927 de către Davisson și Germer, cu ajutorul unui montaj ca cel arătat în figura 4.8. Cu un tun electric format dintr-un filament F și un anod A se produce un fascicul de electroni accelerati la tensiunea U . Fascicul este îndreptat spre un monocrystal de nichel care, datoră aranjării ordonate a atomilor, acționează ca o rețea de difracție cu distanțe com-parabile cu lungimea de undă $\lambda = \frac{h}{p}$. Fascicul de electroni difrac-tat sub unghiul θ este colectat cu ajutorul unui cilindru Faraday C , currentul de electroni fiind măsurat cu un galvanometru.

Cu acest dispozitiv ei au ob-servat:

- apariția unor maxime și minime de curent la diverse un-ghiuri θ ;
- unghiul la care apar ma-ximele depinde de tensiunea de ac-celerare și deci de λ . Relația (4.11) a putut fi astfel verificată direct.

Ulterior astfel de experimente au fost făcute cu protoni, neutroni, particule α și molecule de hidrogen. În toate cazurile relația lui de Broglie (4.10) s-a verificat întotdeauna.

Un exemplu grăitor este dat în figura 4.9 care ne arată franjile de inter-ferență, înregistrate pe o placă foto-grafică, franje ce apar atunci când în calea unui fascicul fin de electroni, se interpuze un obstacol de dimensiuni foarte mici. Imaginea de pe placă foto-grafică este observată la microscop. În figura 4.10 se arată un caz asemănător. Pentru a interpreta aceste franje, utilizăți figura 3.13, b. Folosind valorile date în absisa figurii 3.13, b pentru maximale de interferență ca și poziția maximelor din figura 4.10 (scara de $0,2 \mu\text{m}$ este indicață pe fotografie), determinați valoarea lui λ $= 30 \text{ cm}$. Pe figură sunt indicate fran-jele cu ordinea de interferență 10, 20, 30.

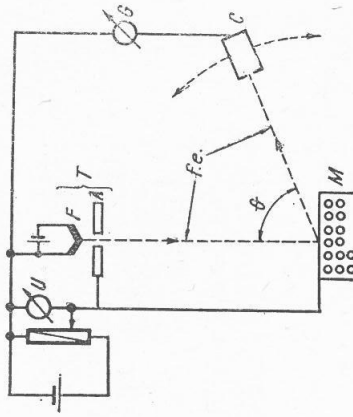


Fig. 4.8. Schema dispozitivului experimental pentru studiul difracției electronilor. T – tun electric; M – monocrystal de nichel; C – cilindru Faraday; G – galvanometru, θ – unghiul de împărtiere al electronilor; $f.e.$ – fascicul de electroni.

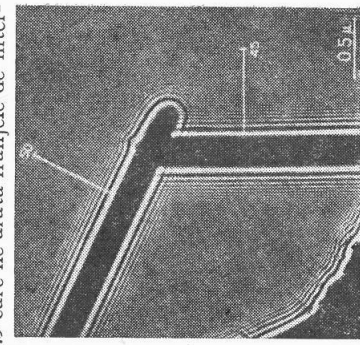


Fig. 4.9. Franje de interferență în jurul unor firuri observate la un microscop electronic. Cifrele indică numărul de franje pe distanță dată.

Fotografiile 4.9 și 4.10 ne arată în mod direct că electronii (ca și celelalte particule) se pot comporta ca și cum legea lor de mișcare ar fi aceea a unei unde.

Difractia electronilor a fost studiată într-un experiment (1949) analog celui efectuat de Taylor pentru fotonii. Ca și în cazul fotonilor, experimentul

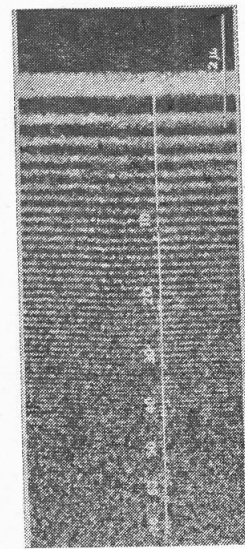


Fig. 4.10. Frâne de interferență la marginea unui obstacol, observate la un microscop electronic.

a arătat că fiecare electron este supus difracției, independent de celalți. Caracterul ondulator al legii de mișcare a electronilor este astfel evidentiat în mod direct: pentru a obține figura de difracție trebuie ca *fiecare electron să interacționeze cu ambele fante* (în experimentul de tip Young), cu ambele părți ale acelui (în experimentul de tip Taylor), *cum toți atomii rețelei cristaline* (în experimentul lui Davisson și Germer).

Comportarea ondulatorie a electronilor a mai fost verificată repetând un experiment de interferență din optică. În optică, un astfel de experiment se realizează prin extragerea a două fascicule corente dintr-o sursă unică și apoi prin suprapunerea lor pentru a interfera. Un experiment analog, efectuat cu două fascicule de electroni a condus la o imagine de interferență în care intensitatea fasciculului de electroni interfeță variază (spațial) periodic, între o valoare maximă și una minimă, interferanța putind fi descrisă corect cu ajutorul relației lui de Broglie (1956).

Utilizarea practică a comportării ondulatorii a electronilor s-a concretizat în realizarea *microscopului electronic*. Un microscop electronic utilizează un fascicul de electroni care cade pe un preparat, îl traversează iar variațile de grosime ale preparatului se transformă în variații de intensitate a fasciculului de electroni transmis. Utilizând „lentile” adecvate (cimpuri electrice sau magnetice cu o anumită distribuție spațială) electronii vor avea traекторii asemănătoare razelor de lumina dintr-un microscop optic. Se va realiza o mărire a structurii preparatului, care va putea fi înregistrată pe o placă fotografică. Deoarece limita de rezoluție a unui microscop este determinată de lungimea de undă a radiației utilizate, cu microscopul electronic se pot observa obiecte de ordinul a 0,2 nm, mult mai mici decât în cazul microscopelor ce folosesc radiații lumeninoase. Fotografile date în figurele 4.9 și 4.10 au fost obținute cu microscopul electronic.

În concluzie, putem să spunem că fotonii, particulele constitutive ale atomilor, cît și agregatele lor (atomii și moleculele) se comportă cu totul deosebit față de particulele sau undele clasice. Pentru a le deosebi de celelalte entități le vom numi *microparticule* sau particule cuantice.

Deoarece mișarea și comportarea lor, nu se mai încadrează în teorile clasice, pentru descrierea lor va trebui să utilizăm o nouă teorie care să conțină ca punct de plecare particularitățile relevante de experimente.

4.3. PROPRIETĂȚILE MICROPARTICULELOR

4.3.1. Principiul de nedeterminare. Pentru a putea descrie proprietățile și a găsi legile care guvernează mișarea microparticulelor să analizăm mai în amănunt mișcarea electronilor (considerat ca un caz tipic) într-un experiment simplu de difracție (fig. 4.11). Un fascicul de electroni monoenergetici este îndreptat spre un paravan A prevăzut cu o fanta. Un ecran E permite vizualizarea locului în care ajung electronii după ce au trecut de fantă. Pentru a descrie mișcarea unei particule, trebuie să cunoaștem poziția și viteza (sau impulsul) particulei în fiecare punct al traiectoriei ei. Dar cum putem cunoaște acești parametri? Evident din măsurători. De exemplu, poziția electronului în experimentul propus va fi dată de coordonata fantei,

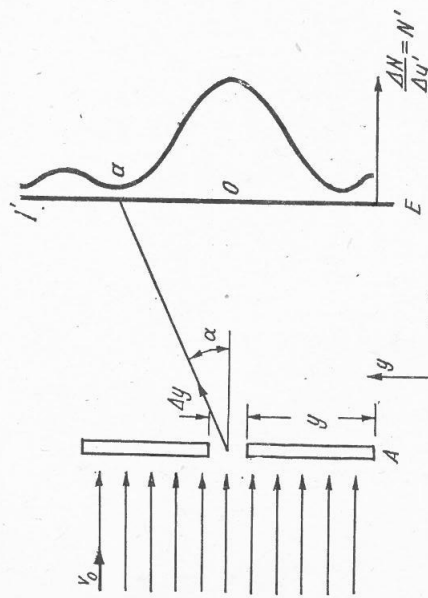


Fig. 4.11. Schema unui experiment de difracție a electronilor. E — ecran; a — minim, $\Delta N/N'$ — numărul de electroni ce loveste ecranul pe distanța Δy .

Dar deoarece fanta are o lărgime Δy , nu vom putea cunoaște exact poziția electronului; Δy va reprezenta astfel nedeterminarea cu care cunoaștem poziția electronului ce a traversat fanta. Aceasta înseamnă că poziția electronului în momentul trecerii prin fanta va avea valoarea cuprinsă între y și $y + \Delta y$.

Între A și E electronul merge liber și am putea determina traectoria lui dacă am putea preciza locul în care cade pe ecran. Dar, din cauza difracției electronului la trecerea prin fanta, pe ecran se va obține o figură de interferență. Locul în care va ajunge electronul nu va putea fi determinat exact, dar vom putea spune că el va atinge ecranul undeva între cele două minime ce mărginesc maximul principal. Știm din § 3.2.3. că poziția primului minim este

$$\frac{\Delta r}{\Delta y} = \sin \alpha = \frac{\lambda}{2\Delta y}$$

unde Δr este diferența de drum pentru traectoriile ce pleacă de la extremitățile fantei de lărgime Δy , și care pentru minim trebuie să fie egală cu $\frac{\lambda}{2}$. Pentru ca electronii incidenti de energie $E = \frac{mv^2}{2}$ să-și schimbe direcția pe Oy , trebuie ca ei să aibă o componentă a vitezei pe Oy , componentă ce nu există inițial (v_0 fiind pe direcția Ox). Vom nota cu Δv_y această componentă perturbatoare. Pe de altă parte putem scrie că:

$$\frac{\Delta v_y}{v_0} = \operatorname{tg} \alpha.$$

Pentru α mic, $\sin \alpha \approx \operatorname{tg} \alpha$ și de aici, egalând cele două relații

$$\frac{\lambda}{2\Delta y} \approx \frac{\Delta v_y}{v_0},$$

Dacă ținem cont că $\lambda = \frac{h}{mv_0}$, obținem:

$$\frac{h}{2mv_0\Delta y} \approx \frac{\Delta v_y}{v_0}.$$

sau:

$$m\Delta y \Delta v_y \approx \frac{h}{2}.$$

Putem de asemenea scrie $m\Delta v_y = \Delta(mv_y) = \Delta p_y$.

Obținem în final relația:

$$\Delta y \cdot \Delta p_y \approx \frac{h}{2}. \quad (4.12)$$

În această relație Δy este nedeterminarea valorii cordonatei y a electronului, iar Δp_y este nedeterminarea introdusă în componenta y a impulsului electronului după trecerea prin fanta. Observăm că nedeterminarea în componenta impulsului pe y este indușă în momentul în care încercăm să prezicăm valoarea cordonatei electronului, prin introducerea paravanului cu fanta de lărgime Δy . Nedeterminarea este indușă de aparatul de măsură (aici fanta) care interacționează cu electronii. Această interacționare se doveză

dește și suficient de mare și deci nu o putem neglijă. Am văzut mai înainte (§ 3.1.2) că aparatul de măsură ideal este acela care nu perturbă semnificativ sistemul supus măsurătorii. De asemenea, pînă la teoria relativității, fizicienii discutau despre spațiu și timp fără a privi critic modul în care se măsoară aceste mărimi. Experimental de mai sus, pun problema măsurării pozitiei și impulsului. Rezultatul analizei exprimat prin relația (4.12), ne arată că și aici se impun o serie de limitări principiale. Aceste limitări sunt exprimate prin așa-numitul *principiu de nedeterminare* descoperit de W. Heisenberg (1927).

Dacă dorim să determinăm cu precizie extremă poziția electronului, printr-un experiment ca cel de mai sus, fără a ne interesa alti parametri dinamici ai lui (cum ar fi impulsul) o putem face fără nici o limitare. Dacă dorim însă să determinăm *simultan* atît coordonata cît și impulsul electronului atunci precizia este inherent limitată de procesul de măsură și este exprimată prin relația (4.12). Este important de înțeles că această limitare, constatătă în toate experimentele cu microparticule, nu are nimic de a face cu calitatea aparatelor de măsură utilizate!

Să ne reamintim în continuare discuția relativă la propagarea rectilinie a radiatiilor electromagnetice (§ 3.2.1 și § 3.2.6). Acolo am stabilit o relație între lărgimea fasciculului (exprimată prin unghiul de difracție), lărgimea de undă a radiației λ și dimensiunea fantei d : $\sin \theta = \lambda/d$. Dacă în relație introducem $\lambda = h/p$, obținem

$$d \cdot p \approx \frac{h}{\sin \theta}.$$

Am ajuns astfel din nou la o relație asemănătoare cu (4.12). Într-un fel, comportarea ondulatorioare a microparticulelor este astfel exprimată prin limitarea impulsă de relația (4.12).

Tragem concluzia că relația de nedeterminare exprimă o proprietate fundamentală a microparticulelor.

Să explorăm consecințele ce decurg din relația (4.12).

a) Prima concluzie este aceea că nedeterminările în măsurarea simultană a coordonatei și a impulsului asociat sunt corelate. Dacă efectuăm mai multe măsurători asupra coordonatei și impulsului unui electron, vom obține valori diferite ce se vor grupa în jurul unor valori medii împărtășirea valorilor de la cea medie se va caracteriza prin Δy , respectiv Δp_y . Dacă facem măsurători simultane asupra lui y și p_y și încercăm să măștem împărtășirea valorilor lui y ($\Delta y \rightarrow 0$), atunci relația (4.12) ne arată că valorile pe care le vom obține pentru p_y se împărtășesc tot mai mult ($\Delta p_y \rightarrow \infty$). La limită vom putea să cu precizie pe unde a trecut particula, dar nu vom putea spune ce impuls are după trecerea prin fanta, deoarece electronul va putea ajunge în acest caz ori unde pe ecran.

Obținerea în toate cazurile studiate a unei relații de tipul (4.12) a condus treptat la recunoașterea caracterului de lege a acestei relații. Ea este valabilă pentru toate cele trei componente:

$$\Delta x \Delta p_x \geq \frac{\hbar}{4\pi}$$

$$\Delta y \Delta p_y \geq \frac{\hbar}{4\pi}$$

$$\Delta z \Delta p_z \geq \frac{\hbar}{4\pi}.$$

Coefficientul $1/4\pi$ rezultă din tratarea riguroasă a acestor probleme. De notat că relațiile (4.13) se referă doar la împărțirea valorilor mărimilor măsurate simultan. Aceasta se exprimă uneori spunând că impulsul și coordonata său sunt parametrii complementari. Parametrii complementari nu pot fi măsurăti simultan cu o precizie nemărginită de mare. Aceasta înseamnă că ei exprimă aspecte diametral opuse ale comportării microparticulelor și de aceea sunt într-un fel incompatibili.

Un alt exemplu important de mărimi complementare îl constituie energia și intervalul de timp:

$$\Delta E \cdot \Delta t \geq \frac{\hbar}{4\pi}. \quad (4.14)$$

Această relație ne arată că măsurarea energiei cu o precizie dată (ΔE) necesită un interval de timp (Δt) de măsură dat de (4.14).

b) O altă concluzie a relațiilor de nedeterminare este că ele scot în evidență imposibilitatea neglijării influenței aparatului de măsură (a procesului de măsură) asupra sistemului. În cazul de față, fanta a reprezentat un „instrument de măsură” a poziției electronului. Ea a modificat viteză, deci impulsul electronului. Relațiile (4.13) sau (4.14) ne arată că măsurătoarea perturbă starea sistemului și că această perturbare nu se poate neglijă nici măcar în principiu.

c) Sensul fizic mai profund al relațiilor de nedeterminare este acela al *limitei de aplicabilitate a noțiunilor clasice*. Încercând să descriem micro-particula, noi am utilizat o serie de noțiuni folosite la descrierea macroscopică a particulelor sau a undelor clasice. Aici am văzut că avem de a face cu microparticule care au o comportare deosebită de cea clasică. Relațiile de nedeterminare ne scot în evidență limitele pînă la care putem utiliza noțiunile clasice în descrierea fenomenelor atomici și nucleare. Ne dăm seama astfel că va trebui să introducem și o serie de noțiuni specifice care nu au corespondență în fizica clasică.

Putem să rescriem relația de nedeterminare sub forma:

$$\Delta x \cdot \Delta V_x \geq \frac{\hbar}{4\pi m}.$$

Se vede ușor că în cazul corpurilor macroscopice pentru care m este foarte mare, limita inferioară impusă de relația de nedeterminare este practic zero:

$$\frac{\hbar}{4\pi m} \rightarrow 0.$$

Putem spune astfel că la scară macroscopică nu avem o limitare de acest fel și că îmbunătățirea mijloacelor de măsură va putea permite măsurători mai precise, mai exacte.

d) Relațiile de nedeterminare au implicații profunde în descrierea proceselor fizice ale microparticulelor. De exemplu, noțiunea de trajectorie, își pierde sensul.

Pentru a argumenta această afirmație să analizăm mișcarea electronului în atomul de hidrogen. Putem evalua valoarea vitezei electronului egalând forța centrifugă mv^2/r cu forța de atracție coulombiană a nucleului $\frac{1}{4\pi\epsilon_0} \cdot \frac{e^2}{r^2}$ (modelul planetar):

$$v = \sqrt{\frac{e^2}{4\pi\epsilon_0 mr}}.$$

De aici putem calcula lungimea de undă de Broglie a electronului:

$$\lambda = \frac{\hbar}{mv} = \frac{\hbar}{e\sqrt{4\pi\epsilon_0 mr}}.$$

Stim că atomul de hidrogen are dimensiunea de ordinul 10^{-10} m. Introducind valorile obținute în (4.14),

șase ori valoarea razei Bohr!

Am văzut că propagarea unei unde poate fi descrisă prin conceptul de rază doar dacă ea are loc într-o regiune de dimensiuni mult mai mari ca λ . În caz contrar conceptul de rază își pierde sensul. Această ultimă situație corespunde mișcării electronului în atom: unde care descrie compoartarea electronului are o lungime de undă mai mare ca aceea a dimensiunilor atomului și deci noțiunea de trajectorie nu mai poate fi utilizată.

Nu înțelegem prin aceasta că electronul nu mai este o particulă! Atât electronul cit și celealte microparticule își păstrează caracterul de particulă; de exemplu, nu este posibil să se observe părții ale unui electron aşa cum nici fotonul nu poate fi despăgubit. Ceea ce este deosebit la microparticule este legător de mișcare (de tip ondulator) care face ca noțiunea de trajectorie să-și piardă sensul.

Cu toate acestea în camera cu ceată putem observa trajectorii ale microparticulelor. În acest caz, trajectoria este delimitată de picăturile de apă condensate în lungul parcursului electronului. Nedeterminarea în poziția electronului este astfel dată de dimensiunea acestor picături. $\Delta x \sim 0,01$ cm. Nedeterminarea în valoarea impulsului conform relației de nedeterminare este:

$$\Delta p_x \sim \frac{\hbar}{4\pi\Delta x} = \frac{6,6 \cdot 10^{-34}}{4\pi \cdot 10^{-4}} = 5,2 \cdot 10^{-31} \text{ J} \cdot \text{s/m}.$$

Dacă valoarea impulsului satisfacă condiția $\hat{p}_x \gg \Delta\hat{p}_x$, atunci putem afirma că în această aproximatie, urmă răsată în camera cu ceată este trajectoarea particulei; ea nu va fi căză relația de nedeterminare; de asemenea, erorile la scară macroscopică sunt mici.

Un electron de energie ~ 1 keV are un impuls de $\sim 5 \cdot 10^{-23}$ J · s/m. Se vede astfel că observarea drumului microparticulelor în camera cu ceată nu permite determinarea traectoriei cu o atit de mare precizie încât să observăm abaterile de la mișcarea clasică.

Este important de reținut deci că la precizia cerută de descrierea mișcării microparticulelor în edificiile atomice, noțiunea de traectorie nu mai poate fi utilizată.

În acest sens modelul lui Bohr este total incorect, motiv pentru care el nu poate fi acceptat decât cu titlu de etapă intermedieră în înțelegerea structurii atomului. Pentru a fi în concordanță cu relațiile de nedeterminare, erorile în r și \hat{p} pentru electronul din atom ar trebui să întreacă de multe ori valorile lui r și \hat{p} deduse din modelul Bohr. Ori, în acest caz, mărimile r și \hat{p} nu mai au nici o semnificație fizică!

Descrierea mișcării electronului în atom trebuie făcută deci în cu totul alti termeni.

Pentru descrierea fizică a fenomenelor ce au loc în sistemele microscopic, relațiile de nedeterminare prezintă o importanță calitativă deosebită, deoarece ele evidențiază caracterul neclasic (statistic) al comportării microparticulelor.

e.) Mărimile Δx , $\Delta\hat{p}_x$, ce apar în relațiile de nedeterminare sunt o măsură a gradului de împrietenire a rezultatelor unor experimente efectuate în condiții identice. Acest lucru înseamnă că refăcând un experiment în condiții identice, rezultatele nu se reproduc, ci iau valori diferite — întimplătoare. Nu se poate prezice exact valoarea care se va obține la o nouă măsurătoare, dar vom ști că, cu o mare probabilitate ea se va găsi undeva în intervalul x , $x + \Delta x$; și că, cu o mare probabilitate ea se va găsi undeva în intervalul E , $E + \Delta E$ (unde Δx , $\Delta\hat{p}_x$, ΔE sunt mărimile ce apar în relațiile de nedeterminare). Aceasta socotește în evidentă caracterul întimplător al rezultatelor măsurătorilor individuale sau, mai general, caracterul întimplător al evenimentelor și proceselor elementare individuale la scară microscopică.

Cu toate acestea valorile medii obținute din datele unor măsurători efectuate în aceleași condiții, au o remarcabilă regularitate și reproducibilitate. Să ne gîndim numai la faptul că imaginea obținută prin difracție de electroni este oricărui reproducibilă (întimplătoare). Alt exemplu este dezintegrarea nucleelor (Fizica cl. a XI-a, § 15.2; § 15.7). Urmărind în timp emisia prin dezintegrare a unor particule se constată succesiunea lor complet dezordonată, întimplătoare. Valoarea medie a numărului de particule emise în unitatea de timp rămîne însă practic constantă (pentru elemente radioactive cu timp de viață lungă).

La începuturile studiului acestor procese caracterul întimplător a fost considerat ca un fapt deosebit, specific fizicii atomice. Acum însă el este privit ca un fapt normal, fundamental al fizicii microparticulelor și este considerat o lege fundamentală.

4.3.2. Interpretarea statistică a comportării microparticulelor. Analiza pe care am făcut-o asupra consecințelor principiului de nedeterminare și a caracterului fundamental al acestui principiu explică cauza pentru care mecanica microparticulelor se exprimă în termeni de probabilitate. Nereproductibilitatea principială a măsurătorilor și actelor elementare, lipsa notiunii de traectorie, limita impusă precizei măsurătorilor individuale simultane, au condus toate la necesitatea descrierii fenomenelor atomici și nucleare într-un limbaj de probabilitate. În loc să căutăm să determinăm (ca în mecanica clasică) cum se va comporta în viitor un sistem atunci cînd se cunosc datele inițiale, vom căuta să determinăm care va fi probabilitatea ca sistemul să se găsească într-o stare ulterioară dată.

Pentru a vedea cum putem descrie în termeni de probabilitate fenomenele de la scară atomică, să ne reîntoarcem la analiza făcută asupra naturii luminii.

Fluxul de energie radiantă ce trece prin unitatea de arie (intensitate energetică (I) sau pe scurt intensitate) este proporțional cu media în timp a pătratului intensității cimpului electric al undei: \bar{E}^2 (§ 3.2.2). În limbaj fotonic, intensitatea energetică este dată de $I = N\hbar\nu$, unde N este numărul mediu de fotonii ce trec în unitate de timp prin unitatea de arie (§ 4.1.2). Pentru a unifica cele două puncte de vedere putem spune că \bar{E}^2 * este o măsură a numărului mediu de fotonii pe unitatea de volum. Astfel, ajungem la o interpretare statistică (deci prin intermediul valorilor medii) a intensității. O sură punctiformă emite fotonii în toate direcțiile, în mod întimplător. Numărul mediu de fotonii ce traversează unitatea de arie va scădea atunci cu pătratul distanței față de sură, deoarece fotonii se distribuie uniform probabil în jurul sursei. Este exact ceea ce prezice și teoria ondulatorie. Astfel \bar{E}^2 este o măsură a probabilității de a găsi N fotonii în medie, în unitatea de volum. Se explică astfel toate cele observate în cadrul efectului fotoelectric printre care și emisia la întimplare a electronilor de pe suprafață iluminată. Emisia la întimplare este un suport experimental extrem de convinsător privind interpretarea probabilistă a lui \bar{E}^2 .

Analogia a fost extinsă de către M. Born (1926) la descrierea comportării microparticulelor. Undele de Broglie care descriu bine comportarea microparticulelor ca și analogia cu interpretarea probabilistă a intensității energetice a radiatiilor electromagnetice, sugerează introducerea unei funcții cu rol asemănător lui E . Ea a fost denumită *funcție de undă* și se notează cu ψ .

* Să nu uităm că E^2 este în același timp proporțional cu densitatea de energie a cimpului electric.

Funcția ψ este în general complexă. De aceea, în această interpretare, probabilitatea de a găsi particula undează în spațiu în unitatea de volum la un moment dat se obține făcind modulul pătrat al funcției, $|\psi|^2$.

Pentru funcția de undă ψ , ca și pentru intensitatea cîmpului electric \vec{E} , este valabil principiul de suprapunere. De aceea dacă vom să descriem mișcarea a două particule, funcția de undă a sistemului va fi:

$$\psi = \psi_1 + \psi_2$$

iar probabilitatea de a găsi particulele în unitatea de volum, sau densitatea de probabilitate va fi:

$$|\psi|^2 = |\psi_1 + \psi_2|^2.$$

La fel ca în cazul suprapunerii a două unde, $E^2 = (E_1 + E_2)^2$, va rezulta posibilitatea producerii efectelor de interferență:

$$|\psi|^2 \neq |\psi_1|^2 + |\psi_2|^2.$$

În consecință, microparticulele se comportă astfel încât densitatea totală de probabilitate nu mai este o simplă sumă a densităților de probabilitate a fiecarei în parte. În cazul a două particule clasice nu vom întâlni niciodată o comportare de acest fel.

Fenomenul de interferență este astfel inclus organic în modul de descriere a propagării microparticulelor.

Unda de probabilitate nu corespunde unei unde speciale, ci exprimă faptul că probabilitatea de găsire a unei microparticule este descrisă de o funcție cu proprietăți (matematice) asemănătoare cu cele ale funcției de undă ce descrie undele elastice sau cele electromagneticice.

4.3.3. Discutarea unor sisteme cuantice simple. Problema deducerii comportării microparticulelor și a sistemelor de microparticule se reduce în esență la determinarea funcției ψ . Aceasta este o afirmație pe care nu o putem susține riguros fără o dezvoltare în ansamblu a întregului aparat matematic aferent și de asemenea a întregii teorii fizice ce rezultă. Teoria care descrie în mod consecvent comportarea microparticulelor pornind de la datele experimentale examineate mai sus se numește *mechanică cuantică* și este rodul muncii a nenumărații fizicieni dintre care cei mai importanți sunt W. Heisenberg, E. Schrödinger P. A. M. Dirac și M. Born. Bazile mecanicii cuantice au fost puse între anii 1926 – 1929.

Să vedem unele consecințe ale acestei teorii utilizând doar cunoștințele de pînă acum. Concluziile cantitative pe care le vom obține vor fi evident aproximative, însă cele calitative vor fi corecte.

Ca prim sistem să luăm cel al unui electron care se poate mișca doar pe o axă (Ox) între două puncte care delimită un segment de lungime d . Formulată astfel, problema este idealizată și ar putea să aibă ca imagine fizică macroscopică pe cea a unui cilindru de lungime d în care s-ar putea mișca, fără freare, o bilă. Captelele tubului sănt formate din pereti perfect rigizi și deci reflectători.

Energia electronului în acest caz s-ar reduce la energia lui cinetică:

$$E = \frac{mv^2}{2} = \frac{\vec{p}^2}{2m}.$$

Mișcarea lui însă va trebui să fie descrisă de funcția ψ în care λ este dat de relația de Broglie $\lambda = \frac{h}{p}$. Vom scrie deci că:

$$E = \frac{p^2}{2m} = \frac{\hbar^2}{2m\lambda^2}. \quad (4.17)$$

Dar, o undă ce se propagă în lungul unei direcții, între doi pereti reflectători, prin interferență cu undă reflectată va forma *undă staționară*. Se va obține o stare staționară dacă lungimea de undă λ va îndeplini condiția:

$$d = n\lambda \quad n = 1, 2, 3, 4, \dots$$

deci:

$$E = \frac{\hbar^2 n^2}{2ma^2}. \quad (4.18)$$

Relația (4.18) exprimă așa-numita *cuantificare a energiei*, adică faptul că energia unui electron obligă să rămână într-o zonă dată, finită, nu va putea să ia orice valoare ci numai valori discrete, determinate de „numărul cuantic” n . Deci, obținem pentru energie valori posibile discrete ca și în cazul atomului de hidrogen. Funcția de undă ce descrie sistemul va avea valoare nulă în punctele $x = 0$ și $x = d$. Deci, densitatea de probabilitate $|\psi|^2$ de a găsi electronul în preajma acestor puncte este foarte mică. Ea va crește spre centru fiind maximă pentru $x = \frac{d}{2}$. Probabilitatea cea mai mare de a găsi electronul va fi în centrul domeniului și nu la capetele lui.

Dar oare cum am putea să descriem mișcarea electronului din atomul de hidrogen?

Aproximativ în același mod, am putea spune că mișcarea electronului pe o orbită de rază r ar trebui să se facă astfel încit pentru stările staționare, unda de Broglie să se „închidă” cu formare de undă staționară. Deci:

$$2\pi r = n\lambda = n \frac{\hbar}{p}$$

sau:

$r\dot{p} = n \frac{\hbar}{2\pi}$

care este unul dintre postulatele modelului Bohr, privitor la momentul cinetic $(\vec{r} \times \vec{p})$ al electronului. Își în acest caz vom putea spune că densitatea de probabilitate este mare în dreptul razelor orbitelor deduse de N. Bohr și este mică la o altă distanță de nucleu.

Atrageri încă odată atenția că modul în care am obținut aceste rezultate nu este riguroas.

Ceea ce se poate extrage din aceste exemple și care este riguros adevărat este faptul că ori de câte ori o microparticulă este limitată în mișcarea ei, fenomenul de cuantificare este prezent. O microparticulă liberă nu va prezenta fenomenul de cuantificare și deci energia ei va putea lua orice valoare, cum este de exemplu cazul electronilor din fasciculele de electroni.

EXTINSDERE ÎN FIZICĂ

4.3.4. Efectul tunel. Efectul tunel este un efect specific fizicii microparticulelor. El nu se întâlnește la scară macroscopică. Consecințele lui pot fi însă evidențiate la scară macroscopică. Printre fenomenele care sunt o urmare directă a acestui efect se pot enumera: dezintegrarea nucleelor prin emisia de particule α , apariția diferenței de potențial de contact între două metale diterite în contact, efectul Josephson (trecerea curentului electric între două metale aflate la o distanță de aproximativ 1 nm una de alta, cind metalele se află în stare de supraconductie), efectul de emisie electronică determinat de un câmp electric intens la suprafața unui metal, ca și funcționarea dispozitivelor semiconductoare denumite „diode” tunel etc.

Să vedem în ce constă acest efect și cum poate fi el explicat. În acest scop să pornim de la analiza unui experiment simplu: trecerea unei bile (macroscopice) de masă m peste un obstacol de forma indicată în figura 4.12.a. Stim că urcarea bilei pe obstacol cere efectuarea unui lucru mecanic, deoarece trebuie învinsă forța de greutate. Dacă H este înălțimea maximă a „dealuhului” din figură, pentru a trece de el, energia cinetică inițială a bilei trebuie să satisfacă condiția.

$$E_c \geq mgH. \quad (4.19)$$

Situația discutată poate fi descrisă în termeni de energie. Figura 4.12.b ne arată această descriere. Curba reprezintă variația energiei potențialei E_p în funcție de distanță față de un punct O ales ca origine. Ea scade cînd ne deplasăm spre punctele de abscisă x_c și x_b .

Energia potențială corespunzătoare punctului de abscisă x_1 este maximă. Ea scade cînd ne deplasăm spre punctele de abscisă x_c și x_b . O bilă care va avea inițial energia totală $E_1 (> mgH)$ apropiindu-se de „vîrful dealului”, va suferi o frenetizare, deoarece legea de conservare a energiei ne dă:

$$E_1 = E_c + E_p \quad (4.20)$$

$$E_c = \frac{mv^2}{2} = E_1 - E_p = E_1 - mgH.$$

sau

Cum $E_1 > mgH$, în acel punct viteza bilei va fi minimă (v_2), iar în O va fi maximă (v_1):

$$v_1 = \sqrt{\frac{2E_1}{m}}; \quad v_2 = \sqrt{\frac{2(E_1 - mgH)}{m}}.$$

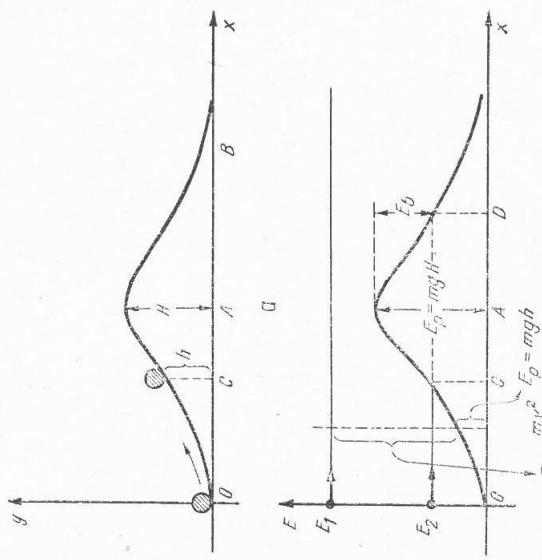


Fig. 4.12. Bariera de potențial.

Dacă luăm cazul în care $E_1 = E_2 < mgH$, atunci în punctul corespunzător abscisei x_A :

$$E_c = E_1 - E_p < 0. \quad (4.21)$$

Dar cum E_c nu poate fi decît mai mare ca zero, rezultă că avînd energiea E_2 , bila nu poate ajunge în acel punct ci cel mult pînă într-un punct de abscisă x_C pentru care

$$E_2 = \frac{mv^2}{2} = mgH.$$

Spanem că bila poate trece „dealul” doar dacă are o energie inițială mai mare ca mgH . „Dealul” va reprezenta astfel o barieră de potențial, de netrecut pentru bila cu energie mai mică decît energia maximă a barierii. Bila, în cazul în care are energie totală E_2 , va putea ajunge pînă în punctul de abscisă x_C ; pentru a trece dincolo va avea nevoie de un supliment de energie E_n . Pentru această bilă zona CD este interzisă și deci inaccesibilă; bila nu va putea pătrunde în această zonă.

Să analizăm aceeași problemă schimbând bila cu o microparticulă (electron, proton). Putem să facem aceleași afirmații ca pentru cazul macroscopic? Se pare că nu.

Vom arăta în continuare, că pentru o microparticulă ce ajunge în preajma barierei, zona CD nu este interzisă ca în cazul particulei clasice. Pentru aceasta vom utiliza din nou relațiile de nedeterminare.

Considerăm că efectuăm un experiment în care dorim să localizăm microparticula în preajma barierei. Să presupunem că nedeterminarea pozitiei particulei, respectiv zona în care probabilitatea de a găsi electronul este mare, este Δx .

Această nedeterminare în localizarea particulei nu poate să scăde sub valoarea lungimii de undă de Broglie a particulei, λ . Cu alte cuvinte o localizare mai precisă decât $\Delta x \approx \lambda$ nu are sens în descrierea mișcării microparticulei.

Dacă viteza v a microparticulei (și deci energia sa E) este astfel încât $\Delta x (\sim \lambda)$ este mai mare sau egal cu lărgimea barierei la acel nivel de energie ($L = \overline{CD}$), atunci va exista o probabilitate finită ($\neq 0$) ca particula să se găsească de o parte sau de cealaltă a barierei.

În principiu, posibilitatea de găsire a microparticulei în zona CD nu are nimic paradoxal în ea din punct de vedere cuantic. Relațiile de nedeterminare pentru mărimile x și p_x ne arată că nu are sens să se vorbească de valori precisi determinate simultan pentru energia potențială și energia cinetică, deoarece prima este proporțională cu x , iar a doua este proporțională cu p !

Apropierea particulei de punctul C reprezintă în sine un proces de localizare (deci de măsurare, proces care nu implică neapărat prezenta observatorului!) spațială și simultan de precizare a valorii energiei cinetice. Am spus de exemplu că în C microparticula ar avea simultan bine determinate atât poziția cit și energia cinetică. Ori acest lucru nu este posibil. Cauză este utilizarea noțiunilor clasice peste limitele de aplicabilitate ale lor, limite impuse de relațiile de nedeterminare.

În mecanica cuantică se arată că funcția de undă ce descrie electricul scade rapid în zona „interzisă” clasică, dar rămâne diferență de zero de partea cealaltă a barierei dacă ea nu este infinit de înaltă.

Pentru a ne familiariza cu aceste noțiuni să ne reamintim un experiment efectuat în optică și care are aceeași semnificație. Se cunoaște că în unele condiții, la zona de separare - ionă mediu cu indici de refacție diferiți, poate să apară o reflexie totală, ceea ce face ca în mediu cu n mai mic să nu existe radiație refractată. Se arată că dacă stratul cu n mai mic este făcut foarte subțire atunci, cu toate că condiția de reflexie totală este îndeplinită, se va observa o formă mai riguroasă,

de intensitate foarte mică, dar diferență de zero. Si aici avem în fond un caz de penetrare de barieră care clasic nu este permisă.
Fenomenul de tunelare este astfel pe deplin real și el corespunde unui fapt normal lumii microparticulelor.

EXTINȚIERE ÎN ALTE DOMENII

4.3.5. Determinismul în fizica clasică și fizica cuantică. La baza inter-pretărilor științifice ale lumii se află principiul cauzalității care afirmă că orice fenomen este efectul unui alt fenomen, numit cauză, care îl precede în timp, între cauză și efect existând o conexiune determinată de condițiile în care se realizează legătura dintre cauză și efect.

Ideea conexiunii cauzale dintre fenomene apare încă în filozofia

antică – mai ales în Egipt, Babilon, China și India. Această idee se

clarifică însă de-abia în Grecia antică. Leucipp, părintele școlii atomiș-

tilor greci, exprima principiul cauzalității, încă acum 2 milenii și jumă-

temei și în virtutea necesității.

Pe baza principiului cauzalității, cunoșind legea care determină – în condiții date – relația dintre cauză și efect, devine cu putință, pe de o parte, găsirea cauzelor care au generat un anumit fenomen (postdictia), cît și precizarea efectelor pe care le vor produce în viitor cauzele cunoscute în prezent (predictia). Faptul că aceste două funcții ale științei sunt verificate de practică, asigură forță științei în procesul de cunoaștere și transformare a lumii.

Cauzalitatea, stabilind pentru fiecare fenomen cauza care îl produce, arată că nici un fenomen nu poate apărea decât cu o consecință a unor relații cauzale cu alte fenomene. Apare aşadar ideea că între toate fenomenele există o rețea infinită, complexă de interacțiuni, supuse conexiunilor cauzale, rezultând în final, *conexiunea universală* a fenomenelor.

Teoria conexiunii universale a fenomenelor care explică desfășurarea acestora, sub acțiunea legilor cauzale, se numește *determinism*.

În antichitate, reprezentanții cei mai de seamă ai determinismului au fost: Heraclit, Democrit și Epicur. Începînd cu Renastereea, în dezvoltarea științelor, concepția deterministă se adîncște, apărătorii ei mai consecvenți ai acestei concepții fiind: Galilei și Bacon, iar mai apoi, Descartes și Spinoza. Paralel cu progresele fizicii și în culminînd în epoca napoleoniană, cu următoarea formulare a lui Laplace:

„O ființă care ar cunoaște la un moment dat pozițiile și impulsurile tuturor particulelor din Univers, ar putea să prevadă cu precizie absolută toate evenimentele ulterioare cosmice, fizice, chimice și chiar destinul istoric al omenirii”.

Chiar din această formulare — denumită și determinismul *dinamic*, sau Laplacian, rezultă caracterul său mecanicist — metafizic, cit și limitările la care este supus. După această concepție, diversele forme ale mișcării materiei se reduc exclusiv la deplasările strict mecanice ale particulelor, acestea singure fiind responsabile de întreaga varietate a fenomenelor termice, electromagnetice, chimice, biologice și chiar sociale. Determinismul dinamic este rigid, toate relațiile fiind univoc și strict necesare, neexistând loc pentru întâmplare. Dealul, eliminarea întăriplării din rețeaua cauzală a fenomenelor a fost sever criticată chiar pe timpul lui Laplace, de către filozoful Voltaire.

Succesele fizicii statistice, elaborată mai întâi de către Maxwell și Boltzmann, au pus întrebări dificile determinismului dinamic. În acest capitol al fizicii, ansamblurile mari de particule se studiază pe baza calculului probabilităților. Interpretarea acestor procese statistice, în cadrul concepției mecaniciste-metafizice continuă să nege caracterul obiectiv al întâmplării, acesteia lăsându-i-se doar un caracter subiectiv, folosirea metodelor statistice fiind justificată numai prin imposibilitatea cunoașterii efective a comportării individuale a fiecărui sistem (moleculară, atom, electron etc).

Rigiditatea și unilateralitatea determinismului dinamic i se opune concepția materialist-dialectică asupra determinismului, concepție în cadrul căreia *necizia creșinței și drumei prin întâmplare*. La baza unei dialectici, *necizia creșinței și drumei prin întâmplare*. La baza concepției materialist-dialectice a determinismului se află caracterul universal al interacțiunilor, obiectivitatea tuturor fenomenelor, conexiunea universală, corelarea dialectică a categoriilor determinismului și, în primul rînd, a necesității și întâmplării, cit și intercondiționarea între automișcare și autodeterminare a sistemelor și fenomenelor.

Comportarea particulelor cuantice a constituit o grătoare confirmare a tezelor materialismului dialectic, ilustrând în mod clar deosebirea calitativă dintre întreg și parte, prin aceea că legile cărora le sunt supuse particulele cuantice diferă în mod radical de cele care guvernează sistemele clasice. Această distincție calitativă se vădese și în ceea ce privește forma pe care o îmbrăcă determinismul la nivelul cuantic.

Într-adevăr, aşa cum s-a arătat în paragrafele precedente, starea unui sistem cuantic este descrisă de funcția de undă $\psi(x, y, z, t)$, mărimea

$$dP(x, y, z, t) = |\psi(x, y, z, t)|^2 dV$$

prin care se precizează semnificația fizică a funcției de undă, specificând doar *probabilitatea* de a găsi sistemul cuantic, la momentul t , în elementul

de volum dV . Un sistem cuantic se poate găsi, aşadar, oriunde în spațiu, mecanica cuantică putând determina doar probabilitatea de localizare a sistemului în fiecare element de volum al spațiului. Aceste valori ale probabilității sunt însă exact determinante; mai mult, în mecanica cuantică se arată că dacă la un moment t_0 funcția de undă $\psi(x, y, z, t_0)$, a unui sistem cuantic este cunoscută și dacă sunt date condițiile în care evoluază sistemul, atunci funcția de undă $\psi(y, x, z, t)$ este unică determinată, la orice moment $t > t_0$ și deci și probabilitatea de a localiza sistemul în orice punct al spațiului și la orice moment, este de asemenea determinată. Așadar, conexiunea cauzală continuă să existe și la nivelul cuantic, dar ca o conexiune de tip statistic. Această formă de determinism specifică nivelului cuantic, este denumită *determinism statistic*. Trebuie subliniat că la nivelul cuantic, caracterul statistic nu apare numai în cazul ansamblurilor de particule, ci — înăuntrul stărea fiecărei particule este specificată de funcția de undă — orice afirmație făcătură asupra comportării individuale a unei particule cuantice, are caracter statistic.

În vremea elaborării fundamentelor mecanicii cuantice, pe cînd experiența dezvoltării natura statistică a comportării particulelor cuantice, pentru mulți fizicieni, tributari concepției mecanicist-metafizice, această comportare părea inconcilabilă cu determinismul dinamic. Incapacitatea determinismului dinamic de a explica relațiile cauzale statistice, a generat — în anii dintre cele două războiuri mondiale — păreră că, la nivelul cuantic, principiul cauzalității nu ar mai funcționa; în realitate, fizica particulelor cuantice arăta numai inaplicabilitatea la acest nivel a determinismului dinamic.

Filosofia materialist dialectică, înțelegind caracterul obiectiv al probabilității, nu numai în ceea ce privește procesul cunoașterii, dar și ca un atribut al existenței, a putut integra determinismul cuantic într-o concepție cuprinzătoare a determinismului, ca o teorie a conexiunii universale în care — la diverse nivele de mișcare a materiei și găsesc locul atât determinismului dinamic, cit și cel statistic. Astăzi, acest punct de vedere este adoptat de marea majoritate a fizicianilor.

EXTINDERE ÎN FIZICĂ

4.4. PARTICULE FUNDAMENTALE

4.4.1. Tipuri de particule fundamentale. Ajungind la ultimul capitol, să încercăm să vedem retrospectiv modul în care mînă în mînă gindirea și experimentul au condus la formarea unei imagini unitare despre structura materiei.

Incerind să pătrundem „în adîncul materiei” am descoperit treptat formațiuni tot mai mici. Molecule s-a dovedit a fi compoñenta cea mai mică a unui corp fizic. Atomul este compoñenta cea mai mică a unei molecule. Nucleul și electronii sunt compoñenii fundamentali ai atomului. La rîndul lui nucleul se compune din neutroni și protoni.

Cu ocazia acestor investigații am mai descoperit și existența unei particule deosebite care nu participă la construirea vreunui edificiu microscopic, dar care este prezentă în majoritatea proceselor la care iau parte micro-objectele. Acestă particulă deosebită este fotonul.

Înainte de a ne întrebă dacă mai există și alte particule sau dacă putem înțelege într-un mod unitar proprietățile acestor particule, să trecem pe scurt în revistă caracteristicile lor.

Cu ajutorul a patru particule putem să descriem mareea majoritate a fenomenelor fizice: structura moleculelor, atomilor, nucleelor, struc- tura substanțelor gazoase, lichide sau solide, fenomenele electrice sau magnetice, emisie, absorbtia și efectele luminii, radioactivitatea și reacțiile nucleare. Aceste patru particule joacă un rol atât de important sănt:

electronul, protonul, neutronul și fotonul.

Pe lîngă acestea, treptat au mai fost descoperite și alte particule. Cîteva dintre ele sănt prezente în cele ce urmăză.

Positronul, a fost descoperit în 1932 în cadrul studiilor asupra radiației ce ne parvîne din spațiul cosmic. Positronul are aproape toate caracteristicile identice cu ale electronului, deosebindu-se de el prin semnul sarcinii, care este opus sarcinii electronului*. A fost descoperită astfel o particulă „îmagine” a electronului. Treptat s-a conturat ideea că orice particulă va trebui să aibă „îmaginea” sa, imagine care a fost denumită *antiparticulă*. Particulele și antiparticulele sunt legate unele de altele prime fenomene specifice: *anihilarea și generarea lor* în perechi.

Aceste fenomene se reprezentă prin schemele de „reacție”:

anihilare: $e^- + e^+ \rightarrow 2\gamma$

generare: $\gamma \rightarrow e^- + e^+$

unde γ este simbolul pentru foton (indiferent de frecvența lui).

Fenomenele de anihilare și generare satisfac legile de conservare ale energiei, impulsului și sarcinii.

Aplicind legea de conservare a energiei pentru anihilare, obținem:

$$2m_e c^2 = 2 \cdot h\nu,$$

relație ce ne permite să calculăm frecvența radiației produse, presupunind că ambi fotoni au aceeași frecvență.

* Există și alte deosebiri pe care nu le vom explica aici.

Pentru procesul de generare, relația de conservare a energiei ne dă:

$$h\nu \simeq 2m_e c^2$$

care ne arată că generarea poate să aibă loc doar dacă fotonul posedă un minim de energie:

$$h\nu > 2m_e c^2 \simeq 1 \text{ MeV}$$

unde m_e este masa de repaus a electronului.

Aplicind legea de conservare a impulsului pentru generare, se poate vedea că ea nu poate fi îndeplinită decât dacă în preajma locului în care se petrec fenomenul se găsește și o altă particulă (de exemplu un nucleu) care să participe la proces prin prelarea unei părți din impuls.

Antiprotonul este antiparticula protonului; are deci sarcină negativă, caracteristicile principale fiind identice cu cele ale protonului. Un antiproton și un pozitron pot forma un sistem atomic similar atomului de hidrogen. Eventualii atomi de acest tip poartă numele de *antiatomi*, iar substanțele constituite din antiatomi — *antimaterie*.

În consecință antimateria, nu este o „substanță” care se opune materiei, ci reprezintă o colectivitate de antiatomi. Pînă în prezent antimateria nu a fost descoperită nici pe Pămînt și nici în cosmos. Antiatomii pot fi produsi în laboratoare cu ajutorul acceleratoarelor de particule.

Neutrino este o particulă neutră, cu masă de repaus nulă, a cărui existență a fost înfișată teoretic și descoperită ulterior experimental. Neutrino apar în fenomenele de dezintegrare β (Fizica cl. XI-a, § 15.5 și § 17.4) ca urmare a unui fenomen specific domeniului particulelor fundamentale: *transformarea particulelor*.

Reacția de transformare a particulelor în care apare neutrinul este transformarea neutron — proton:

$$^1n \rightarrow ^1p + ^0e + \nu$$

unde ν este simbolul neutrinului.

Pionul este o particulă fundamentală cu masa intermedie între proton și electron, din care cauză se mai numește *meson* π . Pionii pot fi de trei feluri: încărcați cu o sarcină electrică elementară pozitivă, negativă sau neutră: π^+, π^-, π^0 .

În prezent se consideră că pionii joacă un rol important în interacțiunile dintre particulele constitutive ale nucleului (neutronul și protonul). De asemenea, cercetările au arătat că protonul și neutronul nu sănt particule „elementare” în sensul că ele posedă o structură internă. Cu toate că neutronul și protonul nu mai sunt astăzi privite ca particule elementare, ele rămân particule fundamentale, adeverărate „căramizi” de construcție a edificiilor nucleare.

Nu continuăm lista particulelor cunoscute în prezent deoarece ele sunt foarte multe (peste 200), dintre care multe sunt extrem de instabile, transformându-se în alte particule. În figura 4.13 prezentăm un tablou al particulelor discutate, cu principalele lor proprietăți.

Denumire	Particula	Antiparticula	m/m_e
Foton	γ	γ	0
Neutrino	ν^0	$\bar{\nu}^0$	0
Electron	e^-	e^+	1
Pion	π^+	π^-	270
Nucleon	p	n	1840

Fig. 4.13. Tablou de particule fundamentale.

4.4.2. Interacțiunile la care participă particulele fundamentale.
 Multitudinea particulelor fundamentale pune problema clasificării și ordonării lor. Ne putem pune problema dacă nu există cumva un „tablou periodic” pentru particule, care să ne dezvăluie legăturile între ele și eventual să ne sugereze particule și „mai fundamentale” (mai puține la număr), care prin compunere să formeze edificii mai complexe care să fie tocmai particulele fundamentale pe care le cunoaștem. Problema este deosebit de dificilă, atât din cauza complicațiilor experimentale – necesare verificării supeziilor și obținerii de date noi – cit și din cauza dificultăților teoretice care se pun. De exemplu, putem pe drept cuvînt să ne întrebăm dacă nu am ajuns, astăzi de jos pe scara constituției materiei, încit părțile componente să nu fie la fel de „mai” sau poate chiar mai mari (cu masă mai mare) decât particula a cărui constituent este. Întrebarea nu este chiar astăzi de nepotrivită deoarece dimensiunile particulelor ca și energia, impulsul, masa lor corespund unor valori pentru care relațiile de nedeterminare ne limitează drastic afirmațiile prea precise.

Nu vom discuta prea mult aceste probleme, deoarece depășesc cu mult cadrul de față. Vom sugera doar unele idei care pot constitui puncte de plecare în înțelegerea mai profundă a acestui domeniu al fizicii subnucleare.

Unul din faptele interesante care se remarcă este posibilitatea de a reduce *totale* tipurile de interacțiuni cunoscute pînă în prezent la *patru tipuri fundamentale*. Să le discutăm.

În toate fenomenele macroscopice interacțiunea principală care se manifestă este cea *gravitațională*. Forța gravitațională, cimpul gravitațional, sunt prezente în orice punct din spațiul terestru sau extraterestru, deoarece în expresia forței apare $1/r^2$. Aceasta însamnă că pentru orice distanță finită, interacțiunea gravitațională este prezentă. Mai mult, ea nefind deosebită atractivă, nu poate fi „screrată” în nici un fel, prezenta ei fiind astfel universală. Chiar și atunci când valoarea ei este depășită de alte forțe fiind neglijabilă, ea este prezentă.

Un alt tip de interacțiune deosebit de important prin rolul pe care-l joacă în fenomenele fizice este interacțiunea *electromagnetică*. Ea cuprinde totalitatea fenomenelor electrice și magnetice care au loc ca rezultat al interacțiunii între particulele încărcate cu sarcină, în mișcare.

Interacțiunea *nucleară* este a treia interacțiune pe care o discutăm și a cărei prezență nu se face simțită în mod direct la scară macroscopică, dar care este fundamentală pentru nucleu. Această interacțiune, exprimată prin forțele nucleare între nucleoni este atractivă și menține nucleul într-un echilibru stationar față de forțele electrostatice de repulsie.

Forțele nucleare sunt mult diferite de primele două și încă nu sunt cunoscute.

Cu ajutorul acestor trei tipuri de interacțiuni putem descrie practic toate fenomenele macro sau microscopice. Există însă o categorie de fenomene ce au loc la nivel nuclear care nu pot fi explicate cu ajutorul acestor trei tipuri de interacțiuni. Un exemplu de astfel de fenomen este dezintegrarea β . Ea nu este rezultatul acțiunii nici a forțelor electromagnetice, nici a celor nucleare și nici a celor gravitaționale. În scopul explicării acestui tip de dezintegrare (și a altor fenomene ce au loc în lumea particulelor subnucleare) este nevoie să se presupună existența și unui al patrulea tip de interacțiune fundamentală, care poartă numele de *interacțiune slabă*.

Interacțiunea slabă este cea mai puțin cunoscută dintre toate tipurile de interacțiuni. Cîteva caracteristici ale acestor tipuri de interacțiuni sunt prezentate în tabelul 4.5.

Tipul de interacțiune	Raza de acțiune	Surse de cimp	Cantitatea de cimp
nucleară (tari) electromagnetică	$\sim 10^{-15}$ m ∞	nucleonii particulele încărcate cu sarcină electrică	meson foton
slabă gravitațională	$\sim 10^{-24}$ m ∞	nucleonii, electroni toate particulele cu masă	?

Tabelul 4.5

În tabelul 4.5, interacțiunile sunt așezate în ordinea intensității lor. Ultimele două coloane descriu particulele care produc și interacțiunează prin cimpul corespunzător și respectiv cuantele de cimp. Această ultimă coloană exprimă un fapt pe care dorim să-l discutăm puțin. În fizica clasică avem în principiu două feluri de entități: pe de o parte particulele care produc cimpul iar pe de altă parte undele, care mediază interacțiunea dintre particule. Putem unifica cele două entități dacă admitem că particulele se comportă ca niște unde și că undele (cimpurile fizice) au caracteristici de particule. Particulele asociate unui cimp se numesc *cuante de cimp*. În acest fel, cele două entități sunt tratate în mod simetric, mod care se pare că concordă cel mai bine cu datele experimentale de pînă acum.

Această tratare modelizează fenomenele de interacțiune prin introducerea conceptului de *forță de schimb*. De exemplu, interacțiunea dintre sarcini este exprimată în acest model prin afirmația că forță coulombiană este rezultatul unui schimb de fotonii din cimpurile de fotonice încărcață. În mod asemănător, interacțiunea nucleară este rezultatul unui schimb de pioni între nucleonii. Această terminologie înseamnă în realitate că ecuația (de undă) care descrie propagarea fotonilor poate să descrie și interacțiunea mediată de acești fotonii. Corect, mecanismul de schimb presupune de fapt un model matematic care permite descrierea cantitativă, unitară, a celor patru interacțiuni fundamentale și nu o imagine „mecanicistă” a unoribile ce se schimbă între particule.

Putem spune astfel că particulele fundamentale joacă în principal două „roluri”: o parte din ele alcătuiesc substanțele cu ajutorul unor formăjuni ca: nucleu, atom, molecule, iar altele participă la realizarea interacțiunilor cunoscute.

Nu cunoaștem încă multe lucruri în acest domeniu. De exemplu, nu știm care este relația între masa și sarcina particulelor. De ce este sarcina electrică cuantificată? Există alte particule „mai fundamentale” decât cele cunoscute pînă acum? Ce înseamnă „elementar” la această scară? S.a.m.d.

Sperăm că viitorul va aduce rînd pe rînd răspuns la aceste probleme și la altele care se vor mai ivi.

INTREBĂRI. EXERCITII. PROBLEME

- Cum putem distinge experimental transmiterea energiei (semnalului) prin unde și prin particule?
- Ionizarea unui atom reprezintă un caz de efect fotoelectric ce are loc cu un atom izolat. Să se determine viteza pe care o va avea electronul atomului de hidrogen dacă este „iluminat” cu o radiație electromagnetică cu $\lambda = 65$ nm ($m_e = 9,1 \cdot 10^{-31}$ kg; $m_p = 1,67 \cdot 10^{-27}$ kg.).

$$R: v = 1,38 \cdot 10^8 \text{ m/s.}$$

3. Să se studieze cicloarea foton-electron liber (efect Compton). Cum va varia frecvența (lungimea de undă) a fotonului?

4. Iuminind potasiul cu radiație monocromatică de diverse lungimi de undă se obțin următoarele valori pentru diferența de potențial de stopare:

λ (nm)	200	300	400	500
U (V)	4,11	2,05	1,02	0,40

a) Verificați cu ajutorul acestor date ecuația lui Einstein.

b) Determinați pragul roșu și potențialul de extracție (în volt) pentru potasiu.

$$R: 395,2 \text{ nm; } 2,083 \text{ V.}$$

5. Se iluminăază litiuul cu o radiație de $\lambda = 400$ nm. Determinați energia și viteza fotoelectrionilor emisi.

$$R: 1,15 \cdot 10^{-19} \text{ J; } 5,03 \cdot 10^9 \text{ m/s.}$$

6. O sferă de cupru de raza 2 cm, electric neutră, este iluminată cu o radiație de $\lambda = 200$ nm. Pînă la ce potențial maxim se va încărca sferă?

$$R: 1,73 \text{ V.}$$

7. Se iluminăază o celiuță fotoelectrică cu radiație ultravioletă de $\lambda = 254$ nm. Să se calculeze diferența de potențial minimă necesară pentru a reduce curentul fotoelectric la zero, dacă photocatoda este de cesiu.

$$R: 3,1 \text{ V.}$$

8. O placă de potasiu este iluminată uniform cu o sură de lumină de 1 W (energie radiantă), asezată la o distanță de 1 m. Să presupunem că pentru a fi emis un fotoelectron trebuie să se colecteze energia de pe o arce circulară a placăi, de rază $\sim 10^{-10}$ m. Care va fi intervalul de timp necesar pentru ca electronul să absorba energie necesară eliberării lui din metal (energia de extragere $= 2,1 \text{ eV} = 3,4 \cdot 10^{-19} \text{ J}$)?

$$R: \sim 2 \text{ s.}$$

9. Determinați numărul de fotoni care ciocnesc supratata, în problema precedență, dacă luminata se face cu radiație monocromatică cu $\lambda = 589$ nm (galben).

$$R: 2,4 \cdot 10^{17} \text{ fotoni.}$$

10. Determinați energia, masa și impulsul unui foton ce are $\lambda = 656,3$ nm.

$$R: 3 \cdot 10^{-19} \text{ J; } 3,34 \cdot 10^{-36} \text{ kg; } 1,0 \cdot 10^{-27} \text{ kg} \cdot \text{m/s.}$$

11. Să se determine raportul dintre masele de mișcare a fotoniilor correspunzători lungimilor de undă $\lambda_1 = 121,5$ nm (prima linie Lyman a hidrogenului) și $\lambda_2 = 656,3$ nm (prima linie Balmer a hidrogenului).

$$R: 5,42.$$

12. Cu ce viteza trebuie să se deplaseze un electron pentru ca impulsul lui să fie egal cu impulsul unui foton de $\lambda = 520$ nm?

$$R: 1,400 \text{ m/s.}$$

13. Să se determine variația de frecvență pe care o suferă o radialie emisă de pe suprafața unei stele (de masă M și rază R) la distanță infinită de ea.

$$R: \frac{\Delta v}{v} = k \frac{M}{R}.$$

14. Se poate măsura lungimea de undă de Broglie? Dacă da, cum?
15. Discutați asemănările și deosebirile care există între undele de Broglie și cele electromagnetice.
16. Care este lungimea de undă de Broglie a unei mingi cu masa de 1 kg care se mișcă cu viteza de 10 m/s? Pot fi verificate concluziile ce rezultă de aici?
- R: $6,6 \cdot 10^{-35}$ m.
17. Într-un experiment de tip Davisson și Germer cu electroni, s-a obținut o dependență a intensității fascicului, de unghiul de împărtiere θ , dară în figura 4.14. Să se verifice relația Bragg pentru această împărtiere, știind că $d = 0,91 \cdot 10^{-10}$ m și că electronii au fost accelerati la 54 V.
18. Arătați că lungimea de undă de Broglie a unui electron accelerat de o diferență de potențial de V voltj este dată de relația:
- $$\lambda = \frac{1,22}{\sqrt{V}} \text{ (in nm).}$$
- Fig. 4.14. Pentru problema 17. I – intensitatea curentului electronic reflectat, θ – unghiul Bragg.
19. Arătați că dacă electronii sunt relativiști, atunci expresia relației din problema precedentă este
- $$\lambda = \frac{0,00242}{\sqrt{\varepsilon^2 + 2\varepsilon}},$$
- unde $\varepsilon = \frac{E_c}{m_e c^2}$.
20. Calculați lungimea de undă de Broglie pentru un electron în echilibru termic la temperatura de 27°C.
- R: 6,22 mm.
21. O particulă accelerată la o diferență de potential de 200 V are o lungime de undă de Broglie de $0,02 \cdot 10^{-10}$ m și sarcina e . Determinați masa particulei. Despre ce particulă este vorba?
- R: $1,67 \cdot 10^{-37}$ kg; proton.
22. Care trebuie să fie energia cinetică a unui electron pentru ca lungimea de undă de Broglie a lui să fie egală cu lungimea de undă a liniei galbene a sodiului (589 nm).
- R: $4,3 \cdot 10^{-6}$ eV.
23. Comparați energiile cinetice și totale ale unui electron și ale unui foton ce au $\lambda = 0,2$ nm.
- R: $\left\{ \begin{array}{l} E_{ct,n}: \\ E_{tot}: \end{array} \right. \begin{array}{l} \text{electron: } 37,6 \text{ eV; foton: } 6,21 \text{ keV} \\ \text{electron: } 0,511 \text{ MeV; foton: } 6,21 \text{ keV} \end{array}$
24. Există oare în fizica clasică (discutată la scăală) mari mărimi fizice cuantificabile?
25. În unele sisteme clasice frecvențele posibile de oscilație sunt „cuantificate”. Pentru astfel de sisteme energia este cuantificată?
26. Pentru ca efectele cuantice să fie vizibile în fenomene cotidiene, care ar trebui să fie ordinul de mărime al constantei \hbar ?
27. Arătați că dacă nedeterminarea în poziție a unei particule este aproximativ egală cu lungimea de undă de Broglie, atunci nedeterminarea vitezei particulei este aproximativ egală cu viteza ei.
28. Un electron este obligat să rămână într-o regiune ale cărei dimensiuni sint de ordinul a 1 nm. Calculați care va fi nedeterminarea impulsului și vitezei lui?
- R: $5,27 \cdot 10^{-26}$ kg · m/s; $5,79 \cdot 10^4$ m/s.
29. Să considerăm o microparticulă de masă m ce se mișcă liber de-a lungul axei Ox . Să presupunem că la momentul $t = 0$ poziția particulei este cunoscută cu o nedeterminare Δx_0 . Calculați nedeterminarea în poziția particulei la un moment ulterior t .
- R: $\Delta x = t \cdot \Delta v_x = t \frac{\hbar}{4\pi m \Delta x_0}$.
30. Arătați pe baza principiului de nedeterminare că o microparticulă ce efectuează o mișcare oscillatorie armonică nu poate să aibă energie minimă zero.
31. Un atom poate să emite un foton la orice moment ulterior excitării. În medie, acest interval de timp este de $\sim 10^{-8}$ s.
- a) Care este nedeterminarea în energie a stării excitate a atomului?
- b) Care este nedeterminarea în frecvență a radiatiei emise?
- R: $\Delta E \geq 3,3 \cdot 10^{-8}$ eV; $\Delta v \geq 8 \cdot 10^6$ s $^{-1}$.
32. Viata media a unui nucleu într-o stare excitată este de ordinul a 10^{-12} s. Care va fi nedeterminarea în energie a radiatiei γ emise?
- R: $3,28 \cdot 10^{-4}$ eV.
33. Într-o cameră Wilson s-a observat un fenomen de producere a unei perechi electron-pozitron. Traекторiile particulelor erau curbate în sens invers una față de alta deoarece era prezent un câmp magnetic transversal, uniform, de 0,2 T. Care a fost energia și lungimea de undă a fotoniului care a produs perechea, dacă raza de curbură a traectoriilor a fost de 2,5 cm?
- R: 3,2 MeV; $3,9 \cdot 10^{-13}$ m.
34. Care este lungimea de undă a celor doi fotoni produși prin anihilarea unei perechi electron-pozitron, în sistemul de referință în care centrul de masă este în repaus? Energia cinetică a celor două particule este neglijabil de mică ($m_{\gamma} = 9,1 \cdot 10^{-31}$ kg).
- R: $\lambda = \frac{\hbar}{m_{\gamma} c^2} = 2,43 \cdot 10^{-12}$ m.
35. Se consideră că protonul și neutronul reprezintă două stări cuantice ale unei particule unice: nucleon. Să se argumenteze pe bază energetică (energia de repaus a particulelor) care dintre cele două stări este mai stabilă? Puteți cita un fapt experimental în favoarea afirmației de mai sus?
36. În fizica particulelor fundamentale se obținește să se exprime masa particulelor în E/c^2 . Calculați în MeV/c^2 masele următorelor particule: electron, pion, muon și proton ($9,1 \cdot 10^{-31}$ kg); $2,48 \cdot 10^{-28}$ kg; $1,88 \cdot 10^{-28}$ kg; $1,67 \cdot 10^{-27}$ kg;
- R: 0,511; 139,6; 105,7; 938,3 MeV/c^2

37. Stiind că transformarea particulelor fundamentale trebuie să conserve sarcina electrică totală, să se arate care dintre transformările de mai jos sunt corecte:

$$a) n \rightarrow p + e^+ ; \quad b) n \rightarrow p + e^-$$

R: b).

38. Arătați că în procesul de formare a perechilor electron-pozitron trebuie să participe și un al treilea corp (de obicei un nucleus) pentru ca legile de conservare a energiei și impulsului să fie satisfăcute.

39. Să presupunem că un mezon π în repaus se dezintegrează cu formarea unui mezon μ și unui neutrino: $\pi \rightarrow \mu + v$. Calculați energia cinetică a mezonului μ , utilizând legile de conservare a energiei și impulsului ($m_\pi = 2,48 \cdot 10^{-28}$ kg; $m_\mu = 1,88 \cdot 10^{-28}$ kg; $m_v = 0$ kg)

R: 41,32 MeV.

Plan editura 25.000. Col. de tipar 15. Tipar 156000 + 1/5
ex. legate 1/12. Aprilie 1979.

Tiparul executat sub comanda
nr. 397 la

Intreprinderea poligrafică
nr. 33 Decembrie 1978,
str. Grigore Alexandrescu nr. 89-97
București,
Republie Socială România



Lei 9,35

Editura didactică și pedagogică, București — 1979